

Diplomarbeit

Stephan Plaschke

Experimentalsystem für drahtlose Batteriesensorik

Stephan Plaschke
Experimentalsystem für drahtlose
Batteriesensorik

Diplomarbeit eingereicht im Rahmen der Diplomprüfung
im Studiengang Informations- und Elektrotechnik
Studienrichtung Informationstechnik
am Department Informations- und Elektrotechnik
der Fakultät Technik und Informatik
der Hochschule für Angewandte Wissenschaften Hamburg

Betreuender Prüfer : Prof. Dr.-Ing. Karl-Ragmar Riemschneider
Zweitgutachter : Prof. Dr.-Ing. Henry Reetmeyer

Abgegeben am 24.07.2008

Stephan Plaschke

Thema der Diplomarbeit

Experimentalsystem für drahtlose Batteriesensorik

Stichworte

Mikroprozessor, Funkübertragung, Datenspeicherung, Datenauswertung

Kurzzusammenfassung

Aktuelle technische Entwicklungen stellen sehr hohe Anforderungen an die Leistungskapazität einer Fahrzeugbatterie. Sicherheitsrelevante Aspekte und die Verfügbarkeit der Fahrzeuge stehen im Vordergrund. Um dies zu gewährleisten ist eine Überwachung der Betriebsspannung unabdingbar. Konventionelle Systeme überwachen die Spannung über die Summe aller Batteriezellen. Durch die Messung der Batteriespannung ist ein Rückschluss auf den Zustand einer einzelnen Zelle so gut wie unmöglich. Die Praxis beweist aber, dass dies häufig der Grund für unerwartete Ausfälle ist.

Der Umfang der vorliegenden Arbeit umfasst die Entwicklung eines zentralen Steuergerätes und einer Software zur Auswertung der gespeicherten Daten.

Stephan Plaschke

Title of the paper

Experimental system for wireless battery sensors

Keywords

Microprocessor, radio transmission, digital data storage, electronic data processing

Abstract

Recent technical developments create high demands on the performance level of a car battery. At the focal point in all considerations are the safety aspects and availability of the vehicle are key considerations. To guarantee both, control of the car battery is inevitable. Conventional systems measure the overall battery voltage, not the voltage of each single battery cell.

With this kind of monitoring inference of one battery cell is all but impossible. In practice the failure of one cell is common cause for an unexpected battery malfunction.

Content of this paper at hand is the development of a controlling device and software to evaluate the collected data.



Hochschule für Angewandte Wissenschaften Hamburg
Department Informations- und Elektrotechnik
Prof. Dr.-Ing. Karl-Ragmar Riemschneider

6. April 2008

Diplomarbeit: **Experimentalsystem für drahtlose Batteriesensorik**

Aktuelle technische Entwicklungen stellen immer höhere Anforderungen an Fahrzeugbatterien. Herausfordernd ist die Ausrüstung von Automobilen mit sicherheitskritischen elektrischen Großverbrauchern, wie die elektrische Servolenkung und die elektrische Bremse. Bei elektrisch angetriebenen Spezialfahrzeugen, wie z.B. bei Gabelstaplern, ist die Batterieerfügbarkeit ein leistungsbestimmendes Merkmal.

Drahtlose Sensoren könnten zukünftig dazu beitragen, den Batteriezustand wesentlich besser und zuverlässiger erfassen zu können. Diese Sensoren würden die Spannung an jeder der in Reihe geschalteten Zellen ständig messen und gegebenenfalls die Schwächung auch einer einzelnen Zelle anzeigen können. Eine ungleichmäßige Zellenalterung ist – über die Klemmen der Gesamtbatterie gesehen – bisher schwer beobachtbar, jedoch häufig die Ursache unerwarteter Ausfälle.

Die drahtlose Wirkungsweise der Sensoren hat erhebliche Aufwandsvorteile. Es kann damit auf eine zusätzliche robuste Messverkabelung und Anschlusskontaktierung auf der Batterie verzichtet werden. Eine Potentialtrennung ist systembedingt gegeben.

In der Diplomarbeit soll ein Experimentalsystem entstehen, mit dem das Konzept der drahtlosen Batteriezellenüberwachung näher untersucht werden kann. Hierzu sollen die Entwicklungsarbeiten umfassen:

- Aufbau eines Steuergerätes mit dem Mikrocontroller TI MSP430F169, einem integrierten 433 MHz-Empfänger und Flashspeicher sowie einfacher Anzeige und Bedienung
- Empfangssoftware des Steuergerätes für das digitale Übertragungsprotokoll der drahtlosen Sensoren
- Entwicklung eines Konzeptes und einer Software für die autonom arbeitende Sensordatenspeicherung im Flashspeicher auf dem Steuergerät
- Konzeption und Entwicklung einer Shellsoftware für die Konfiguration, den Dialogbetrieb und die Ausgabe von Messdatenreihen mit Matlab

Die Erprobungen und Vorversuche sollen umfassen:

- Aufbau eines Demonstrators mit mehreren drahtlosen Sensoren auf einer Batterie
- Durchführung und Aufzeichnung von einigen exemplarischen Entlade/Ladezyklen
- Unterstützung von Konfiguration und Auswertung durch PC-Softwaremodule
- Darstellung, Auswertung und Beurteilung der erfassten Messreihen

Die Fachliteratur und kommerzielle Unterlagen sind zielgerichtet zu recherchieren. Dabei ist auch die vorgesehene Fahrzeuganwendung näher zu betrachten. Die Controllersoftware ist in der Programmiersprache C modular und erweiterbar zu entwickeln. Die Funktionsweise und die Softwarestruktur ist gut nachvollziehbar zu dokumentieren. Die gesetzten Rahmenbedingungen und wesentliche Entwurfsentscheidungen sollen beschrieben werden. Die Erprobungsergebnisse sind als Spannungsverläufe und als zusammenfassende Diagramme anwendungsbezogen darzustellen. Die realisierten Lösungen und Messreihen sind kritisch zu bewerten (z.B. Aussagefähigkeit, Genauigkeit, Zeitauflösung). Ansätze für Verbesserungen und weitere Arbeiten sind aufzuzeigen.

Danksagung

Die vorliegende Diplomarbeit ist im Labor für Informationstechnik an der HAW Hamburg entstanden.

Bedanken möchte ich mich bei Prof. Dr.-Ing. Karl-Ragmar Riemschneider, der es überhaupt erst ermöglichte diese Arbeit zu schreiben, sowie bei Prof. Dr.-Ing. Henry Reetmeyer, der meine Arbeit als Zweitkorrektor bewertet hat.

Weiterhin gilt mein Dank den Mitarbeitern des Labors für Informationstechnik, Herrn Gerhard Wolff und Herrn Jörg Pflüger. Beide standen mir bei Problemen, die während der Diplomarbeit auftauchten, fachkundig zur Seite. Für die Unterstützung bei der Versuchsdurchführung danke ich Herrn Bernd Schröder, Mitarbeiter des Fahrzeuglabors der HAW Hamburg.

Außerdem bedanke ich mich bei Tobias Krannich und Thorsten Eger, die ebenfalls ihre Diplomarbeit im Labor für Informationstechnik an der HAW Hamburg geschrieben haben, und mit denen ein reger Interessenaustausch stattfand.

Des Weiteren bedanke ich mich bei Anne-Kathrin Baum, Christian Ritter und Mario Steinke, die meine Arbeit in Schrift und Form korrigiert haben.

Zuletzt gilt mein besonderer Dank meiner Lebensgefährtin Katrin Tantzen, die mich im Laufe der Arbeit in vielfältiger Weise unterstützt hat.

Stephan Plaschke

Hamburg, Juli 2008

Formelzeichen und Abkürzungen

A_{10}	10 Bit Analogwert
E^0	Standardelektrodenpotenziale
E_{neg}^0	Standardelektrodenpotenzial an der negativen Elektrode
E_{pos}^0	Standardelektrodenpotenzial an der positiven Elektrode
HSO_4^-	Chemisches Zeichen für Hydrogensulfat
H^+	Chemisches Zeichen für ein Wasserstoffion (Proton)
H_2O	Chemisches Zeichen für Wasser
H_2SO_4	Chemisches Zeichen für Schwefelsäure
Hz	Hertz
MHz	Megahertz
PP	Abkürzung für Polypropylen
Pb	Chemisches Zeichen für Blei
PbO	Chemisches Zeichen für Bleioxid
PbO_2	Chemisches Zeichen für Bleidioxid
$PbSO_4$	Chemisches Zeichen für Bleisulfat
Sb	Chemisches Zeichen für Antimon
U_0	Ruhespannung in Volt
V	Formelzeichen für Volt
λ	Wellenlänge
e^-	Symbol für ein Elektron
kB	Kilobyte
kHz	Kilohertz
$kbps$	Kilobit per second
kg/l	Maßeinheit der Dichte (Kilogramm pro Liter)
m	Tastgrad
u_0	Maximale Amplitude einer Trägerschwingung
u_1	Minimale Amplitude einer Trägerschwingung
ADC	Analog Digital Converter
ASK	Amplitude Shift Keying
BFSK	Binary Frequency Shift Keying
BPSK	Binary Phase Shift Keying
CEPT	European Conference of Postal and Telecommunications Administrations
CPU	Central Processing Unit
CRC	Cyclic Redundancy Check
EDA	Electronic Design Automation
ERO	European Radio Office

FET	Flash emulation tool - Programmieradapter
FSK	Frequency Shift Keying
GND	Ground
IO	Input Output
ISM	Industrial, Scientific, and Medical Band
ITU	International Telecommunication Union
ITU-R	ITU Telecommunication Standardization Sector
JTAG	Joint Test Action Group
LSB	Lower Side Band
lsb	Least Significant Bit
OOK	On-Off-Keying
PSK	Phase Shift Keying
RAM	Random Access Memory
RFID	Radio Frequency Identification
RISC	Reduced Instruction Set Computers
SDK	Software development kit - Entwicklungsumgebung
SOC	State of Charge
SOH	State of Health
TDMA	Time Domain Multiple Access
uC	Microcontroller
UHF	Ultra-High-Frequency
USB	Upper Side Band

Inhaltsverzeichnis

1. Einleitung	4
1.1. Aktueller Stand der Technik	5
1.2. Bleiakкумуляtor	5
1.2.1. Geschichte des Bleiakкумуляtors	6
1.2.2. Elektrochemische Reaktion	7
1.2.3. Selbstentladung	10
1.2.4. Ladezustand	10
1.2.5. Mechanischer Aufbau	12
1.2.6. Alterung	15
1.3. Funkdatenübertragung	16
1.3.1. Frequenzbereiche	17
1.3.2. Digitale Modulation	18
Amplitude Shift Keying	19
Frequency Shift Keying	20
Phase Shift Keying	21
1.3.3. Manchesterkodierung	21
1.3.4. Übertragungsprotokoll	22
2. Realisierung	26
2.1. Sensor-System	27
2.1.1. Step-Up-Converter	28
2.1.2. UHF-Transmitter	29
2.1.3. Mikrocontroller	30
2.1.4. Leistungsmessung	31
2.1.5. Software	32
2.2. Steuergerät	36
2.2.1. Entwicklungsboard	36
2.2.2. UHF-Receiver	37
2.2.3. Aufbau	39
2.2.4. Software	39
Datenempfang	40
Benutzeroberfläche	43
Sensordatenspeicherung	45
2.2.5. Bedienung des Steuergerätes	47
Bedienung per Tasten	48
Bedienung über die serielle Schnittstelle	49

3. Versuchsbetrieb	51
3.1. Verarbeitung der Messwerte in MATLAB	51
3.1.1. Kalibrierung der Temperaturmesswerte	51
3.1.2. Darstellung der Messwerte	52
3.2. Versuchsdurchführung	54
3.3. Versuch 1: Entladung	55
3.4. Versuch 2: Ladung	61
3.5. Versuch 3: Entladung	66
3.6. Versuch 4: Ruhemessung	71
3.7. Betrachtung der Versuchsergebnisse	75
3.7.1. Betrachtung der Temperaturmessungen	75
3.7.2. Betrachtung der Zellspannungsmessungen	76
3.7.3. Betrachtung der Versorgungsspannungsmessung	78
4. Fazit	79
Literaturverzeichnis	81
Bildverzeichnis	83
Tabellenverzeichnis	85
A. Verwendete Software	86
A.1. Entwicklungsumgebung (SDK)	86
A.1.1. Eclipse	86
A.1.2. MSPGCC	87
A.2. MATLAB	87
A.3. Eagle Layout Editor	88
B. Quellcode	90
B.1. C Quellcode	90
B.1.1. Sensor-System	90
B.1.2. Steuergerät	97
B.2. MATLAB Quellcode	161
B.2.1. Temperaturkalibrierung	161
B.2.2. Auswertung der Messergebnisse	166
B.2.3. Darstellen eines Oszilloskop Ausdrucks	176
C. Zeichnungen	180
C.1. Zeitmessung der Run-In Sequenz	180
C.2. Darstellung des Übertragungsprotokolls	182
D. Hardwaredesign	183
D.1. Schaltpläne	183
D.1.1. Schaltplan: Receiver	183

D.1.2. Schaltplan: Entwicklungsboard	184
D.1.3. Schaltplan: Sensor	186
D.2. Platinenlayout	187
D.2.1. Platinenlayout: Receiver	187
E. Messwerte	188
E.1. Kalibrierungsmessung	188

1. Einleitung

Akkumulatoren sind heutzutage wichtiger denn je. KleinsteGeräte wie Mobiltelefone und MP3-Player oder elektrisch betriebene Fahrzeuge wie Gabelstapler, Hybrid- und Kraftfahrzeuge nutzen Akkumulatoren. Auf der einen Seite werden Forschungen betrieben, um neue Akkumulatortypen mit höherer Speicherkapazität und längerer Lebensdauer zu entwickeln. Auf der anderen Seite nimmt für bestehende Systeme die Ladezustandsüberwachung an Bedeutung zu. Besonders bei elektrisch betriebenen Fahrzeugen beschreibt der Ladezustand des Akkumulators die Verfügbarkeit des Fahrzeuges.

Eine andere Neuerung bahnt sich seit Mitte der 1990er Jahre im Automobilbereich an. Die Boardnetzspannung soll von heute üblichen 14 V auf 42 V erhöht werden. Die Gründe liegen nahe: Es wird eine immer größere Anzahl elektrischer Verbraucher im Kraftfahrzeug eingesetzt und einige davon, wie zum Beispiel die elektrische Bremse und die elektrische Lenkung, benötigen mehr Leistung als heutzutage bereitgestellt werden kann. Bei einer Änderung von 14 V auf 42 V würde bei gleicher Leistung ein um den Faktor 3 geringerer Strom benötigt werden. Daraus resultiert ein geringerer Leiterquerschnitt, der eine Gewichtsersparnis von 6 kg bis 12 kg zur Folge hätte. Der geringere Querschnitt würde es möglich machen, Leiterbahnen direkt auf Karosserieteile anzubringen und die Produktionskosten und den Energiebedarf der Produktion somit zu senken. [16]

Der Nachteil des 42 V Boardnetzes ist die Versorgung. Die mit dem Starter gekoppelte Lichtmaschine ist nicht ausreichend erforscht und die Akumulatortechnik ist noch nicht weit genug vorangetrieben. Fernerhin müssten mehr Zellen verbaut werden, um die benötigten 36 V (Leerlaufspannung) bereitzustellen. Mehr Zellen erhöhen aber das Risiko eines Ausfalls des gesamten Akkumulators, da schon bei dem Ausfall einer einzelnen Zelle der Akkumulator unbrauchbar wird. [16]

Betrachtet man neue und alte Techniken ist es unabdingbar eine intelligente kostengünstige Überwachung bereitzustellen. Jede einzelne Zelle des Akkumulators ist zu überwachen, um frühzeitig einen Ausfall vorhersehen zu können. Dies ist besonders im Automobilbereich sehr wichtig, wenn es zum Einsatz elektrischer Bremsen und Lenkungen kommt, da ein Ausfall des Akkumulators den Ausfall beider kritischen Systeme zur Folge hätte. Bei Flurförderzeugen ist der Ausfall des Antriebs oder der Lenkung nicht ausschlaggebend. Hier zählt die Verfügbarkeit als Berechnungsgrundlage für die Produktionskosten. Ein unerwarteter Ausfall zieht hohe Kosten nach sich. Sind Probleme frühzeitig zu erkennen können Gegenmaßnahmen eingeleitet werden um die Verfügbarkeit wieder herzustellen.

Im Laufe dieser Arbeit soll ein System entwickelt werden, welches den Zustand jeder einzelnen Batteriezelle berechnen kann. Die aufgenommenen Daten sollen hierbei grafisch am PC dargestellt und ausgewertet werden. Weiterhin sind verschiedene Versuche durchzuführen, an denen die Notwendigkeit eines solchen Überwachungssystems erkannt werden können. Die Betrachtung der Ergebnisse soll Aufschluss über die Funktion des Systems

geben und bei Bedarf Mängel aufzeigen. Für die Versuchsdurchführung ist ein geeignetes Testobjekt zu finden. Bei der Entwicklung ist darauf zu achten, dass das gesamte System kostengünstig herzustellen ist. Ebenfalls sollte es auf schon vorhandene Systeme aufsetzbar sein.

1.1. Aktueller Stand der Technik

Viele Firmen haben bereits erkannt, dass eine intelligente Batterieüberwachung die Lebenszeit von Batterien um ein vielfaches verlängern und zudem auch noch Kosten sparen kann. Aktuelle Systeme, wie das *Sentinel* von LEM Holding, übertragen die Daten über ein verdrahtetes Bus System. Hierbei sind Busleitungen von jedem Sensor zum Steuergerät zu verlegen. Diese Verdrahtung birgt recht hohe Kosten. Daher wird in der vorliegenden Arbeit mit einer drahtlose Datenübertragung gearbeitet. Die Art der Messung ist vergleichbar mit der in dieser Arbeit angewendeten. Hier wird an jeder Zelle die Spannung, Temperatur und zusätzlich noch die Impedanz gemessen. Daraus läßt sich zuverlässig der SOC und SOH bestimmen. [23]

Andere Geräte wie *Der intelligente Batteriesensor* von Hella KGaA Hueck & Co sind direkt für den Einbau im Kraftfahrzeug entwickelt. Hierbei handelt es sich um eine Batterieklemme mit integrierter Messsensorik. Der Nachteil hierbei ist, dass nicht jede einzelne Zelle überwacht werden kann. Um diesen Nachteil zu kompensieren, ist neben der Spannungs- und Temperaturmessung noch eine Strommessung implementiert. Für die Berechnung des SOC oder SOH birgt es keinen Vorteil. Es können aber defekte Geräte anhand des Ruhestroms erkannt werden. [12]

Im Bereich der Unterhaltungselektronik sind ebenfalls einige Systeme zu finden. Dort reicht das Spektrum von einzelnen Chips, die Ladealgorithmen an das Netzteil senden, bis hin zu Systemen, die die Temperatur und die Spannung kontinuierlich messen, um daraus den SOC und SOH berechnen. Diese Systeme sind in den Batterien integriert. Batterien diesen Typs werden *intelligente Batterien* genannt. Diese Technik hat sich bis jetzt nur in Kleinstbatterien durchgesetzt.

Betrachtet man die derzeit auf dem Markt erhältlichen Geräte, wird deutlich, dass hier noch viel Entwicklungspotenzial vorhanden ist. Geräte, die universal einsetzbar sind, werden benötigt. Zudem sind noch wenige Erkenntnisse über die genau Bestimmung des Ladezustandes der verschiedenen Batterietypen bekannt.

1.2. Bleiakkumulator

Für einen besseren Überblick wird der Aufbau und die Funktion handelsüblicher Bleiakkumulatoren erläutert. Im nachfolgenden Text wird der Begriff Akkumulator oder Bleiakkumulator häufig durch den umgangssprachlichen Ausdruck Batterie ersetzt.

1.2.1. Geschichte des Bleiakкумуляtors

Die Geschichte der elektrochemischen Zellen beginnt im Jahre 1789 mit einer Beobachtung des italienischen Naturforschers und Professors für Anatomie Luigi Galvani. Dieser entdeckte durch Experimente mit Froschschenkeln eine Kontraktion der Muskeln durch Einfluß statischer Elektrizität. Diese so genannte „tierische Elektrizität“ regte in den neunziger Jahren des 18. Jahrhunderts den Physiker Alessandro Conte di Volta zum Bau der nach ihm benannten Volta-Säule an. Die Volta-Säule ist nach heutigem Sprachgebrauch eine sogenannte Primärzelle, die chemische Reaktion ist nicht oder nur teilweise umkehrbar. [2]

Als Entdecker des Vorläufers der heutigen Akkumulatoren gilt Johann Wilhelm Ritter (1776 bis 1810). Anhand seiner Experimente mit der Volta-Säule und verschiedener Metalldrähte beobachtete er die elektrolytische Wasserzersetzung und fing dabei Wasser- und Sauerstoff getrennt auf. Nach Laden einer Batterie mit der Volta-Säule konnte er sie wieder entladen. Diese von ihm benannten A-Säulen gelten als Vorläufer der heutigen Akkumulatoren oder Sekundärzellen. [2]

Nach seinem Tod geriet seine Erfindung erst einmal in Vergessenheit. Erst im Jahre 1854 wurde sie vom Arzt Wilhelm Josef Sinsteden (1803 bis 1891) zum heutigen Bleiakкумуляtor weiterentwickelt. Durch die Erfindung von Sinsteden inspiriert entwickelte der Franzose Gaston Planté einen kompakten Bleiakкумуляtor mit aufgerollten Bleiplatten (Bild 1.1). [2]

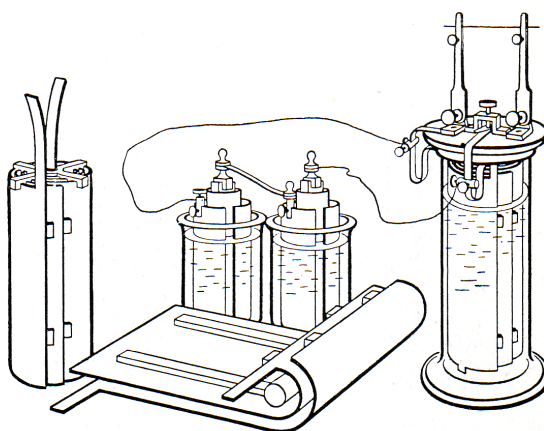
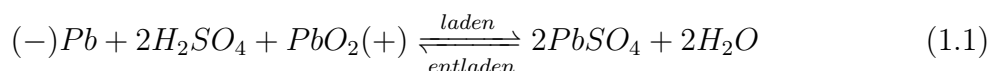


Bild 1.1.: Prinzipaufbau des Planté-Akkumulators [2]

Weitere Entwicklungen folgten, um die Kapazität und das Gewicht des Bleiakкумуляtors zu verringern. Die erste Verbesserung kam 1881 von Camille Faure, der die Bleiplatten mit Bleiverbindungen beschichtete und als Trennwände Filz verwendete. Ernest Volckmar verbesserte diese Idee, indem er Gitterplatten verwendete, welche mit Bleiverbindungen überzogen waren. Im Prinzip wurden damit zwei Plattentypen erfunden, die auch heute noch Anwendung finden: die Großflächenplatte und die Gitterplatte. [2]

Planté interessierte sich für die Reaktion, die in seinem Akkumulatore stattfand und schrieb seine Erfahrungen in seinem Werk „Recherches sur l'Electricité“ nieder. Nachgewiesen wurde die genau Reaktion jedoch erst durch die *Doppelsulfat-Theorie* von J. H.

Gladstone und Alfred Tribe. Diese beschreibt die Reaktionsgleichung im Bleiakкумуляtor [2, 6]



Weitere Nachforschungen folgten, um die Lebensdauer und die Kapazität des Bleiakкумуляtors zu erhöhen. Seit Anfang des 20. Jahrhunderts hat sich die Energiedichte in etwa vervierfacht, wobei das Gewicht durch den Einsatz von Bleigitterplatten verringert wurde. Bild 1.2 verdeutlicht dies und zeigt die Verbesserung der Energiedichte, gemessen in Wh/kg oder Wh/l, bezogen auf eine dreistündige Entladung. [2]

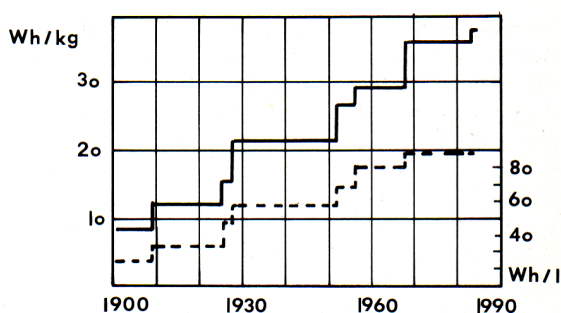


Bild 1.2.: Verbesserung der Energiedichte [2]

Der Bleiakкумуляtor ist ein gutes Beispiel dafür, dass eine Technik, die schon mehr als 150 Jahre besteht, immer noch weiterentwickelt werden kann. Neue Akkumulatortypen sind bis heute nicht in der Lage, den Bleiakкумуляtor abzulösen. Um aber den zukünftigen Anforderungen gerecht werden zu können, sind weitere Untersuchungen notwendig. Schwerpunkte sind die Lebensdauer und die Zuverlässigkeit eines Bleiakкумуляtors. Um höchstmögliche Zuverlässigkeit zu gewährleisten, ist eine Überwachung jeder einzelnen Batteriezelle unabdingbar. Diese Thematik wird in der vorliegenden Arbeit behandelt.

1.2.2. Elektrochemische Reaktion

Ein typischer Bleiakкумуляtor besteht aus mehreren in Reihe geschalteten, elektrischen Zellen, auch bekannt als galvanische Elemente. Allgemein betrachtet bestehen galvanische Elemente aus einem Elektrolyt, einer positiven und einer negativen Elektrode. Der Elektrolyt ist meist flüssig (herkömmliche Zelle) oder pastenartig (dryfit Zelle) und dient als Ionenleiter. Im Bleiakкумуляtor kommt Schwefelsäure (H_2SO_4) als Elektrolyt zum Einsatz. Um übermäßige Korrosion der Elektroden zu vermeiden, wird die Konzentration der Schwefelsäure auf etwa 30% reduziert. Die positive Elektrode besteht aus Bleioxid (PbO_2) und die negative Elektrode aus Blei (Pb). Dies ist einmalig, da in der Regel ein galvanisches Element aus zwei verschiedenen Metallen besteht. Der Aufbau einer solchen Zelle ist in Bild 1.3 schematisch dargestellt. [17, 26]

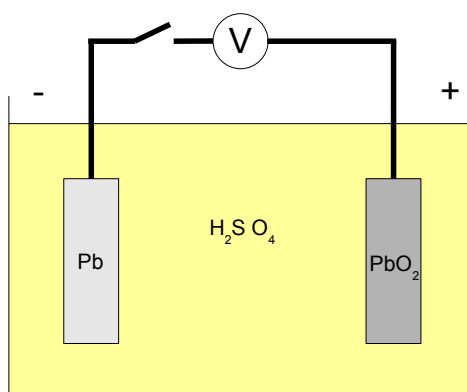


Bild 1.3.: Schematische Darstellung einer galvanischen Zelle

Um die genaue chemische Reaktion zu verstehen, ist es notwendig, den Lade- und Entladevorgang zu betrachten. Beim Entladevorgang (Bild 1.4) werden Elektronen von der Kathode über den Verbraucher an die Anode abgegeben. Die Anode entspricht in diesem Fall dem positiven Pol und die Kathode dem negativen Pol. Anders als in der allgemeinen Elektrochemie sind die Definitionen der Anode und der Kathode abhängig von der Richtung des Stromflusses. Die Anode ist definiert als Elektrode, an der eine Oxidation (Abgabe von Elektronen) stattfindet. Betrachtet man den Elektrolysevorgang aus diesem Blickwinkel, entspricht die Anode dem positiven Pol während des Ladevorgangs. Beim Entladevorgang entspricht die Anode allerdings dem negativen Pol. [10]

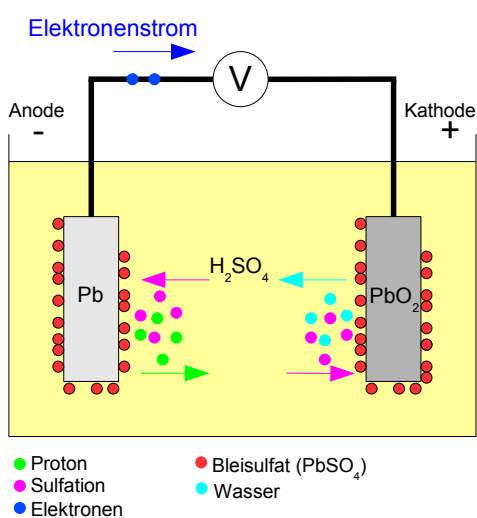
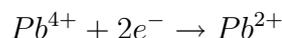


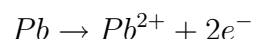
Bild 1.4.: Entladevorgang einer chemischen Zelle

Die chemischen Reaktionen, die dabei stattfinden, können durch folgende Gleichungen

beschrieben werden. Aufnahme von Elektronen an der Kathode (Reduktion), somit ein Übergang vom 4-wertigen zum 2-wertigen Bleiion:



Abgabe von Elektronen an der Anode (Oxidation), somit ein Übergang von Blei zum 2-wertigen Bleiion:



Die Summengleichung der Reduktion und Oxidation (Redoxreaktion) entspricht der Entladungsgleichung (Redoxgleichung) in einer Zelle:



Der Ladevorgang entspricht der Abgabe von Elektronen an der Anode, hier der negative Pol, und der Aufnahme von Elektronen an der Kathode (Bild 1.5). Somit sind die chemischen Vorgänge nach Formel 1.2 umgekehrt und es kann folgende Beziehung als gültig angesehen werden:

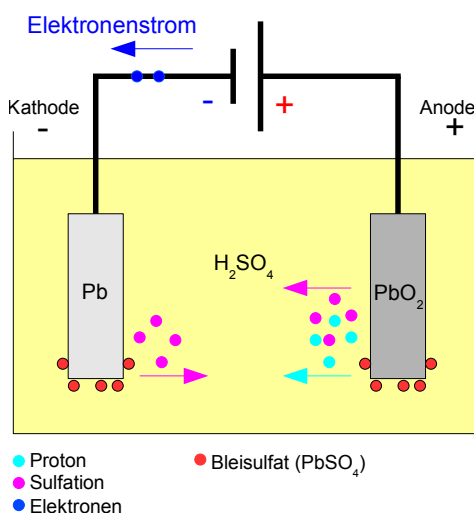


Bild 1.5.: Ladevorgang einer chemischen Zelle

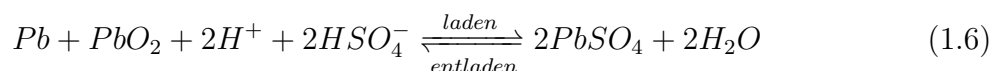
Vergleicht man Formel 1.3 mit Formel 1.1, der *Doppelsulfat-Theorie*, stellt man fest, dass diese nicht übereinstimmen. Es wird deutlich, dass außer den Bleispezies noch ein weiterer Stoff an der Reaktion beteiligt sein muss. Da sich in der Zelle nur noch der Elektrolyt (die Schwefelsäure) befindet, muss dieser maßgeblich an der Reaktion beteiligt sein. Man vervollständigt die Reaktionsgleichungen mit dem Elektrolyt und erhält somit an der positiven Elektrode:



Daraus resultiert die Reaktionsgleichung an der negativen Elektrode:



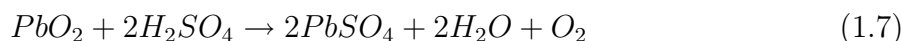
Die Summe dieser beiden Gleichungen ergibt die wirklichkeitsnahe Reaktionsgleichung:



1.2.3. Selbstentladung

Selbstentladung beschreibt den Vorgang, der in einem Bleiakкумулятор abläuft, wenn er nicht an einen Verbraucher oder an ein Ladegerät angeschlossen ist. An den Elektroden laufen (auch im ruhenden Zustand) elektrochemische Reaktionen ab. Diese Reaktionen führen dazu, dass sich der Bleiakкумулятор mit der Zeit selbst entlädt. In der Praxis spricht man von monatlich 2 bis 10%, je nach Typ und Alter des Akкумуляtors.

Diese Reaktionen liegen unter anderem daran, dass Blei auch in Lösung gehen kann, wenn kein Strom durch die Elektroden fließt. Die folgende Gleichung beschreibt den Lösungsvorgang von Bleidioxid in Schwefelsäure:



1.2.4. Ladezustand

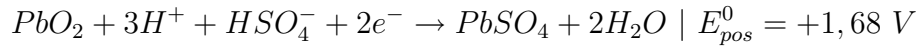
Der Ladezustand, im englischen State of Charge (SOC), kann über mehrere mehr oder minder genaue Techniken ermittelt werden. Die genaueste ist die Messung der Konzentration des Elektrolyts. Durch Bildung von Wasser beim Entladungsvorgang (Formel 1.7) sinkt die Konzentration der Schwefelsäure. Somit ist die höchste Säurenkonzentration bei voller Ladung erreicht. Die Säurekonzentration schwankt zwischen 37 und 15 Massenprozent beziehungsweise die Elektrolytdichte zwischen 1,28 kg/l und 1,10 kg/l. Allerdings ist die Messung der Elektrolytdichte sehr kostenintensiv und daher für konventionelle Systeme kaum sinnvoll einsetzbar. [2, 11]

Eine andere Möglichkeit ist das Messen der Zellenspannung in Ruhe und unter Belastung. Parallel dazu ist die Temperatur zu ermitteln. Eine Auswertung beider Messwerte läßt einen Rückschluss auf den Ladezustand zu. Diese Technik ist einfach und kostengünstig umzusetzen und wird in vorliegender Arbeit verwendet.

Errechnet werden kann die Ruhespannung (die Potentialdifferenz) mit Hilfe der elektrochemischen Spannungsreihe. Betrachtet werden dazu die Standardelektrodenpotenziale (E^0) von Oxidation und Reduktion während des Ladevorgangs. „Unter dem Standardpotential eines Redoxpaares (sind 2 Stoffe die miteinander unterschiedlich reagieren) versteht man die unter Standardbedingung (z.B.: Luftdichte, Standardtemperatur und Standarddruck) messbare elektrische Spannung zwischen einer Wasserstoffelektrode (wird allgemein als Elektrode bezeichnet) und der Halbzelle (setzt sich zusammen aus einem Metall und

seiner Salzlösung) jenes Redoxpaares.“ [7] Standardpotenziale sind in diversen Tabellen ablesbar, z.B. [15]. [2]

Entladungsvorgang an der positiven Elektrode nach Formel 1.4:



Entladungsvorgang an der negativen Elektrode nach Formel 1.5:



Die Potentialdifferenz der beiden Entladungsvorgänge entspricht dem Standardpotential E^0 :

$$E^0 = E_{pos}^0 - E_{neg}^0 = 1,68 \text{ V} - (-0,36) = 2,04 \text{ V} \quad (1.8)$$

Wird bei Leerlauf eine Spannung von $U_0 = 2,04 \text{ V}$ ermittelt, entspricht der Ladezustand 100%. Eine Leerlaufspannung von 1,7 V entspricht einer vollständig entleerten Batterie.

Neben dem Ladezustand (SOC) ist noch der Zustand jeder Batteriezelle zu berücksichtigen, im englischen State of Health (SOH). Dieser kann als prozentuale Differenz der aktuellen zur Nennkapazität oder als Restkapazität definiert werden. In Bild 1.6 ist dieser Bezug grafisch dargestellt.

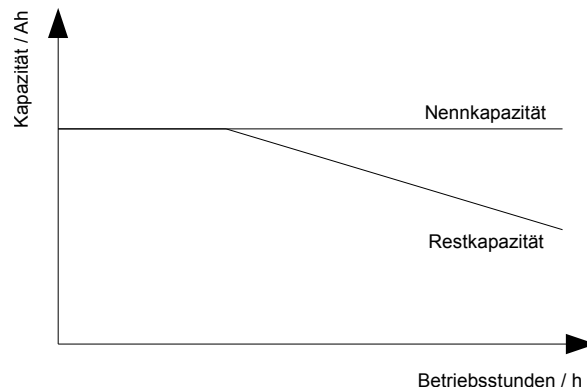


Bild 1.6.: Kapazitätsverlust eines Akkumulators

Im Laufe eines Batterielebens kann nicht verhindert werden, dass der SOH jeder Zelle unterschiedlich abnimmt. Bei einer Antriebsbatterie zum Beispiel leiden die inneren Zellen stärker, da sie sich stärker erhitzen. Wird aber darauf keine Rücksicht genommen und der Ladeprozess wie bisher fortgesetzt, wird die Lebenszeit mehr und mehr verkürzt. Ausfälle der Zellen mit schwachen SOH sind vorprogrammiert. Der Grund liegt auf der Hand. Die geschwächten Zellen sind schneller geladen und werden bei einem normalen Ladevorgang überladen. Bei einer Überladung tritt Gitterkorrosion (Kapitel 1.2.6) auf. Diese zersetzt die Gitterplatten und zerstört die Batterie. Um dies zu verhindern, können die stärkeren auf das Niveau der schwächeren Zellen gebracht werden. Dies kann durch direktes Entladen der stärkeren Zellen erfolgen. Wird daraufhin die Batterie wieder geladen, werden die schwächeren Zellen nicht überladen.

1.2.5. Mechanischer Aufbau

Die folgenden Beschreibungen beziehen sich auf eine handelsübliche 12 V Starterbatterie der Firma VARTA. Die vorliegende Arbeit behandelt einen etwas anderen Akkumulatortyp, den sogenannten Röhrenplatten-Akkumulator. In der Funktion gleichen die beiden Typen sich. Der einzige Unterschied ist der Aufbau der positiven Elektroden. Dieser Unterschied wird am Ende des Kapitels verdeutlicht. Den Aufbau einer VARTA Blockdeckelbatterie der ULTRA dynamic Serie stellt Bild 1.7 dar.

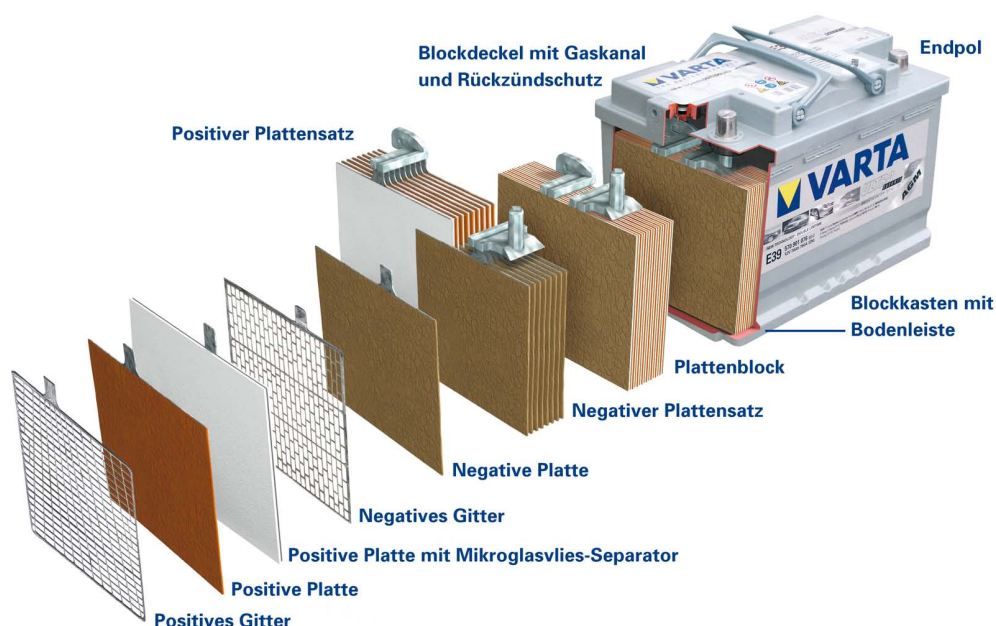


Bild 1.7.: Querschnitt durch einen Bleiakкумулятор [9]

Starterbatterien enthalten sechs Zellen, die nebeneinander angeordnet sind. Jede Zelle besteht aus mehreren positiven und negativen Platten, die miteinander verbunden sind. Die Platten bestehen nicht aus einem festen Körper. Dies war in den Anfängen der Fall, stellte sich aber schnell als Nachteil heraus. Heutzutage werden Gitter verwendet, die mit einer aktiven Masse beschichtet werden. Die Hauptbestandteile der Beschichtung, einer pastenartigen Masse, sind Bleioxid (PbO), Schwefelsäure (H_2SO_4) und Wasser (H_2O). Die Gitter bestehen aus einer Blei-Antimon-Legierung und werden in verschiedenen Verfahren hergestellt. Das positive Gitter wird durch Schmelzung und Gießen, das negative Gitter aus Streckmetall gewonnen. Die Beschichtungen wie auch die Gitter sind verschieden. Der Hauptbestandteil der positiven Platte ist Bleidioxid (PbO_2). Die Beschichtung der negativen Platte besteht hauptsächlich aus schwammigem Blei. [2,9]

Um die negative Platte von der positiven zu trennen, werden Separatoren eingesetzt. Diese bestehen aus einem säure- und temperaturbeständigem Mikroglasvlies und sind zu

„Taschen“ geformt. Diese „Taschen“ schützen vor internen Kurzschlüssen und umhüllen die positiven Platten. Eine positive und eine negative Platte werden zu einem Plattensatz geschaltet. Mehrere Plattensätze bilden einen Plattenblock, in dem jede negative und jede positive Platte untereinander verbunden ist. Die Größe und die Anzahl der Plattensätze sind für die Kapazität und den Innenwiderstand einer Batterie ausschlaggebend. Je größer die Platten, desto geringer ist der Innenwiderstand. Je mehr Plattensätze, desto höher ist die Kapazität. [9]

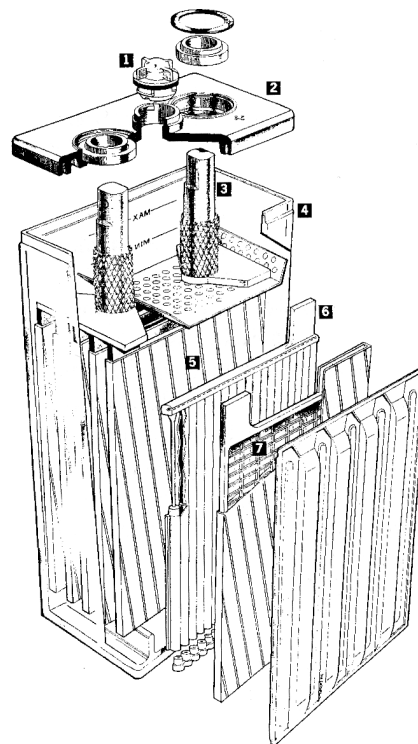
Die sechs Zellen sind entgegengesetzt im Blockkasten angeordnet. Dabei wird der negative Pol einer Zelle mit dem positiven Pol der nächsten Zelle verbunden. Durch diese Reihenschaltung entsteht eine Gesamtspannung von 12 V. Verschluss wird der Blockkasten mit einem Block- oder Monodeckel. Die allgebräuchliche Variante ist der Monodeckel, der in Bild 1.7 zu sehen ist. Hier liegen die Pole der Batterie frei. Beim Blockdeckel sind die Pole in eine Mulde eingebettet. Das verwendete Material für Kasten und Deckel ist schlagfestes Polypropylen. Dieser Kunststoff verleiht der Batterie die Festigkeit, bei einem Auffahrunfall einer Verzögerung des 50-fachen der Erdbeschleunigung standzuhalten. Die Verbindung von Kasten und Deckel wird durch Spiegelschweißen hergestellt, wobei beide Teile erhitzt und längere Zeit aufeinander gepresst werden. [2, 9]

Um die im Blockkasten beim Ladevorgang entstehenden Gase abzuführen, wurden bei älteren Batterien Verschlussstopfen im Deckel mit kleinen Löchern versehen. Bei neueren, wartungsfreien Batterien ist im Deckel ein Gaskanal enthalten, der die Gase über eine kleine Öffnung entweichen lässt. [2, 9] Je nach Anwendung gibt es verschiedene Ausführungen:

- Kippsichere Stopfen (Flugzeug-, Bootsbatterien) [2]
- Katalysator- oder Rekombinationsstopfen (das Gasgemisch aus Wasser und Sauerstoff wird katalytisch zu Wasser rekombiniert, das der Zelle wieder zugeführt wird) [2]
- Flammenschutzstopfen (sie sind mit einem System ausgerüstet, das ein Zünden des Knallgasgemisches von außen verhindert) [2]
- Ventilstopfen (z.B. für tauch- und wadfähige Fahrzeuge: der Stopfen schließt bei Überflutung). [2]

Zu Beginn dieses Kapitels wurde angesprochen, dass in dieser Arbeit mit einem anderen Batterietyp gearbeitet wird, der sogenannten Antriebsbatterie. Der wichtigste Unterschied zu einer Starterbatterie besteht darin, dass jede Zelle einzeln aufgebaut ist. Dies hat den Vorteil, dass bei einem Defekt einer einzelnen Zelle diese einfach ausgetauscht werden kann und somit die Funktion des gesamten Akkumulators wieder hergestellt ist. Intern gibt es ebenfalls einen wesentlichen Unterschied. Die positive Gitterplatte ist durch eine Röhrenplatte ersetzt (Bild 1.8 Punkt 6). Dies hat den Vorteil, dass die Batterie selbst häufige und langanhaltende Tiefentladezyklen übersteht. In der Praxis sind dies 1000-2000 Tiefentladezyklen. [26]

Betrachtet man den Aufbau der Platten etwas genauer (Bild 1.9), ist der Unterschied klar deutlich erkennbar. Anstatt eines Gitters ist das Gerüst aus mehreren Röhren



1 Entlüftungsventil, 2 Deckel, 3 Polzapfen
4 Kunststoffgehäuse, 5 Seperatortasche,
6 positive Röhrenplatte, 7 negative Gitterplatte

Bild 1.8.: Aufbau einer Antriebsbatterie [26]

gefertigt. Die Röhren bestehen aus einem Gitterstab (lead-alloy-spine), der, wie auch bei der Starterbatterie, aus einer Pb-Sb-Legierung gefertigt ist. Jeder Gitterstab ist von einer aktiven Masse (positive active-material) überzogen. Als Schutz umhüllt den Gitterstab ein säurefestes, elektrolytdurchlässiges Röhren. In den Anfängen wurde das Röhren aus Hartgummi gefertigt, welches diesem Plattentyp den Namen Panzerplatte verlieh. [2, 26]

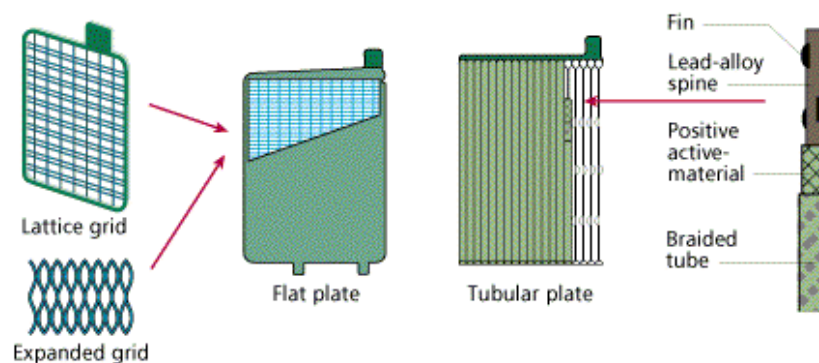


Bild 1.9.: Gitter- und Röhrenplatte einer Antriebsbatterie [5]

1.2.6. Alterung

Die Alterung von Bleiakкумуляtoren macht sich hauptsächlich durch eine geringere entnehmbare Kapazität bemerkbar. Ist diese unter 80% der Nennkapazität gesunken, so ist nach DIN 43539/Teil 4 ein Ende der Lebensdauer erreicht. Eine Alterungserscheinung ist unvermeidbar, durch sachgerechte Behandlung können jedoch viele Erscheinungen gemindert werden. [19]

Als Beispiel hierfür dient die Starterbatterie im Kraftfahrzeug. Diese muss in etwa alle fünf Jahre, bei schlechter Behandlung schon früher, ersetzt werden. Woran genau liegt das? Die Elektroden in einer Starterbatterie bestehen aus vielen Platten, die jeweils eine sehr große Fläche besitzen. Daraus resultiert ein extrem niedriger Innenwiderstand der Starterbatterie. Dieser niedrige Innenwiderstand erlaubt es, einen sehr hohen Strom zu entnehmen, wie er zum Beispiel für den Startvorgang eines Kraftfahrzeuges nötig ist. Doch gerade die dünnen Bleiplatten bergen erhöhtes Risiko: Sulfatierung, Gitterkorrosion und Abschlämzung stellen dabei die größten Probleme dar.

Sulfatierung bezeichnet den einen Vorgang bei dem vermehrt Bleisulfat ($PbSO_4$) gebildet wird. Dies geschieht bei längeren Entladungen unterhalb der Entladeschlussspannung, der sogenannten Tiefentladung. Die Entladeschlussspannung bei einem Bleiakкумуляtor liegt bei 1,7 V. Bleibt dieser Zustand länger erhalten, setzt sich vermehrt Sulfat an den Platten fest. Die daraus resultierende Verbreiterung der Platten kann die Separatoren sprengen, was zu einem Kurzschluss innerhalb einer Zelle führen kann (Bild 1.10). Diese permanente Sulfatierung führt dazu, dass sich Bleisulfatkristalle zusammenschließen. Ist eine kritische Größe der Kristalle erreicht, verwandelt sich das Bleisulfat in einen elektrischen Nichtleiter. Dieser ist dann unwirksam für die Lade-/Entladereaktion verloren. Zudem vergrößert sich dadurch der Innenwiderstand und der Startstrom verringert sich. [19]

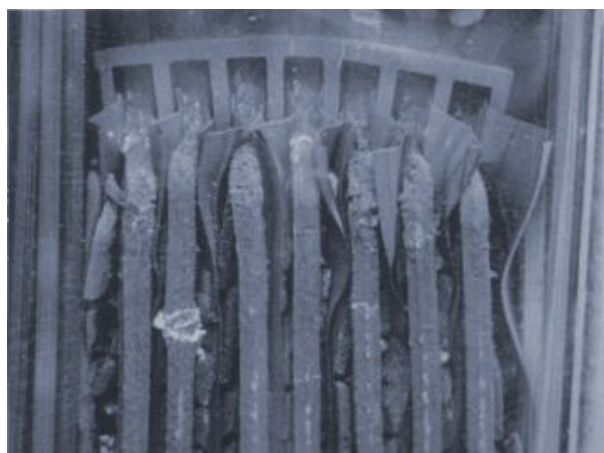


Bild 1.10.: Durch Sulfatierung und Korrosion gesprengte Separatoren [19]

Gitterkorrosion bezieht sich auf die Stoffe, die nicht zu Bleidioxid umgewandelt werden können. Dabei handelt es sich um Legierungsbestandteile wie Antimon, Zinn, Kupfer, Arsen, Silber und Calcium, die in den Gitterplattenträgern vorkommen. Diese

gelangen durch Diffusion über den Elektrolyt zur negativen Elektrode und werden dort als Metalle abgeschieden. Somit wird der Gitterträger in sich langsam abgebaut bis er zerfällt (Bild 1.11). Hervorrufen wird Gitterkorrosion durch längeres Überladen des Bleiakкумуляtors. Beim Überladen steigt die Temperatur überdurchschnittlich an, dies beschleunigt noch die Gitterkorrosion. [19]

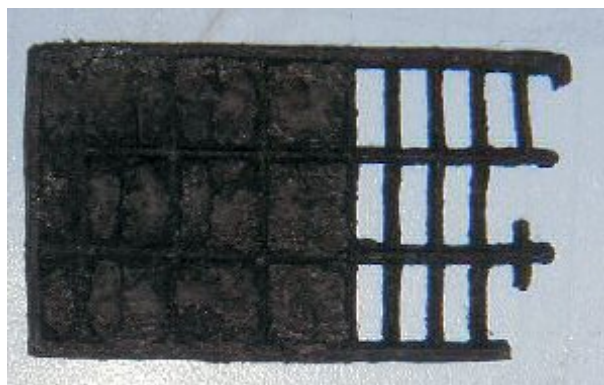


Bild 1.11.: Durch Korrosion zerstörte Gitterplatte [19]

Abschlammung im Akkumulator ist ein weiterer wichtiger Grund für den Kapazitätsverlust eines Bleiakкумуляtors. Abschlammung wird auch Shedding genannt. Durch den Lade- und Entladevorgang löst sich das Schwammblei an den negativen Platten und das Bleidioxid an den positiven Platten aus dem Gefüge. Dieser Vorgang ist nicht umkehrbar und hat den direkten Kapazitätsverlust zur Folge. Abhilfe schaffen dabei Gel-Batterien. Gel-Batterien sind aber im Kfz-Bereich unüblich und finden eher Gebrauch im Hobbybereich. [19]

Die aufgeführten Phänomene stellen die häufigsten Gründe für eine frühe Alterung von Akkumulatoren dar. Als Grundlage für die vorliegende Arbeit ist besonders die Gitterkorrosion und die Sulfatierung zu nennen. Diese „hausgemachten“ Probleme sind durch eine Zellspannungsüberwachung sofort zu erkennen und geeignete Gegenmaßnahmen können eingeleitet werden.

1.3. Funkdatenübertragung

Funkdatenübertragungen und **R**adio **F**requency **I**Dentification sind heutzutage wirtschaftlich unverzichtbar. Ende der 1960er Jahre revolutionierte eine RFID-Lösungen den Markt, die sogenannte SICARID. Eingesetzt wurden diese Identifikationsmarken in Großlackierereien zur Markierung von Karosserieteilen. Es wurde schnell erkannt, was für ein potential RFID besitzt, zum Beispiel bei Warensicherungssystemen, Tierkennzeichnungen und Zugangskontrollen. Die Funkdatenübertragung geriet vorerst in den Hintergrund. Es gab Industrielle oder vom Militär genutzte Funk-Anwendungen, kommerziell vertriebene Systeme aber nicht. Dies änderte sich grundlegend mit voranschreiten der Computertechnik.

In den 1980er Jahren kamen Systeme auf den Markt, die einen Datenaustausch von Computer zu Computer über CB-Funk erlaubten. Mit Einführung der mobilen Kommunikation kam der Durchbruch. Funkdatenübertragungen waren allgegenwärtig. Um weiterhin Störungsfreiheit gewährleisten zu können wurden Verordnungen erlassen, die die Benutzung der verschiedenen Frequenzbereiche regeln. Neben kommerziell vertriebenen Frequenzbereichen (Mobilfunk) wurden auch kostenfreie Frequenzbereiche geschaffen. Dies gewährleistet, dass auch kleine Anwendungen Funkdatenübertragungen nutzen können. Diese freien Frequenzbereiche nennen sich ISM-Bereiche.

1.3.1. Frequenzbereiche

ISM steht für **I**ndustrial, **S**cientific and **M**edical Band und wird von der **I**nternational **T**elecommunication **U**nion (ITU), Sektor **R**adiocommunication (ITU-R) in den Regelungen 5.138 und 5.150 weitestgehend festgelegt.

Tabelle 1.1 zeigt alle ausgewiesenen ISM-Bereiche und einige typische Anwendungen. [3]

Frequenzbereich		Typische Anwendung
6,765 MHz	6,795 MHz	
13,553 MHz	13,567 MHz	Funktiketten, RFID
26,957 MHz	27,283 MHz	Modellbau-Fernsteuerung
40,66 MHz	40,70 MHz	Modellbau-Fernsteuerung
433,05 MHz	434,79 MHz	Babyphone, Funk-Schalter, RFID
868 MHz	870 MHz	Zulassungsfreie Handfunkgeräte (Europa), RFID
902 MHz	928 MHz	Zulassungsfreie Handfunkgeräte (USA)
2,4 GHz	2,5 GHz	Mikrowellenherde, Bluetooth, ZigBee, WLAN
5,725 GHz	5,875 GHz	WLAN
24 GHz	24,25 GHz	Einparkhilfe beim Pkw
61 GHz	61,5 GHz	Radar-Bewegungsmelder
122 GHz	123 GHz	
244 GHz	246 GHz	

Tabelle 1.1.: Ausgewiesene Frequenzbereiche durch die ITU-R [4]

Jeder Frequenzbereich bietet Vor- und Nachteile. Langwellen beispielsweise haben eine sehr hohe Eindringtiefe in nichtmetallische Stoffe. Somit ist es möglich, Transponder ins Fettgewebe von Tieren zu injizieren, um diese zu markieren. Die Datenrate ist bei diesen Transpondern allerdings sehr gering. Bei der Frequenzwahl eines RFID- oder Funksystems sind daher die Eigenheiten der zur Verfügung stehenden Frequenzbereiche zu berücksichtigen.

Die ausgewiesenen Frequenzbereiche unterliegen festgelegten Regularien. Diese werden in Europa durch die **E**uropäische **C**onference of **P**ostal and **T**elecommunications **A**dministrations (CEPT) zugeteilt. Die CEPT/ERC REC 70-03 definiert 13 verschiedene Anwendungen (Annexe) von *Short Range Devices* (Tabelle 1.2).

Für jede Anwendung ist der Frequenzbereich, der Leistungspegel, das Kanalraster und die Dauer (duty-cycle) der Aussendung definiert. RFID-Anwendungen im Langwellen-

Annex	Anwendung
Annex 1	Non-specific short range devices
Annex 2	Devices for detecting avalanche victims
Annex 3	Wideband data transmission systems
Annex 4	Railway applications
Annex 5	Road transport & traffic telematics
Annex 6	Equipment for detecting movement and alert
Annex 7	Alarms
Annex 8	Mode control
Annex 9	Inductive application
Annex 10	Radio microphones
Annex 11	RFID
Annex 12	Wireless application in healthcare
Annex 13	Wireless audio application

Tabelle 1.2.: Anwendungen aus der CEPT/ERC REC 70-03 [14]

bereich fallen unter Annex 9, da es sich um eine induktive Funkanlage handelt. Zulassungsfreie Handfunkgeräte (Tabelle 1.1) entsprechen Annex 11. Alle anderen häuslichen Anwendungen sind in Annex 1 definiert.

Die im Laufe der Arbeit entwickelte Anwendung kann keiner der schon definierten Annexen wahrheitsgetreu zugeordnet werden. Da es sich um ein Funkdatenübertragungssystem handelt, wird es derzeit Annex 1 zugeordnet. Sollten Systeme dieser Art weitreichend eingesetzt werden, ist es nach Meinung des Autors notwendig, eine eigene Kategorie (Annex) dafür zu verfassen.

Die vollständige Regulierung kann auf der Homepage des **E**uropean **R**adio **O**ffice (ERO) eingesehen werden: <http://www.ero.dk/>. [1, 14]

1.3.2. Digitale Modulation

Unter Modulation versteht man die Beeinflussung eines Signalparameters einer elektromagnetischen Welle durch ein Modulationssignal. Aus der Analogtechnik sind drei Modulationsarten bekannt. Je nachdem welcher Parameter geändert wird spricht man von Phasen-, Amplituden- oder Frequenzmodulation. Alle anderen Modulationsverfahren leiten sich aus diesen drei Modulationsarten ab. Auch die bei RFID-Systemen üblichen digitalen Modulationsverfahren **P**hase-, **F**requency- oder **A**mplitude **S**hift **K**eying sind davon abgeleitet.

Bei jeder Modulationsart spricht man von einem Träger und zwei Seitenbändern. Bei den Seitenbändern unterscheidet man zwischen dem *Unteren (LSB)* und *Oberen (USB) Seitenband*. In beiden Seitenbändern ist die Nutzinformation gespeichert und die Verschiebung auf der Frequenzachse entspricht der Frequenz des Nutzsignals.

Anders als bei der analogen Modulation wird bei der digitalen Modulation in der Regel nur zwischen zwei Zuständen umgeschaltet. Bei der PSK-Modulation werden die binären Zustände in einer Phasenverschiebung codiert, bei der FSK-Modulation in verschiedene

Frequenzen des Trägersignals und bei der ASK-Modulation in verschiedene Amplituden der Trägerschwingung.

Amplitude Shift Keying

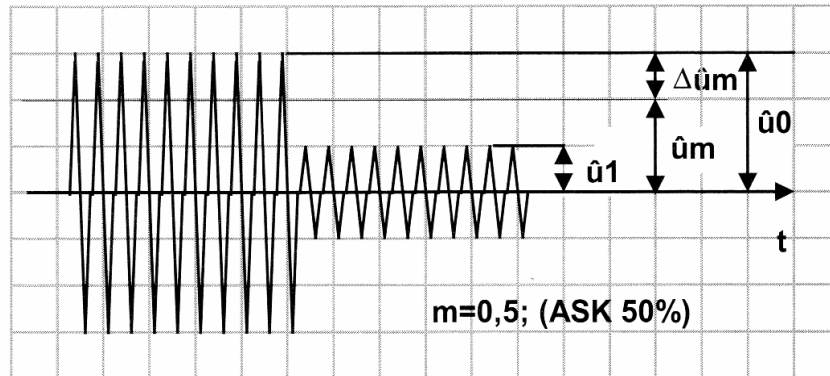


Bild 1.12.: ASK-Modulation [14]

Bild 1.12 zeigt ein moduliertes Trägersignal. Das verwendete Modulationsverfahren ist die ASK-Modulation. Hier stellen die binären Zustände 0 und 1 die Spannungen u_1 und u_0 dar. Je nach Tastgrad m , liegt u_1 zwischen 0 und u_0 . Der Tastgrad beschreibt hier nicht die Länge eines Tastimpulses sondern das Verhältniss der Amplitudenänderung. [14]

Um den Tastgrad zu bestimmen wird der Mittelwert \hat{u}_m berechnet. [14]

$$\hat{u}_m = \frac{\hat{u}_0 + \hat{u}_1}{2} \quad (1.9)$$

Das Verhältnis der Amplitudenänderung $\hat{u}_0 - \hat{u}_1$ zum Mittelwert \hat{u}_m [14]

$$m = \frac{\Delta \hat{u}_m}{\hat{u}_m} = \frac{\hat{u}_0 - \hat{u}_1}{\hat{u}_0 + \hat{u}_1} \quad (1.10)$$

Setzt man die Werte aus Bild 1.12 in Formel 1.9 und Formel 1.10 ein, erhält man als Ergebnis:

$$m = \frac{\hat{u}_0 - \hat{u}_1}{\hat{u}_0 + \hat{u}_1} = \frac{1 - 1/3}{1 + 1/3} = \frac{2/3}{4/3} = 0,5$$

Die Berechnung ist hier mit den Scheitelwerten durchgeführt worden. In anderer Fachliteratur werden die Berechnungen mit den Effektivwerten durchgeführt. Die Relationen sind bei beiden Berechnungen die selben, es handelt sich nur um eine andere Art der Darstellung.

Die am häufigsten eingesetzte Form der ASK-Modulation ist das **On-Off-Keying**. Hier wird der binäre Zustand direkt umgesetzt. Eine 0 entspricht somit einer 0 der Amplitude und eine 1 dem Wert u_0 . Werden diese Werte in Formel 1.10 eingesetzt, ergibt sich wie erwartet $m = 1$.

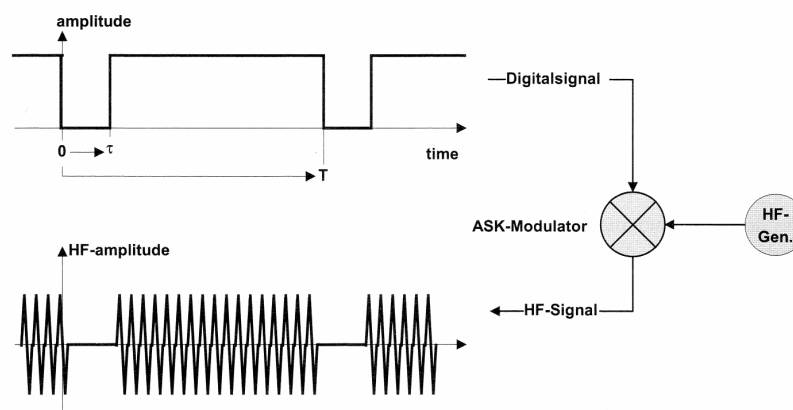


Bild 1.13.: Darstellung einer OOK-Modulation [14]

Mathematisch betrachtet entspricht die ASK einer Multiplikation des binären Datensignals mit dem Trägersignal. Bild 1.14 verdeutlicht noch einmal den Signalverlauf des binären Datensignals und des modulierten Trägers.

Frequency Shift Keying

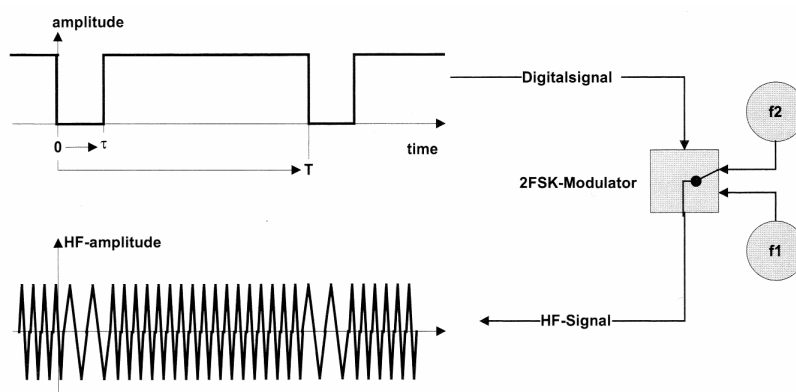


Bild 1.14.: Darstellung einer BFSK-Modulation [14]

Bei der FSK wird zwischen unterschiedlichen Frequenzen umgeschaltet. Die einfachste Form ist die 2-FSK oder BFSK. Hier wird zwischen der Frequenz f_1 und f_2 umgeschaltet. Das binäre Datensignal gibt den Schaltzustand an. Eine 0 entspricht somit der Frequenz f_1 und eine 1 der Frequenz f_2 (Bild 1.14). Als Trägerfrequenz wird der Mittelwert der beiden Frequenzen f_1 und f_2 definiert. Diese Form der FSK ist die einzige Form in der die Bitrate gleich der Symbolrate ist. Werden mehrere Frequenzen verwendet, spricht man von einer M-FSK. Hier ist die Bitrate nicht gleich der Symbolrate. [14]

Phase Shift Keying

Bei der PSK wird zwischen unterschiedlichen Phasenlagen umgeschaltet. Die einfachste Form ist die 2-PSK oder BPSK. Hier wird zwischen zwei Phasenlagen umgeschaltet. Typischerweise entspricht die Phasenlage 0° einer binären 0 und die Phasenlage 180° einer binären 1 (Bild 1.15). Mathematisch gesehen entspricht die BPSK einer Multiplizierung des Trägersignals mit „1“ oder „-1“. [14]

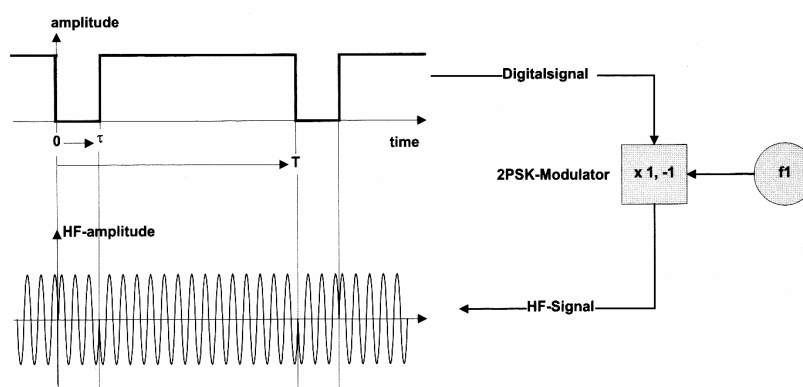


Bild 1.15.: Darstellung einer BPSK-Modulation [14]

1.3.3. Manchestercodierung

Bei einer Funkübertragung ist es nicht möglich, die Rohdaten über den Äther zu transportieren. Genau genommen wäre es zwar möglich, der Empfänger hätte dann aber keine Möglichkeit, bei einer gleichen Bitfolge (z.B. 1111 0000) Anfang und Ende eines einzelnen Bits zu erkennen. Die Begründung liegt nahe. Funkübertragungen sind auf eine Leitung beschränkt, die Luft. Über diese „Leitung“ werden alle Daten gesendet. Somit steht kein separater Takt für die Übertragung zur Verfügung. Da ein Takt aber benötigt wird, um bei einer seriellen Datenübertragung Anfang und Ende eines Bits zu erkennen, müssen die Rohdaten codiert werden.

Als Codierungsverfahren stehen mehrere Arten zur Verfügung. Je nach Anwendung ist ein geeignetes Verfahren auszuwählen. Bei passiven Transpondern ist besonders darauf zu achten, dass die Energieversorgung gewährleistet ist. Die einfachste und am häufigsten verwendete Codierung ist die Manchestercodierung.

Bei der Manchestercodierung handelt es sich um ein recht einfaches Codierungsverfahren. Um bei der Übertragung eine gleichbleibende Bitfolge zu unterbinden, müssen die Daten codiert werden. Die Codierung beschränkt sich auf das Zerspalten eines Bits in zwei Teilbits (Tabelle 1.3).

Ein HIGH-Pegel entspricht nach der Codierung einem HIGH-Pegel auf den ein LOW-Pegel folgt. Bei einem LOW-Pegel entspricht es einem LOW-Pegel auf den ein HIGH-Pegel folgt. Wendet man dieses Verfahren auf ein Datenwort an, so kann höchstens zweimal der gleiche Pegel nacheinander auftreten. Anhand eines Beispiels kann dies verdeutlicht werden.

Bitweise Darstellung	Manchesterkodierung
0	01
1	10

Tabelle 1.3.: Manchesterkodierung

Beispiel: Es soll ein Datenwort mit dem Bezeichner X übertragen werden. X soll 255 betragen. In bitweiser Darstellung entspricht das: $X_{bit} = 1011100$. Ohne eine Codierung kann dieses Datenwort nicht empfangen werden, da die Folge von 1 Bits und 0 Bits im Empfänger nicht erkannt wird. Wird die Bitfolge in Manchesterkodierung gebildet, ist es sehr einfach jedes Bit zu erkennen, da bei 50% eines Bits ein Wechsel des logischen Zustands stattfindet. In Manchesterkodierung entspricht das Datenwort $X_{Man} = 10011010100101$. Bild 1.16 zeigt die jeweiligen Bitfolgen.

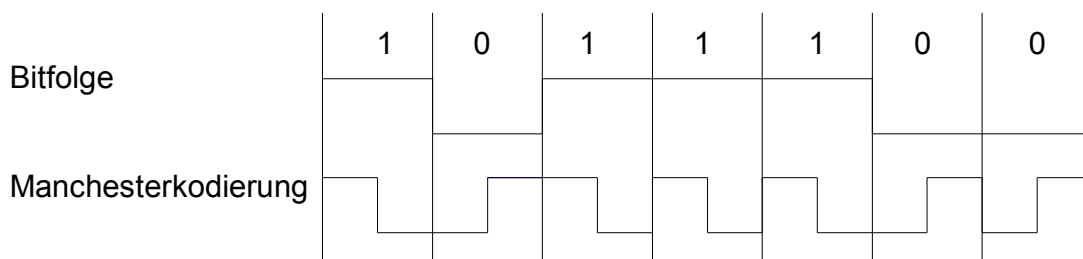


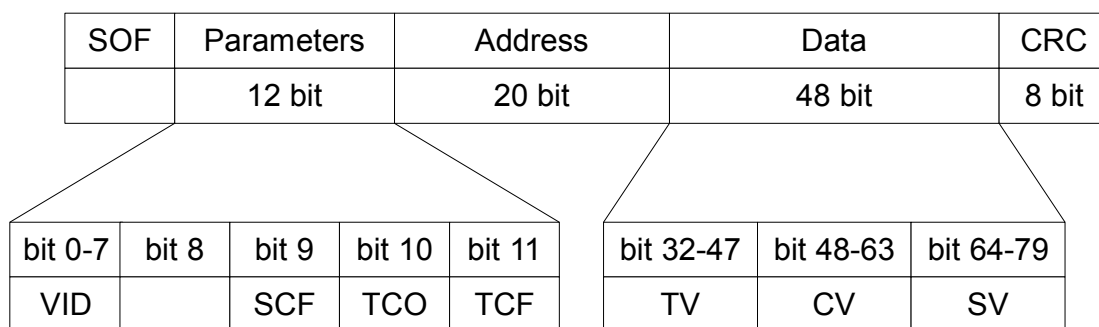
Bild 1.16.: Darstellung einer uncodierten Bitfolge und der in Manchesterkodierung codierten Bitfolge

Der einzige nennenswerte Nachteil der Manchesterkodierung ist die Verdopplung der Daten und eine daraus resultierende Halbierung der Datenrate. Diesen Nachteil besitzen allerdings alle Codierungsverfahren.

1.3.4. Übertragungsprotokoll

Als Übertragungsprotokoll bezeichnet man eine Vereinbarung, die den Austausch von Daten in einem Netz regelt. Ein Netz beschreibt die Verbindung mit der die kommunizierenden Computer oder Prozesse verbunden sind. In komplexeren Netzen arbeiten verschiedene Protokolle zusammen. Um die daraus resultierende Komplexität beherrschen zu können, werden diese Protokolle in verschiedene Schichten eingestuft. Protokolle höherer Schichten greifen auf die Daten niedrigerer Schichten zurück. Diesen Zusammenschluss mehrerer Protokolle nennt man einen Protokollstapel. Betrachtet man das TCP/IP Protokoll erkennt man etwa 500 verschiedenen Protokolle. [14]

Die Hardware erlaubt nur einen unidirektionalen Datenaustausch. Daher ist es nicht nötig, verschiedene Protokolle zu vereinbaren. Um zu vermeiden, dass Daten gleichzeitig



VID - Version Identification

SCF - Supply-voltage calibration factor

TCO - Temperature calibration offset

TCF - Temperature calibration factor

TV - Temperature value

CV - Cell-voltage value

SV - Supply-voltage value

Bild 1.17.: Aufbau des verwendeten Übertragungsprotokolls

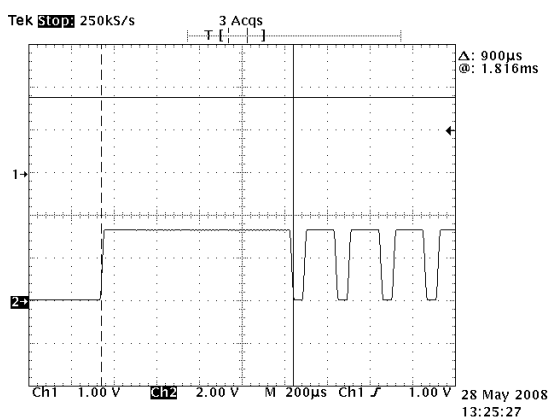
an den Empfänger gesendet werden, ist ein Antikollisionsverfahren implementiert. Angewendet wird ein asynchrones Verfahren, das ALOHA-Verfahren. Dabei handelt es sich um ein Zeitmultiplex Verfahren (TDMA). Hierbei werden die Daten in zufälligen Abständen an den Empfänger gesendet. Bild 1.17 zeigt den Aufbau des entworfenen Übertragungsprotokolls.

Das gesamte Protokoll umfasst 88 Bits. Die Daten werden unverschlüsselt gesendet. Um den Anfang einer Übertragung festzulegen, ist eine Run-In-Sequenz (SOF) vorangestellt. Diese umfasst einen Run-In-Block und eine definierte Bitfolge von 16 Bits. In Bild 1.18(a) ist der Run-In-Block dargestellt. Die Länge des Run-In-Blocks ist auf $900 \mu s$ festgelegt.

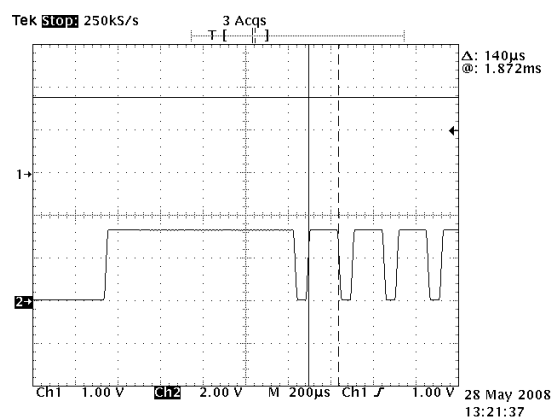
Nach dem Run-In-Block folgt eine 16 Bit breite Bitfolge, die dem Wert 1 entspricht. Diese Bitfolge dient dem Empfänger zur Kalibrierung der Übertragungsgeschwindigkeit. In Bild 1.18(b) ist der HIGH-Zustand und in Bild 1.18(c) ist der LOW-Zustand markiert. In der verwendeten Softwareversion sind die Zustände für LOW- und HIGH-Pegel unterschiedlich lang. Diese Abweichung von der Norm ist zu Testzwecken implementiert. Die Länge der Zustände beträgt $140 \mu s$ für den HIGH-Zustand und $60 \mu s$ für den LOW-Zustand. Diese Zeiten stellen die absoluten Randbedingungen dar. Bei weiterer Verwendung der Software muss dies beachtet und geändert werden. Die gesamte Zeit für ein codiertes Bit beträgt $200 \mu s$. Daraus ergibt sich eine Datenrate des decodierten Signals von 5 kBit/s .

Die folgenden 12 Bits dienen der Parameterübergabe. Da es sich um eine unidirektionale Übertragung handelt, ist es nicht möglich, diese Parameter im Sensor zu verändern. Diese Parameter werden nur zu Informationszwecken übergeben. Die ersten acht Bit (VID) beschreiben die Software Version des Sensors. Das neunte Bit ist noch nicht zugewiesen und kann frei verwendet werden. Das zehnte Bit (SCF), elfte Bit (TCO) und zwölfte Bit (TCF) geben an, ob der Kalibrierungsfaktor der Versorgungsspannungsmessung, der

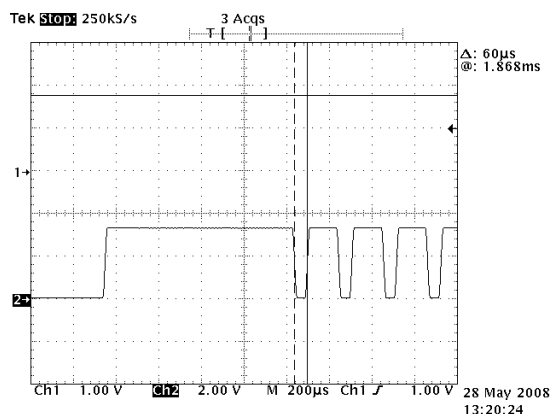
Offset der Temperaturmessung oder der Kalibrierungsfaktor der Temperaturmessung verändert wurde.



(a) Auszug aus der Run-In-Sequenz mit Markierung des Run-In-Blocks durch die Cursor



(b) Auszug aus der Run-In-Sequenz mit Markierung des HIGH-Zustands durch die Cursor



(c) Auszug aus der Run-In-Sequenz mit Markierung des LOW-Zustands durch die Cursor

Bild 1.18.: Verschiedene Auszüge aus dem Übertragungsprotokoll

Die folgenden 20 Bit enthalten die Adressinformation des Sensors. Der Bereich umfasst somit 2^{20} Adressen. Die erste frei zu vergebene Adresse ist 1. Dies liegt daran, dass die Adresse 0 dem Zustand nach der Programmierung entspricht.

Der dritte Block umfasst die eigentlichen Daten, die Messwerte. Er umfasst 48 Bit. Dabei sind jedem Messwert 16 Bit zugeordnet. Die Messwerte werden in der Reihenfolge: Temperatur (TV), Zellenspannung (CV) und Versorgungsspannung (SV) übermittelt.

Der letzte Block beinhaltet die Prüfsumme und ist 8 Bit breit. Als Prüfsummenverfahren kommt hier das CRC-Verfahren zum Einsatz. Dieses erlaubt eine einfache Erkennung von Übertragungsfehlern ohne eine Fehlerkorrektur. Um die Prüfsumme zu generieren, wird das Generatorpolynom, hier $0x00$, über eine XOR-Operation mit dem ersten zu übertragenen Byte verknüpft. Der daraus resultierende Wert dient als Startwert für die nächste XOR-Operation mit dem zweiten zu übertragenden Byte. Diese Operation findet

mit allen zu übertragenden Bytes statt. Am Ende ergibt sich die CRC-Prüfsumme.

Im Empfänger wird die CRC-Prüfsumme als Startwert für die Überprüfung verwendet. Hier werden ebenfalls alle empfangenen Bytes mit Hilfe der XOR-Operation verknüpft. Am Ende der Überprüfung muss der Wert dem des Generatorpolynoms entsprechen. Ist dies nicht der Fall, ist in der Übertragung ein Fehler aufgetreten.

In Anhang C.2 ist eine Aufzeichnung des vollständigen Protokolls. Die Aufzeichnung erfolgte mit einem Oszilloskop. Die Rohdaten der Oszilloskopmessung wurden gespeichert und mit Hilfe von MATLAB dargestellt. Der MATLAB Code ist in Anhang B.2.3 zu finden.

2. Realisierung

Bei der Auswahl der Hardware mussten verschiedene Kriterien für den Sensor und für das Steuergerät berücksichtigt werden. Das wichtigste Kriterium ist ein besonders niedriger Stromverbrauch. Beide Geräte sind im Fahrzeug untergebracht und beziehen ihre Versorgungsspannung aus einer Batterie. Je nach Anwendung ist das die Starterbatterie im Automobil oder die Antriebsbatterie in Flurförderzeugen. Besonders im Automobil ist daher eine stromsparende Lösung wichtig. Dies liegt daran, dass bei längerem Stillstand die Batterie nicht entladen werden darf. Um dies zu verhindern ist ein maximaler Ruhestrom von 36 mA für alle Verbraucher im Kraftfahrzeug vorgeschrieben. Somit darf die Stromaufnahme, auch bei Betrieb von Sensor und Steuergerät, nicht mehr als einige Milliampere betragen.

Bei der Datenübertragung ist eine ausreichende Geschwindigkeit und eine genügende Reichweite wichtig. Ebenfalls muss berücksichtigt werden, dass das Überwachungssystem auf schon vorhandene Systeme aufsetzbar ist. Weiterhin sind sicherheitsrelevante Aspekte und der Kostenfaktor zu beachten. Nach Berücksichtigung dieser Aspekte ist die Entscheidung getroffen worden, die Datenübertragung per Funk zu realisieren. Hierbei ist keine Verkabelung notwendig. Diese senkt die Kosten und der Einsatz in schon vorhandenen Systemen wird erleichtert. Zudem sind Sensor und Steuergerät galvanisch getrennt ohne großen schaltungstechnischen Aufwand zu betreiben.

Um eine ausreichende Geschwindigkeit der Funkdatenübertragung bereitzustellen, sind vorab konventionelle Systeme untersucht worden. Bei dem entwickelten System kommen je nach Anwendung 6 bis 40 Sensoren zum Einsatz. Jeder Sensor muss mindestens einmal pro Minute seine Daten zum Steuergerät übertragen können. Die Daten bestehen, wie in Kapitel 1.3.4 beschrieben, aus 88 Bit plus der Startsequenz. Bei einer für 125 kHz Transponder üblichen Modulationsfrequenz von $f_{mod} = 1 \text{ kHz}$ ergibt sich für einen Sensor eine Übertragungszeit von:

$$t_{trans} = n_{bit} * \frac{1}{f_{mod}} + t_{start} = 88 * \frac{1}{1 \text{ kHz}} + 4,1 \text{ ms} = 92,1 \text{ ms} \quad (2.1)$$

Bei 40 Sensoren beträgt die reine Übertragungszeit: $t_{trans40} = t_{trans} * 40 = 3,684 \text{ s}$. Da die Daten in zufälligen Intervallen übertragen werden, ist die Bandbreite, ohne Übertragungsfehler zu berücksichtigen, nicht ausreichend. Somit kommt eine Übertragung im 125 kHz Bereich nicht in Frage.

Die vorliegende Arbeit beruht auf Ergebnissen die von Prof. Dr.-Ing. Karl-Ragnar Riemschneider zur Verfügung gestellt wurden. Daher sind Überlegungen, die den Sensor betreffen, schon im Vorfeld geschehen und nicht vom Autor dieser Arbeit durchgeführt worden (siehe Kapitel 2.1).

2.1. Sensor-System

Im folgenden Kapitel wird das Sensor-System beschrieben. Da dieser Teil der Hardware zur Verfügung gestellt und nicht selbst entwickelt wurde, wird nur eine Übersicht über das gesamte System gegeben. Bild 2.1 beschreibt schematisch den Aufbau des Sensor-Systems. Der Mikrocontroller übernimmt die zentrale Rolle. Die Messwerte werden mit den vorhandenen ADC aufgenommen und an den Sender übertragen. Dieser sendet die Daten an das Steuergerät.

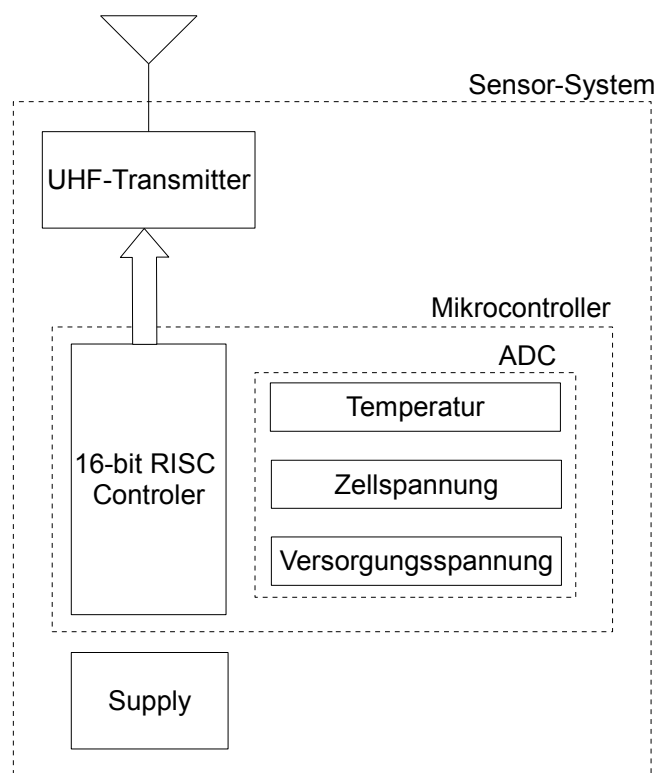


Bild 2.1.: Blockschaltbild des Sensor-Systems

Um den geringen Stromverbrauch zu garantieren, sind geeignete Komponenten gewählt worden. Als Mikrocontroller wird ein Controller der MSP430er Serie von Texas Instruments verwendet. Mikrocontroller aus dieser Serie sind derzeit die stromsparendsten Mikrocontroller auf den Markt. Um die Messaufgaben zu erledigen, ist ein 10 Bit Analog zu Digital Wandler und eine interne Diode zur Temperaturbestimmung vorhanden.

Die Versorgung stellt ein Problem dar. Die Spannung einer Zelle schwankt von 1,5 V bei starker Beanspruchung bis 2,4 V beim Ladevorgang. Bei schweren Tiefentladungen oder längeren Standzeiten kann die Spannung noch weiter sinken. Das Problem ist hierbei nicht die maximal zu erwartende Spannung, sondern die minimale Spannung. Der ausgewählte Mikrocontroller benötigt laut Spezifikation eine Spannung von mindestens 1,8 V, der Senderchip sogar 2,1 V. Als Lösung dieses Problems ist ein Step-Up-Converter verbaut.



(a) Sensorplatine ohne Anschlussfahnen und Schutzschlauch



(b) Sensorplatine mit geschützten Anschlussfahnen



(c) Sensorplatine mit Anschlussfahnen und Schutzschlauch

Bild 2.2.: Mechanischer Aufbau des Sensor-Systems

Um den Sensor vor äußeren Einflüssen zu schützen, wurde das gesamte Sensor-System in einem Schutzschlauch annähernd luftdicht eingeschweißt. Dies ist notwendig, da austretende aggressive Gase beim Ladevorgang die Bauteile des Sensor-Systems angreifen und zerstören könnten. Bild 2.2 zeigt das Sensor-System vor, während und nach dem Einschweißvorgang. Um Kontakt mit der Batteriezelle herzustellen, sind 4mm Stecker an die Anschlussfahnen montiert. Diese werden in die auf der Batterie vorhandenen Klemmschrauben aufgesteckt.

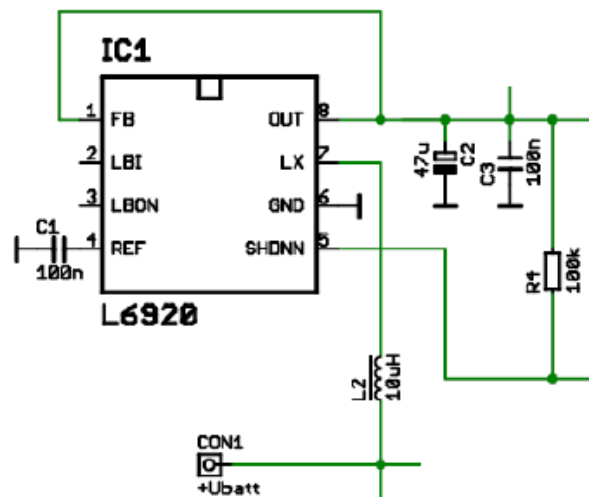


Bild 2.3.: Beschaltung des L6920 [21]

2.1.1. Step-Up-Converter

Als Spannungsversorgung kommt ein Step-Up-Converter der L6920 Serie zum Einsatz. Eingesetzt werden Step-Up-Converter in Kleinstgeräten, die mit einer niedrigen Versorgungsspannung auskommen müssen. Zum Einschalten werden nur 0,8 V benötigt, im

Betrieb sogar nur 0,5 V. Damit ist es möglich, eine Ausgangsspannung von 2 V bis 5,2 V zu erzeugen. Je nach Eingangsspannung und Laststrom ist eine Effizienz von bis zu 95% gewährleistet. Der niedrige Stromverbrauch der Schaltung bewirkt das Herabsetzen der Effizienz auf ungefähr 90%. [24]

Bild 2.3 stellt die Minimalbeschaltung dar wie sie auch im Sensor verwendet wird. Durch Beschaltung des FB Eingangs mit der Ausgangsspannung werden 3,3 V bereitgestellt. [24]

2.1.2. UHF-Transmitter

Im Vorfeld wurde erläutert, welche Anforderungen an das System gestellt werden. Die Datenübertragungsrate spielt dabei eine große Rolle. In Kapitel 2 wurde bewiesen, dass ein 125 kHz Transpondersystem kaum den Ansprüchen gerecht wird. Um eine ausreichende Bandbreite zur Verfügung zu stellen, ist das System mit einem Transmitter ausgerüstet, der im 434 MHz Bereich überträgt. Mit diesem Baustein ist es möglich, eine maximale Datenübertragungsrate von 20 kbps zu erreichen. Dies entspricht dem 20-fachen eines typischen 125 kHz Systems. Setzt man diese Werte in Formel 2.1 ein, so erhält man:

$$t_{trans} = 88 * \frac{1}{20 \text{ kHz}} + 4,1 \text{ ms} = 8,5 \text{ ms}$$

Bei 40 Sensoren ist eine reine Übertragungszeit von: $t_{trans40} = 340 \text{ ms}$ erreicht. Mit dieser Übertragungsgeschwindigkeit ist es möglich auch kurzzeitige Ereignisse zu erfassen. In der vorliegenden Arbeit werden die Möglichkeiten des Systems aber nicht ausgereizt. Es wird eine statistische Auswertung angestrebt, wobei es nicht nötig ist, jede Sekunden einen Wert zu erhalten. Bei anderen Systemen könnte dies eine Rolle spielen. Mit der Auslegung des Systems ist somit eine andere Anwendung nicht grundlegend ausgeschlossen.

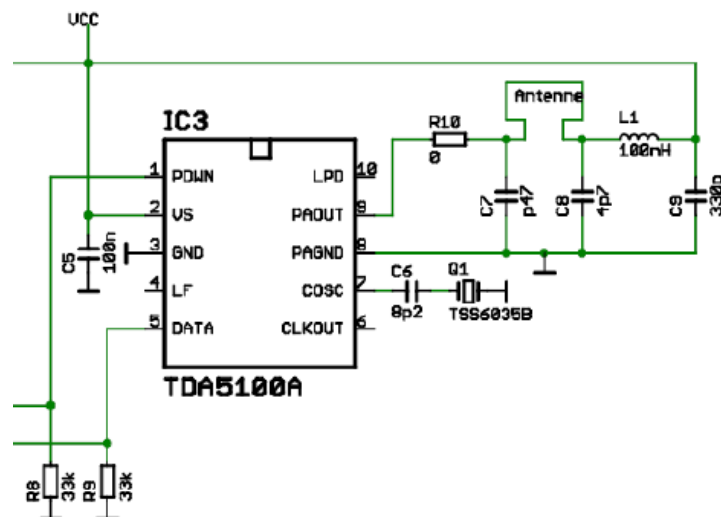


Bild 2.4.: Beschaltung des TDA5100A [21]

Der verwendete Baustein ist aus der TDA5100 Reihe mit der Zusatzbezeichnung A. Der Zusatz A bezieht sich auf den Frequenzbereich. Die TDA5100 Serie kann im 434 MHz

und im 869 MHz Bereich mit ASK oder FSK übertragen. Die Bausteine mit dem Zusatz A sind auf den 434 MHz Bereich und ASK beschränkt. [13]

In Bild 2.4 ist die Beschaltung des TDA5100A dargestellt. Die Komponenten C7-C9, L1 und R10 werden zur Abstimmung der Antenne benötigt. Diese ist als Schleifendipol direkt auf der Platine aufgebracht. Für die Berechnung der Antenne und die benötigten Komponenten sind folgende Wert ausschlaggebend: die Länge der Schleife (l), der Abstand der Windungen (D) und der Durchmesser der Windungen (d_1, d_2) (Bild 2.5).

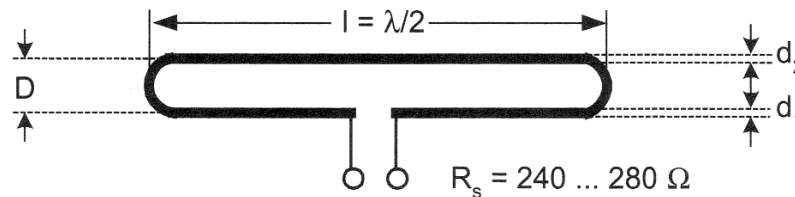


Bild 2.5.: Darstellung eines Schleifendipol mit der Länge $\lambda/2$ [14]

Die Wellenlänge λ beträgt bei 434 MHz: $\lambda = 69,08 \text{ cm}$. Die Maße der Antenne auf dem Sensor lauten: $l = 50 \text{ mm}$, $D = 16 \text{ mm}$, $d_1 = d_2 = 0,9 \text{ mm}$. Diese muss, da ihre Länge $l = \lambda/2$ oder $l = \lambda/4$ unterschreitet, elektrisch verlängert werden. Das heißt es erfolgt eine Anpassung mit einem geeigneten Netzwerk am Speisepunkt. Dies muss erfolgen, da sonst die kapazitiven die induktiven Anteile der Antenne überwiegen. Bei Antennen dieser Art spricht man von *kurzen Antennen*. [8]

2.1.3. Mikrocontroller

Die MSP430-Mikrocontrollerfamilie umfasst eine Vielzahl von leistungsstarken Mikrocontrollern. Der besondere Vorteil liegt im extrem niedrigen Stromverbrauch. Dieser kann durch die Auswahl von fünf Betriebsarten noch weiter gesenkt werden. Verschiedene Compiler erlauben es, den Mikrocontroller in *C* oder *Assembler* zu programmieren.

Einsatz im Sensor-System findet der Mikrocontroller mit der Bezeichnung MSP430x1232. Mehrere Gründe sprechen dafür:

- Stromverbrauch im μA Bereich
- 16 Bit RISC Architektur mit einer maximalen Frequenz von 8 MHz
- 8 kB Programmspeicher, 256 Byte FLASH und 256 Byte RAM
- 16 Bit Timer zur Signalgenerierung
- 10 Bit ADC für Spannungsmessungen
- Interne Diode zur Temperaturbestimmung
- ISP - In System Programming

Weitere Information sind dem Handbuch zu entnehmen. [25]

Die Messwertaufnahme beschränkt sich auf drei verschiedene Spannungsmessungen. Um die Temperatur zu bestimmen, wird die Spannung über eine interne Diode gemessen. Für diese Messung ist keine äußere Beschaltung notwendig. Durch Setzen eines Konfigurationsbits wird der ADC-Kanal intern mit der Diode verbunden. Bei der Temperaturmessung ist eine Kalibrierung erforderlich. Dies kann entweder in der Software des Sensor-Systems oder in der Software zur Auswertung der Ergebnisse geschehen. Bei der vorliegenden Arbeit wurden die Temperaturwerte in der MATLAB Software kalibriert. Dazu wurden verschiedene Temperaturen aufgenommen, die Differenz zu den realen Werten berechnet und dann eine Differenzgleichung abgeleitet. Die Kalibrierung ist in Kapitel 3.1.1 genauer beschrieben.

Die Versorgungsspannung wird ebenfalls intern gemessen und durch das Setzen eines Konfigurationsbits gestartet. Bei der Messung der Zellenspannung ist etwas Schaltungsaufwand erforderlich. Hier ist ein Spannungsteiler und ein Kondensator zur Spannungsglättung vorgesehen. Der Eingang des Spannungsteilers ist direkt an den positiven Pol der Zelle angeschlossen. Der Spannungsteiler besteht aus drei in Reihe geschalteten Widerständen mit jeweils $6,8\text{k}\Omega$. Der Abgriff für den Eingang des ADC ist direkt nach dem ersten Widerstand. Somit wird eine Spannung gemessen, die zwei Drittel der realen Spannung entspricht. Der gesamte Schaltplan des Sensor-Systems ist in Bild D.4 dargestellt.

2.1.4. Leistungsmessung

Um den tatsächlichen Verbrauch des Sensors zu messen, wurde ein Messwiderstand in Reihe zur Spannungsversorgung geschaltet. An diesen ist mit Hilfe eines Oszilloskops die Spannung gemessen worden. Da der Messwiderstand $1\ \Omega$ beträgt, ist die Spannung gleichbleibend mit dem Strom. Die Versorgungsspannung wurde im Vorfeld gemessen und als Referenz (R1 Bild 2.6) im Oszilloskopausdruck eingefügt. Durch Multiplikation der beiden Kurven ist die Leistungsaufnahme berechnet und als Kurve dargestellt worden (Math1 Bild 2.6).

Bild 2.6 stellt den gemessenen Leistungs-/Stromverlauf dar. Der Bereich 2 entspricht der Datenaufnahme und -übertragung. Die Übertragung sollte nach den in Kapitel 1.3.4 vorgestellten Zeiten zirka 20 ms betragen. Durch Temperaturschwankungen werden Differenzen von $\pm 15\%$ erwartet. Die hier ermittelte Zeit von 24,4 ms entspricht voll und ganz den Erwartungen. Der maximale Strom beträgt dabei 47,2 mA, die daraus resultierende maximale Leistung 62,4 mW. Der folgende Bereich 3 entspricht der restlichen Einschalt-dauer der Kontroll-LED auf dem Sensor. Diese beträgt laut Berechnung 50 ms (Anhang B.1.1). Die hier gemessene Zeit von 58ms ist auf Temperaturschwankungen zurückzuführen. Der Minimalstrom beträgt 4,4 mA welcher in Bereich 1 gemessen ist. Der Verbrauch im Ruhezustand ist somit 5,63 mW.

Je nach Anwendung ist der Stromverbrauch schon ausreichend gering. Es gibt aber noch Möglichkeiten diesen zu senken. Die Software könnte verändert werden, indem der Ruhezustand in einen Sleep-Modus des Mikrocontrollers resultiert. Weiterhin ist es möglich die Kontroll-LED zu entfernen und dadurch den Strombedarf zu senken. Je nach Anwendung sollten solche Maßnahmen in Betracht gezogen werden. Für den Einsatz im Gabelstapler

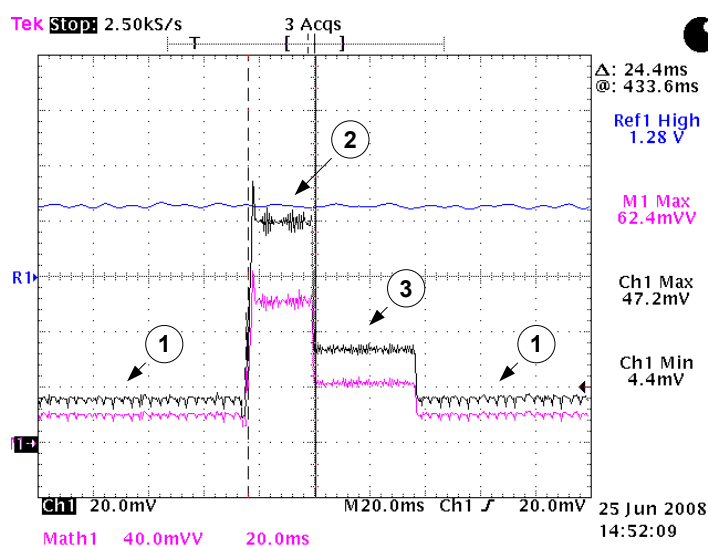


Bild 2.6.: Leistungsmessung: blau = Versorgungsspannung, schwarz = Stromaufnahme, pink = Leistungsaufnahme; 1 = Ruhezustand, 2 = Übertragungsfall, 3 = Kontroll-LED eingeschaltet

ist der Stromverbrauch ausreichend und es werden keine weiteren Bestrebungen diesen zu senken in vorliegender Arbeit behandelt.

2.1.5. Software

Die Software für das Sensor-System ist von Dipl.-Ing. Bernd Fischer geschrieben und getestet worden. Die Anforderungen an das Sensor-System sind überschaubar. Die Messwerte sind mit den internen ADC aufzunehmen und seriell an den UHF-Transmitter zu übergeben. Der gesamte Quellcode ist in Anhang B eingefügt.

In Bild 2.7 ist der Ablauf der Sensor-Software dargestellt. Zu Beginn erfolgt die Initialisierung. Hier wird die interne Peripherie des Mikrocontrollers konfiguriert. Dazu gehören der verwendete Timer, die IO-Ports und der ADC mit seinen verschiedenen Kanälen. Ebenfalls wird der Datenflash ausgelesen. In ihm befinden sich Informationen, die das Sensor-System betreffen, wie die Adresse und verschiedene Korrekturwerte für die Spannungsmessungen. Um Daten in den FLASH des Mikrocontrollers schreiben zu können, muss ein Zeiger auf den Datenbereich vereinbart werden. Die genaue Vereinbarung ist in Listing 2.1 dargestellt. Der Datenflash beginnt bei den hier verwendeten MSPx1232 ab der Adresse 0x1000. Nach dieser Adresse ist die Struktur mit dem Namen *InfoBlock* abgelegt. Um Elemente aus dieser Struktur zu lesen, ist die gleiche Syntax wie bei herkömmlichen Pointern anzuwenden (Listing 2.2).

Zur Speicherung von Werten ist etwas mehr Aufwand notwendig. Da bei einem FLASH die einzelnen Bits nicht einzeln gesetzt werden können, muss der jeweilige Bereich des FLASH gelöscht werden bevor er neu beschrieben werden kann. Da bei dem Sensor-System nur wenige Daten im FLASH abgelegt werden, wurde diese Funktion nicht implementiert.

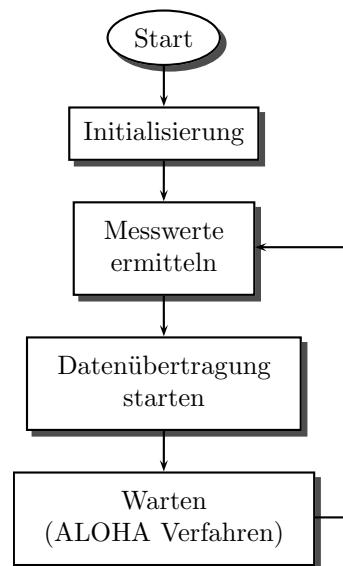


Bild 2.7.: Ablaufdiagramm der Sensorsoftware

Statt dessen werden die Daten mit Hilfe des Debuggers in den FLASH geschrieben. Weitere Informationen über die Verwendung des Datenflash sind dem Datenblatt [25] zu entnehmen.

Listing 2.1: Vereinbarung der Systemdaten im Datenflash

```

1  ....
2  struct InfoBlock
3  {
4      unsigned long magicID;
5      unsigned long sensorID;
6      // Daten für Kalibrierung
7      unsigned short vFactor;
8      unsigned short tOffset;
9      unsigned short tFactor;
10 };
11 // Daten im FLASH des Mikrocontrollers ablegen!!!
12 const struct InfoBlock *const infoBlock = (const struct InfoBlock *)0x1000;
13
14 const unsigned long magicID = 0x64490F01;
15 const unsigned char version = 0x01;
16 ....

```

In Listing 2.1 sind zwei weitere Konstanten definiert: *magicID* und *version*. Die Versionsnummer ist jeder Datenübertragung, im Parameterblock unter VID, angehängt (Kapitel 1.3.4). Die Konstante *magicID* ist, wenn der Sensor konfiguriert ist, in der Struktur *InfoBlock* enthalten. Entspricht der Wert in der Struktur dem der Konstanten *magicID*, ist der Sensor konfiguriert. Entspricht er nicht dem der Konstanten, ist der Sensor nicht konfiguriert und die Adresse 0 wird dem Sensor vergeben (Listing 2.2). Des Weiteren werden die Korrekturfaktoren aus dem FLASH gelesen und abgespeichert.

Listing 2.2: Auslesen der Systemdaten aus dem Datenflash des Mikrocontrollers

```

1 int main(void)
2 {
3     if (infoBlock->magicID != magicID)
4         initTransmit(0x00000000);
5     else
6     {
7         unsigned long sensorID = infoBlock->sensorID;
8         sensorID &= 0x000FFFFFF;
9         unsigned long versionID = version;
10        versionID <<= 24;
11        sensorID |= versionID;
12
13        // Auslesen der Korrekturfaktoren
14        if (infoBlock->vFactor != 0xFFFF)
15        {
16            vFactor = infoBlock->vFactor;
17            sensorID |= 0x00400000;
18        }....

```

Nachdem die internen Komponenten initialisiert sind, werden die beiden externen Hardwarebausteine aktiviert. Dies geschieht durch Setzen eines bestimmten Ausgangspegels (HIGH oder LOW), eines IO-Pins. Im Falle des Step-Up-Converters entspricht das einem HIGH-Pegel am Pin 2.0 und im Falle des UHF-Transmitters einem HIGH-Pegel am Pin 1.1 (Bild D.4).

Nach der Initialisierung werden die Messwerte ermittelt. Dazu wird der Step-Up-Converter deaktiviert und die gesamte Schaltung durch einen Kondensator versorgt. Diese Maßnahme ist nötig, da durch den Step-Up-Converter starke Schwankungen in der Versorgungsspannung auftreten. Die Temperatur wird über die interne Diode gemessen. Dazu wird der ADC-Kanal intern mit der Diode verbunden und eine Referenzspannung angelegt. Die genauen Einstellungen sind im Anhang B.1.1 ab Zeile 290 dargestellt. Zur genauen Aufschlüsselung sind sie mit dem Datenblatt [25] zu vergleichen, in welchem auch die linearisierte Funktion zur Errechnung der Temperatur zu finden ist. Diese lautet:

$$Temperatur/^{\circ}C = \frac{(\frac{A10}{1024} * 1500 \text{ mV}) - 986 \text{ mV}}{3.55 \text{ mV}} \quad (2.2)$$

Um den Rechenaufwand so gering wie möglich zu halten, ist die Berechnung vereinfacht. Diese vereinfachte, skalierte Berechnung der Temperatur lautet:

$$Temperatur_{skaliert} = \frac{(A10 - 673) * 423}{128} \quad (2.3)$$

Die Versorgungsspannung wird über einen internen Spannungsteiler gemessen. Die ermittelte Spannung beträgt dabei 1/2 der gesamten Spannung. Die Einstellungen des ADC sind im Anhang B.1.1 ab Zeile 309 dargestellt.

Die Zellenspannung wird über einen externen Spannungsteiler gemessen, welcher wie in Kapitel 2.1.3 beschrieben aufgebaut ist. Die ermittelte Spannung beträgt 2/3 der realen Spannung. Die Einstellungen des ADC sind dem Anhang B.1.1 ab Zeile 329 zu entnehmen. Die Formel zur Berechnung der Zellenspannung lautet:

$$U_{Zelle}/V = \frac{3}{2} * \frac{A10 * 2500 \text{ mV}}{1023} \quad (2.4)$$

Auch hier wird die Formel vereinfacht und ein Skalierungsfaktor eingefügt. Die Formel lautet dann:

$$U_{Zskaliert} = \frac{A10 * 3750 + 125}{250} \quad (2.5)$$

Wie beschrieben sind alle drei Messwerte skaliert. Tabelle 2.1 stellt die Skalierungsfaktoren dar, die bei der Analyse berücksichtigt werden müssen.

	Skalierungsfaktor
Temperaturmessung	x/8
Zellspannungsmessung	x/4096
Versorgungsspannungsmessung	x/4096

Tabelle 2.1.: Skalierungsfaktoren der Messungen

Nachdem alle Messwerte ermittelt sind, wird die Übertragung gestartet. Diese läuft vollkommen im Interrupt des Timers ab. Bild 2.8 beschreibt den genauen Ablauf im Timerinterrupt. Er ist in Intervalle aufgeteilt, die nur einem Teil einer Bitlänge entsprechen. Somit wird der Interrupt mehrmals aufgerufen, um dem Zustand von einem Bit zu entsprechen. Ist die Übertragung abgeschlossen, wird ein Bit gesetzt. Daraufhin wird im Interrupt erkannt, dass keine Daten zur Übertragung bereitstehen und die Interruptroutine wird verlassen.

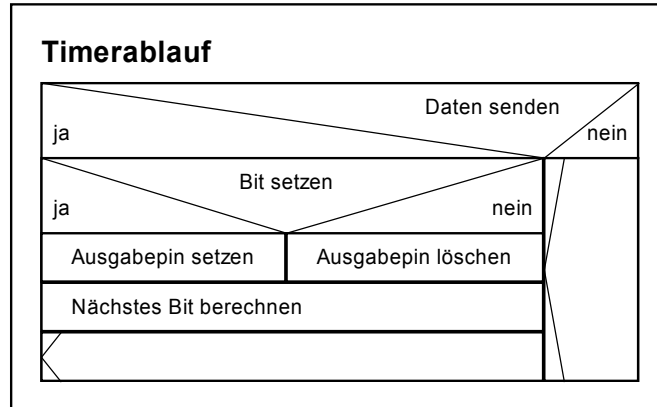


Bild 2.8.: Struktogramm des Timerinterruptes

Nachdem die Übertragung gestartet wurde, wird das Sensor-System in einen Ruhezustand versetzt. Die Zeit, die gewartet wird, ist ein zufälliges Intervall zwischen 1,8 - 3,6 Sekunden. Der Wartevorgang ist ein Teil des Antikollisionsverfahrens. Da bei jedem Sender die Wartezeit mit Hilfe eines linearen Schieberegisters berechnet wird, ist die Wahrscheinlichkeit sehr gering, dass zwei Sensoren zur gleichen Zeit Daten übertragen. Zum Thema lineares Schieberegister und Zufallszahlen kann in einschlägiger Literatur nachgelesen werden.

2.2. Steuergerät

Das Steuergerät beinhaltet einen UHF-Receiver, einen Mikrocontroller zur Verarbeitung der Daten, einen FLASH-Speicher zur Datenspeicherung, ein LCD zur Zustandsdarstellung und eine serielle Schnittstelle. Bei der Auswahl der Komponenten sind die Kriterien aus Kapitel 2 wieder zu berücksichtigen. Auch hier ist der Stromverbrauch eines der wichtigsten Auswahlkriterien. Bild 2.9 beschreibt den schematischen Aufbau des Steuergerätes.

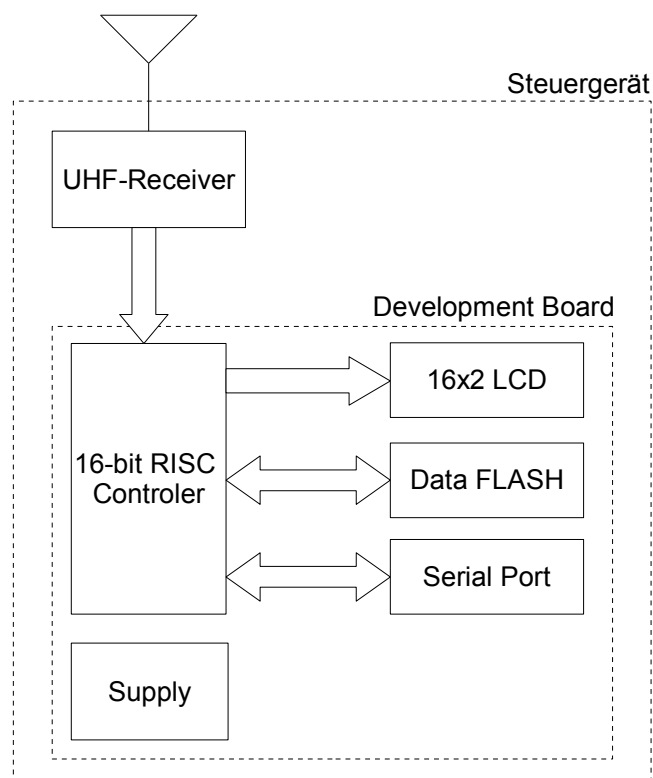


Bild 2.9.: Blockschaltbild des Steuergerätes

Um den Aufbau möglichst einfach zu gestalten, ist ein Entwicklungsboard eingesetzt. Dieses übernimmt die Datenverarbeitung und -ausgabe und ist von der Firma Olimex Ltd. entwickelt worden. Den UHF-Empfang erledigt ein Hybrid-Chip der Firma RF Monolithics Incorporated. Somit sind nur zwei grundlegende Komponenten erforderlich, die keinen oder nur einen geringen Schaltungsaufwand erfordern (Bild 2.9).

2.2.1. Entwicklungsboard

Das verwendete Development Board trägt die Bezeichnung *MSP430-169STK*. Hergestellt wird es von der Firma *Olimex Ltd.*. Auf dem Board kommt ebenfalls ein Mikrocontroller der MSP430er Serie zum Einsatz. Hierbei handelt es sich um den MSP430x169 mit einer

16 Bit RISC CPU. Im Gegensatz zum MSPx1232 ist dieser Mikrocontroller mit einer sehr großen Auswahl an Peripherie ausgestattet:

- 12 Bit ADC mit 10 Kanälen
- 12 Bit DAC
- Zwei 16 Bit Timer
- Zwei serielle Schnittstellen, asynchron oder synchron
- 60 kB Programmspeicher, 256 Byte FLASH und 2 kB RAM

Hier nur ein kurzer Auszug aus dem Datenblatt [25], weitere Informationen können eben diesem entnommen werden. Diese umfangreiche Peripherie ist ebenfalls notwendig, um die zur Verfügung gestellten Aufgaben des Development Boards zu bewältigen.

Entwickelt ist das Development Board zur Verarbeitung von analogen Signalen, explizit zur Verstärkung von Audio Signalen. Es stehen jeweils zwei Stereo Klinkenbuchsen für Eingangs- und zwei für Ausgangssignale zur Verfügung. Alle vier Buchsen besitzen jeweils einen Verstärker. Diese sind so konfiguriert wie es die Eingangs- oder Ausgangssignalpegel erfordern. Um die Lautstärke steuern zu können, ist jeweils ein Potentiometer an die Ausgangsverstärkerschaltung angeschlossen.

Neben der Ein- und Ausgabe von analogen Signalen sind weitere Funktionen vorgesehen. Um die Signale zu speichern, ist ein 8 MB großer FLASH-Speicher installiert. Um diesen nutzen zu können, ist die Ansteuerung per Software zu realisieren. Zur Anzeige stehen ein zwei-reihiges 16 Character LCD und zwei Leuchtdioden zur Verfügung. Die Ansteuerung erfolgt ebenfalls per Software. Zur Bedienung sind drei frei programmierbare Taster vorgesehen. Zum Datenaustausch steht eine serielle Schnittstelle zur Verfügung. Diese nutzt eine der Hardwareschnittstellen des Controllers und kann mit einer Übertragungsgeschwindigkeit von bis zu 119200 kbps betrieben werden.

Zur Programmierung des Mikrocontrollers ist eine JTAG-Anschlussleiste auf dem Board angebracht. Die übrigen IO-Pins sind über fünf Anschlussleisten nach außen geführt. Die Anschlussleiste mit der Bezeichnung *EXT* (Bild D.2) wird zum Anschluss des UHF-Receiver verwendet. Hierzu wurde die senkrechte Stiftleiste durch eine um 90° abgewinkelte Stiftleiste ersetzt. So ist es möglich, die Platine mit dem UHF-Receiver direkt aufzustecken (Bild 2.11 unten rechts). Der UHF-Receiver benötigt drei Leitungen: Versorgungsspannung, Masse und eine Datenleitung. Das Einlesen erfolgt über einen IO-Pin (Bild D.2 Pin 1.1), der als externe Interruptquelle genutzt werden kann und intern einen Timerinterrupt auslöst.

Weitere Informationen sind auf der Herstellerhomepage (<http://www.olimex.com/>) zu finden.

2.2.2. UHF-Receiver

Der UHF-Receiver besteht aus zwei Komponenten. Die erste Komponente umfasst den UHF-Receiver, die zweite eine Verstärkerstufe (Bild 2.11). Der UHF-Receiver besteht aus

einer kleinen Platine auf der der Hybrid-IC und einige externe Komponenten untergebracht sind. Der Hybrid-IC ist von der Firma RF Monolithics Incorporated entwickelt und trägt die Bezeichnung *RX5000*. Kurz die wichtigsten Daten:

- 434 MHz Frequenzbereich
- Datenübertragungsrate bis 115,2 kbps
- Stromverbrauch < 4 mA
- Betriebsspannung: 2,2 V - 3,7 V

Der Empfängerbaustein wird in der Grundsaltung für OOK-Modulation betrieben (Bild 2.10). Die Werte für die externen Komponenten und weitere Informationen können dem Datenblatt entnommen werden [20].

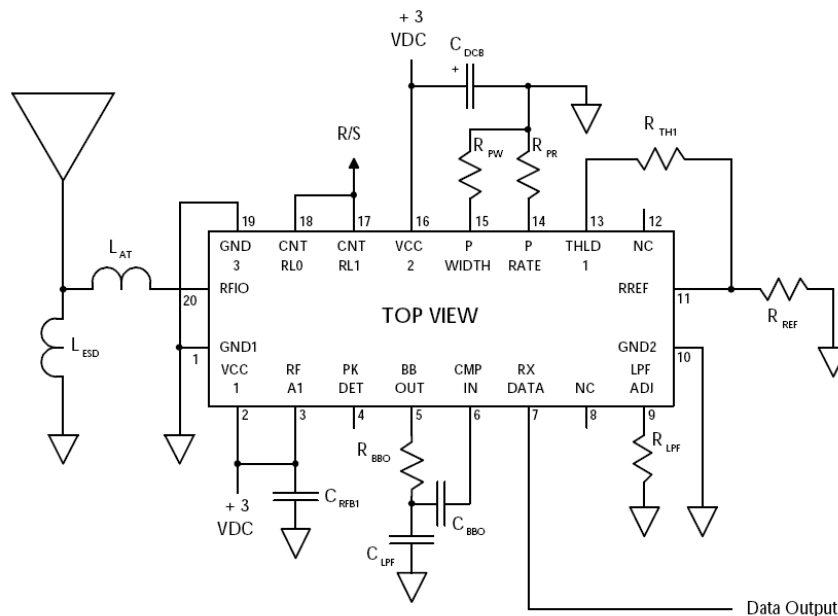


Bild 2.10.: Grundsaltung des RX5000 für OOK [20]

Der digitale Ausgang des RX5000 ist in der Lage eine parallele Last von $500\text{ k}\Omega$ und 10 pF zu treiben. Um einen fehlerfreien Betrieb zu gewährleisten, ist eine zweite Platine mit einer Verstärkerstufe entwickelt worden. Die Verstärkerstufe besteht aus einem XOR-Gatter mit der Bezeichnung 4070. In CMOS-Bauweise besitzt dieses eine Eingangskapazität von 5 pF . Mit dieser Anordnung ist ein fehlerfreier Betrieb gewährleistet. Der Ausgang des Gatters treibt den Eingang des Mikrocontrollers. Zur visuellen Empfangskontrolle ist eine LED parallel zum Datensignal geschaltet. Der Schaltplan ist im Anhang D.1.1 dargestellt.

2.2.3. Aufbau

Alle Komponenten sind in einem bruchfesten Metallgehäuse untergebracht. Um die einzelnen Komponenten im Gehäuse fixieren zu können, wurde eine Plexiglasscheibe im Gehäuse verschraubt. Auf dieser sind Abstandshalter befestigt, die zur Montage der Platinen dienen. Unterhalb der Platinen ist eine Batterie angebracht. Dieses ist notwendig, um eine autonome Versorgung zu garantieren. Die Anschlüsse für die serielle Schnittstelle, die Antenne und die Stromversorgung sind über Buchsen nach außen geführt. Die Stromversorgung schaltet sich automatisch um wenn von außen eine Versorgung eingesteckt wird (Bild 2.11).

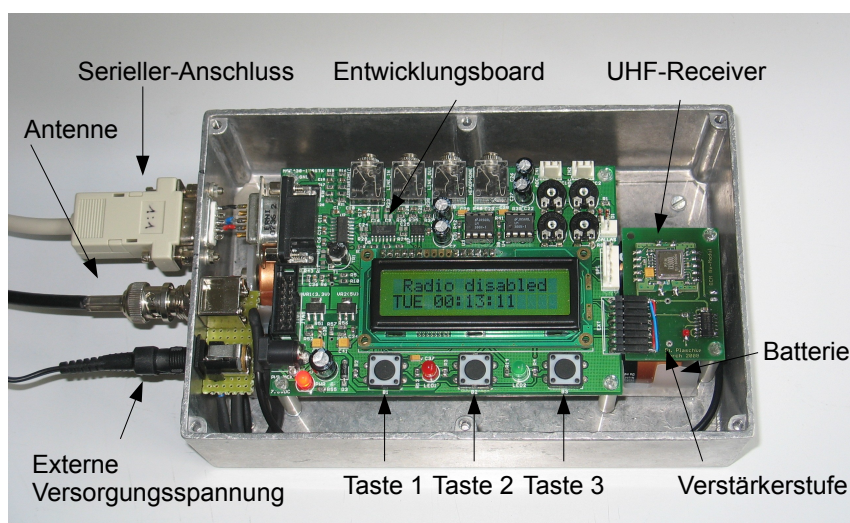


Bild 2.11.: Aufbau des Steuergerätes

Als Abdeckung ist ebenfalls eine Plexiglasscheibe verwendet worden. Um das Steuergerät weiterhin bedienen zu können, sind Löcher an die Position der Taster gebohrt worden. Zur Bedienung werden Stifte benötigt, die gleichzeitig einen guten Schutz vor unbefugtem Zugriff darstellen. Zur Erstellung des Fotos (Bild 2.11) ist die Plexiglasabdeckung entfernt worden und daher auf dem Bild nicht zu erkennen.

2.2.4. Software

Die Software für das Steuergerät ist in der Programmiersprache *C* modular geschrieben. Die Modulinhalte sind so gewählt, dass sie einfach in andere Projekte implementiert werden können. Jedes Modul besteht aus einer Header- und einer Quellcode Datei. Alle Dateien des gesamten Projektes sind im Anhang B.1.2 zu finden.

Die Software gliedert sich in drei Gruppen in denen die verschiedenen Module untergebracht sind. Die erste Gruppe beschreibt den Empfang der Daten. Hier werden die Daten vom UHF-Receiver eingelesen, überprüft und gegebenenfalls zwischengespeichert. Alle Prozesse finden im Interrupt des Timers statt.

Die zweite Gruppe beinhaltet die Benutzeroberfläche. Dazu gehört die Ausgabe auf dem LCD Display und über die serielle Schnittstelle an einen PC, sowie die Bedienung

per Tasten oder serieller Schnittstelle. Die Prozesse finden in der Hauptschleife und im Interrupt der seriellen Schnittstelle statt.

Die dritte und letzte Gruppe umfasst das Thema Datenspeicherung. Hier werden die geprüften Daten mit einer Zeitmarke versehen und in den Speicher des Entwicklungsboards geschrieben. Die Prozesse finden aus der Hauptschleife heraus und im Interrupt des Watchdog Timers statt.

Datenempfang

Die Daten werden seriell vom UHF-Receiver eingelesen. Dazu wird Pin 1.1, der als externe Interruptquelle für den TimerA vorgesehen ist, mit dem Ausgang der Verstärkerschaltung verbunden. Tritt auf der Datenleitung ein Wechsel von 0 auf 1 auf, so springt der Mikrocontroller in den Interrupt und überprüft den empfangenen Code. Es werden nur die Wechsel von 0 auf 1 betrachtet, da so direkt das decodierte Bit erkannt werden kann. Das vollständige Ablaufdiagramm ist in Bild 2.12 dargestellt.

Zu Beginn wird eine Run-In-Sequenz übertragen. Eine genaue Beschreibung des verwendeten Übertragungsprotokolls ist in Kapitel 1.3.4 nachzulesen. Die Zeiten der einzelnen Datenbits sind variabel gehalten, die des Run-In-Blocks nicht. Dieser ist bei Raumtemperatur auf $900 \mu s$ festgelegt, schwankt aber je nach Temperatur um $\pm 15\%$.

Bei Betrachtung der Hardware des Sensors wird der Grund der Temperaturschwankung deutlich. Der Takt im Mikrocontroller wird durch ein R-C-Glied geregelt. Bei Veränderung der Temperatur verändert sich der Widerstand des R-C-Gliedes. Steigt die Temperatur, steigt der Widerstand und die Ladezeit des Kondensators verlängert sich. Somit sinkt die Frequenz des Mikrocontrollers und die Breite des Run-In-Blocks verlängert sich. Im Gegensatz dazu verringert sich bei fallender Temperatur der Widerstand und die Ladezeit verkürzt sich. Daraus resultiert eine höhere Frequenz und eine Verkürzung der Übertragungszeit.

Um daraus resultierenden Fehlern entgegenzuwirken, ist der Temperaturbereich auf $-15^\circ C$ bis $+60^\circ C$ festgelegt. Um die maximale und minimale Dauer des Run-In-Blocks zu ermitteln, wurde ein Sensor im besagten Temperaturbereich ausgelesen. Die daraus resultierenden Werte sind in Tabelle 2.2 abzulesen. Eine graphische Darstellung der Messungen ist in Anhang C.1 zu finden. Aus diesen wird die prozentuale Differenz zur Referenzmessung bei $23^\circ C$ berechnet. Diese wird vom eingestellten CPU-Takt addiert oder subtrahiert um den aktuellen CPU-Takt zu erhalten. Dieser Wert soll nur als Anhaltspunkt dienen.

Temperatur	Blocklänge	Differenz	Errechneter CPU-Takt
$-15^\circ C$	$788 \mu s$	$-12,44\%$	2,25 MHz
$23^\circ C$	$900 \mu s$	0%	2 MHz
$60^\circ C$	$1024 \mu s$	$13,78\%$	1,72 MHz

Tabelle 2.2.: Zeitmessung des Run-In-Blocks

Ist die Run-In-Sequenz korrekt empfangen, wird der eigentliche Datenempfang fortgesetzt. Hier wird ebenfalls die Zeit zwischen zwei aufeinander folgenden Ereignissen gemessen und mit den aus der Run-In-Sequenz ermittelten Werten verglichen. Entspricht die

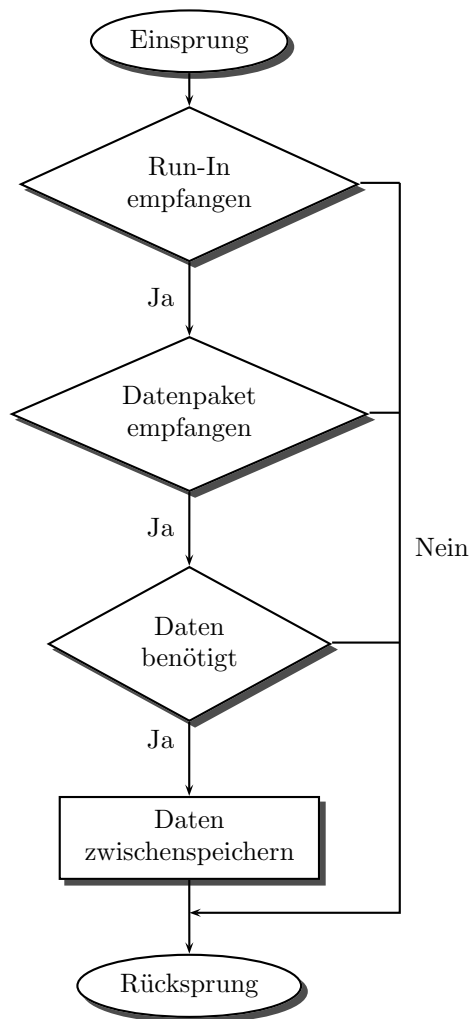
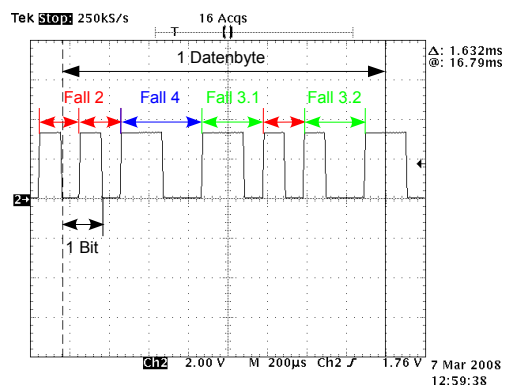


Bild 2.12.: Ablaufdiagramm des Timerinterrupthandlers

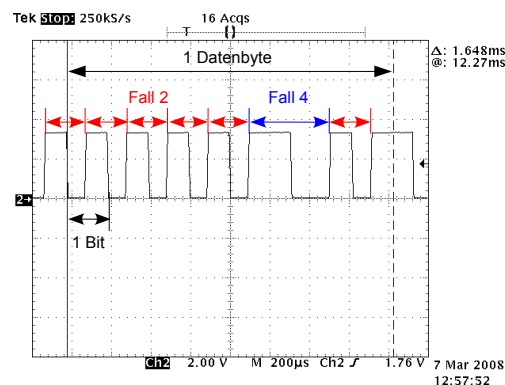
Dauer nicht der maximalen oder minimalen Zeit, wird der Interrupt verlassen und der Datenempfang startet wieder mit der Run-In-Sequenz. Entspricht die Zeit der erwarteten, sind drei Fälle zu betrachten. Diese insgesamt fünf Fälle werden anhand von zwei Codeausschnitten erläutert (Bild 2.13).

Die fünf Fälle beschreiben fünf verschiedene Bitlängen oder eher fünf verschiedene Zeiten zwischen zwei Ereignissen. Da bei Manchesterkodierung (Kapitel 1.3.3) ein Bit in eine Bitfolge von zwei Bit zerspalten wird, sind drei verschiedene Zeiten für eine gültige Bitfolge möglich (Bild 2.13). Wird eine dieser Bitfolgen erkannt, wird das Bit im Zwischenspeicher abgelegt. Die zwei übrigen Fälle beschreiben einen Fehler und führen zum Abbruch des Empfangsprozesses.

Die Referenzzeit wird in der Run-In-Sequenz berechnet. Daraus werden die einzelnen Zeiten abgeleitet (Tabelle 2.3). Die Zeiten und die Bezeichnungen beziehen sich auf ein decodiertes Bit.



(a) Datenbyte mit der Wertigkeit 46



(b) Datenbyte mit der Wertigkeit 4

Bild 2.13.: Auszüge aus einem Datenpaket mit Markierung der unterschiedlichen Übertragungsfälle

Bezeichnung	Länge
Referenzzeit	x
minimale Bitlänge	$x - 50 \mu s$
maximale Bitlänge	$x + 50 \mu s$
minimale doppelte Bitlänge	$2 * x - 50 \mu s$
maximale doppelte Bitlänge	$2 * x + 50 \mu s$

Tabelle 2.3.: Berechnung der Referenzzeiten für den Datenempfang

Fall 1: Hierbei ist die aktuell gemessene Zeit kürzer als die für die minimale Bitlänge errechnete Zeit. Tritt dieser Fall ein, wird der Empfangsprozess abgebrochen und der Datenempfang beginnt erneut mit dem Empfang der Run-In-Sequenz.

Fall 2: Unterschreitet die gemessene Zeit die maximale Bitlänge, entspricht das decodierte Bit dem Wert des vorigen decodierten Bit. Dieser Fall ist mit Fall 2 in Bild 2.13.a und 2.13.b markiert.

Fall 3: Unterschreitet die gemessene Zeit die minimale doppelte Bitlänge, ist das vorige Bit zu betrachten. Entspricht das vorige Bit einer 0 ist eine „0“ erkannt (Fall 3.1). Entspricht es einer 1 ist eine Bitfolge von „10“ erkannt worden (Fall 3.2). Beide Fälle sind in Bild 2.13.a markiert.

Fall 4: Unterschreitet die gemessene Zeit die maximale doppelte Bitlänge, entspricht die Zeit zwischen zwei Interrupts der Zeit von zwei decodierten oder vier Bit in Manchestercodierung. Tritt dieser Fall ein, ist eine Bitfolge von „10“ erkannt. Dieser Fall ist mit Fall 4 in Bild 2.13.a und 2.13.b markiert.

Fall 5: Hierbei ist die aktuell gemessene Zeit länger als die maximale doppelte Bitlänge. Tritt dieser Fall ein, wird ebenfalls der Empfangsprozess abgebrochen und es wird

mit dem Empfang der Run-In-Sequenz fortgesetzt.

Das einzige Problem bei dieser Abarbeitung ist, dass kein definiertes Ende vorgesehen ist. Das Datenpaket endet mit dem CRC-Byte und nicht mit einer definierten Bitfolge. Entspricht das CRC-Byte einem ungeraden Wert, kann dieses so nicht empfangen werden. Die Begründung liegt bei der Erkennung der einzelnen Bits. Da bei einem ungeraden Byte das letzte Bit die Wertigkeit 1 besitzt, endet das Datenpaket mit einer negativen Flanke. Da diese vom Mikrocontroller nicht ausgewertet werden, wird das gesamte Datenpaket verworfen. Um dieses Problem zu beheben bedarf es eines kleinen Tricks. Wird bei der Übertragung eine Zeit ermittelt, die Fall 5 entspricht, wird überprüft ob die Erkennung des letzten Bits ansteht. Ist dies der Fall, entspricht das letzte Bit einer 1. Im normalen Betrieb konnten mit dieser Ausführung keine Fehler festgestellt werden.

Ist das Datenpaket vollständig empfangen (88 Bit), wird überprüft ob, die Daten korrekt empfangen wurden. Dazu wird eine CRC-Überprüfung auf alle 11 Byte angewendet (Kapitel 1.3.4). Des Weiteren wird überprüft, ob die empfangenen Sensordaten in diesem Speicherungsintervall schon einmal empfangen wurden. Ist dies der Fall oder die CRC-Überprüfung fehlerhaft, werden die Daten verworfen und der Empfangsprozess beginnt mit der Run-In-Sequenz. Werden die Daten benötigt und die CRC-Überprüfung ist fehlerfrei, werden die Daten zwischengespeichert, ein Statusbit gesetzt und der Empfangsprozess wird mit dem Empfang der Run-In-Sequenz fortgesetzt.

Benutzeroberfläche

Der Benutzer kann das Steuergerät über die serielle Schnittstelle oder über die Tasten auf dem Entwicklungsboard steuern. Die Steuerung über die Tasten erlaubt keine Konfiguration des Steuergerätes. Diese muss vorab über die serielle Schnittstelle erfolgen, kann aber im FLASH-Speicher gesichert werden.

Bild 2.14 zeigt das gesamte Ablaufdiagramm der Hauptschleife. In dieser werden hauptsächlich Statusbits abgefragt. Diese werden in anderen Prozessen, wie zum Beispiel dem Interrupt der seriellen Schnittstelle, gesetzt. Bei dieser Methode wird nur bei einem wirklich auftretenden Fall der jeweilige Prozess durchlaufen. So ist es möglich, weitere Funktionen zu implementieren ohne die gesamte Struktur des Hauptprogramms zu ändern.

Bei jedem Durchlauf der Hauptschleife wird die Uhrzeit aktualisiert. Diese wird normalerweise in der untersten Reihe des LCD Displays angezeigt. Befindet sich der User in einem Untermenü, wird die Uhrzeit nur intern weitergesetzt und nach Verlassen des Menüs aktualisiert. Die Uhrfunktion ist in der dritten Gruppe implementiert.

Befindet sich der User in einem Untermenü und verläßt dieses, ist es notwendig, die Darstellung auf dem LCD zurückzusetzen. Dazu wird in den jeweiligen Untermenüfunktionen ein Statusbit gesetzt. Dieses wird in der Hauptschleife abgefragt und die Darstellung des jeweiligen Untermenüs wird gelöscht und durch die Standarddarstellung ersetzt.

Nachdem die Darstellung auf dem LCD angepasst wurde, werden die Steuerbefehle ausgewertet. Zuerst werden die Tastenzustände abgefragt. Wurde eine Taste gedrückt, wird die jeweilige Aktion ausgeführt. Je nach Menü kann eine Taste verschiedene Aktionen hervorrufen. Die Erkennung erfolgt in einem Timerinterrupt. Hier werden die Zustände der Tasten in Intervallen von $60 \mu\text{s}$ abgefragt. Entspricht der Zustand einer Taste in fünf

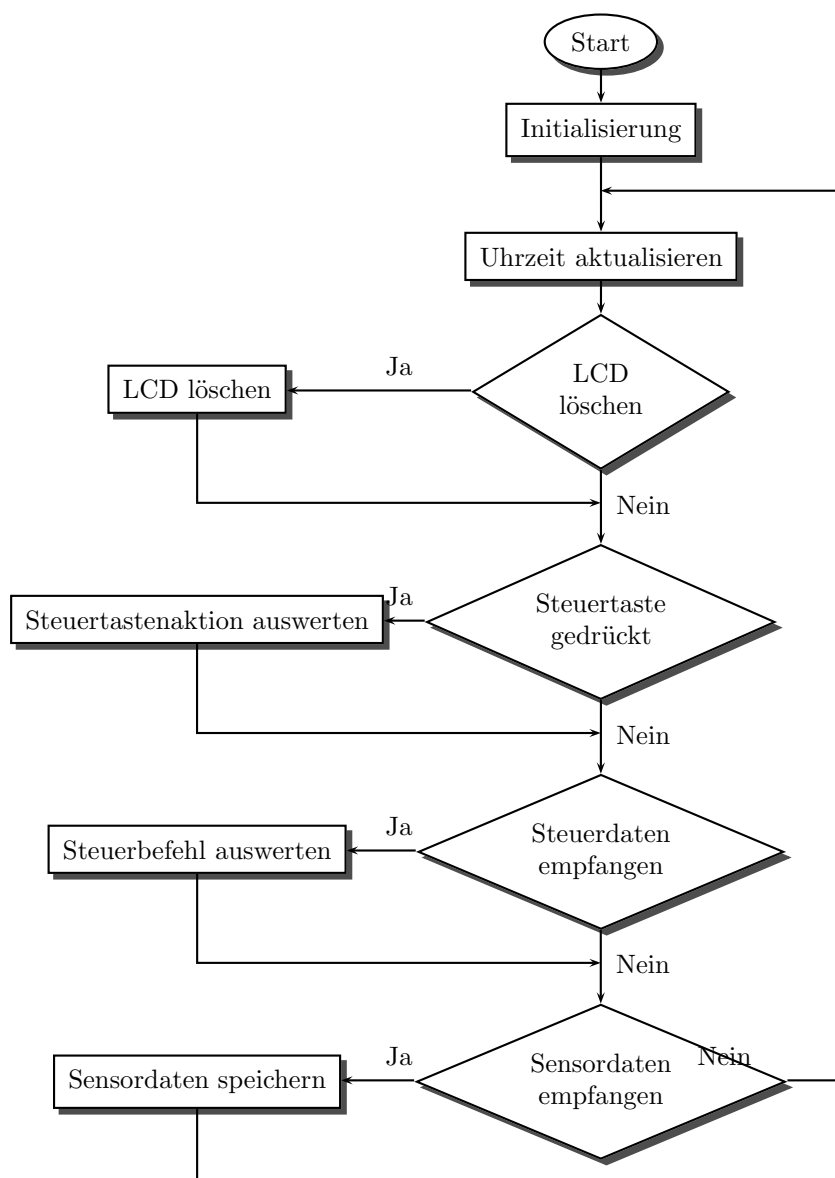


Bild 2.14.: Ablaufdiagramm der Hauptschleife

folgenden Intervallen einem *LOW* Zustand (Taste gedrückt), wird das Statusbit gesetzt. Wird die Taste daraufhin wieder losgelassen, wird das Statusbit nicht zurückgesetzt. Dies geschieht nur in der Hauptschleife nachdem die Tastenaktion ausgewertet wurde. Nötig ist das Einlesen über den Interrupt um die einzelnen Tasten zu entprellen.

Nach der Auswertung der Tastenaktion erfolgt die Auswertung der Steuerbefehle die über die serielle Schnittstelle empfangen wurden. Der Ablauf des Interrupts ist in Bild 2.15 dargestellt.

Im Interrupt werden die empfangen Zeichen ausgewertet. Bei einem *NEWLINE* (Enter), werden die Daten an die Hauptschleife übergeben und das Statusbit gesetzt. Wird

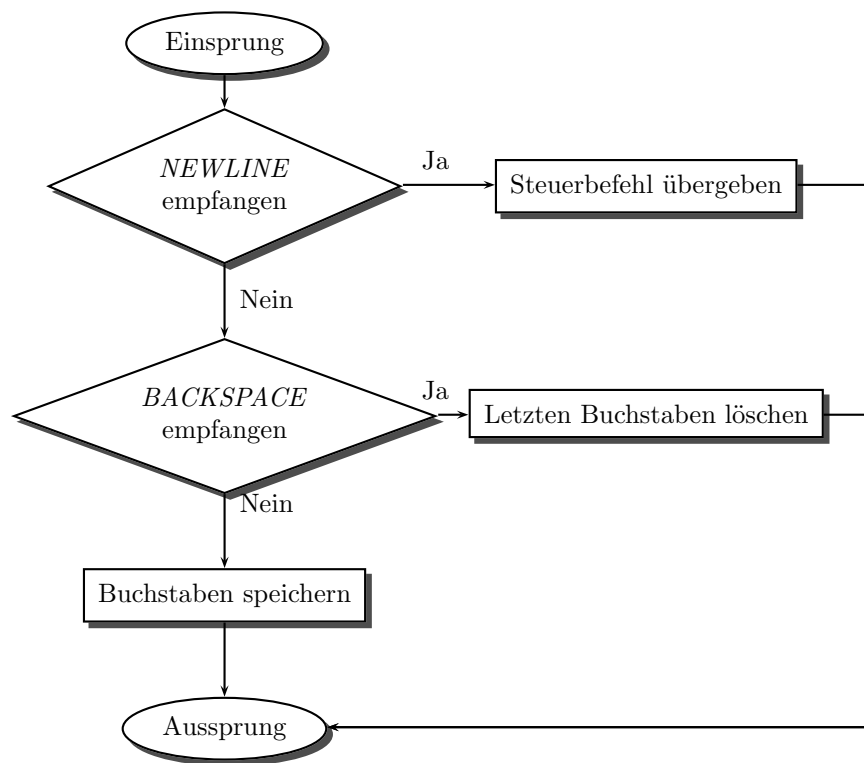


Bild 2.15.: Ablaufdiagramm des Schnittstelleninterrupts

ein *BACKSPACE* (löschen) empfangen, wird das letzte empfangene Zeichen gelöscht. Tritt keiner der beiden Fälle ein, wird das Zeichen zwischengespeichert und der Interrupt verlassen.

Sensordatenspeicherung

Der letzte Punkt der Hauptschleife betrifft die Datenspeicherung. Ist das Statusbit nach erfolgreichem Empfang eines Datenpakets gesetzt, werden die Daten im FLASH-Speicher gespeichert. Die Lese- und Schreibsoftware ist von Tobias Krannich im Laufe seiner Diplomarbeit entwickelt und getestet worden. Manche Funktionen wurden verändert oder sind neu hinzugefügt worden. Im Quellcode (Kapitel B.1.2) des Moduls sind die Funktionen von Herrn Krannich kenntlich gemacht worden.

Um die maximale Betriebszeit zu ermitteln, wurde vorab eine Berechnung durchgeführt. Hier wurde errechnet, wie lange die Speicherkapazität bei leerem Speicher und verschiedener Anzahl von Sensoren ausreicht.

Die Speicherkapazität beträgt $(8k + 256) \text{ Byte} * 1024 \approx 8 \text{ MB}$. Für die Steuerdaten ist eine *half page* im Speicher reserviert. Eine *half page* entspricht einer Kapazität von 256 Byte [22]. Berechnet man daraus die zur Verfügung stehenden Byte, erhält man:

$$(8k + 256) \text{ Byte} * 1024 - 256 \text{ Byte} = 8.453.888 \text{ Byte} \quad (2.6)$$

Die Daten werden mit einer Zeitmarke versehen und im folgenden Format abgespeichert:

TUE 01-Mar-2008 00:00:00 01 00 00 00 00 00 00

Die Zeitmarke ist aus dem englischen Sprachraum übernommen und beinhaltet den Wochentag (3 Byte), das vollständige Datum (11 Byte) und die Uhrzeit (8 Byte). Darauf folgen die eigentlichen Daten mit jeweils 2 Byte in hexadezimaler Darstellung. Beginnend mit der Sensoradresse (2 Byte), dem Temperaturwert (4 Byte), dem Versorgungsspannungswert (4 Byte), dem Zellenspannungswert (4 Byte) und dem CRC-Byte (2 Byte). Zwischen jedem Wert wird ein Leerzeichen (10 Byte) und am Ende ein *NEWLINE* und *CARRIAGE RETURN* (2 Byte) gesetzt. Addiert man alles zusammen erhält man:

$$(3 + 11 + 8 + 2 + 4 + 4 + 4 + 2 + 10 + 2) \text{ Byte} = 50 \text{ Byte} \quad (2.7)$$

Die Daten werden in einem Intervall von 60 Sekunden gespeichert. Das heißt jede Minute wird ein Datenstring pro Sensor gespeichert. Als Beispiel mit 12 Sensoren sind das $12 \cdot 50$ Byte pro Minute. Bei Flurförderzeugen ist die Arbeitszeit in Betriebsstunden oder -tagen anzugeben. Daher wird der Wert in Byte pro Stunde errechnet:

$$12 \text{ Sensoren} * 50 \text{ Byte} * 60 \text{ Minuten} = 36000 \text{ Byte/Stunde} \quad (2.8)$$

Teilt man die zur Verfügung stehende Speicherkapazität mit den benötigten Byte pro Stunde, erhält man die Zeit, in der das System Daten speichern kann ohne alte Werte zu verlieren.

$$\frac{8453888 \text{ Byte}}{36000 \text{ Byte/Stunde}} = 234 \text{ Stunden } 49 \text{ Minuten} \approx 9\frac{1}{2} \text{ Tage} \quad (2.9)$$

Das Steuergerät kann so konfiguriert werden, dass entweder 6, 12, 24 oder 40 Sensoren abgefragt werden. In Tabelle 2.4 ist für alle vier Fälle die maximale Arbeitszeit angegeben.

Anzahl der Sensoren	Arbeitszeit in Stunden
6	469
12	234
24	117
40	70

Tabelle 2.4.: Maximale Arbeitszeit bei verschiedener Anzahl von Sensoren

Die Uhrzeit wird im Interrupthandler des Watchdog Timers berechnet. Somit stehen die restlichen Interrupts zur freien Verfügung. Das Intervall ist auf eine Sekunde eingestellt. Bild 2.16 zeigt den genauen Ablauf des Interrupts.

Bei jedem Aufruf werden als erstes die Uhrzeit und das Datum berechnet. Bei der Datumsberechnung werden Schaltjahre und die verschiedenen Tage eines Monats berücksichtigt. Ist eine Minute abgelaufen, wird überprüft, ob Daten von allen Sensoren gespeichert wurden. Ist dies nicht der Fall, wird der letzte empfangene Wert des fehlenden Sensors aus dem Zwischenspeicher in den FLASH geschrieben. Dadurch soll garantiert werden,

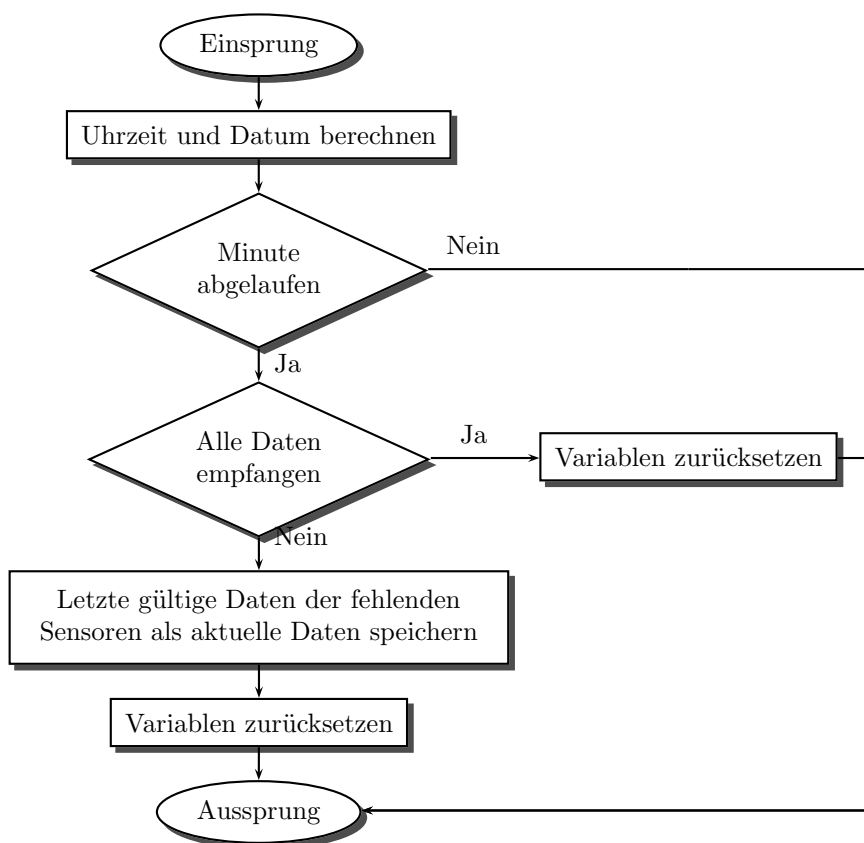


Bild 2.16.: Ablaufdiagramm des Watchdog Interrupthandlers

dass für jeden Sensor die gleiche Anzahl von Messwerten zur Verfügung steht. Dies ist nur für die Auswertung wichtig, eine genaue Aussage über den Zustand der Zelle kann damit nicht getroffen werden. Zu erkennen ist so ein Fehler in der Auswertung sehr einfach: Da immer der gleiche Messwert gespeichert wird, ist die Funktion in dem Bereich eine Gerade. Tritt dieser Fall ein, sind die Sensoren und die dazugehörigen Zellen zu überprüfen und gegebenenfalls auszutauschen.

Sind alle Daten gespeichert oder durch Werte aus dem Zwischenspeicher ersetzt, werden die Variablen, die zur Kontrolle der gespeicherten Messwerte dienen, zurückgesetzt und der Interrupt wird verlassen.

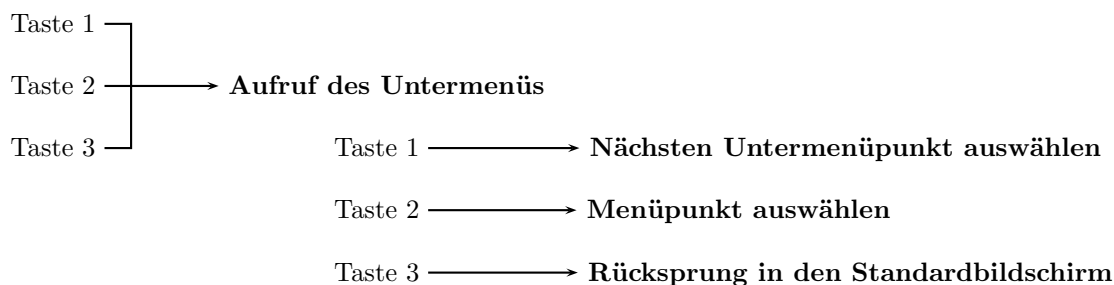
2.2.5. Bedienung des Steuergerätes

Wie im vorigen Kapitel beschrieben ist die Bedienung des Steuergerätes über die serielle Schnittstelle und die drei auf den Entwicklungsboard aufgebrauchten Tasten möglich.

Bedienung per Tasten

Die Tasten erlauben nur eine eingeschränkte Bedienung. Genau genommen ist es nur möglich, die aktuelle Messung zu starten/stoppen, Konfigurationen zu laden/speichern, empfangene Sensoren anzuzeigen und Uhrzeit/Datum einzustellen. In Bild 2.17 sind die verschiedenen Tastenaktionen aus unterschiedlichen Menüs dargestellt.

Standardbildschirm



Uhrzeit einstellen

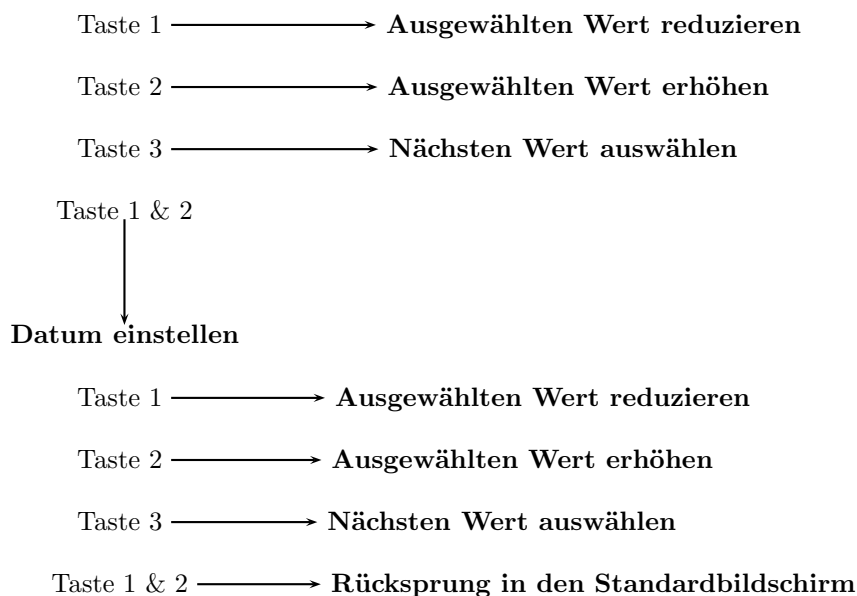


Bild 2.17.: Bedienung des Steuergeräts über die Steuertasten

Die Tasten des Steuergerätes sind in Bild 2.11 markiert. Der Standardbildschirm entspricht der Darstellung wie sie in Bild 2.11 zu sehen ist. Aus diesem Bildschirm gibt es zwei verschiedene Untermenüs die aufgerufen werden können. Bei Betätigung nur einer Taste wird das Menü zur Steuerung der Messungen aufgerufen. Hier gibt es sechs verschiedene Menüpunkte. Die Tastenaktionen sind im ersten Baum von Bild 2.17 dargestellt.

- Punkt 1: Darstellung des aktuellen Sensorstatus** Sind die Daten eines Sensors im aktuellen Speicherintervall bereits empfangen, entspricht die Darstellung einem „ * “, sind sie noch nicht empfangen einem „ . “. Der Bildschirm erscheint fünf Sekunden lang, bevor automatisch in den Standardbildschirm zurückgekehrt wird.
- Punkt 2: Starten der Messung** Aus diesem Menüpunkt heraus ist es möglich, die Messwertaufnahme zu starten. Zur Sicherheit wird bei Punkt 2 bis 5 eine Bestätigung der gewählten Aktion angefordert.
- Punkt 3: Stoppen der Messung** Aus diesem Menüpunkt heraus ist es möglich, die Messwertaufnahme zu stoppen.
- Punkt 4: Konfiguration laden** Hiermit ist es möglich, die gespeicherte Konfiguration zu laden.
- Punkt 5: Konfiguration speichern** Die Einstellungen, die über die serielle Schnittstelle erfolgten, können aus diesem Punkt heraus gespeichert werden. Dazu gehören die Anzahl und Adressen der Sensoren und die Position der Daten im FLASH-Speicher. Wird im laufenden Betrieb eine neue Messung gestartet, ist es sinnvoll die Konfiguration zu speichern um die aktuelle Position im FLASH-Speicher zu erhalten. Wird dies nicht durchgeführt, werden alle Daten der vorigen Messung ebenfalls abgerufen.
- Punkt 6: Uhrzeit/Datum einstellen** Um korrekte Messergebnisse zu erhalten, ist es notwendig die richtige Uhrzeit beziehungsweise das richtige Datum einzustellen. Bei Auswahl dieses Menüpunktes wird die Einstellung von Uhrzeit/Datum aufgerufen. Die Funktionen der Tasten sind in Bild 2.17 im zweiten Baum gezeigt. Nach Einsprung wird das Datum eingestellt. Dazu wird der Tag, der Monat und das Jahr einzeln verändert. Die zu verändernde Stelle blinkt im Sekundentakt. Betätigt man Taste 2, wird der aktuelle Wert erhöht, mit Taste 1 wird er reduziert. Taste 3 wählt die nächste Stelle aus. Um die Einstellung zu beenden, ist es notwendig, Taste 1 und 2 gleichzeitig zu drücken. Die Datumseinstellung läuft nach dem gleichen Schema ab. Die Aktionen jeder Taste bleiben die selben. Bei gleichzeitigem Drücken der Tasten 1 und 2, wird in den Standardbildschirm zurückgesprungen und Uhrzeit/Datum gespeichert.

Bedienung über die serielle Schnittstelle

Die Bedienung über die serielle Schnittstelle ist sehr komfortabel. Aus dem Terminal heraus können die Befehle eingegeben werden. Die Einstellungen für die Schnittstelle lauten:

Übertragungsgeschwindigkeit: 115200 bps
Datenbits: 8
Stoppbits: 1
Parität: keine
Flowcontrol: keine

Jede Eingabe kann in Groß- oder Kleinschreibung erfolgen. Bei einem korrekt erkannten Befehl wird eine Hilfe, die die genaue Syntax für den jeweiligen Befehl enthält, gezeigt. Bild 2.5 zeigt alle Steuerbefehle. Zu jedem Steuerbefehl gibt es noch eine Kurzform, die ein schnelleres Arbeiten ermöglicht.

Steuerbefehl	Kurzbefehl	Aktion
help	he	Darstellen der Hilfe
realtime	rtc	Einstellen der Uhr/Datum
sensors	se	Einstellungen der Sensoren
memory	mem	Gespeicherte Daten abrufen
clear	clr	FLASH komplett löschen
start	st	Messung starten
stop	stp	Messung stoppen
read	rd	Steuergerätedaten speichern
write	wr	Steuergerätedaten laden
exit	ex	Verlassen der Funktion

Tabelle 2.5.: Auflistung der Steuerbefehle und deren Aktionen

Im vorigen Kapitel wurden schon die meisten Erklärungen geliefert. Daher wird hier nur auf neue Menüpunkte eingegangen.

help Wird dieser Befehl an das Steuergerät gesendet, wird die Hilfe, die alle Steuerbefehle und Anweisungen enthält, eingeblendet.

sensors Mit diesem Steuerbefehl wird die Konfiguration der einzelnen Sensoren vorgenommen. Zuerst muss die Anzahl der Sensoren, daraufhin jede Sensoradresse eingegeben werden. Die Anzahl und jede Adresse muss mit Enter bestätigt werden.

memory Hierbei wird die Übertragung der gespeicherten Messwerte gestartet. Um die Messwerte zu speichern gibt es zwei Möglichkeiten. Zum einen ist es möglich die Daten mit der MATLAB Software zu empfangen. Zum anderen kann die Speicherung aller empfangenen Daten im Terminal aktiviert werden. Diese Möglichkeit wird empfohlen da die Fehlerquote in MATLAB höher ist. Nachdem alle Daten empfangen wurden ist am Steuergerät der Empfang über die Steuertasten zu bestätigen.

clear Sollen Messungen mit anderen Sensoren durchgeführt werden ist es ratsam vorher den FLASH-Speicher komplett zu löschen. Hierbei werden auch die Steuerdaten gelöscht, was einem Neustart entspricht.

exit Sollte bei der Eingabe ein Fehler gemacht worden sein oder ist es doch nicht nötig eine Änderung vorzunehmen, kann die jeweilige Funktion jederzeit mit *exit* verlassen werden.

3. Versuchsbetrieb

Die Messungen wurden an einem handelsüblichen Gabelstapler der Firma Still mit der Typenbezeichnung EFG 1,0/5001 durchgeführt. Die installierte Antriebsbatterie ist von der Firma Hoppecke und trägt die Bezeichnung 5PzS55L mit einer Gesamtspannung von 24 V und einer Kapazität von 550 Ah. Die Versuche wurden im Fahrzeuglabor der HAW Hamburg im Department Fahrzeugtechnik mit freundlicher Unterstützung von Herrn Bernd Schröder durchgeführt. Bevor die Messungen durchgeführt werden konnten mussten Wartungsarbeiten erfolgen. Es wurde der Stecker und die Kupplung, die zur Stromversorgung des Gabelstaplers dienen, ausgewechselt.

Bevor der Versuchsaufbau erläutert wird, wird die MATLAB Software erläutert. Dazu gehört die Software zur Darstellung der Messwerte und die zur Kalibrierung der Temperaturwerte jedes einzelnen Sensors.

3.1. Verarbeitung der Messwerte in MATLAB

Die Verarbeitung der Messwerte erfolgt in MATLAB. Die verwendete MATLAB Version und weitere Informationen über MATLAB sind in Kapitel A.2 nachzulesen. Bevor die Messwerte dargestellt werden können, ist es notwendig die Temperaturmesswerte zu kalibrieren.

3.1.1. Kalibrierung der Temperaturmesswerte

Eine Kalibrierung ist notwendig da der Offset Fehler bei jedem Mikrocontroller der MSP Familie anders ausgeprägt ist. Um den Fehler zu bestimmen, ist eine Messreihe aufgenommen worden. Die Messreihe umfasst die Aufnahme von Messwerten im Temperaturbereich von 10°C bis 60°C in 5°C Schritten. Dazu werden alle Sensoren an eine Batterie angeschlossen und in einen Thermoschrank der Firma Heraeus Vötsch mit der Typenbezeichnung VMT 04/35 eingeschlossen. Die komplette Messreihe ist in Anhang E.1 dargestellt.

In Bild 3.1 ist die Kalibrierungsmessung eines Sensors abgebildet. Im oberen Fenster sind drei Temperaturkurven dargestellt. Die rote Kurve entspricht den vom Sensor empfangenen, unkalibrierten Werten, die grüne Kurve entspricht den am Thermoschrank eingestellten, realen Werten und die blaue Kurve den kalibrierten Werten.

Um die Kalibrierte Kurve zu berechnen wird zuerst eine Differenzfunktion errechnet. Dazu wird die reale Temperatur auf der X-Achse und die Differenz zwischen der realen und der gemessenen Temperatur auf der Y-Achse abgebildet. Die daraus entstandene Kurve wird mit einer Näherungsgleichung zweiten Grades beschrieben. Bei jedem gemessenen Wert wird die Differenz mit der Näherungsgleichung berechnet und vom selbigen

abgezogen. Die daraus entstandene Kurve entspricht der kalibrierten Temperaturkurve. Die Koeffizienten der Näherungsgleichung wie auch die Anzahl und Adresse der Sensoren werden in der Konfigurationsdatei (*sensorsystem.txt*) abgespeichert.

In Bild 3.1 ist ein Auszug der Darstellung der Kalibrierungsmessung zu sehen. Im mittleren Fenster ist die Versorgungsspannung der gesamten Schaltung dargestellt. Die Erhöhung von zirka 0,1 V ist auf die Erhöhung der Temperatur im Laufe der Messwertaufnahme zurückzuführen. Das letzte Fenster bildet die Versorgungsspannung des Sensor ab.

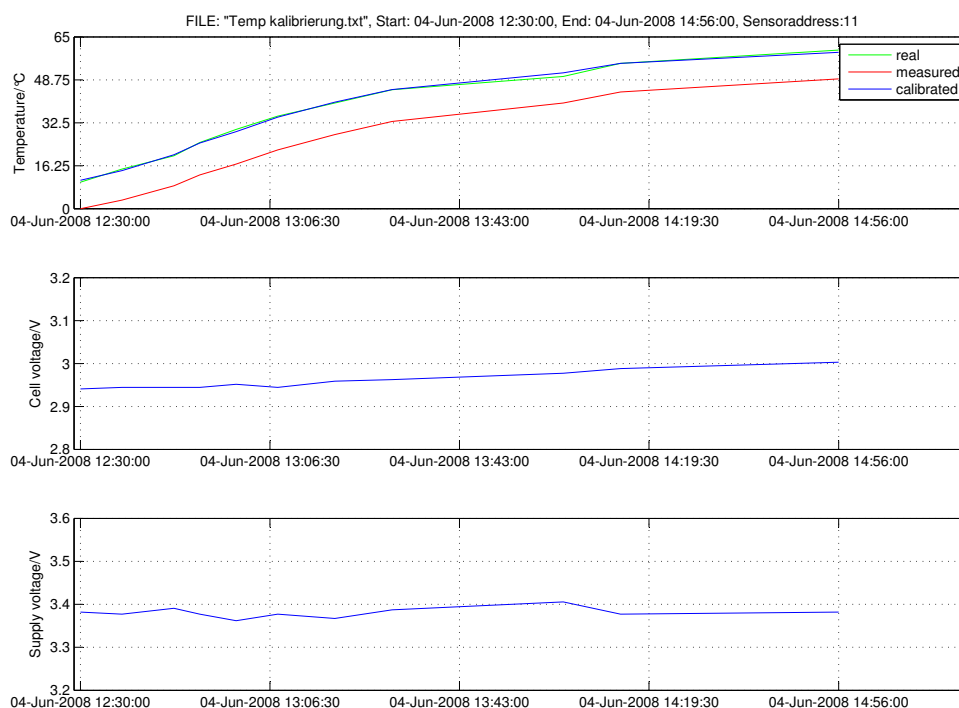


Bild 3.1.: Kalibrierungsmessung, Darstellung der realen (grün), der gemessenen (rot) und der kalibrierten Temperaturkurve (blau)

3.1.2. Darstellung der Messwerte

Die Software zur Darstellung der Messwerte benötigt eine Konfigurationsdatei, welche automatisch bei der Temperaturkalibrierung erstellt wird. Anhand dieser werden die Daten jedes Sensors sortiert und die Temperaturmesswerte kalibriert. Die Kalibrierung erfolgt nach dem im vorigen Kapitel beschriebenen Schema. Sind in der Messung Sensoren verwendet worden, die nicht in der Konfigurationsdatei angegeben sind, bricht die Software automatisch ab und gibt eine Fehlermeldung aus. Alle benötigten M-Files sind im Anhang B.2.2 zu finden.

Gestartet wird die Software mit dem M-File *Diplom.m*. Abbildung 3.2 zeigt den Anfangsbildschirm. Als Datenquelle steht eine Textdatei zur Verfügung (Button mit der Beschriftung *File*). Diese kann mit Hilfe des Terminals erstellt werden. Ist kein Terminalprogramm zur Hand, ist es möglich, die Daten direkt vom Steuergerät in MATLAB zu laden (Button mit der Beschriftung *Comport*). Nach erfolgreicher Übertragung werden die Daten zusätzlich zur Darstellung in einer Textdatei abgespeichert. Diese Methode birgt aber noch kleinere Fehler, da der Umgang mit der seriellen Schnittstelle in MATLAB nicht ausgereift zu sein scheint. Teilweise werden Buchstaben oder auch das Ende der Übertragung nicht erkannt. Da der gesamte Prozess automatisch abläuft führt dies zum Abbruch.

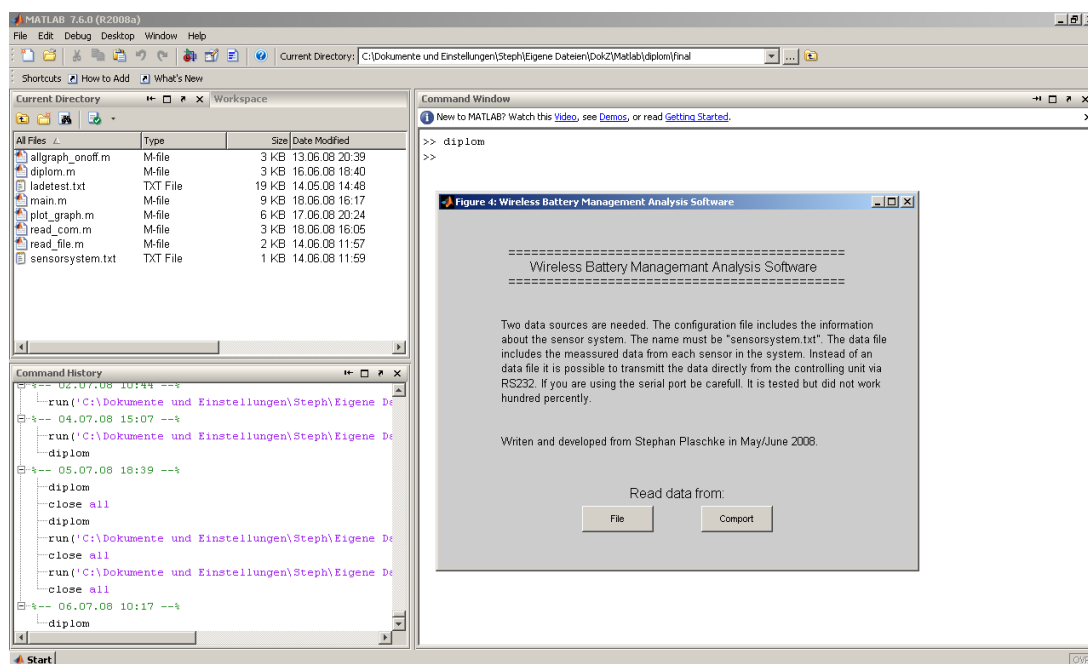


Bild 3.2.: Startbildschirm der MATLAB Software

Wird als Datenquelle eine Textdatei gewählt, erscheint ein Bildschirm mit der Aufforderung, die Textdatei auszuwählen. Hierbei ist der genaue Aufbau der Textdatei zu beachten. Es dürfen keine Leerzeilen enthalten sein. Ebenfalls ist die erste Zeile, in der die Adresse als 0 eingetragen ist, zu löschen. Nach erfolgreicher Auswahl startet die automatische Auswertung. Ist die Auswertung abgeschlossen, werden die Daten jedes Sensors in drei Fenstern abgebildet. Bild 3.3 zeigt alle drei Fenster. Im Vordergrund ist das Fenster mit der Versorgungsspannung dargestellt.

Die einzelnen Button am rechten Rand erlauben es, jede einzelne Kurve jedes Sensors aus- und wieder einzuschalten. Oberhalb der Grafik sind die Daten angegeben, die die Messung betreffen.

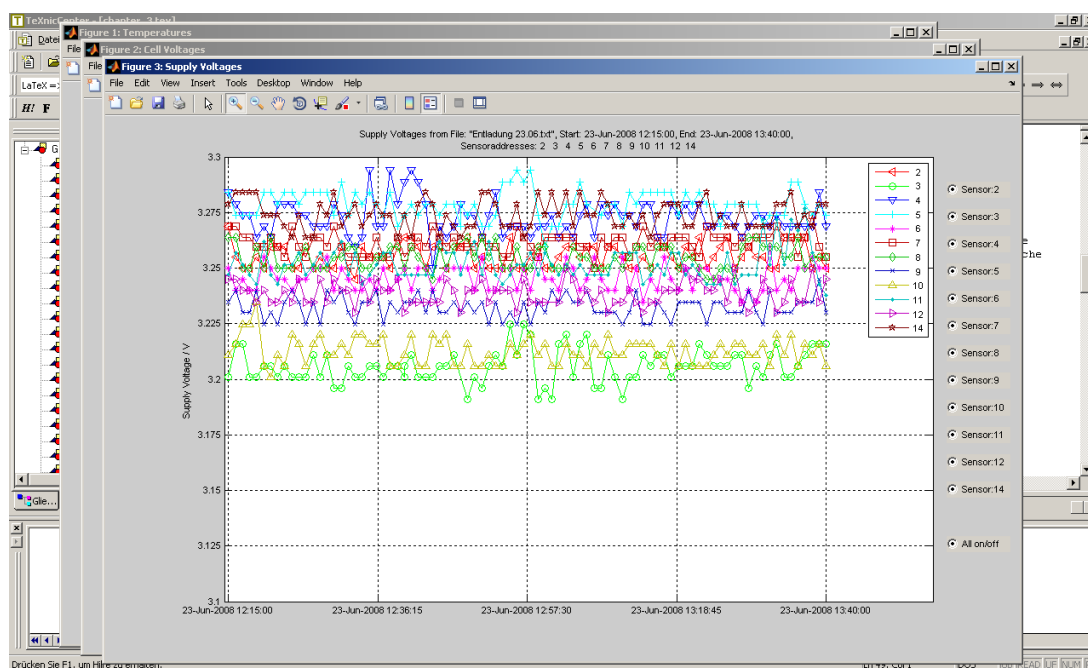


Bild 3.3.: Darstellung der drei Messwerte jeweils in einem eigenen Fenster

3.2. Versuchsdurchführung

Bei dem hier verwendeten Akkumulator handelt es sich um eine 24 V Antriebsbatterie. Das bedeutet es sind 12 Zellen verbaut und somit werden 12 Sensoren zur Erfassung des Zustandes jeder einzelnen Zelle benötigt. Die Sensoren wurden im Vorfeld im Temperaturbereich von 10°C bis 60°C ausgelesen und kalibriert (Kapitel 3.1.1).

Die Anordnung der Batteriezellen im Gehäuse ist in Bild 3.4 schematisch und in Bild 3.5 in Realität zu sehen.

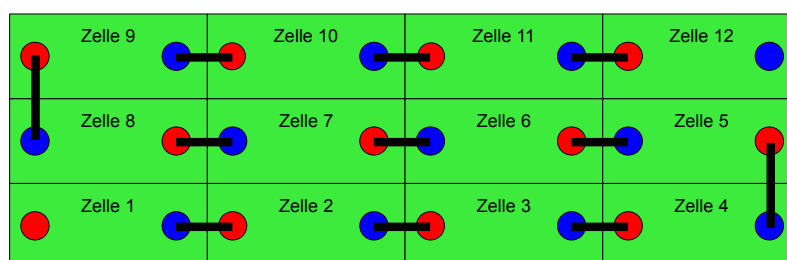


Bild 3.4.: Schematische Anordnung der einzelnen Zellen der Antriebsbatterie

Die Zellenverbinder sind mit Klemmschrauben befestigt. Die Sensoren werden auf den Plus- und Minuspol der einzelnen Zellen aufgesteckt (Bild 3.5). Dazu sind die Klemmschrauben mit einer 4mm Bohrung versehen worden. Diese beeinträchtigt die Festigkeit

der Klemmschraube nicht und es besteht keine Gefahr, dass diese nicht mehr ausreicht.

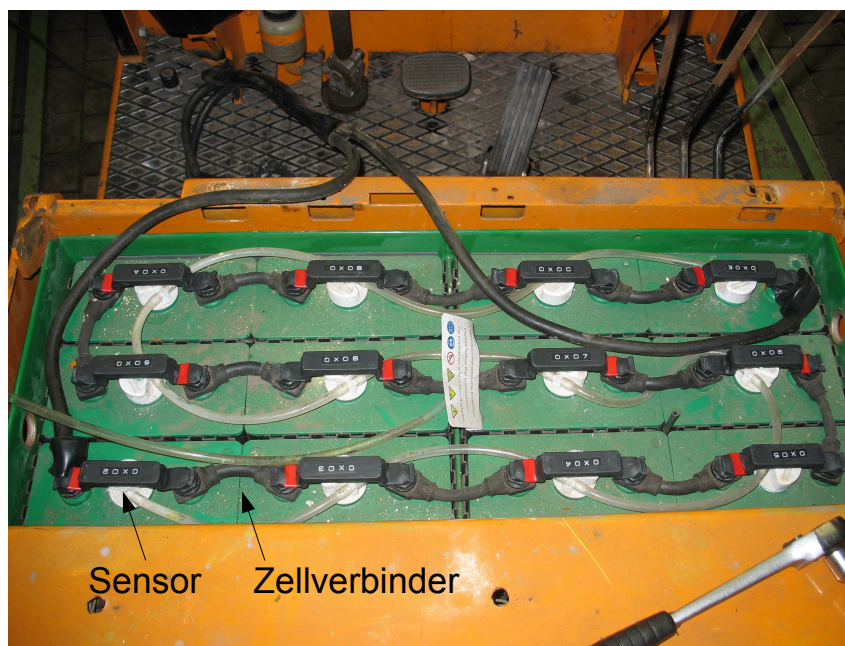


Bild 3.5.: Anordnung der einzelnen Zellen der Antriebsbatterie

Um weitreichende Informationen über die Batterie zu erhalten wurden verschiedene Messungen durchgeführt. Begonnen wurde mit einem Entladevorgang. Hier wird die Batterie über den Antriebsmotor vollständig entladen. Daraufhin wird die Batterie an ein handelsübliches Ladegerät angeschlossen und über mehrere Stunden geladen. Darauf folgte ein weiterer Entladevorgang und eine Messung im Ruhezustand. Mit diesen vier Messungen ist es möglich, eine aussagekräftige Beschreibung des Batteriezustands und der Funktion der Sensoren zu geben.

Bei den Entladungsvorgängen sind verschiedene Anordnungen der Sensoren vorgenommen worden. Dies soll beweisen, dass eventuell auftretende Phänomene nicht vom verwendeten Sensor abhängig sind. Die Anordnung der Sensoren wird vor der Darstellung der jeweiligen Messwerte erläutert. Des Weiteren sind noch andere Randbedingungen aufgenommen worden. Dazu gehört die Leerlaufspannung der Batterie, die Temperatur und die Uhrzeit zu Beginn und zum Ende einer Messung. Diese Werte wurden extern aufgenommen und sollen als direkter Vergleich zu den ermittelten Messwerten der Sensoren gelten.

3.3. Versuch 1: Entladung

Die erste Messung ist eine Entladung. Dazu wurde die Batterie im Vorfeld geladen. Zum entladen wird der Gabelstapler aufgebockt. So ist es über den Antriebsmotor möglich, eine konstante Entladung über den gesamten Verlauf zu erhalten. Die Sensoren sind nach

Tabelle 3.1 auf die Batteriezellen verteilt. Alle anderen Randbedingungen sind in Tabelle 3.2 zu finden.

Zelle	1	2	3	4	5	6	7	8	9	10	11	12
Sensoradresse	2	3	4	5	6	7	8	9	10	11	12	14

Tabelle 3.1.: Anordnung der Sensoren auf den Batteriezellen für die erste Messung

	Uhrzeit	Temperatur	Leerlaufspannung
Beginn der Messung	11:14 Uhr	21,2°C	23,37 V
Ende der Messung	12:17 Uhr	27,8°C	22,78 V

Tabelle 3.2.: Randbedingungen der ersten Messung

Auf den nachfolgenden Seiten sind die drei Messungen des ersten Versuchs dargestellt. Die erste Grafik beschreibt den Temperaturverlauf, die zweite die Zellenspannung und die dritte die Versorgungsspannung. Eine kurze Beschreibung des Temperatur- und des Zellspannungsverlaufs werden nach den Grafiken gegeben. Die Betrachtung der Versorgungsspannung erfolgt nur in Kapitel 3.7. Bei allen Versuchen wird dies ebenso gehandhabt.

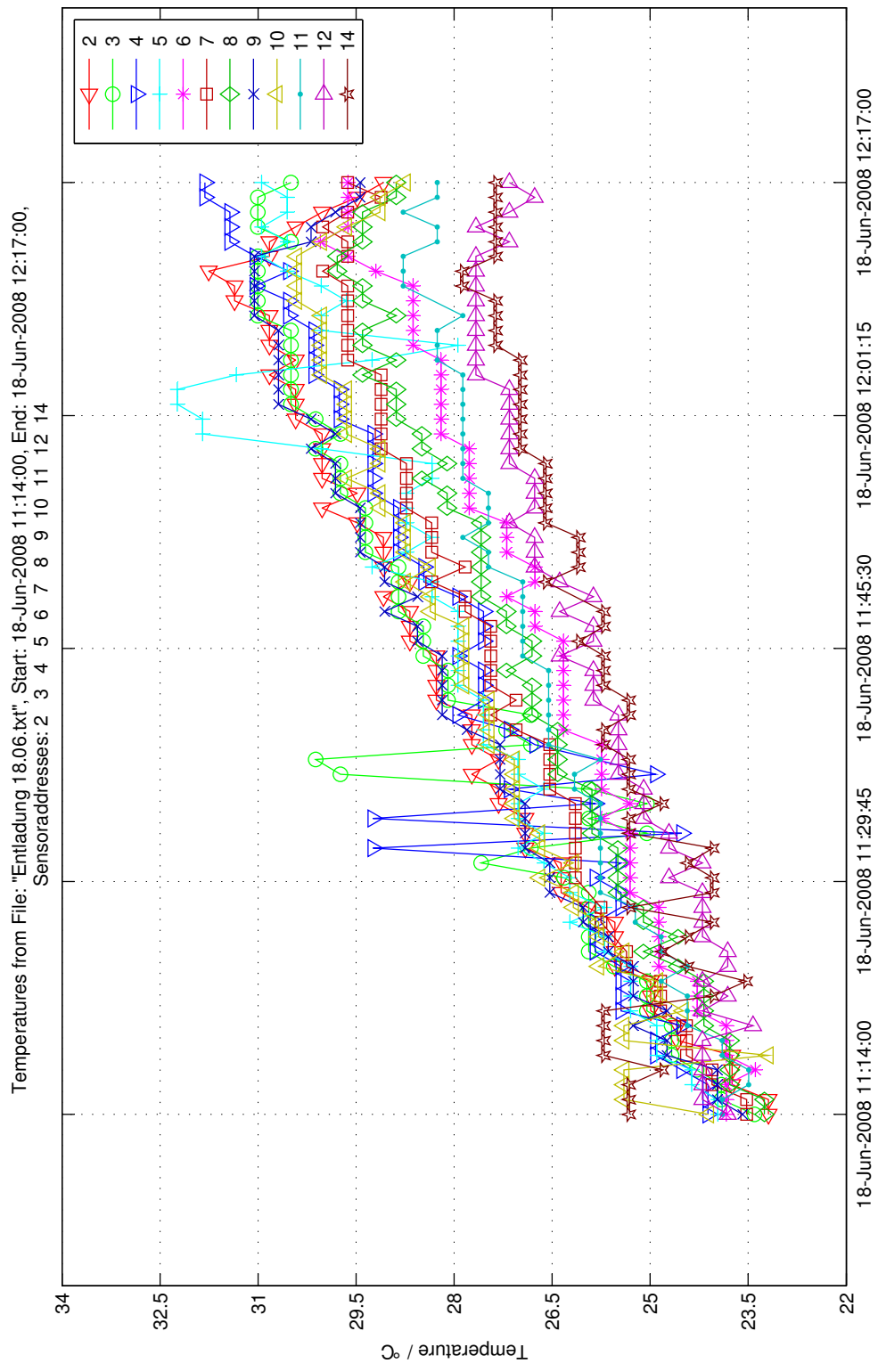


Bild 3.6.: Temperaturverlauf des ersten Entladevorgangs

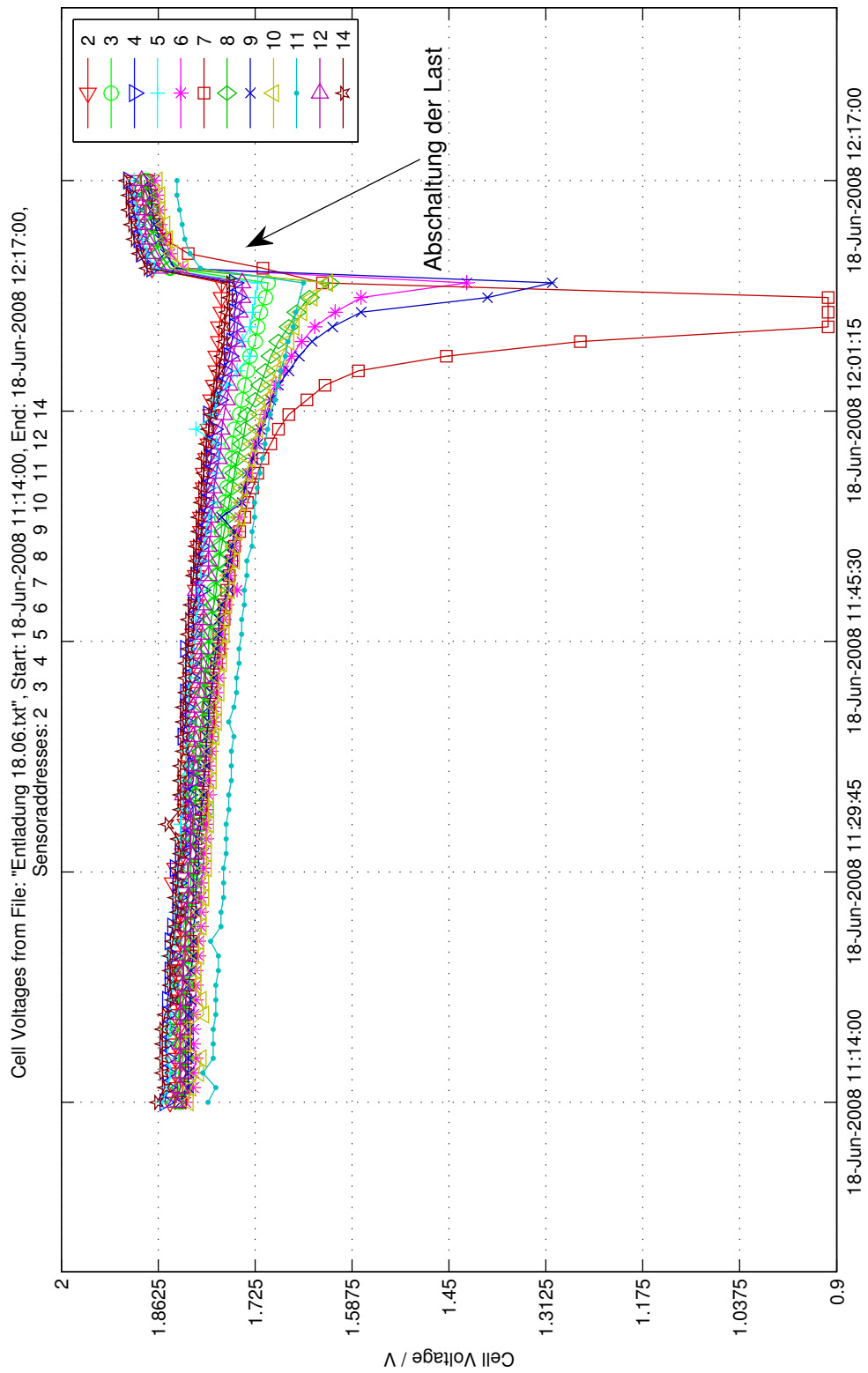


Bild 3.7.: Zellspannungsverlauf des ersten Entladevorgangs

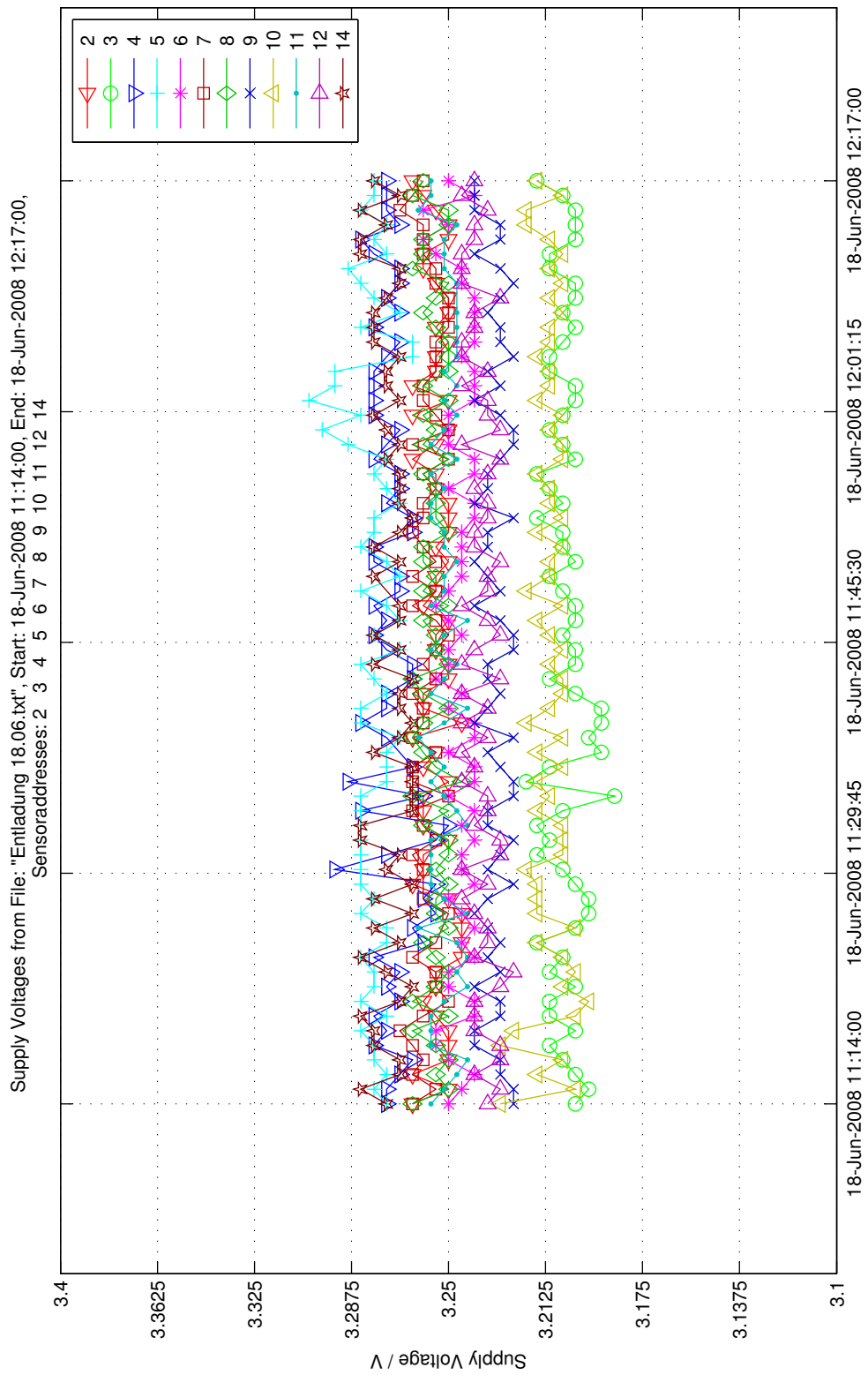


Bild 3.8.: Versorgungsspannungsverlauf des ersten Entladevorgangs

Bei der Temperaturmessung (Bild 3.6) ist an allen Sensoren die steigende Tendenz deutlich. Die Ausreißer der Sensoren mit der Adresse 3, 4 und 5 (Zelle 2, 3 und 4) sind auf Messfehler zurückzuführen. Die maximale Abweichung beträgt $4,2^{\circ}\text{C}$ die minimale $0,45^{\circ}\text{C}$ (Tabelle 3.3).

	Beginn	Ende
Referenzwert	$21,2^{\circ}\text{C}$	$27,8^{\circ}\text{C}$
Min. Abweichung	2°C	$0,45^{\circ}\text{C}$
Max. Abweichung	$4,1^{\circ}\text{C}$	$4,2^{\circ}\text{C}$

Tabelle 3.3.: Temperaturabweichung des ersten Versuchs

Bei der Zellspannungsmessung (Bild 3.7) ist der Abschaltzeitpunkt der Last kenntlich gemacht. Diese Messung wurde im direkten Betrieb gestartet, daher ist kein Einschaltzeitpunkt erkennbar. Der Spannungsabfall an den Sensoren mit der Adresse 6, 7 und 9 (Zelle 5, 6 und 8) lässt einen Rückschluss auf den schlechten Zustand (SOH) der Zellen zu. Die Referenzmessung mit einem Messgerät ergibt annähernd gleiche Werte wie das Aufaddieren der Einzelspannungen (Tabelle 3.4).

	Beginn	Ende
Referenzwert	$22,37\text{ V}$	$22,78\text{ V}$
Aufaddierte Einzelspannungen	$22,12\text{ V}$	$22,67\text{ V}$

Tabelle 3.4.: Leerlaufspannung als Referenzwert und durch Aufaddieren der Einzelspannungen des ersten Versuchs

Die Versorgungsspannungsmessung sowie eine detaillierte Betrachtung aller Ergebnisse erfolgt in Kapitel 3.7.

3.4. Versuch 2: Ladung

Diese Messung beschreibt eine Ladung nach vollständiger Entleerung der Batterie aus Versuch 1. Hierbei wird die Batterie an das Ladegerät angeschlossen. Das Ladegerät besteht aus einem Transformator und einer Zeituhr. An dieser kann die Dauer der Batterieladezeit eingestellt werden. Der Strom regelt sich über den internen Widerstand der Batterie von selbst. Tabelle 3.5 zeigt die Verteilung der Sensoren auf den Batteriezellen, Tabelle 3.6 die Randbedingungen.

Zelle	1	2	3	4	5	6	7	8	9	10	11	12
Sensoradresse	2	3	4	5	6	7	8	9	10	11	12	14

Tabelle 3.5.: Anordnung der Sensoren auf den Batteriezellen für die zweite Messung

	Uhrzeit	Temperatur	Leerlaufspannung
Beginn der Messung	12:27 Uhr	25,6°C	23,11 V
Ende der Messung	15:24 Uhr	24,2°C	24,94 V

Tabelle 3.6.: Randbedingungen der zweiten Messung

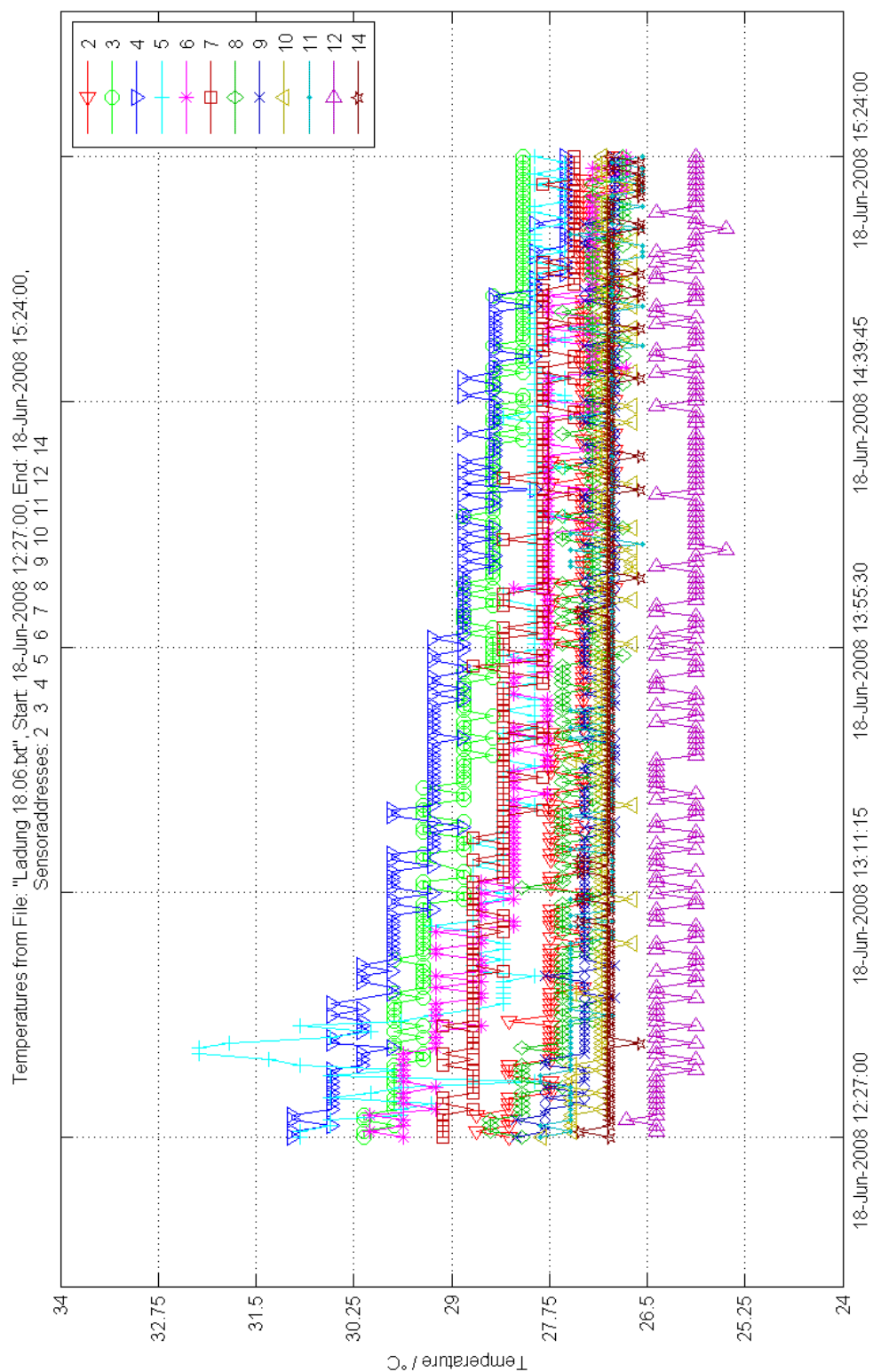


Bild 3.9.: Temperaturverlauf des Ladevorgangs

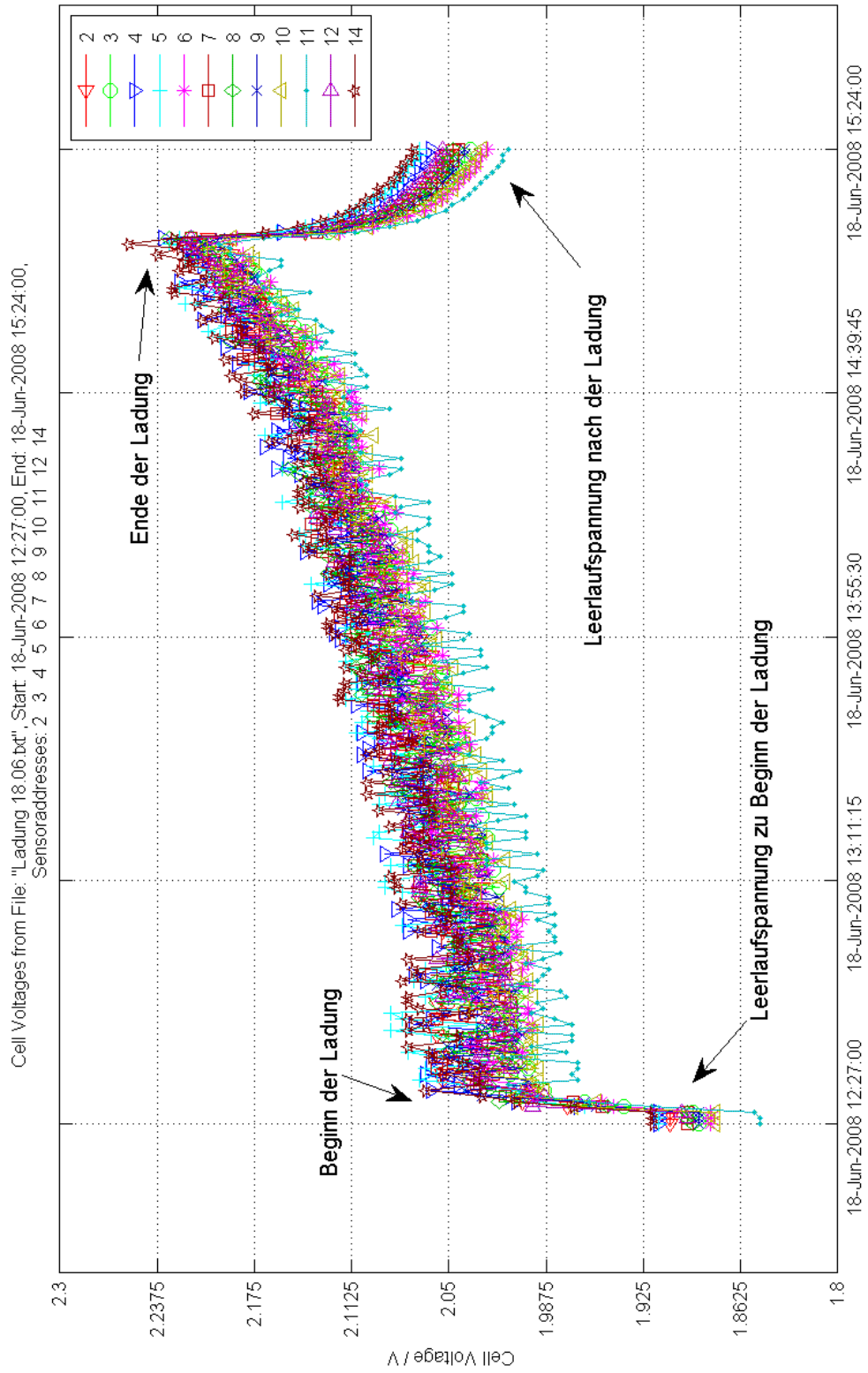


Bild 3.10.: Zellspannungsverlauf des Ladevorgangs

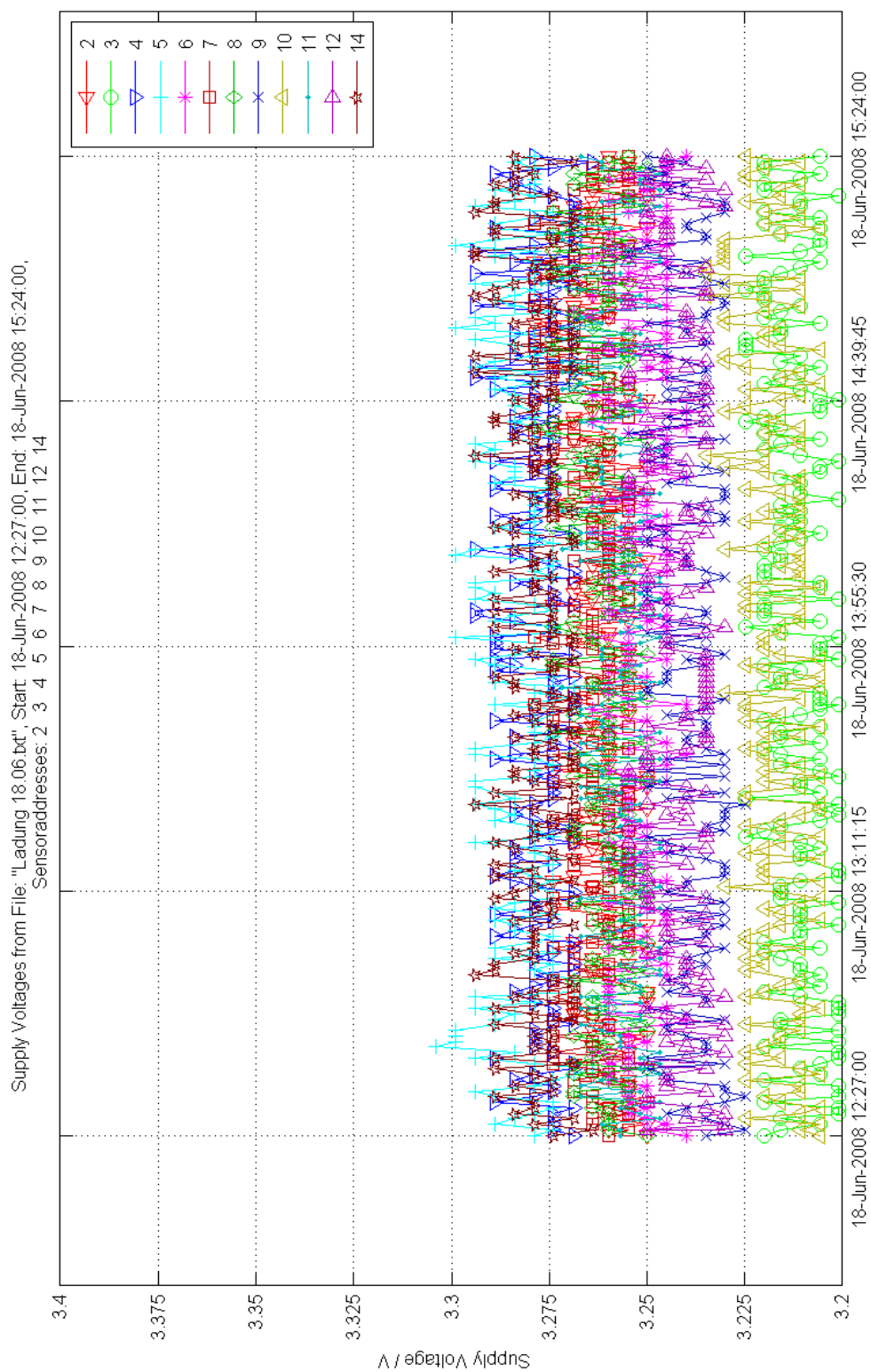


Bild 3.11.: Versorgungsspannungsverlauf des Ladevorgangs

Bei der Temperaturmessung (Bild 3.9) ist die fallende Tendenz an fast allen Sensoren deutlich. Die Ladung erfolgte direkt im Anschluss zur Entladung aus Versuch 1. Darauf begründen sich die unterschiedlichen Startwerte und die daraus resultierenden unterschiedlichen Verläufe. Die maximale Abweichung beträgt $5,4^{\circ}\text{C}$ die minimale $0,9^{\circ}\text{C}$ (Tabelle 3.7).

	Beginn	Ende
Referenzwert	$25,6^{\circ}\text{C}$	$24,2^{\circ}\text{C}$
Min. Abweichung	$0,9^{\circ}\text{C}$	$1,8^{\circ}\text{C}$
Max. Abweichung	$5,4^{\circ}\text{C}$	$3,8^{\circ}\text{C}$

Tabelle 3.7.: Temperaturabweichung des zweiten Versuchs

Bei der Zellspannungsmessung (Bild 3.10) ist der Einschalt- und Abschaltzeitpunkt der Last kenntlich gemacht. Ebenso wie das Spannungsniveau vor und nach der Ladung. Während der Ladung ist ein starkes Rauschen zu erkennen, welches auf das Ladegerät zurückzuführen ist. Wie im vorangehenden Versuch ergibt die Referenzmessung annähernd gleiche Werte wie das Aufaddieren der Einzelspannungen (Tabelle 3.8).

	Beginn	Ende
Referenzwert	$23,11\text{ V}$	$24,94\text{ V}$
Aufaddierte Einzelspannungen	$22,78\text{ V}$	$24,63\text{ V}$

Tabelle 3.8.: Leerlaufspannung als Referenzwert und durch Aufaddieren der Einzelspannungen des zweiten Versuchs

Die Versorgungsspannungsmessung sowie eine detaillierte Betrachtung aller Ergebnisse erfolgt in Kapitel 3.7.

3.5. Versuch 3: Entladung

Da die wichtigsten Informationen im Entladebetrieb ermittelt werden, ist eine zweite Messung gemacht worden. Hierbei wurden die Sensoren anders als bei den vorangehenden Versuchen auf der Batterie angeordnet. Die Entladung erfolgt nach dem selben Schema wie bei Versuch 1. Tabelle 3.9 zeigt die veränderte Reihenfolge der Sensoren auf den Batteriezellen. Tabelle 3.10 stellt alle Randbedingungen dar.

Zelle	1	2	3	4	5	6	7	8	9	10	11	12
Sensoradresse	14	12	11	10	9	8	7	6	5	4	3	2

Tabelle 3.9.: Anordnung der Sensoren auf den Batteriezellen für die dritte Messung

	Uhrzeit	Temperatur	Leerlaufspannung
Beginn der Messung	12:15 Uhr	22,5°C	23,7 V
Ende der Messung	13:40 Uhr	32,2°C	22,7 V

Tabelle 3.10.: Randbedingungen der dritten Messung

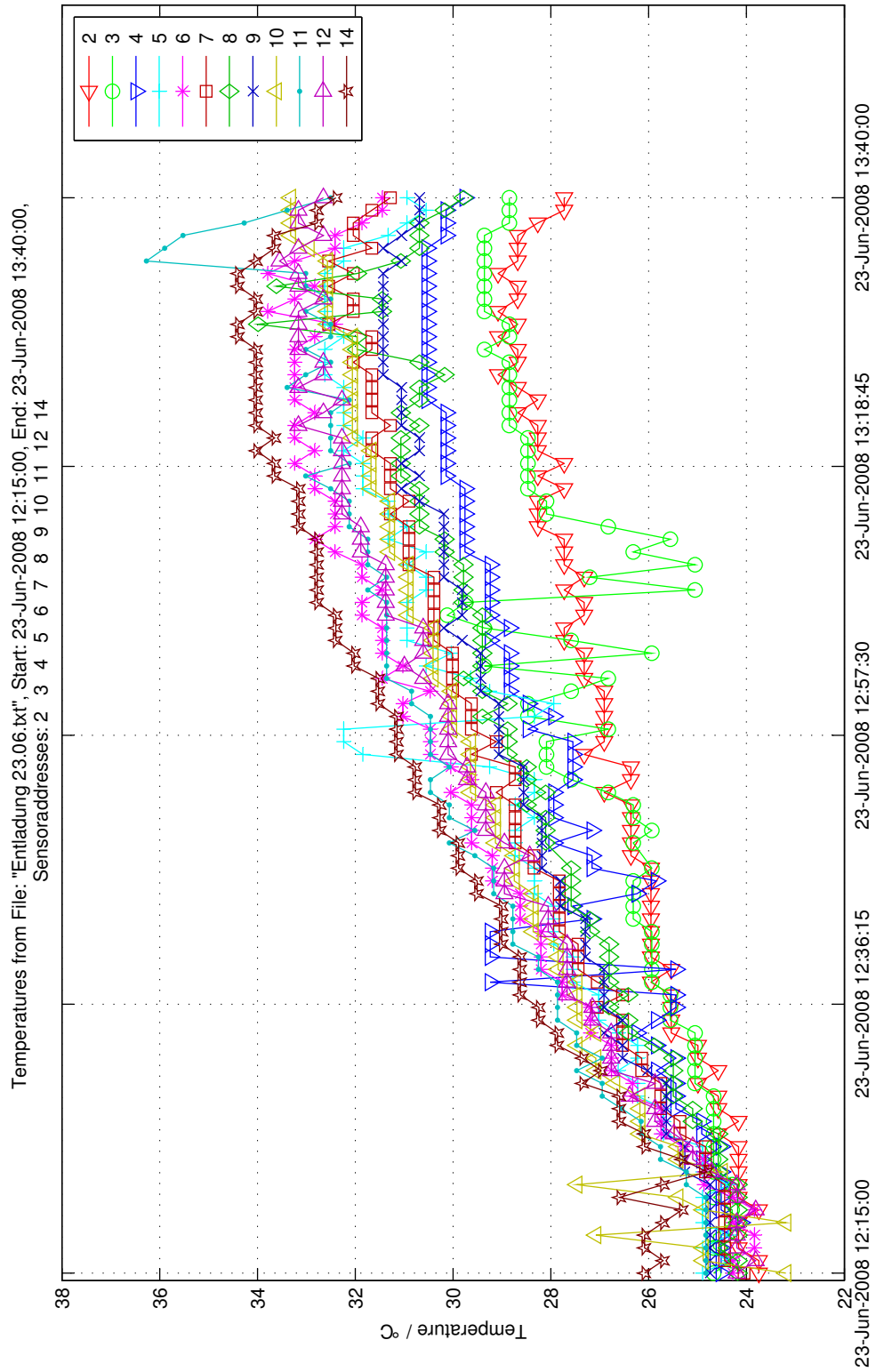


Bild 3.12.: Temperaturverlauf des zweiten Entladevorgangs

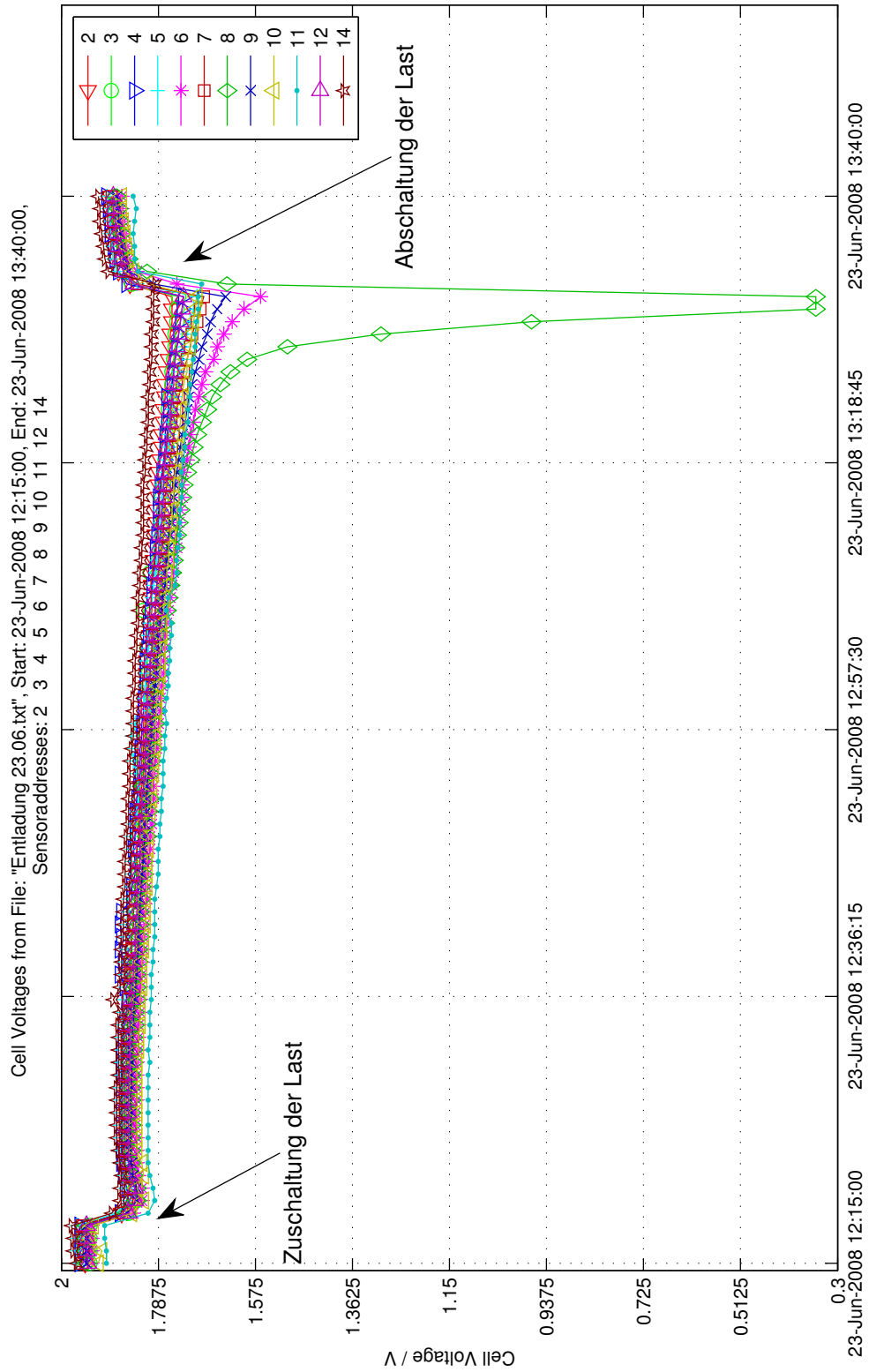


Bild 3.13.: Zellspannungsverlauf des zweiten Entladevorgangs

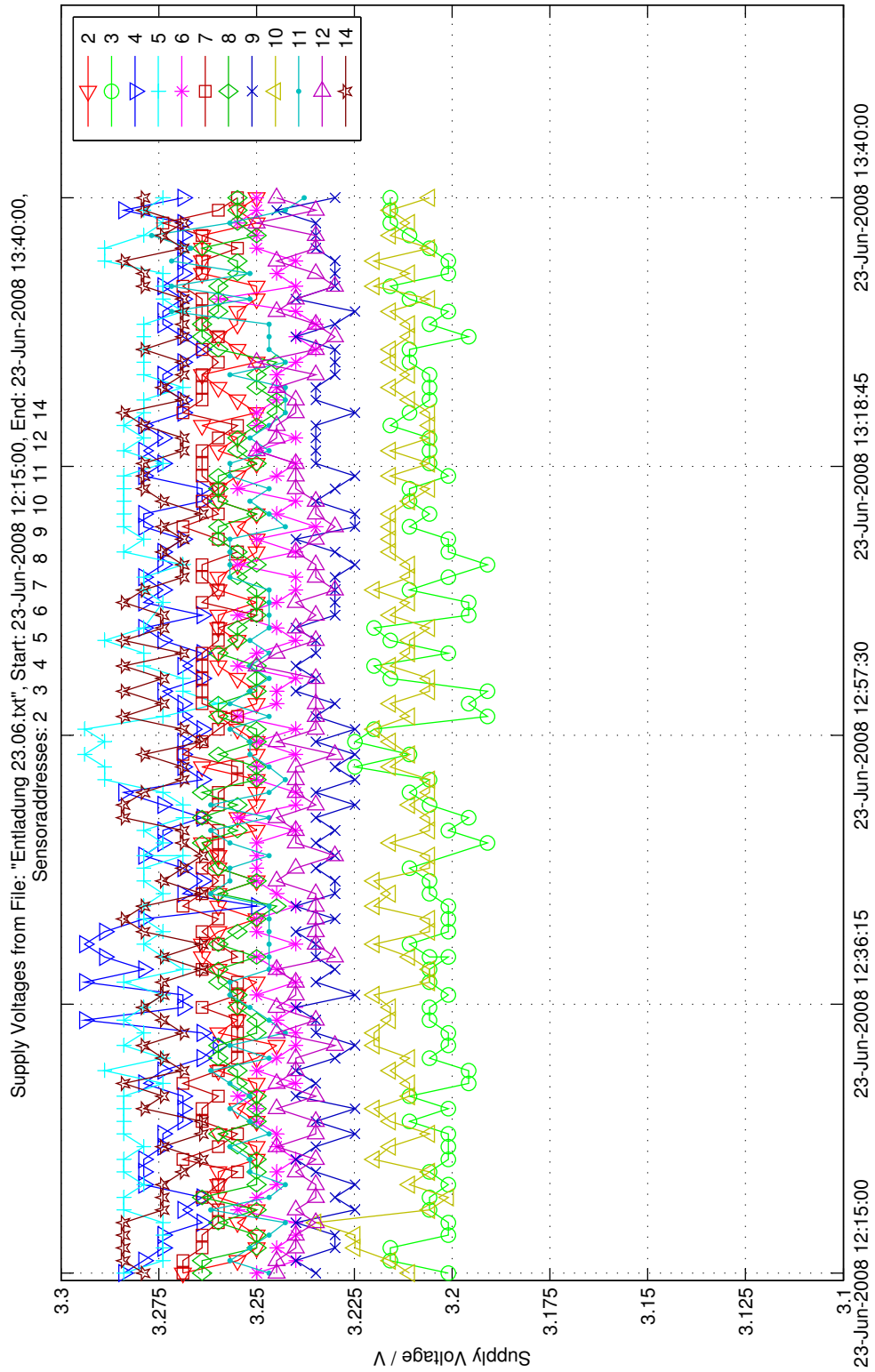


Bild 3.14.: Versorgungsspannungsverlauf des zweiten Entladevorgangs

Bei der Temperaturmessung (Bild 3.12) ist an allen Sensoren die steigende Tendenz deutlich. Die Ausreißer der Sensoren mit der Adresse 3 und 5 (Zelle 11 und 9) sind auf Messfehler zurückzuführen. Da diese Sensoren schon in Versuch 1 Fehler beziehungsweise Meßungenauigkeiten aufwiesen, sind diese zu überprüfen. Die maximale Abweichung beträgt $3,8^{\circ}\text{C}$ die minimale 1°C (Tabelle 3.11).

	Beginn	Ende
Referenzwert	$22,5^{\circ}\text{C}$	$32,2^{\circ}\text{C}$
Min. Abweichung	1°C	$1,8^{\circ}\text{C}$
Max. Abweichung	$3,5^{\circ}\text{C}$	$3,8^{\circ}\text{C}$

Tabelle 3.11.: Temperaturabweichung des dritten Versuchs

Dieser Versuch ist im Gegensatz zu Versuch 1 mit anderen Bedingungen gestartet worden. Es handelt sich ebenfalls um eine Entladung, die Aufzeichnung wurde aber schon im Ruhezustand begonnen und die Anordnung der Sensoren ist verändert worden. In Bild 3.13 ist der Einschalt- und Abschaltzeitpunkt der Last kenntlich gemacht. Der Spannungsabfall an dem Sensor mit der Adresse 8 (Zelle 6) beschreibt, wie schon in Versuch 1, den schlechten Zustand (SOH) der Zelle. Die Referenzmessung mit einem Messgerät ergibt annähernd gleiche Werte wie das Aufaddieren der Einzelspannungen (Tabelle 3.12).

	Beginn	Ende
Referenzwert	$23,77\text{ V}$	$22,71\text{ V}$
Aufaddierte Einzelspannungen	$23,42\text{ V}$	$22,70\text{ V}$

Tabelle 3.12.: Leerlaufspannung als Referenzwert und durch Aufaddieren der Einzelspannungen des dritten Versuchs

Die Versorgungsspannungsmessung sowie eine detaillierte Betrachtung aller Ergebnisse erfolgt in Kapitel 3.7.

3.6. Versuch 4: Ruhemessung

Zuletzt wurde noch eine Ruhemessung durchgeführt. Hierzu wurden die Sensoren wie in Tabelle 3.14 auf der Batterie angeordnet. Diese Messung wird durchgeführt, um zu überprüfen, ob etwaige Störungen, die durch den Lade- oder Entladevorgang hervorgerufen werden, Auswirkungen auf die Messung haben. Die Randbedingungen sind in Tabelle 3.14 dargestellt.

Zelle	1	2	3	4	5	6	7	8	9	10	11	12
Sensoradresse	2	3	4	5	6	7	8	9	10	11	12	14

Tabelle 3.13.: Anordnung der Sensoren auf den Batteriezellen für die vierte Messung

	Uhrzeit	Temperatur	Leerlaufspannung
Beginn der Messung	10:47 Uhr	22,5°C	23,77 V
Ende der Messung	12:00 Uhr	22,7°C	23,77 V

Tabelle 3.14.: Randbedingungen der vierten Messung

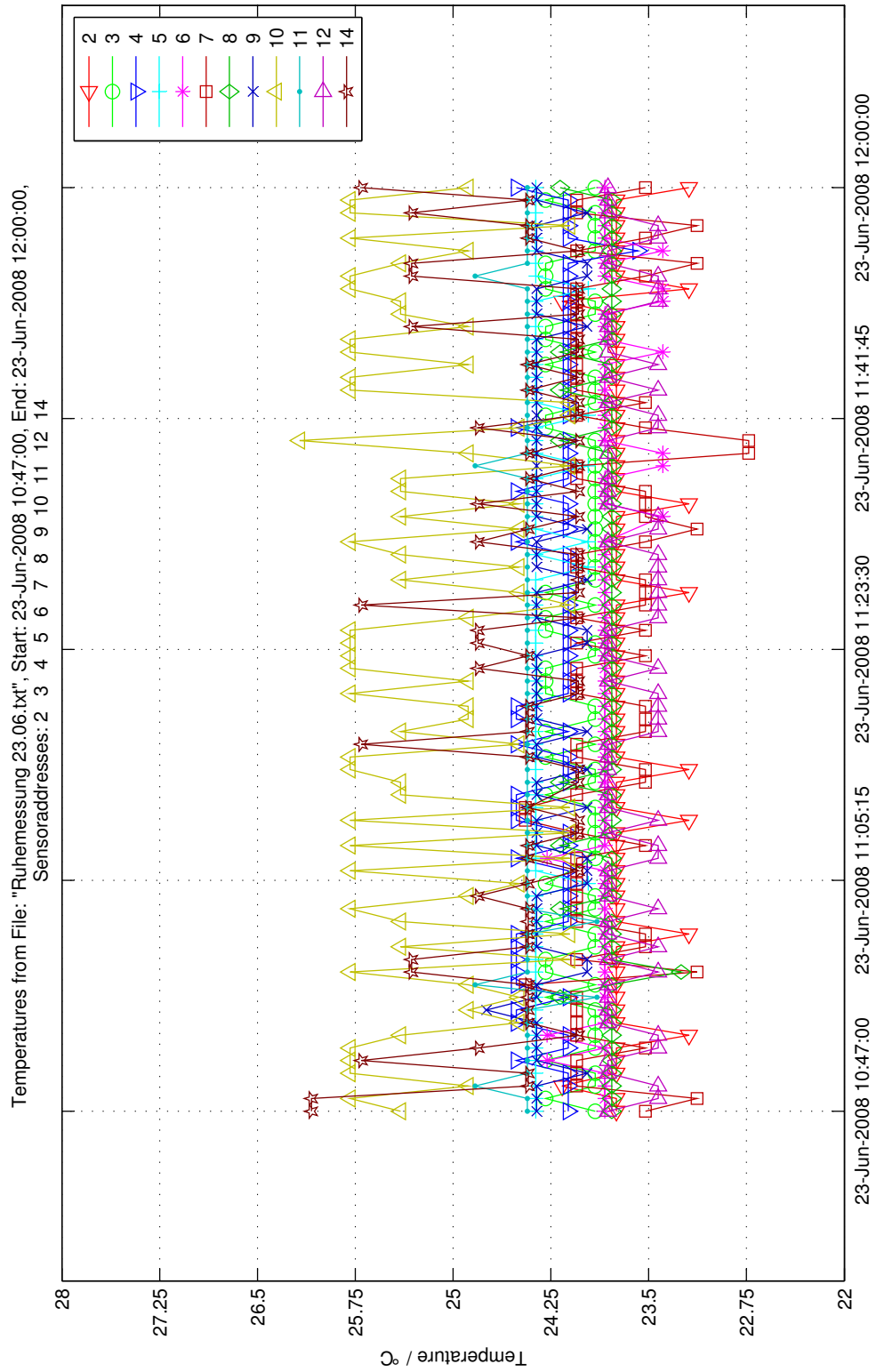


Bild 3.15.: Temperaturverlauf der Ruhemessung

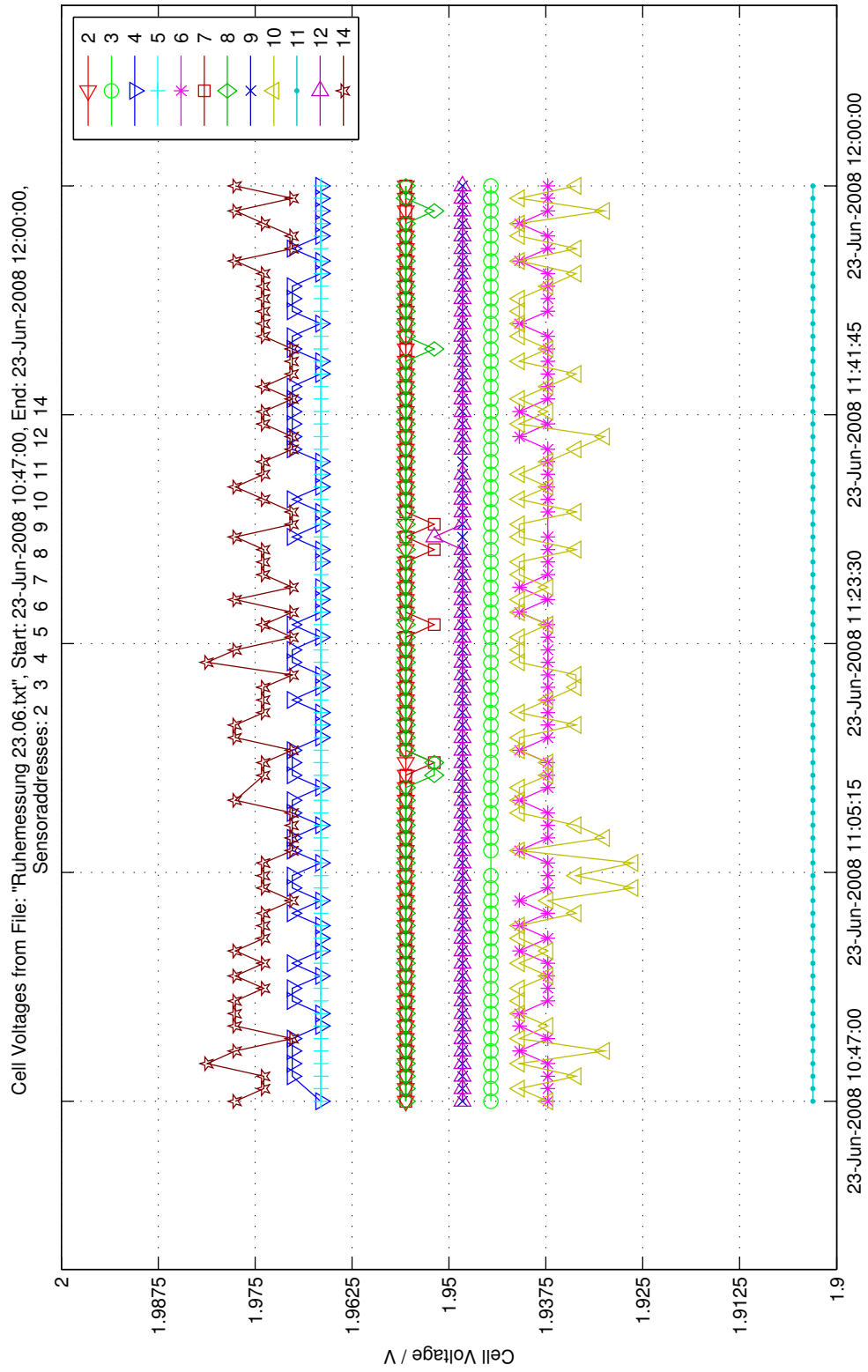


Bild 3.16.: Zellspannungsverlauf der Ruhemessung

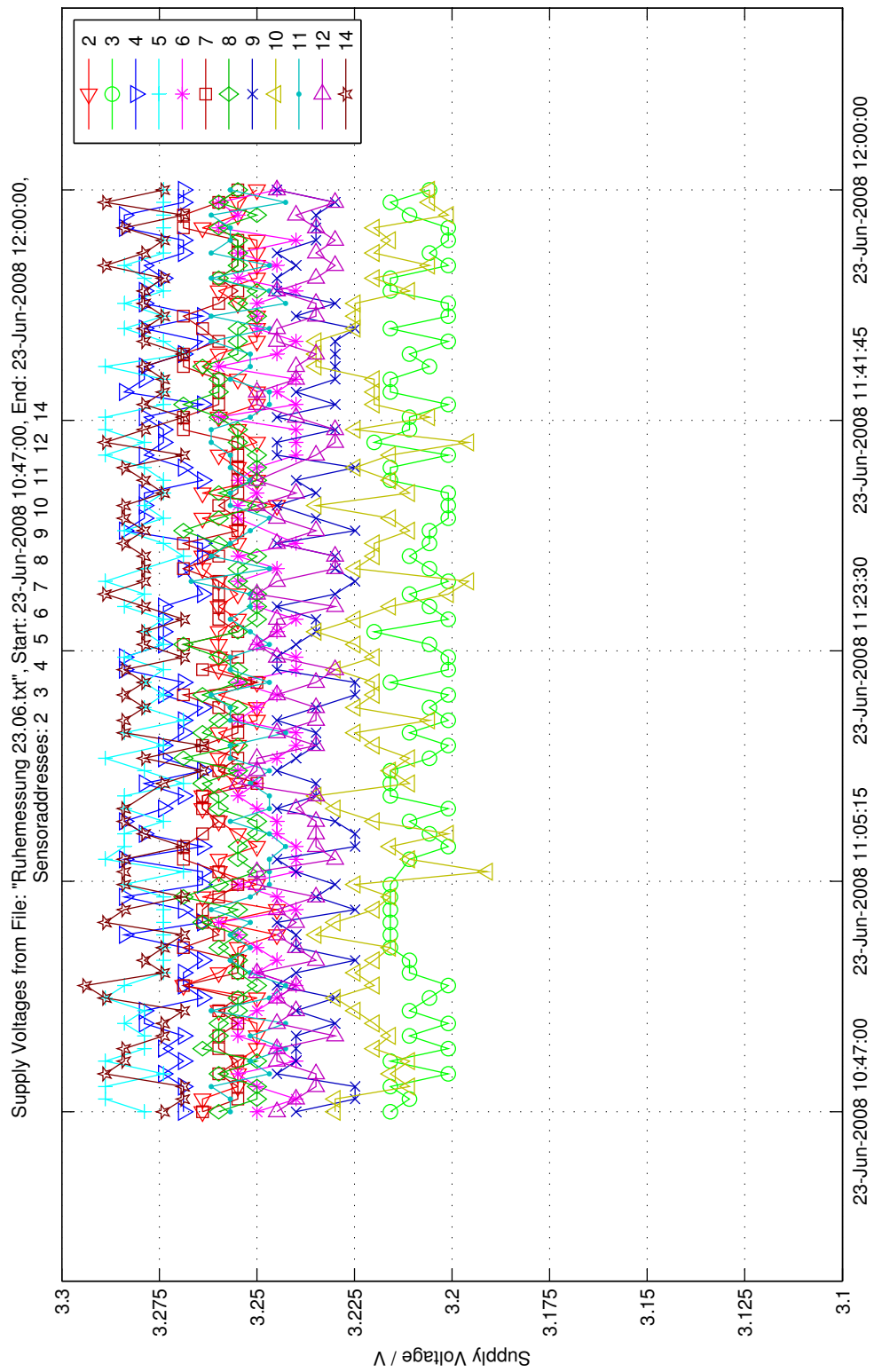


Bild 3.17.: Versorgungsspannungsverlauf der Ruhemessung

Bei der Temperaturmessung (Bild 3.17) sind die Schwankungen, im Vergleich zu den anderen Versuchen, recht klein. Sie umfassen nur einen Messfehler von 1 bis 3 lsb. Die maximale Abweichung beträgt $3,5^{\circ}\text{C}$, die minimale $0,3^{\circ}\text{C}$ (Tabelle 3.3).

	Beginn	Ende
Referenzwert	$22,5^{\circ}\text{C}$	$22,7^{\circ}\text{C}$
Min. Abweichung	1°C	$0,3^{\circ}\text{C}$
Max. Abweichung	$3,5^{\circ}\text{C}$	$3,25^{\circ}\text{C}$

Tabelle 3.15.: Temperaturabweichung des vierten Versuchs

In Bild 3.13 ist der Spannungsverlauf der Ruhemessung abgebildet. Das auftretende Rauschen ist im Vergleich mit Versuch 2 sehr gering. Dadurch ist bewiesen, dass Entlade- und besonders Ladevorgänge die Messungen beeinflussen. Die Referenzmessung mit einem Messgerät ergibt annähernd gleiche Werte wie das Aufaddieren der Einzelspannungen (Tabelle 3.12).

	Beginn	Ende
Referenzwert	$23,77\text{ V}$	$23,77\text{ V}$
Aufaddierte Einzelspannungen	$23,50\text{ V}$	$23,49\text{ V}$

Tabelle 3.16.: Leerlaufspannung als Referenzwert und durch Aufaddieren der Einzelspannungen des vierten Versuchs

Die Versorgungsspannungsmessung sowie eine detaillierte Betrachtung aller Ergebnisse erfolgt im nachfolgenden Kapitel.

3.7. Betrachtung der Versuchsergebnisse

Alle Messungen konnten ohne Probleme durchgeführt werden. Es wurde erwartet, dass durch den rein metallischen Körper, eine Datenübertragung nach außen nicht möglich sei. Die Messungen konnten aber durchgeführt werden, ohne die Antenne in den Batterieraum zu montieren. Am Aufschlussreichsten der drei Messungen sind die Temperatur- und die Zellspannungsmessung. Die Messung der Betriebsspannung ist kaum von Belangen für die Zustands- und Ladekontrolle. Daher wird diese nur oberflächlich betrachtet.

3.7.1. Betrachtung der Temperaturmessungen

Bei den Temperaturmessungen kann zum Vergleich die Referenzmessung mit einem externen Thermometer herangezogen werden. Vergleicht man die Referenzwerte mit den aufgenommenen Werten ist bei allen Messungen eine Differenz von bis zu 6°C zu sehen. Ebenfalls ist teilweise ein starkes Schwanken der Sensorwerte zu sehen. Die steigende oder fallende Tendenz ist aber bei allen Messungen im Vergleich zur Referenzmessung gleich. Tabelle 3.17 zeigt die minimalen und maximalen Abweichungen vom Referenzwert jeder Messung.

	Versuch 1	Versuch 2	Versuch 3	Versuch 4
Temperatur bei Beginn	21,2°C	25,6°C	22,5°C	22,5°C
Min. Abweichung	2°C	0,9°C	1,5°C	1°C
Max. Abweichung	4,1°C	5,4°C	3,5°C	3,5°C
Temperatur bei Ende	27,8°C	24,2°C	32,2°C	22,7°C
Min. Abweichung	0,45°C	1,8°C	0,8°C	0,3°C
Max. Abweichung	4,2°C	3,8°C	4,2°C	3,25°C

Tabelle 3.17.: Minimale und maximale Abweichung vom Referenzwert aller Messungen

Trotz der Kalibrierung taucht dieser Fehler auf. Betrachtet man die Formel zur Errechnung des Temperaturwertes (Formel 2.3) wird einer der Gründe deutlich. Bei einer Änderung von einem lsb ändert sich der errechnete Temperaturwert um 0,413°C. Schwankungen von einem lsb sind bei einer Messung mit einem ADC nicht zu vermeiden. Diese Schwankungen werden als Quantisierungsrauschen bezeichnet.

Ein anderer Grund ist, dass die Temperatur intern gemessen wird. Somit spielt die Belastung des Mikrocontrollers eine große Rolle. Ist die Zeit zwischen den Messungen kürzer als die Abkühlphase, wird eine erhöhte Temperatur gemessen. Zur Lösung dieses Problems muss in die Software des Sensors eingegriffen werden. Es wäre möglich, den Wert über einen Zeitraum von ein paar Millisekunden zu mitteln und somit ein besseres Ergebniss zu erhalten.

Die Versuche beweisen, dass eine Temperaturmessung über die interne Diode eines Mikrocontrollers möglich sind. Die Auflösung ist je nach Anwendungsfall zu betrachten. Das auftretende Rauschen ist zum Teil durch den Verbraucher oder das Ladegerät hervorgerufen worden. Zu der schon vorgestellten Softwarelösung ist weiterhin zu überlegen, ob der Einsatz eines Filterelementes notwendig ist.

3.7.2. Betrachtung der Zellspannungsmessungen

Bei den Zellspannungsmessungen kann zum Vergleich die extern gemessene Gesamtspannung als Referenz dienen. Um einen direkten Vergleich herstellen zu können, müssen alle 12 Zellspannungen, zu Beginn und Ende jedes Versuchs, aufaddiert werden. Dies erledigt die MATLAB Software automatisch bei jeder Auswertung. Die Werte werden hierbei in das Befehlsfenster von MATLAB geschrieben. Tabelle 3.18 stellt die Referenzwert und die ermittelten Werte aller Versuche dar.

Die Unterschiede zwischen den beiden Messungen sind auf Messfehler des Multimeters und der Sensoren zurückzuführen. Das verwendete Multimeter der Firma Voltcraft besitzt eine Genauigkeit von 0,5% bei einem Messbereich von 20 V. Die Sensoren haben eine Genauigkeit von ebenfalls 0,5% im Messbereich, welche aber abhängig von der Referenzspannung ist. Zudem sind noch Übergangswiderstände zu berücksichtigen. Addiert man diese Ungenauigkeiten ist es durchaus möglich, eine Maximaldifferenz von 0,3 V zu erhalten, wie es auch bei den dargestellten Messwerten der Fall ist.

Die Zellspannungsmessungen sind ausschlaggebend für die Berechnung des Batteriezu-

Leerlaufspannung	Versuch 1	Versuch 2	Versuch 3	Versuch 4
Referenzwert zu Beginn	22,37 V	23,11 V	23,77 V	23,77 V
Aufaddierte Einzelspannungen	22,12 V	22,83 V	23,42 V	23,50 V
Referenzwert zum Ende	22,78 V	24,94 V	22,71 V	23,77 V
Aufaddierte Einzelspannungen	22,67 V	24,63 V	22,70 V	23,49 V

Tabelle 3.18.: Leerlaufspannung als Referenzwert und durch Aufaddieren der Einzelspannungen aller Versuche

stands. Daher wird hier, im Gegensatz zur Temperaturmessung, auf jede einzelne Messung eingegangen.

Im ersten Versuch (Bildern 3.6 bis 3.8) handelt es sich um eine Entladung. In Bild 3.7 ist zu erkennen, dass im letzten Abschnitt drei Spannungen überdurchschnittlich stark zusammenbrechen. Besonders die Zellspannung am Sensor mit der Adresse 7 bricht sehr stark ein. Die dazugehörige Zelle ist Zelle 6 (Bild 3.4). Diese Problematik ist mit einer konventionellen Spannungsmessung der Batteriespannung nicht zu erkennen. Der schlechte Zustand dieser Zellen führt zu einer überdurchschnittlichen Belastung aller restlichen Zellen. Die Vorgaben der vorliegenden Arbeit sind es, ein System zu konstruieren, das solche Fehler erkennen kann. Versuch 3 beschreibt ebenfalls eine Entladung und soll die hier aufgetretenen Probleme belegen.

Im zweiten Versuch (Bildern 3.9 bis 3.11) handelt es sich um einen Ladevorgang. Da sich der Ladestrom auf alle Zellen aufteilt, steigt das Spannungsniveau bei allen Zellen kontinuierlich an (Markierung in Bild 3.10). Das Anfangsniveau von zirka 1,8 V bei allen Zellen, entspricht dem Niveau am Ende der vorigen Messung (Versuch 1). Die Leerlaufspannung von Zelle 6 ist auf gleichem Niveau wie die anderen. Somit ist es nicht möglich, eine defekte Zelle während der Ladung oder im Ruhezustand zu erkennen.

Im Gegensatz zur ersten Messung ist ein starkes Rauschen zu erkennen. Diese Problematik war zu erwarten, da durch das Ladegerät erzeugte Oberwellen die Spannungsmessung beeinflussen. Es sind zwei Lösungsvorschläge für dieses Problem möglich. Bei der ersten Lösung wird ein geeigneter Filter entwickelt und in Hardware realisiert. Die zweite Lösung umfasst die Filterung der Messwerte. Hierzu wird eine Fourier-Transformation durchgeführt und im Frequenzbereich ein Filter angewendet. Da die zu erwartenden Störungen der Nennfrequenz und der doppelten Nennfrequenz des Versorgungsnetzes entsprechen, müssten dazu mindestens 200 Messwerte pro Sekunde aufgezeichnet werden. Eine Änderung der Software im Sensor wäre dazu nötig. Weiterhin ist zu überprüfen, ob diese Probleme im Zusammenhang mit neueren Ladegeräten auftaucht.

Im dritten Versuch (Bildern 3.12 bis 3.14) wurde abermals eine Entladung durchgeführt. Hier wurde die Anordnung der Sensoren verändert (Tabelle 3.10). Wie auch bei der ersten Entladung bricht die Spannung von Zelle 6 stark zusammen (Bild 3.13 Sensor 8). Die Spannung sinkt bei diesem Versuch an Zelle 6 auf unter 0,5 V, im vorigen waren es noch zirka 0,9 V. Wird nun ohne Rücksicht auf die defekte Zelle fortgefahren, wird es schnell zu einem vollständigen Defekt kommen und die Batterie somit unbrauchbar werden. Dies bringt auch die Problematik bei herkömmlichen Systemen zum Vorschein. Bei einer Über-

prüfung der gesamten Spannung (Tabelle 3.18) ist der Zustand der einzelnen Zelle nicht erkennbar. Der Rückschluss daraus wäre, dass die Batterie keinen Defekt aufweist.

Der letzte Versuch (Bild 3.15 bis 3.17) beschreibt eine Ruhemessung. Hier sind über einen Zeitraum von 75 Minuten Messwerte aufgenommen worden, ohne die Batterie zu belasten. Das einzige Rauschen welches hier auftritt, ist Quantisierungsrauschen, wobei das Spannungsniveau konstant bleibt. Somit dient dieser Versuch als Beweis, dass das Rauschen im zweiten Versuch nicht auf die Sensoren zurückzuführen ist.

3.7.3. Betrachtung der Versorgungsspannungsmessung

Zuletzt sind die Versorgungsspannungsmessungen zu betrachten. Diese sind, wie schon beschrieben, für die Bestimmung des Ladezustands nicht nötig. Bei allen vier Versuchen sind hier die gleichen Erscheinungen zu erkennen: Die Spannungswerte sind nicht konstant. Dies liegt an dem verwendeten Step-Up-Converter. Seine Ausgangsspannung schwankt im Betrieb um zirka 0,1 V. Für den Betrieb der Sensoren stellt es aber kein Problem dar. Das einzige Problem an dieser Änderung ist eine eventuelle Änderung der Referenzspannung für die Spannungsmessung. Daraus resultiert ein minimal größerer Messfehler als angenommen. Dieser dürfte aber nur im Promillbereich liegen und zu vernachlässigen sein.

Betrachtet man alle aufgenommenen Werte, stimmen diese mit den erwarteten Werten überein. Die Temperaturmessungen sind für diesen Fall ausreichend, sollten aber bei weiterer Anwendung noch verbessert werden. Die Spannungsmessungen sind auch für weitere Anwendungen ausreichend. Hierbei sollte nur der Einsatz eines Filters überprüft werden.

4. Fazit

Das Ziel dieser Arbeit war es, ein System zu entwickeln, welches ermöglicht, jede Zelle einer Batterie zu überwachen und deren Ladezustand zu ermitteln. Der Aufbau sollte so kostengünstig wie möglich gestaltet werden. Dennoch sollte das System robust genug sein, um den Einsatz in Kraftfahrzeugen oder Flurförderzeugen zu erlauben.

Die Hardware wird den geforderten Ansprüchen gerecht. Die verwendeten Sensoren sind robust und universell einsetzbar. Die Datenübertragung erfolgt hier über Funk. Der Frequenzbereich, in dem die Daten gesendet werden, ist 433 MHz und entspricht einem frei verfügbaren ISM-Bereich. In diesem Bereich und mit der gewählten Hardware ist es möglich, die Daten mit einer Geschwindigkeit von 20 kbps zu senden. Diese Geschwindigkeit wird derzeit nicht ausgereizt und birgt somit genug Reserven für weitere Anwendungen. Mit dieser Konstellation ist die Übertragung der Daten zuverlässig und kostenlos. Ebenfalls entfallen Kosten für eine Verkabelung, die bei einem Bus-System notwendig wären und das Steuergerät wird galvanisch von den Sensoren getrennt. Somit entfällt eine kostspielige galvanische Trennung im Steuergerät.

Das entwickelte Steuergerät ist ebenfalls sehr robust aufgebaut. Das verwendete Aluminium Spritzgußgehäuse hält starken Belastungen stand und kann somit bedenkenlos im Kraftfahrzeug oder an einem Flurförderzeug installiert werden. Das verwendete Entwicklungsboard enthält alle notwendigen Elemente. Nur der Empfänger musste extern montiert werden. Aus Kostengründen wäre aber zu überlegen, eine eigene Entwicklungsplattform für weitere Anwendungen zu entwickeln. Die Messaufbauten für Audiosignalverarbeitung, die auf dem Entwicklungsboard zu finden sind, werden nicht verwendet und sind daher überflüssig und kostenintensiv.

Es sind aber auch Unstimmigkeiten aufgetaucht, die es bei weiterer Anwendung noch zu beheben gilt. Besonders der Stromverbrauch des Steuergerätes und der Sensoren ist zu senken, wenn es zu einem anderen Einsatz als der Antriebsbatterie kommen sollte. Dies kann geschehen, indem die Software beider Systeme angepasst wird. Zudem ist die LED zur Übertragungskontrolle von den Sensoren zu entfernen.

Weiterhin ist die Software des Sensors nachzuarbeiten. Wichtig hierbei sind die Parameter der Datenübertragung. Dazu gehören die zu Testzwecken veränderten Zeiten der *LOW* und *HIGH* Pegel. Ebenfalls sind die Wartezeiten zwischen den Übertragungen (ALOHA Verfahren) zu überdenken. Sind diese zu hoch schränken sie die Datenübertragung stark ein. Die hier verwendete Zeit von 1,8 bis 3,6 Sekunden ist für den behandelten Versuchsaufbau ausreichend.

Neben den Parametern der Datenübertragung ist in der Software ebenfalls die Temperaturenaufnahme zu verändern. Derzeit wird ein Wert pro Minute aufgenommen und verwendet. Um eine höhere Genauigkeit und einen stabileren Verlauf (Stichwort Quantisierungsrauschen) zu erhalten, können mehrere Werte aufgenommen werden, um daraus

den Mittelwert zu berechnen. Diese Erkenntnisse beruhen auf der aktuellen Anwendung. Wird für weitere Anwendungen jede Sekunde ein Wert gefordert, kann nicht der Mittelwert aus ein paar Millisekunden herangezogen werden. In dem behandelten Aufbau wäre es sinnvoll, mit dem Mittelwert zu arbeiten. Ebenfalls ist zu überlegen, ob die Genauigkeit der Temperaturmessungen ausreicht oder ob externe Sensoren verwendet werden sollten. Für den Fall der Antriebsbatterie ist die Messung der Temperatur allerdings ausreichend. Die Temperaturverläufe geben hier ausreichend Aufschluss.

Ebenso ist die Bedienung durch den Benutzer zu überdenken. Sie entspricht hier einer Mischung aus der Eingabe über die vorhandenen Tasten und der seriellen Schnittstelle. Die Bedienung der Tasten sollte auf ein Minimum beschränkt werden und gegebenenfalls sogar nur die Anzeige der aktuellen Werte erlauben. Zudem ist eine Software zur Konfiguration des Steuergerätes empfehlenswert. Dabei würde die aufwändige Menüführung am Terminal entfallen und alle relevanten Einstellungen könnten direkt am PC eingegeben und visuell dargestellt werden.

Die Ausgabe und Auswertung der Messwerte ist mit der entworfenen MATLAB Software möglich. Die Software stellt in drei Fenstern die verschiedenen Messwerte dar. Hierbei kann jede Kurve aktiviert oder deaktiviert werden. Die Einteilung der Achsen erfolgt dabei automatisch.

Die vier durchgeführten Versuche sind mittels der MATLAB Software anschaulich dargestellt. Die Intention der vorliegenden Arbeit ist es, zu beweisen, dass eine Überwachung der gesamten Batteriespannung nicht ausreicht, um den Zustand der Batterie zu bestimmen. Die Messergebnisse bestätigen diese Annahme. Die vorgenommenen Entladevorgänge beschreiben einen starken Einbruch der Spannung einer Zelle. Dieser ist auf den schlechten Zustand der Zelle zurückzuführen (SOH). Konventionelle Systeme würden in diesem Fall nur eine absinkende Gesamtspannung erkennen. Solange sich diese Spannung noch im erlaubten Rahmen bewegt (Entladeschlussspannung pro Zelle multipliziert mit der Anzahl der Zellen), würde hier kein Fehler erkannt werden. Mit Hilfe des entwickelten Systems hingegen ist ein Absinken der Spannung einer Zelle zu erkennen und eine frühe Einleitung von Maßnahmen dieses zu verhindern können eingeleitet werden.

Um Aussagen über den Ladezustand (SOC) zu treffen, sollten weitere Untersuchungen angestrebt werden. Die Messung der Spannung in Bezug zur Temperatur ist für einige Anwendungen nicht ausreichend. Gegebenfalls ist es notwendig, zusätzlich eine Impedanzmessung an jeder Zelle durchzuführen.

Im Ganzen Betrachtet ist im Laufe dieser Arbeit ein System entwickelt worden, welches den gesetzten Anforderungen gerecht wird. Die Versuche, die durchgeführt wurden, geben einen ersten Aufschluss über weitere Möglichkeiten der Spannungs-Überwachung einer Batterie. Um so ein System in Kraftfahrzeugen oder Flurförderzeugen einsetzen zu können, sind allerdings weitere Versuchsreihen notwendig.

Literaturverzeichnis

- [1] MCA-Malta Communications Authority. European Conference of Postal and Telecommunication Administrations. <http://www.itu.int/>, Abrufdatum: 22.05.2008.
- [2] Dietrich Berndt. *Bleiakkumulatoren*. VDI-Verlag, Duesseldorf, 11. neubearb. u. erw. aufl. edition, 1986. ISBN 3-18-400534-8. XV, 346 S. : ZAHLR. ILL., GRAPH. DARST. pp.
- [3] ITU-R Web Coordinator. International Telecommunication Union. <http://www.itu.int/>, Abrufdatum: 22.05.2008.
- [4] ITU-R Web Coordinator. International Telecommunication Union - Radiocommunication Sector: FAQ. <http://www.itu.int/ITU-R/terrestrial/faq/index.html#i004>, Abrufdatum: 22.05.2008, letztes Update am 08.03.2007.
- [5] Bill Darden. Batteryfaq. <http://www.batteryfaq.org/>, Abrufdatum: 10.05.2008, letztes Update am 28.10.2007.
- [6] Karl-Joachim Euler. *Batterien und Brennstoffzellen : Aufbau, Verwendung, Chemie*. Springer-Verl., Berlin, 1982. ISBN 3-540-11378-9. XII, 206 S.: Ill., graph.Darst. pp.
- [7] Michael Frey. Anorganische Chemie für Schüler: Elektrochemie. <http://de.wikibooks.org/wiki/>, Abrufdatum: 15.05.2008, letztes Update am 20.01.2008.
- [8] Janzen Gerd. *Kurze Antennen*. Frankh., Stuttgart, 1986. ISBN 3-440-05469-1.
- [9] Johnson Controls Autobatterie GmbH. Autobatterien VARTA. <http://www.Varta-automotives.de>, Abrufdatum: 07.05.2008.
- [10] Heidi Löbert Guenter Gauglitz. Akku, Kurs Nr.51041. <http://www.chemgapedia.de/.../akku.vlu.html>, Abrufdatum: 15.05.2008.
- [11] Peter H.L. Notten Henk Jan Bergveld, Wanda S. Kruijt. *Battery Management Systems - Design by Modelling*. Kluwer Academic Publishers, Netherlands, 2002. ISBN 1-4020-0832-5.
- [12] Hella KGaA Hueck&Co. Powermanagement - Der intelligente Batteriesensor (IBS). Abrufdatum 02.07.2008.
- [13] Infineon Technologies AG. *Manual TDA5100A - Wireless Components: ASK Transmitter 434 MHz*, 15.02.2001 edition, Abrufdatum: 12.04.2008.

- [14] Finkenzeller Klaus. *RFID Handbuch*. Carl Hanser Verl., München, Wien, 4. Aufl. edition, 2006. ISBN 3-446-40398-1.
- [15] Matthias M. Tabellensammlung Chemie: Elektrochemische Spannungsreihe. <http://de.wikibooks.org/wiki/>, Abrufdatum: 15.05.2008, letztes Update am 19.03.2008.
- [16] Dr. Alfons Graf Infineon Technologies AG Munich. Semiconductors in the 42V PowerNet. September 17-18, 2001.
- [17] Pia O. Der Bleiakкумулятор. <http://referateguru.heim.at/Blei.htm>, Abrufdatum: 07.05.2008.
- [18] Olimex Ltd. *Schematic MSP430-169STK*, Abrufdatum: 19.06.2008.
- [19] Thomas Rücker. Woran sterben Starterbatterien. <http://www.microcharge.de/Bleiakku-Interna.html>, Abrufdatum: 09.05.2008.
- [20] RF Monolithics Incorporated. *Manual RX5000 - 433,92 MHz Hybrid Receiver*, Abrufdatum: 12.04.2008.
- [21] K.-R. Riemschneider. Persönliche Unterlagen über Vorarbeiten Batteriesensorik. 2008.
- [22] Samsung Electronic CO., Ltd. *K9F6408U0A-TCB0, K9F6408U0A-TIB0 FLASH MEMORY Manual*, Abrufdatum: 30.06.2008.
- [23] Nigel Scott. Batteriesensor verlängert Lebensdauer. <http://www.elektronikpraxis.vogel.de/.../articles/68941/>, 20.03.2007, Abrufdatum: 02.07.2008.
- [24] STMicroelectronics. *Manual L6920 - 1V High efficiency synchronous step up converter*, Abrufdatum: 30.05.2008.
- [25] Texas Instruments. *MSP430x1xx Family - User's Guide*, 2006 edition, Abrufdatum: 10.01.2008.
- [26] Paul Trueb, Lucien F. ; Rüetschi. *Batterien und Akkumulatoren : mobile Energiequellen für heute und morgen*. Springer, Berlin [u.a.], 1998. ISBN 3-540-62997-1. 225 S. : Ill., graph. Darst. pp.

Bildverzeichnis

1.1. Prinzipaufbau des Planté-Akkumulators [2]	6
1.2. Verbesserung der Energiedichte [2]	7
1.3. Schematische Darstellung einer galvanischen Zelle	8
1.4. Entladevorgang einer chemischen Zelle	8
1.5. Ladevorgang einer chemischen Zelle	9
1.6. Kapazitätsverlust eines Akkumulators	11
1.7. Querschnitt durch einen Bleiakкумуляtor [9]	12
1.8. Aufbau einer Antriebsbatterie [26]	14
1.9. Gitter- und Röhrenplatte einer Antriebsbatterie [5]	14
1.10. Durch Sulfatierung und Korrosion gesprengte Separatoren [19]	15
1.11. Durch Korrosion zerstörte Gitterplatte [19]	16
1.12. ASK-Modulation [14]	19
1.13. Darstellung einer OOK-Modulation [14]	20
1.14. Darstellung einer BFSK-Modulation [14]	20
1.15. Darstellung einer BPSK-Modulation [14]	21
1.16. Darstellung einer uncodierten Bitfolge und der in Manchesterkodierung codierten Bitfolge	22
1.17. Aufbau des verwendeten Übertragungsprotokolls	23
1.18. Verschiedene Auszüge aus dem Übertragungsprotokoll	24
2.1. Blockschaltbild des Sensor-Systems	27
2.2. Mechanischer Aufbau des Sensor-Systems	28
2.3. Beschaltung des L6920 [21]	28
2.4. Beschaltung des TDA5100A [21]	29
2.5. Darstellung eines Schleifendipol mit der Länge $\lambda/2$ [14]	30
2.6. Leistungsmessung: blau = Versorgungsspannung, schwarz = Stromaufnahme, pink = Leistungsaufnahme; 1 = Ruhezustand, 2 = Übertragungsfall, 3 = Kontroll-LED eingeschaltet	32
2.7. Ablaufdiagramm der Sensorsoftware	33
2.8. Struktogramm des Timerinterruptes	35
2.9. Blockschaltbild des Steuergerätes	36
2.10. Grundschtaltung des RX5000 für OOK [20]	38
2.11. Aufbau des Steuergerätes	39
2.12. Ablaufdiagramm des Timerinterrupthandlers	41
2.13. Auszüge aus einem Datenpaket mit Markierung der unterschiedlichen Übertragungsfälle	42
2.14. Ablaufdiagramm der Hauptschleife	44

2.15. Ablaufdiagramm des Schnittstelleninterrupts	45
2.16. Ablaufdiagramm des Watchdog Interrupthandlers	47
2.17. Bedienung des Steuergeräts über die Steuertasten	48
3.1. Kalibrierungsmessung, Darstellung der realen (grün), der gemessenen (rot) und der kalibrierten Temperaturkurve (blau)	52
3.2. Startbildschirm der MATLAB Software	53
3.3. Darstellung der drei Messwerte jeweils in einem eigenen Fenster	54
3.4. Schematische Anordnung der einzelnen Zellen der Antriebsbatterie	54
3.5. Anordnung der einzelnen Zellen der Antriebsbatterie	55
3.6. Temperaturverlauf des ersten Entladevorgangs	57
3.7. Zellspannungsverlauf des ersten Entladevorgangs	58
3.8. Versorgungsspannungsverlauf des ersten Entladevorgangs	59
3.9. Temperaturverlauf des Ladevorgangs	62
3.10. Zellspannungsverlauf des Ladevorgangs	63
3.11. Versorgungsspannungsverlauf des Ladevorgangs	64
3.12. Temperaturverlauf des zweiten Entladevorgangs	67
3.13. Zellspannungsverlauf des zweiten Entladevorgangs	68
3.14. Versorgungsspannungsverlauf des zweiten Entladevorgangs	69
3.15. Temperaturverlauf der Ruhemessung	72
3.16. Zellspannungsverlauf der Ruhemessung	73
3.17. Versorgungsspannungsverlauf der Ruhemessung	74
A.1. Ablaufdiagramm	86
A.2. Eclipse Benutzeroberfläche	87
A.3. Matlab Benutzeroberfläche	88
A.4. EAGLE Benutzeroberfläche	89
C.1. Zeitmessung der Run-In Sequenz bei verschiedenen Temperaturen, Aus- wertung in Kapitel 2.2.4	181
C.2. Darstellung des Übertragungsprotokolls (MATLAB Ausdruck)	182
D.1. Schaltplan des Receiverboards	183
D.2. Erster Schaltplanteil des Olimex Entwicklungsboards [18]	184
D.3. Zweiter Schaltplanteil des Olimex Entwicklungsboards [18]	185
D.4. Schaltplan des Sensor-Systems [21]	186
D.5. Platinenlayout der Empfängerplatine (top layer)	187
D.6. Platinenlayout der Empfängerplatine (bottom layer)	187

Tabellenverzeichnis

1.1. Ausgewiesene Frequenzbereiche durch die ITU-R [4]	17
1.2. Anwendungen aus der CEPT/ERC REC 70-03 [14]	18
1.3. Manchestercodierung	22
2.1. Skalierungsfaktoren der Messungen	35
2.2. Zeitmessung des Run-In-Blocks	40
2.3. Berechnung der Referenzzeiten für den Datenempfang	42
2.4. Maximale Arbeitszeit bei verschiedener Anzahl von Sensoren	46
2.5. Auflistung der Steuerbefehle und deren Aktionen	50
3.1. Anordnung der Sensoren auf den Batteriezellen für die erste Messung . . .	56
3.2. Randbedingungen der ersten Messung	56
3.3. Temperaturabweichung des ersten Versuchs	60
3.4. Leerlaufspannung als Referenzwert und durch Aufaddieren der Einzelspannungen des ersten Versuchs	60
3.5. Anordnung der Sensoren auf den Batteriezellen für die zweite Messung . .	61
3.6. Randbedingungen der zweiten Messung	61
3.7. Temperaturabweichung des zweiten Versuchs	65
3.8. Leerlaufspannung als Referenzwert und durch Aufaddieren der Einzelspannungen des zweiten Versuchs	65
3.9. Anordnung der Sensoren auf den Batteriezellen für die dritte Messung . . .	66
3.10. Randbedingungen der dritten Messung	66
3.11. Temperaturabweichung des dritten Versuchs	70
3.12. Leerlaufspannung als Referenzwert und durch Aufaddieren der Einzelspannungen des dritten Versuchs	70
3.13. Anordnung der Sensoren auf den Batteriezellen für die vierte Messung . . .	71
3.14. Randbedingungen der vierten Messung	71
3.15. Temperaturabweichung des vierten Versuchs	75
3.16. Leerlaufspannung als Referenzwert und durch Aufaddieren der Einzelspannungen des vierten Versuchs	75
3.17. Minimale und maximale Abweichung vom Referenzwert aller Messungen .	76
3.18. Leerlaufspannung als Referenzwert und durch Aufaddieren der Einzelspannungen aller Versuche	77

A. Verwendete Software

A.1. Entwicklungsumgebung (SDK)

Die Auswahl der SDK beschränkte sich auf zwei verschiedene Systeme. Das erste System ist die Studentenversion des IAR Compilers von IAR Systems, das zweite Eclipse unter Verwendung des MSPGCC Compilers.

Beide SDK haben sowohl Vor- als auch Nachteile. Der ausschlaggebende Punkt bei der Auswahl war, dass der Compiler von IAR Systems in der Studentenversion auf 2kB Programmgröße beschränkt ist. Da das Projekt diese Programmgröße in der Planungsphase schon bei Weitem überschritt, wurde Eclipse und der MSPGCC Compiler gewählt.

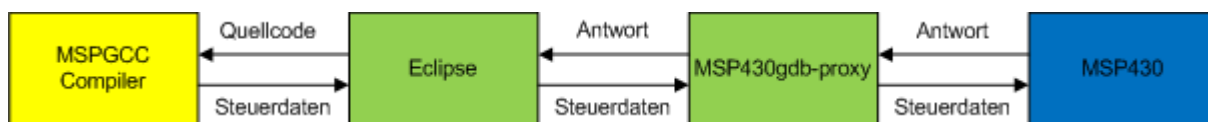


Bild A.1.: Ablaufdiagramm

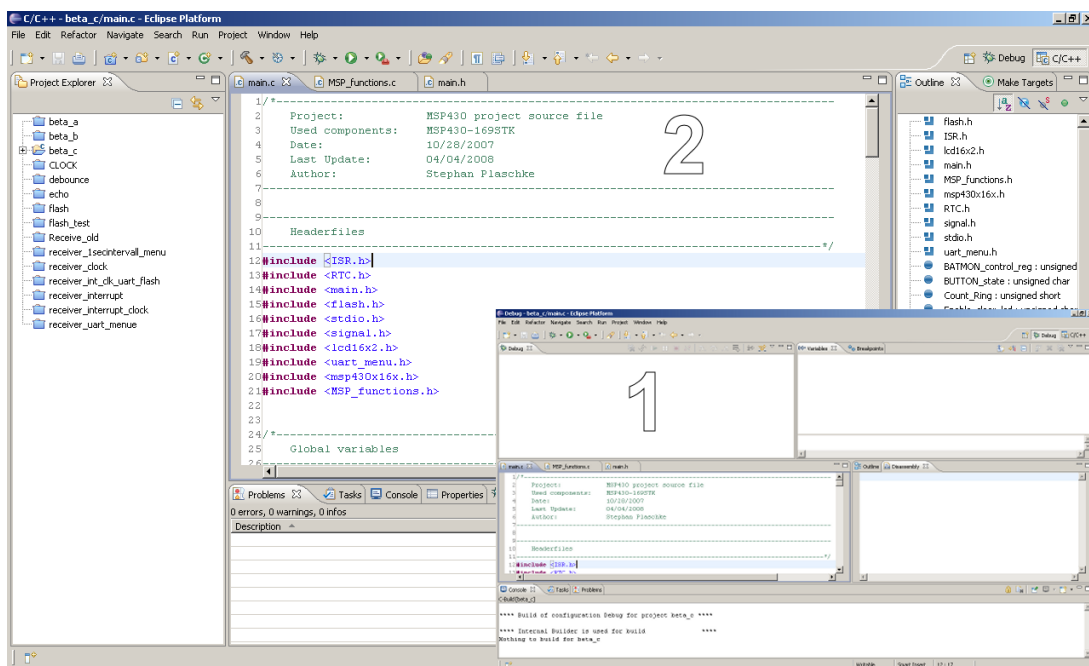
Abbildung A.1 beschreibt den Ablauf der SDK. Eclipse stellt hier die zentrale Einheit dar, über welche der Quellcode geschrieben, kompiliert und an den Mikrocontroller gesendet wird. Der MSP430Gdb-proxy stellt die Verbindung zwischen dem Programmieradapter und Eclipse her. Der Proxy hat die zentrale Aufgabe, die Steuerdaten des Compilers, die das gdb-remote controll protocol, in Steuerdaten für den MSP430 umzuwandeln.

Eine ausführliche Anleitung über die Installation und Konfiguration von Eclipse, im Zusammenhang mit dem MSPGCC Compiler, wurde während der Arbeiten erstellt. Diese liegt bei Prof. Dr.-Ing. Karl-Ragnar Riemschneider, HAW Hamburg, vor.

A.1.1. Eclipse

Eclipse ist eine Open-Source SDK, die für nahezu jede Entwicklung kundenspezifischer Programme und Anwendungen eingesetzt werden kann. Entwickelt wurde Eclipse in Java um Java zu programmieren. Durch Zusatzmodule kann in nahezu jeder Programmiersprache entwickelt werden. Zu beziehen ist Eclipse unter der „Eclipse Public License - v 1.0“ von der Herstellerhomepage (<http://www.eclipse.org>). Die für diese Arbeit verwendete Version ist 3.3.1.1 Europa vom 23. Oktober 2007.

In Abbildung A.2 sind die beiden Benutzeroberflächen von Eclipse dargestellt. In der Programmieroberfläche (markiert mit 2) werden die Projekte erstellt und bearbeitet. Nachdem der Code geschrieben ist, kann in die Debuggeroberfläche (markiert mit 1)



1 Debuggeroberfläche, 2 Programmieroberfläche

Bild A.2.: Eclipse Benutzeroberfläche

gewechselt werden. Dort kann der Code an den Mikroprozessor übertragen werden und Schritt für Schritt debugged werden.

A.1.2. MSPGCC

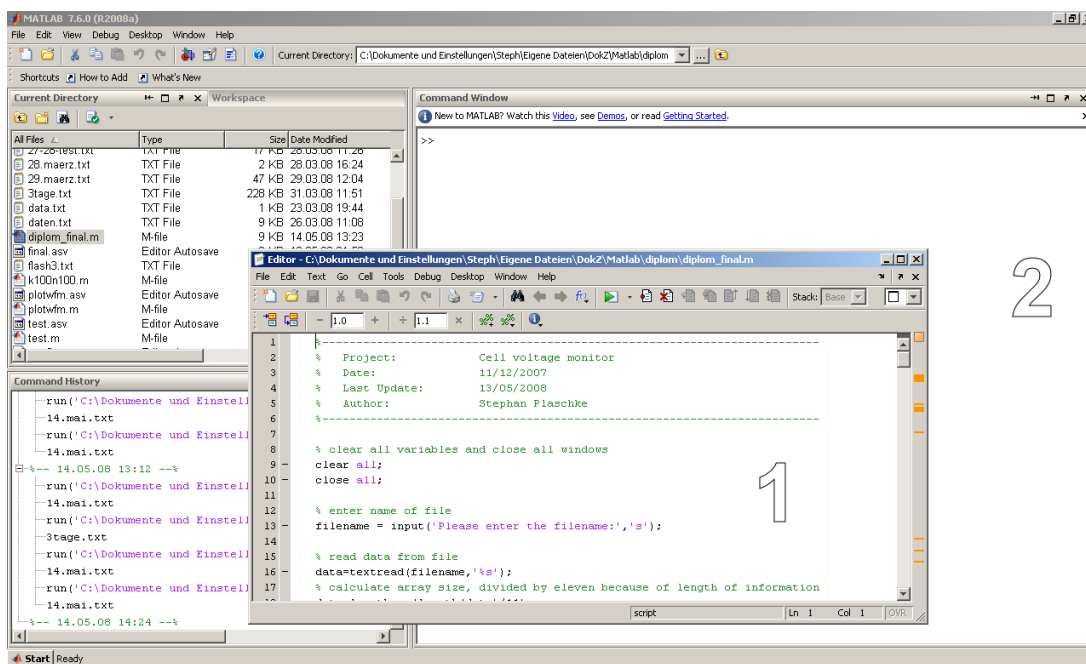
Der MSPGCC Compiler ist ein Teil der „GNU Compiler Collection (GCC)“. Zu beziehen ist dieser unter den Bedingungen der „General Public License (GPU)“ von der Herstellerhomepage (<http://mspgcc.sourceforge.net>). Die derzeit aktuelle Version MSPGCC 20070216 vom 17. Februar 2007 enthält einige Fehler, daher wird die Version 20060502 vom 01. Mai 2006 verwendet.

A.2. MATLAB

MATLAB ist eine kostenpflichtige Software der Firma The MathWorks. Eingesetzt wird es, um numerische Berechnungen durchzuführen und die Ergebnisse grafisch darzustellen. Der Name MATLAB wurde von seinem primären Einsatzgebiet, der Matrizenberechnung, abgeleitet (*MAT*rix *LAB*oratory). Die in der vorliegenden Arbeit verwendete Version wurde von der HAW Hamburg für Studierende zur Verfügung gestellt. Die Versionsnummer lautet 7.6.0.324 (R2008b) vom 10. Februar 2008.

Die in Abbildung A.3 dargestellte Oberfläche zeigt den Editor im Vordergrund (markiert mit 1) und die reguläre Benutzeroberfläche im Hintergrund (markiert mit 2). Der

Editor erlaubt es, MATLAB Skripte zu schreiben, sogenannte M-Files. Diese werden in der regulären Benutzeroberfläche ausgeführt und abgearbeitet.



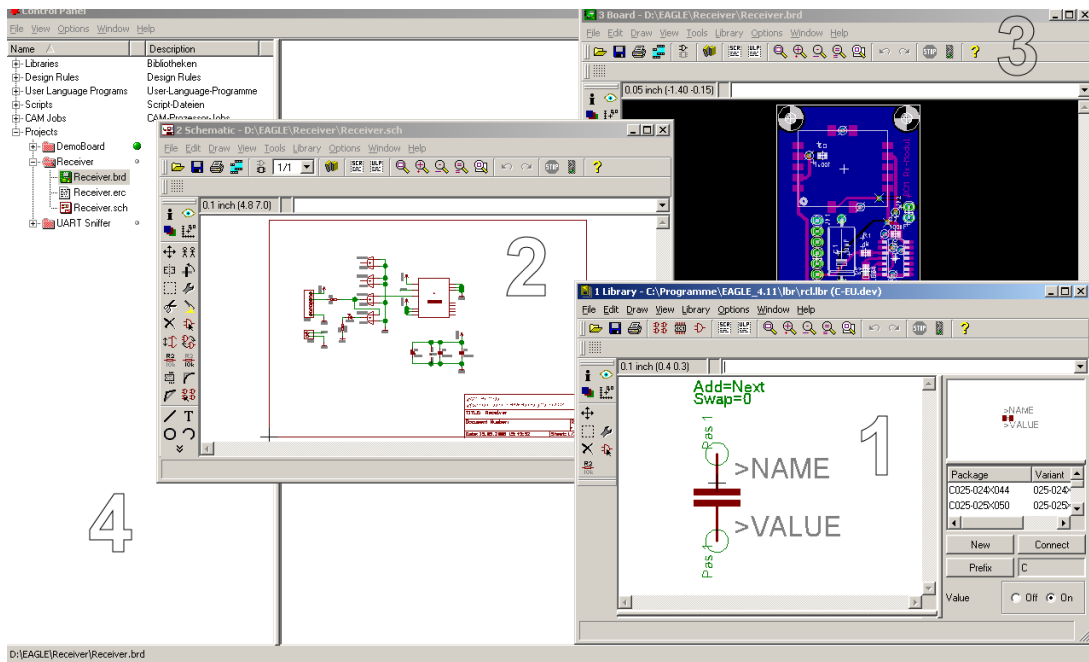
1 Script-Editor, 2 allgemeine Benutzeroberfläche

Bild A.3.: Matlab Benutzeroberfläche

A.3. Eagle Layout Editor

EAGLE ist eine kostenpflichtige Software der Firma Cadsoft zur Erstellung von Leiterplatten. Es besteht aus mehreren Teilprogrammen, mit denen in mehreren Schritten eine Leiterplatte entworfen wird. Der Name „EAGLE“ setzt sich aus den Anfangsbuchstaben von: **E**infach **A**nzuwendender **G**rafischer **L**ayout-**E**ditor zusammen. Die verwendete Version ist 4.11 Professional Edition.

In Abbildung A.4 sind alle Teilprogramme von EAGLE dargestellt. Im Vordergrund ist der Bauteileditor (markiert mit 1) dargestellt. Hier können spezielle Bauteile, die nicht in den mitgelieferten Bibliotheken enthalten sind, erstellt und bearbeitet werden. Dahinter ist der Schaltplaneditor (markiert mit 2) dargestellt. Hier wird der Schaltplan mit den Bauteilen aus der Bibliothek entworfen. Um daraus die Platine zu erstellen, wird in den Platineneditor (markiert mit 3) gewechselt. Hier sind die Bauteile, die im Schaltplaneditor ausgewählt wurden, abgelegt und können auf der Platine angeordnet werden. Auch die erforderlichen Leitungen sind durch Linien gekennzeichnet und können entweder per Hand einzeln oder automatisch durch eine Softwareroutine, den Autorouter, verlegt werden. Um die einzelnen Projekte zu koordinieren, kann in die allgemeine Benutzeroberfläche (markiert mit 4) gewechselt werden.



1 Bauteileditor, 2 Schaltplaneditor, 3 Platineditor, 4 allgemeine Benutzeroberfläche

Bild A.4.: EAGLE Benutzeroberfläche

B. Quellcode

B.1. C Quellcode

B.1.1. Sensor-System

Listing B.1: Quellcode des Sensor-Systems (batsens1.c)

```
1 #include <io.h>
2 #include <signal.h>
3
4 // -----
5
6 unsigned char txCount = 0;
7 unsigned char txNextOut = 0;
8 unsigned char txByte = 0;
9 unsigned char txBit = 0x80;
10
11 unsigned char txData[13] =
12 {
13     0x00, 0x01,           // RunIn
14     0x00, 0x00, 0x00, 0x00, // ID
15     0x00, 0x00,           // Temperature
16     0x00, 0x00,           // Battery
17     0x00, 0x00,           // Supply
18     0x00                  // Parity XOR[2 .. 11]
19 };
20
21 interrupt (TIMERA0_VECTOR) timerRoutine()
22 {
23     if (txCount)
24     {
25         if (txNextOut)
26             P1OUT |= 0x01; // P1.0 set
27         else
28             P1OUT &= ~0x01; // P1.0 clear
29
30         if (txCount < 6*2)
31             txNextOut = 0; // 6 Takte uncoded '0'
32         else if (txCount < (6+4)*2)
33             txNextOut = 1; // 4 Takte uncoded '1'
34         else if (txCount < ((6+4)+13*8)*2)
35         {
36             if (txCount & 0x01)
37                 // Manchester Code bilden
38                 // zweite Hälfte des Taktes => Signal negieren
39                 txNextOut = !txNextOut;
40             else
41             {
42                 txNextOut = txData[txByte] & txBit;
43                 if (txBit == 0x01)
44                 {
45                     txBit = 0x80;
46                     txByte++;
47                 }
48             }
49         }
50     }
51 }
```

```
48         else
49             txBit = txBit >> 1;
50     }
51     }
52     else
53         txNextOut = 0; // am Ende '0'
54
55     if (txCount <= ((6+4)+13*8)*2)
56         txCount++;
57     else
58     {
59         txCount = 0;
60
61         P1OUT &= ~0x03; // P1.0 + P1.1 clear
62     }
63 }
64 }
65
66 unsigned short parity()
67 {
68     unsigned char p = 0;
69     unsigned char n;
70     for (n = 2; n < 12; n++)
71         p ^= txData[n];
72
73     return p;
74 }
75
76 void transmit(unsigned short temperature,
77              unsigned short battery,
78              unsigned short supply)
79 {
80     if (txCount == 0)
81     {
82         P1OUT &= ~0x01; // P1.0 clear
83         P1OUT |= 0x02; // P1.1 set
84
85         txNextOut = 0;
86         txCount = 1;
87         txByte = 0;
88         txBit = 0x80;
89
90         txData[6] = (unsigned char)(temperature >> 8);
91         txData[7] = (unsigned char)(temperature & 0x00FF);
92
93         txData[8] = (unsigned char)(battery >> 8);
94         txData[9] = (unsigned char)(battery & 0x00FF);
95
96         txData[10] = (unsigned char)(supply >> 8);
97         txData[11] = (unsigned char)(supply & 0x00FF);
98
99         txData[12] = parity();
100     }
101 }
102
103 void initTransmit(unsigned long id)
104 {
105     // P1.0 Data Transmit
106     // P1.1 Select Transmit
107     P1OUT &= ~0x03; // P1.0 + P1.1 clear
108     P1SEL &= ~0x03; // P1.0 + P1.1 => IO Port
109     P1DIR |= 0x03; // P1.0 + P1.1 => outputs
110
111     txCount = 0;
112     txNextOut = 0;
113
114     txData[2] = (unsigned char)(id >> 24);
```

```
115     txData[3] = (unsigned char)(id >> 16);
116     txData[4] = (unsigned char)(id >> 8);
117     txData[5] = (unsigned char)(id & 0x000000FF);
118
119     txData[12] = parity();
120 }
121
122 // -----
123 void wait(void); // prototype for wait()
124
125 void wait(void) // delay function - mit 2000 step => 18..20 ms
126 {
127     volatile int i; // declare i as volatile int
128     for (i = 0; i < 2000; i++); // repeat 2000 times
129 }
130
131 // -----
132 struct InfoBlock
133 {
134     unsigned long magicID;
135     unsigned long sensorID;
136     // Daten für Kalibrierung
137     unsigned short vFactor;
138     unsigned short tOffset;
139     unsigned short tFactor;
140 };
141
142 // daten im flash des Speichers ablegen!!!
143 const struct InfoBlock *const infoBlock = (const struct InfoBlock *)0x1000;
144
145 const unsigned long magicID = 0x64490F01;
146 const unsigned char version = 0x01;
147
148 // -----
149 // Schieberegister für Zufallszahl
150 unsigned long sr(void);
151
152 // Standardmäßige Initialisierung des Schieberegisters
153 static unsigned long sr_r = 0x08000000;
154
155 unsigned long sr(void)
156 {
157     sr_r <<= 1;
158     sr_r |= (((sr_r >> 28) ^ (sr_r >> 19)) & 0x00000001);
159     sr_r &= 0xFFFFFFFF;
160
161     return sr_r;
162 }
163
164 void initSR(unsigned long initValue)
165 {
166     sr_r = initValue | 0x08000000;
167 }
168
169 // -----
170 unsigned short vArray[64];
171 unsigned char vIndex = 0;
172 unsigned char vCount = 0;
173
174 unsigned short tArray[16];
175 unsigned char tIndex = 0;
176 unsigned char tCount = 0;
177
178 // supply voltage factor
179 unsigned short vFactor = 5000;
180 // temperature offset
181 unsigned short tOffset = 673;
```

```
182 // temperature factor
183 unsigned short tFactor = 423;
184
185 // -----
186 int main(void)
187 {
188     if (infoBlock->magicID != magicID)
189         initTransmit(0x00000000);
190     else
191     {
192         unsigned long sensorID = infoBlock->sensorID;
193         sensorID &= 0x00FFFFFF;
194         unsigned long versionID = version;
195         versionID <<= 24;
196         sensorID |= versionID;
197
198         if (infoBlock->vFactor != 0xFFFF)
199         {
200             vFactor = infoBlock->vFactor;
201             sensorID |= 0x00400000;
202         }
203         if (infoBlock->tOffset != 0xFFFF)
204         {
205             tOffset = infoBlock->tOffset;
206             sensorID |= 0x00200000;
207         }
208         if (infoBlock->tFactor != 0xFFFF)
209         {
210             tFactor = infoBlock->tFactor;
211             sensorID |= 0x00100000;
212         }
213
214         initSR(sensorID<<1);
215         initTransmit(sensorID);
216     }
217     // avert Watchdog reset
218     WDTCTL = WDTPW + WDTHOLD;
219     // set DCO to 2MHz; RSEL=6 DOC=3 MOD=0 DCOR=0
220     DC0CTL = DC01 | DC00; // DOC=3 MOD=0
221     BCSCCTL1 = RSEL2 | RSEL1; // RSEL=6
222     BCSCCTL2 = 0; // DCOR=0 (no external R)
223     // set up Timer A
224     // want SMCLK
225     // count up (sawtooth), period = COUNTS
226     TACTL = MC_1 | ID_0 | TASSEL_2;
227     // compare mode, interrupt enabled
228     TACCTL0 = CCIE;
229     // other CCTLx regs not used
230     // cycle length
231     TACCRO = 200;
232     // other CCRx regs not used
233     // other CCTLx regs not used
234     // enable interrupts
235     eint();
236     // P2.0 Output für Steuerung StepUpConverter
237     P2OUT |= 0x01; // P2.0 set
238     P2SEL &= ~0x01; // P2.0 IO Port
239     P2DIR |= 0x01; // P2.0 output
240     // P3.6 Output für LED
241     P3OUT |= 0x40; // P3.6 set - LED off
242     P3SEL &= ~0x40; // P3.6 IO Port
243     P3DIR |= 0x40; // P3.6 output
244
245     unsigned short temperature;
246     unsigned short battery;
247     unsigned short supply;
248
```

```
249     unsigned short batteryMin = 5000;
250     unsigned short batteryMax = 0000;
251
252     unsigned short batteryMinMin = 5000;
253     unsigned short batteryMaxMax = 0000;
254
255     unsigned short supMinMin = 5000;
256     unsigned short supMaxMax = 0000;
257
258     unsigned short temMinMin = 5000;
259     unsigned short temMaxMax = 0000;
260
261     unsigned short batMinMin = 5000;
262     unsigned short batMaxMax = 0000;
263
264     unsigned short count = 0;
265
266     unsigned short timerP1 = 0;
267     unsigned short timerP2 = 0;
268
269     unsigned waitCount1 = 0;
270     unsigned waitCount2 = 0;
271
272     int x = 0;
273
274     for (;;)
275     {
276         int n;
277
278         unsigned int long temp;
279         unsigned int long intDegC = 0;
280         unsigned int long intSup = 0;
281         unsigned int long intBat = 0;
282
283         // disable interrupts
284         dint();
285         // P2.0 clear => StepUpConverter disabled
286         P2OUT &= ~0x01;
287
288         for (n = 0; n < 5; n++) x++;
289
290         ADC10CTL0 &= ~ENC; // reset ENC
291         ADC10CTL1 = INCH_10 + ADC10DIV_2; // Temp Sensor
292         ADC10CTL0 = SREF_1 + ADC10SHT_1 + REFON + ADC100N;
293
294         for (n = 0; n < 5; n++) x++;
295
296         ADC10CTL0 |= ENC + ADC10SC; // Sampling and conversion start
297         while ((ADC10CTL1 & ADC10BUSY)); // ADC10BUSY?
298
299         temp = ADC10MEM;
300
301         intDegC = ((temp - 673) * 423) / 128;
302
303         if (temMinMin > temp)
304             temMinMin = temp;
305         if (temMaxMax < temp)
306             temMaxMax = temp;
307
308         ADC10CTL0 &= ~ENC; // reset ENC
309         ADC10CTL1 = INCH_11 + ADC10DIV_2; // Ch 11
310         ADC10CTL0 = SREF_1 + ADC10SHT_1 + REFON + REF2_5V + ADC100N;
311
312         for (n = 0; n < 3; n++) x++;
313
314         ADC10CTL0 |= ENC + ADC10SC; // Sampling and conversion start
315
```

```

316
317         while ((ADC10CTL1 & ADC10BUSY)) ; // ADC10BUSY?
318
319         // V = 2 * A11/1023*2500mV = x*5000/1023
320         temp = ADC10MEM;
321         intSup = (temp * 5000) / 1023;
322         intSup = intSup * 4096 / 1000;
323
324         if (supMinMin > temp)
325             supMinMin = temp;
326         if (supMaxMax < temp)
327             supMaxMax = temp;
328
329         ADC10CTL0 &= ~ENC; // reset ENC
330         ADC10CTL1 = INCH_2 + ADC10DIV_2; // Ch 2
331         ADC10CTL0 = SREF_1 + ADC10SHT_1 + REFON + REF2_5V + ADC100N;
332
333         for (n = 0; n < 3; n++) x++;
334         ADC10CTL0 |= ENC + ADC10SC; // Sampling and conversion start
335
336         while ((ADC10CTL1 & ADC10BUSY)) ; // ADC10BUSY?
337
338         // V = 3/2 * A0/1023*2500mV = x*3750/1023
339         temp = ADC10MEM;
340         intBat = (temp * 3750 + 125) / 250;
341
342         if (batMinMin > temp)
343             batMinMin = temp;
344         if (batMaxMax < temp)
345             batMaxMax = temp;
346
347         unsigned short mess[6];
348         unsigned short indexMin = 0;
349         unsigned short indexMax = 0;
350         unsigned int long messAll = 0;
351
352
353         for (n = 0; n < 6; n++)
354         {
355             ADC10CTL0 |= ENC + ADC10SC; // Sampling and conversion start
356             timerP1 = TAR;
357             while ((ADC10CTL1 & ADC10BUSY)) ; // ADC10BUSY?
358             timerP2 = TAR;
359             mess[n] = ADC10MEM;
360         }
361
362         if (mess[0] < mess[1])
363             indexMax = 1;
364         else
365             indexMin = 1;
366         for (n = 2; n < 6; n++)
367         {
368             if (mess[n] < mess[indexMin])
369                 indexMin = n;
370             if (mess[n] > mess[indexMax])
371                 indexMax = n;
372         }
373         for (n = 0; n < 6; n++)
374         {
375             if (n != indexMin && n != indexMax)
376                 messAll += mess[n];
377         }
378
379         if (batteryMinMin > mess[indexMin])
380             batteryMinMin = mess[indexMin];
381         if (batteryMaxMax < mess[indexMax])
382             batteryMaxMax = mess[indexMax];

```

```
383
384     ADC10CTL0 &= ~ENC;                // reset ENC
385     ADC10CTL1 = INCH_10 + ADC10DIV_2; // Temp Sensor
386     ADC10CTL0 = SREF_1 + ADC10SHT_1 + REFON + ADC100N;
387     ADC10CTL0 |= ENC + ADC10SC;      // Sampling and conversion start
388
389     // P2.0 set => StepUpConverter enabled
390     P2OUT |= 0x01;
391     // enable interrupts
392     eint();
393
394     temperature = intDegC;
395     battery = intBat;
396     supply = intSup;
397
398     // Senden der Meßdaten
399     // -----
400     transmit(temperature, battery, supply);
401
402     intBat = battery;
403     intBat *= 1000;
404     intBat /= 4096;
405     if (batteryMin > intBat)
406         batteryMin = intBat;
407     if (batteryMax < intBat)
408         batteryMax = intBat;
409
410     // Phase für Einschalten der LED ca. 50 ms
411     // -----
412     // P3.6 Output für LED
413     P3OUT &= ~0x40; // P3.6 clear - LED on
414
415     for (n = 0; n < 3; n++)
416         wait(); // call delay function
417
418     // P3.6 Output für LED
419     P3OUT |= 0x40; // P3.6 set - LED off
420
421     // Ruhephase - Länge mit Zufallsanteil
422     // -----
423     unsigned max = sr() % 80 + 100;
424     for (n = 0; n < max; n++)
425         wait(); // call delay function
426
427     // Zähler für Breakpoints
428     // -----
429     count++;
430
431     waitCount1++;
432
433     if (count % 10 == 0)
434         x++;
435
436     if (count % 100 == 0)
437         x++;
438
439     if (count % 1000 == 0)
440         x++;
441 }
442 }
```

B.1.2. Steuergerät

Listing B.2: Quellcode zur Ansteuerung des FLASH Speichers (Flash.c)

```

1  /*-----
2      Project:                MSP430-169STK onboard nand-flash functions
3      Used components:       MSP430-169STK
4      Date:                  12/01/2007
5      Last update:          09/05/2008
6      Author:                Tobias Krannich
7      Modified:              Stephan Plaschke
8  -----
9
10 -----
11      Headerfiles
12 -----*/
13 #include <main.h>
14 #include <Flash.h>
15 #include <stdio.h>
16 #include <lcd16x2.h>
17 #include <msp430x16x.h>
18 #include <MSP_functions.h>
19
20
21
22 static unsigned char *FLASH_clear_frame[] = {
23     " ",
24     " Clear flash "
25 };
26
27 //-----NAND FLASH-----
28 //-----
29 void init_Flash (void)
30 //-----
31 {
32     P2OUT = 0x07;                //NAND FLASH ini
33     P2DIR = 0x1F;
34 }
35
36 //-----
37 // pull flash pins to inactive condition
38 void Inactive_Flash(void)
39 //-----
40 {
41     IO_DIR=INPUT;                //IO is inputs
42     _CE_OFF;                      //=1
43     _RE_OFF;                      //=1
44     _WE_OFF;                      //=1
45     ALE_OFF;                      //=0
46     CLE_OFF;                      //=0
47 }
48
49 //-----
50 void Write_Data(unsigned char a)
51 //-----
52 {
53     IO_DIR=OUTPUT;                //IO is outputs
54     _WE_ON;
55     OUT_PORT=a;
56     _WE_OFF;                      //latch data
57 }
58
59 //-----
60 unsigned char Read_Data(void)
61 //-----
62 {

```

```

63     unsigned char f;
64     IO_DIR=INPUT;           //IO is inputs
65     _RE_ON;
66     f=IN_PORT;
67     _RE_OFF;               //read data
68     return (f);
69 }
70
71 //-----
72 unsigned char Programm_Bytes(unsigned char COL_ADD,
73                             unsigned char ROW_ADDL,
74                             unsigned char ROW_ADDH,
75                             unsigned char NUMBER)
76 {
77 //-----
78     unsigned char k, l;
79     Inactive_Flash();
80     CLE_ON;
81     _CE_ON;
82     Write_Data(WRITE_PAGE);
83     CLE_OFF;
84     ALE_ON;
85     Write_Data(COL_ADD);
86     Write_Data(ROW_ADDL);
87     Write_Data(ROW_ADDH);
88     ALE_OFF;
89     for (k=0; k != NUMBER; k++)
90     {
91         l=WRITE_BUF[k];
92         Write_Data(l);
93     }
94     CLE_ON;
95     Write_Data(WRITE_AKN);
96     while ((R_B) == 0);
97     Write_Data(READ_STATUS);
98     CLE_OFF;
99     l = Read_Data();
100    Inactive_Flash();
101    return(l);
102 }
103
104 //-----
105 void Read_Bytes (unsigned char COL_ADD,
106                unsigned char ROW_ADDL,
107                unsigned char ROW_ADDH,
108                unsigned char NUMBER)
109 {
110 //-----
111     unsigned char n, r;
112     Inactive_Flash();
113     CLE_ON;
114     _CE_ON;
115     Write_Data(READ_O);
116     CLE_OFF;
117     ALE_ON;
118     Write_Data(COL_ADD);
119     Write_Data(ROW_ADDL);
120     Write_Data(ROW_ADDH);
121     ALE_OFF;
122     while ((R_B) == 0);
123     for (n=0; n != NUMBER; n++)
124     {
125         r=Read_Data();
126         READ_BUF[n] = r;
127     }
128     Inactive_Flash();
129 }

```

```

130
131 //-----
132 void Data_Struct_To_Write_Buffer(DATA_STRUCT *pData)
133 //-----
134 {
135     WRITE_BUF[0] = pData->C0;
136     WRITE_BUF[1] = pData->C1;
137     WRITE_BUF[2] = pData->C2;
138     WRITE_BUF[3] = pData->C3;
139     WRITE_BUF[4] = pData->C4;
140     WRITE_BUF[5] = pData->C5;
141     WRITE_BUF[6] = pData->C6;
142     WRITE_BUF[7] = pData->C7;
143     WRITE_BUF[8] = pData->C8;
144     WRITE_BUF[9] = pData->C9;
145     WRITE_BUF[10] = pData->C10;
146     WRITE_BUF[11] = pData->C11;
147     WRITE_BUF[12] = pData->C12;
148     WRITE_BUF[13] = pData->C13;
149     WRITE_BUF[14] = pData->C14;
150     WRITE_BUF[15] = pData->C15;
151 }
152
153 //-----
154 void Val_To_Data(DATA_STRUCT *pData, unsigned long i)
155 //-----
156 {
157     if(i >= 527)
158     {
159         _NOP();
160     }
161     pData->C0 = (unsigned char)((i>>0) & 0xFF);
162     pData->C1 = (unsigned char)((i>>8) & 0xFF);
163     pData->C2 = (unsigned char)((i>>16) & 0xFF);
164     pData->C3 = (unsigned char)((i>>24) & 0xFF);
165 }
166
167 //-----
168 // Es wird der Block gelöscht, in dem die Adresse liegt
169 unsigned char Erase_Flash(unsigned char BLOCK_ADDL, unsigned char BLOCK_ADDH)
170 //-----
171 {
172     unsigned char m;
173     Inactive_Flash();
174         CLE_ON;
175         _CLE_ON;
176         Write_Data(ERASE_BLOCK);
177         CLE_OFF;
178         ALE_ON;
179     Write_Data(BLOCK_ADDL);
180     Write_Data(BLOCK_ADDH);
181     ALE_OFF;
182     CLE_ON;
183     Write_Data(ERASE_AKN);
184     while ((R_B) == 0);
185     Write_Data(READ_STATUS);
186     CLE_OFF;
187     m = Read_Data();
188     Inactive_Flash();
189     return (m);
190 }
191
192 //-----
193 DATA_STRUCT * Read_Ring_Flash(void)
194 //-----
195 {
196     //unsigned short Index_Last = 0;

```

```
197     unsigned short ADD = 0;
198     unsigned char ADDH = 0;
199     unsigned char ADDL = 0;
200     unsigned char COL = 0;
201     static DATA_STRUCT Data = {0,0,0,0,0,0,0,0,0,0,0,0,0,0,0};
202     DATA_STRUCT *pData = &Data;
203
204     // Letztes Element im Ringbuffer ermitteln
205     if(Ring_Full == 0)        // Ringbuffer hatte noch keinen Überlauf
206     {
207         // Keine Daten im Ringspeicher???
208         if(Count_Ring == 0)
209         {
210             return NULL;
211         }
212         Index_Last = Index_Ring - Count_Ring;
213     }
214     else // Es gab schon einen Überlauf -> lese ab dem ersten Struct
215     {
216         // Keine Daten im Ringspeicher???
217         if((Count_Ring - 255) == 0)    //
218         {
219             return NULL;
220         }
221         Index_Last = Index_Ring - (Count_Ring + 1 - 256)/* - (Index_Ring%256)*/;
222         // +1 um auf 0x10000 zu kommen
223     }
224     Count_Ring--;
225
226     // Adresse berechnen
227     ADD = Index_Last / 16;
228     COL = Index_Last % 16;
229     ADDL = (unsigned char)(ADD & 0xFF);
230     ADDH = (unsigned char)((ADD>>8) & 0xFF);
231
232     // Speicher auslesen
233     Read_Bytes(COL*16,ADDL,ADDH,BUF_SIZE);
234
235     // Read_BUF in das Datenstruct schreiben
236     pData->C0 = READ_BUF[0];
237     pData->C1 = READ_BUF[1];
238     pData->C2 = READ_BUF[2];
239     pData->C3 = READ_BUF[3];
240     pData->C4 = READ_BUF[4];
241     pData->C5 = READ_BUF[5];
242     pData->C6 = READ_BUF[6];
243     pData->C7 = READ_BUF[7];
244     pData->C8 = READ_BUF[8];
245     pData->C9 = READ_BUF[9];
246     pData->C10 = READ_BUF[10];
247     pData->C11 = READ_BUF[11];
248     pData->C12 = READ_BUF[12];
249     pData->C13 = READ_BUF[13];
250     pData->C14 = READ_BUF[14];
251     pData->C15 = READ_BUF[15];
252
253     return pData;
254 }
255 //-----
256 //-----
257 //           These functions are modified/created by Stephan Plaschke
258 //-----
259 //-----
260
261 //-----
262 void Erase_Flash_All(void)
```

```

263 //-----
264 {
265     int i = 0;
266     unsigned char j=0;
267     unsigned char ADDL;
268     unsigned char ADDH;
269
270     // show splash screen on LCD and send via UART
271     LCD_send_cmd(LCD_LINE1);
272     LCD_send_text(FLASH_clear_frame[1]);
273     UART0_send('.');
274
275     for(i=0; i<0x1000; i++)
276     {
277         //ADD = i * 16;
278         ADDL = (unsigned char)(i & 0xFF);
279         ADDH = (unsigned char)((i>>8) & 0xFF);
280         Erase_Flash(ADDL,ADDH);
281
282         // show splash screen on LCD and send via UART
283         if (!(i%200))
284         {
285             if(j~=0x01)
286             {
287                 LCD_send_cmd(LCD_LINE1);
288                 LCD_send_text(FLASH_clear_frame[1]);
289                 UART0_send('.');
290             }
291             else
292             {
293                 LCD_send_cmd(LCD_LINE1);
294                 LCD_send_text(FLASH_clear_frame[0]);
295             }
296         }
297     }
298     // set all index to the first frame in flash
299     Count_Ring = 0;
300     Ring_Full = 0;
301     // set pointer on the address 256, first block used for controll data
302     Index_Ring = 256;
303     Index_Last = 256;
304
305     LCD_send_cmd(LCD_LINE1);
306     LCD_send_text(FLASH_clear_frame[0]);
307     UART0_send_text("\r\n");
308
309     RADIO_init_frame(); // set first frame
310 }
311
312 //-----
313 void Write_Ring_Flash(DATA_STRUCT *pData)
314 //-----
315 {
316     unsigned char ADDL;
317     unsigned char ADDH;
318     unsigned short ADD;
319     unsigned char COL;
320
321
322     ADD = Index_Ring / 16;
323     COL = Index_Ring % 16;
324     ADDL = (unsigned char)(ADD & 0xFF);
325     ADDH = (unsigned char)((ADD>>8) & 0xFF);
326
327     // Lösche den nächsten Block
328     if( (Index_Ring%256) == 0)
329     {

```

```
330         Erase_Flash(ADDL, ADDH);
331     }
332
333     Data_Struct_To_Write_Buffer(pData);
334     Programm_Bytes(COL*16, ADDL, ADDH, BUF_SIZE);
335
336     if(Count_Ring < 65279) // address space: 65535 - 256
337     {
338         Count_Ring++;
339     }
340     else
341     {
342         Ring_Full = 1;
343     }
344
345     Index_Ring++;
346     if(Index_Ring >= 65535)
347     {
348         Index_Ring = 256; // set pointer on the address 256, first block used for
349                             controll data
350     }
351 }
352 //-----
353 void FLASH_Write_Controll_Data(void)
354 //-----
355 {
356     Erase_Flash(0,0);
357
358     WRITE_BUF[0] = (unsigned char)(Index_Ring >> 8);
359     WRITE_BUF[1] = (unsigned char)Index_Ring;
360     WRITE_BUF[2] = (unsigned char)(Index_Last >> 8);
361     WRITE_BUF[3] = (unsigned char)Index_Last;
362     WRITE_BUF[4] = (unsigned char)(Count_Ring >> 8);
363     WRITE_BUF[5] = (unsigned char)Count_Ring;
364     WRITE_BUF[6] = Ring_Full;
365     WRITE_BUF[7] = SENSOR_active;
366     WRITE_BUF[8] = SENSOR_address[0];
367     WRITE_BUF[9] = SENSOR_address[1];
368     WRITE_BUF[10] = SENSOR_address[2];
369     WRITE_BUF[11] = SENSOR_address[3];
370     WRITE_BUF[12] = SENSOR_address[4];
371     WRITE_BUF[13] = SENSOR_address[5];
372     WRITE_BUF[14] = SENSOR_address[6];
373     WRITE_BUF[15] = SENSOR_address[7];
374
375     Programm_Bytes(0,0,0, BUF_SIZE);
376
377     WRITE_BUF[0] = SENSOR_address[8];
378     WRITE_BUF[1] = SENSOR_address[9];
379     WRITE_BUF[2] = SENSOR_address[10];
380     WRITE_BUF[3] = SENSOR_address[11];
381     WRITE_BUF[4] = SENSOR_address[12];
382     WRITE_BUF[5] = SENSOR_address[13];
383     WRITE_BUF[6] = SENSOR_address[14];
384     WRITE_BUF[7] = SENSOR_address[15];
385     WRITE_BUF[8] = SENSOR_address[16];
386     WRITE_BUF[9] = SENSOR_address[17];
387     WRITE_BUF[10] = SENSOR_address[18];
388     WRITE_BUF[11] = SENSOR_address[19];
389     WRITE_BUF[12] = SENSOR_address[20];
390     WRITE_BUF[13] = SENSOR_address[21];
391     WRITE_BUF[14] = SENSOR_address[22];
392     WRITE_BUF[15] = SENSOR_address[23];
393
394     Programm_Bytes(0,1,0, BUF_SIZE);
395 }
```

```
396     WRITE_BUF[0] = SENSOR_address[24];
397     WRITE_BUF[1] = SENSOR_address[25];
398     WRITE_BUF[2] = SENSOR_address[26];
399     WRITE_BUF[3] = SENSOR_address[27];
400     WRITE_BUF[4] = SENSOR_address[28];
401     WRITE_BUF[5] = SENSOR_address[29];
402     WRITE_BUF[6] = SENSOR_address[30];
403     WRITE_BUF[7] = SENSOR_address[31];
404     WRITE_BUF[8] = SENSOR_address[32];
405     WRITE_BUF[9] = SENSOR_address[33];
406     WRITE_BUF[10] = SENSOR_address[34];
407     WRITE_BUF[11] = SENSOR_address[35];
408     WRITE_BUF[12] = SENSOR_address[36];
409     WRITE_BUF[13] = SENSOR_address[37];
410     WRITE_BUF[14] = SENSOR_address[38];
411     WRITE_BUF[15] = SENSOR_address[39];
412
413     Programm_Bytes(0,2,0,BUF_SIZE);
414 }
415
416 //-----
417 void FLASH_Read_Controller_Data(void)
418 //-----
419 {
420     // Speicher auslesen
421     Read_Bytes(0,0,0,BUF_SIZE);
422
423     Index_Ring           = (READ_BUF[0] << 8) | READ_BUF[1];
424     Index_Last          = (READ_BUF[2] << 8) | READ_BUF[3];
425     Count_Ring          = (READ_BUF[4] << 8) | READ_BUF[5];
426     Ring_Full           = READ_BUF[6];
427     SENSOR_active       = READ_BUF[7];
428     SENSOR_address[0]   = READ_BUF[8];
429     SENSOR_address[1]   = READ_BUF[9];
430     SENSOR_address[2]   = READ_BUF[10];
431     SENSOR_address[3]   = READ_BUF[11];
432     SENSOR_address[4]   = READ_BUF[12];
433     SENSOR_address[5]   = READ_BUF[13];
434     SENSOR_address[6]   = READ_BUF[14];
435     SENSOR_address[7]   = READ_BUF[15];
436
437     // Speicher auslesen
438     Read_Bytes(0,1,0,BUF_SIZE);
439
440     SENSOR_address[8]   = READ_BUF[0];
441     SENSOR_address[9]   = READ_BUF[1];
442     SENSOR_address[10]  = READ_BUF[2];
443     SENSOR_address[11]  = READ_BUF[3];
444     SENSOR_address[12]  = READ_BUF[4];
445     SENSOR_address[13]  = READ_BUF[5];
446     SENSOR_address[14]  = READ_BUF[6];
447     SENSOR_address[15]  = READ_BUF[7];
448     SENSOR_address[16]  = READ_BUF[8];
449     SENSOR_address[17]  = READ_BUF[9];
450     SENSOR_address[18]  = READ_BUF[10];
451     SENSOR_address[19]  = READ_BUF[11];
452     SENSOR_address[20]  = READ_BUF[12];
453     SENSOR_address[21]  = READ_BUF[13];
454     SENSOR_address[22]  = READ_BUF[14];
455     SENSOR_address[23]  = READ_BUF[15];
456
457     // Speicher auslesen
458     Read_Bytes(0,2,0,BUF_SIZE);
459
460     SENSOR_address[24]  = READ_BUF[0];
461     SENSOR_address[25]  = READ_BUF[1];
462     SENSOR_address[26]  = READ_BUF[2];
```

```

463     SENSOR_address[27] = READ_BUF[3];
464     SENSOR_address[28] = READ_BUF[4];
465     SENSOR_address[29] = READ_BUF[5];
466     SENSOR_address[30] = READ_BUF[6];
467     SENSOR_address[31] = READ_BUF[7];
468     SENSOR_address[32] = READ_BUF[8];
469     SENSOR_address[33] = READ_BUF[9];
470     SENSOR_address[34] = READ_BUF[10];
471     SENSOR_address[35] = READ_BUF[11];
472     SENSOR_address[36] = READ_BUF[12];
473     SENSOR_address[37] = READ_BUF[13];
474     SENSOR_address[38] = READ_BUF[14];
475     SENSOR_address[39] = READ_BUF[15];
476 }
477
478
479 /*-----
480     read data at startup
481 -----*/
482 void FLASH_read_at_startup(void)
483 /*-----*/
484 {
485     LCD_send_cmd(LCD_LINE1);
486     LCD_send_text("Read contr.data ");
487     LCD_send_cmd(LCD_LINE2);
488     LCD_send_text("YES    NO    ");
489
490     while(1)
491     {
492         if(BATMON_control_reg & B1)    // Button 1 = YES, read controll data
493             from flash
494         {
495             UART0_send_text("Read data\r\n");
496             FLASH_Read_Controllerl_Data();
497             BATMON_control_reg &= ~(B1|B2|B3);    // clear button state
498             break;
499             // exit while loop
500         }
501         if(BATMON_control_reg & B2)    // Button 2 = NO,
502             write init sequence
503         {
504             RADIO_init_frame();    // write
505             first frame with actual time and 0 as data
506             BATMON_control_reg &= ~(B1|B2|B3);    // clear button state
507             break;
508             // exit while loop
509         }
510     }
511 }

```

Listing B.3: Header zur Ansteuerung des FLASH Speichers (Flash.h)

```

1  /*-----
2     Project:                MSP430-169STK onboard nand-flash functions header
3     Used components:        MSP430-169STK
4     Date:                   12/01/2007
5     Last update:            09/05/2008
6     Author:                 Tobias Krannich
7     Modified:               Stephan Plaschke
8     -----*/
9
10 /*-----
11     Defines
12 -----*/
13 #ifndef FLASH_H_
14 #define FLASH_H_

```

```

15
16 #define MAX_BLOCK_NUMB 1024
17
18 #define TRANS_LDY 50
19 #define WRITE_DLY 400
20 #define ERASE_DLY 4000
21
22 #define OUT_PORT P5OUT
23 #define IN_PORT P5IN
24 #define IO_DIR P5DIR
25
26 #define _CE_ON (P2OUT &= ~BIT0)
27 #define _CE_OFF (P2OUT |= BIT0)
28 #define _RE_ON (P2OUT &= ~BIT1)
29 #define _RE_OFF (P2OUT |= BIT1)
30 #define _WE_ON (P2OUT &= ~BIT2)
31 #define _WE_OFF (P2OUT |= BIT2)
32
33 #define ALE_ON (P2OUT |= BIT3)
34 #define ALE_OFF (P2OUT &= ~BIT3)
35 #define CLE_ON (P2OUT |= BIT4)
36 #define CLE_OFF (P2OUT &= ~BIT4)
37
38 #define R_B (P2IN & BIT7)
39 #define DALLAS (P2IN & BIT5)
40
41 #define READ_SPARE 0x50
42 #define READ_0 0x00
43 #define READ_1 0x01
44 #define READ_STATUS 0x70
45
46 #define WRITE_PAGE 0x80
47 #define WRITE_AKN 0x10
48
49 #define ERASE_BLOCK 0x60
50 #define ERASE_AKN 0xD0
51
52 #define DEV_ID 0x90
53
54 #define SAMSUNG_ID 0xECE6
55
56 #define INPUT 0
57 #define OUTPUT 0xff
58 #define BUF_SIZE 16
59
60 #define ZEICHEN 0xAA
61
62 /*-----
63 Global variables
64 -----*/
65 extern unsigned char SENSOR_address[40]; // array with sensor address
66 extern unsigned char SENSOR_active; // active sensor count
67
68 extern unsigned char WRITE_BUF [BUF_SIZE];
69 extern unsigned char READ_BUF [BUF_SIZE];
70 extern unsigned short Index_Ring;
71 extern unsigned short Count_Ring;
72 extern unsigned char Ring_Full;
73 extern unsigned short Index_Last;
74
75 /*-----
76 Structures
77 -----*/
78 typedef struct{
79 unsigned char C0;
80 unsigned char C1;
81 unsigned char C2;

```

```

82     unsigned char C3;
83     unsigned char C4;
84     unsigned char C5;
85     unsigned char C6;
86     unsigned char C7;
87     unsigned char C8;
88     unsigned char C9;
89     unsigned char C10;
90     unsigned char C11;
91     unsigned char C12;
92     unsigned char C13;
93     unsigned char C14;
94     unsigned char C15;
95     } DATA_STRUCT;
96
97 /*-----
98     Prototypes
99 -----*/
100 void init_Flash (void);
101 void Inactive_Flash(void);
102 void Write_Data(unsigned char a);
103 unsigned char Programm_Bytes(unsigned char COL_ADD,
104                             unsigned char ROW_ADDL,
105                             unsigned char ROW_ADDH,
106                             unsigned char NUMBER);
107 unsigned char Read_Data(void);
108 void Read_Bytes (unsigned char COL_ADD,
109                unsigned char ROW_ADDL,
110                unsigned char ROW_ADDH,
111                unsigned char NUMBER);
112 unsigned char Erase_Flash (unsigned char BLOCK_ADDL, unsigned char BLOCK_ADDH);
113 void Erase_Flash_All(void);
114 void Write_Ring_Flash(DATA_STRUCT *);
115 void Data_Struct_To_Write_Buffer(DATA_STRUCT *);
116 void Val_To_Data(DATA_STRUCT *, unsigned long);
117 DATA_STRUCT * Read_Ring_Flash(void);
118 void FLASH_Write_Controller_Data(void);
119 void FLASH_Read_Controller_Data(void);
120 void MemTest(void);
121 void FLASH_read_at_startup(void);
122
123 #endif /*FLASH_H_*/

```

Listing B.4: Quellcode der Interrupthandler (ISR.c)

```

1 /*-----
2     Project:                ISR functions
3     Used components:       MSP430-169STK
4     Date:                  12/15/2007
5     Last update:          04/04/2008
6     Author:                Stephan Plaschke
7 -----
8
9 -----
10    Headerfiles
11 -----*/
12 #include <ISR.h>
13 #include <main.h>
14 #include <signal.h>
15 #include <lcd16x2.h>
16 #include <msp430x16x.h>
17 #include <MSP_functions.h>
18
19
20 /*-----
21     Global variables

```

```

22 -----*/
23 extern unsigned char BUTTON_state;                // actual button state
24
25 unsigned char BATMON_control_reg;
26 extern unsigned char RADIO_rx_state;             // data receive state
27 extern unsigned char global_string[MAX_STRING_LENGTH];
28
29 extern RADIO_FRAME_STRUCT    RADIO_frame;        // received data frame
30
31 extern unsigned char SENSOR_addr_req[5];         // required sensor addresses
32 extern unsigned char SENSOR_address[40];        // stored sensor addresses
33 extern unsigned char SENSOR_last_data[8][40];
34
35 /*-----*/
36         Timer A0 interrupt service routine, Capture/compare0 interrupt
37 -----*/
38 interrupt (TIMERAO_VECTOR) TIMER_A0(void)
39 /*-----*/
40 {
41     static unsigned int RADIO_capture_old, RADIO_capture_act, RADIO_capture_interval;
42
43     static unsigned int RADIO_bit_length, RADIO_one_bit_length, RADIO_two_bit_length;
44     static unsigned int RADIO_three_bit_length, RADIO_four_bit_length;
45
46     static unsigned char RADIO_capture_counter;
47
48
49     // compare values for the received address in global array, byte = position in
50     // array
51     unsigned char address_bit, address_byte;
52     unsigned char i, j, frame_error;
53
54     RADIO_capture_old = RADIO_capture_act;
55     RADIO_capture_act = CCRO;
56
57     if (RADIO_capture_act < RADIO_capture_old)
58         /* overflow occurred */
59         RADIO_capture_interval = ((65535-RADIO_capture_old) + RADIO_capture_act);
60         /* calculate difference */
61     else
62         /* no
63         overflow occurred */
64         RADIO_capture_interval = RADIO_capture_act - RADIO_capture_old;
65         /* calculate difference */
66
67     switch(RADIO_rx_state)
68     {
69     case SE_SEQ_PREPARE:                // first interrupt, nothing to do
70         RADIO_frame.frame_bit_counter = 0;           // actual bit position
71         RADIO_frame.frame_byte_counter = 0;         // actual byte in frame
72         BATMON_control_reg &= !VALID_DATA_RECEIVED; // clear global value
73         RADIO_rx_state = SE_SEQ_START;
74         break; // exit switch-case block
75
76     case SE_SEQ_START:                  // look if start sequence
77         detected
78         if((RADIO_capture_interval < START_SEQ_LENGTH_MAX)
79             && (RADIO_capture_interval > START_SEQ_LENGTH_MIN))
80         {
81             RADIO_rx_state = SE_SEQ_PRE_WAIT;
82             RADIO_capture_counter = 14; // waitcounter 14 bit until
83             // second byte received
84         }
85         break; // exit switch-case block
86
87     case SE_SEQ_PRE_WAIT:               // check next 14 bits for valid length

```

```

81     /*if((RADIO_capture_interval < TWO_BIT_LENGTH)
82         && (RADIO_capture_interval > ONE_BIT_LENGTH))
83     {
84         RADIO_capture_counter--;
85         if(RADIO_capture_counter == 0)
86             RADIO_rx_state = SE_SEQ_DATA_START;
87     }
88     else
89         RADIO_rx_state = SE_SEQ_PREPARE;
90     */
91     RADIO_capture_counter--;
92
93     if (RADIO_capture_counter == 14)
94         RADIO_bit_length = RADIO_capture_interval;
95     else if (RADIO_capture_counter == 0)
96     {
97         RADIO_bit_length += RADIO_capture_interval;
98         RADIO_bit_length /= 2;
99
100        RADIO_one_bit_length    = RADIO_bit_length - 50;
101        RADIO_two_bit_length     = RADIO_bit_length + 50;
102        RADIO_three_bit_length  = RADIO_bit_length * 2 - 50;
103        RADIO_four_bit_length   = RADIO_bit_length * 2 + 50;
104
105        RADIO_rx_state = SE_SEQ_DATA_START;
106    }
107    else
108    {
109        RADIO_bit_length += RADIO_capture_interval;
110        RADIO_bit_length /= 2;
111    }
112
113    break; // exit switch-case block
114
115    case SE_SEQ_DATA_START: // end of second byte, check second byte
116        if((RADIO_capture_interval < RADIO_four_bit_length)
117            && (RADIO_capture_interval > RADIO_three_bit_length))
118        {
119            RADIO_rx_state = SE_SEQ_RXDATA;
120            RADIO_frame.frame_bit_counter = 1; // actual bit
121            position // actual byte in
122            RADIO_frame.frame_byte_counter = 0; // actual byte in
123            frame // last bit state
124            RADIO_frame.frame_last_bit = 0; // last bit state
125            , equals actual bit
126            RADIO_frame.frame_byte[0] = 0x00; // set actual bit
127        }
128        else
129            RADIO_rx_state = SE_SEQ_PREPARE; // second byte
130            not 0x01, error
131            break; // exit switch-case block
132
133    case SE_SEQ_RXDATA: // receive data, for this cases
134        see documentation
135        if(RADIO_capture_interval < RADIO_one_bit_length) // intervall to
136            short, exit
137        {
138            RADIO_rx_state = SE_SEQ_PREPARE;
139            break; // exit switch-case block
140        }
141
142        else if(RADIO_capture_interval < RADIO_two_bit_length) // same value
143            like the one before
144        {
145            RADIO_frame.frame_byte_counter = RADIO_frame.frame_bit_counter /
146            8;
147            RADIO_frame.frame_byte[RADIO_frame.frame_byte_counter] <<= 1;

```

```
140         RADIO_frame.frame_byte[RADIO_frame.frame_byte_counter] |=
141             RADIO_frame.frame_last_bit;
142         RADIO_frame.frame_bit_counter++;
143     }
144     else if(RADIO_capture_interval < RADIO_three_bit_length)
145     {
146         if(RADIO_frame.frame_last_bit) // a one and a following zero
147             detected
148         {
149             RADIO_frame.frame_byte_counter = RADIO_frame.
150                 frame_bit_counter / 8;
151             RADIO_frame.frame_byte[RADIO_frame.frame_byte_counter]
152                 <<= 1;
153             RADIO_frame.frame_byte[RADIO_frame.frame_byte_counter] |=
154                 0x01;
155             RADIO_frame.frame_bit_counter++;
156
157             RADIO_frame.frame_byte_counter = RADIO_frame.
158                 frame_bit_counter / 8;
159             RADIO_frame.frame_byte[RADIO_frame.frame_byte_counter]
160                 <<= 1;
161             RADIO_frame.frame_last_bit = 0;
162             RADIO_frame.frame_bit_counter++;
163         }
164         else // a one detected
165         {
166             RADIO_frame.frame_byte_counter = RADIO_frame.
167                 frame_bit_counter / 8;
168             RADIO_frame.frame_byte[RADIO_frame.frame_byte_counter]
169                 <<= 1;
170             RADIO_frame.frame_byte[RADIO_frame.frame_byte_counter] |=
171                 0x01;
172             RADIO_frame.frame_last_bit = 1;
173             RADIO_frame.frame_bit_counter++;
174         }
175     }
176     else if(RADIO_capture_interval < RADIO_four_bit_length) // a one with a
177         following zero detected
178     {
179         RADIO_frame.frame_byte_counter = RADIO_frame.frame_bit_counter /
180             8;
181         RADIO_frame.frame_byte[RADIO_frame.frame_byte_counter] <<= 1;
182         RADIO_frame.frame_byte[RADIO_frame.frame_byte_counter] |= 0x01;
183         RADIO_frame.frame_bit_counter++;
184
185         RADIO_frame.frame_byte_counter = RADIO_frame.frame_bit_counter /
186             8;
187         RADIO_frame.frame_byte[RADIO_frame.frame_byte_counter] <<= 1;
188         RADIO_frame.frame_bit_counter++;
189     }
190     else // intervall to long, exit with error
191     {
192         if (RADIO_frame.frame_bit_counter == 87) // last byte(CRC)
193             is odd
194         {
195             RADIO_frame.frame_byte_counter = RADIO_frame.
196                 frame_bit_counter / 8;
197             RADIO_frame.frame_byte[RADIO_frame.frame_byte_counter]
198                 <<= 1;
199             RADIO_frame.frame_byte[RADIO_frame.frame_byte_counter] |=
200                 0x01;
201             RADIO_frame.frame_bit_counter++;
202         }
203         else
```

```

190         {
191             RADIO_rx_state = SE_SEQ_PREPARE;
192             break; // exit switch-case block
193         }
194     }
195
196     if (RADIO_frame.frame_bit_counter == 88) // end of bitstream
197     {
198         i=0; // init address counter
199         do // check if address valid
200         {
201             if (SENSOR_address[i] == RADIO_frame.frame_byte[3])
202                 break; // exit
203                 do-while loop
204             i++;
205         }
206         while(i<40);
207
208         if (i<40) // if sensor address valid
209         {
210             j = 0;
211             frame_error = 0;
212
213             while(j<11) // check CRC
214             {
215                 frame_error = frame_error ^ RADIO_frame.
216                 frame_byte[j];
217                 j++;
218             }
219
220             if (frame_error) // CRC not valid, exit
221             {
222                 // CRC not valid return to the beginning
223                 RADIO_rx_state = SE_SEQ_PREPARE;
224                 break; // exit switch-case block
225             }
226
227             // calculate position in sensor_addr_req array
228             //address_bit = (SENSOR_address[i] - 1) % 8 ;
229             //address_byte = (SENSOR_address[i] - 1) / 8 ;
230             address_bit = i % 8 ;
231             address_byte = i / 8 ;
232
233             // check if sensor data needed
234             if ((SENSOR_addr_req[address_byte] >> address_bit) & 0x01
235                 )
236             {
237                 // clear required bit value
238                 SENSOR_addr_req[address_byte] &= ~(0x01 <<
239                 address_bit);
240
241                 for (j=0; j<8; j++)
242                 {
243                     SENSOR_last_data[j][i] = RADIO_frame.
244                     frame_byte[j+3];
245                 }
246
247                 RADIO_disable();
248                 // disable radio unit
249                 BATMON_control_reg |= VALID_DATA_RECEIVED;
250                 // set global value
251             }
252         }
253     }
254
255     // Receiving frame completed(valid or not), return to the
256     beginning
257     RADIO_rx_state = SE_SEQ_PREPARE;
258 }

```

```

249         break; // exit switch-case block
250
251     default: RADIO_rx_state = SE_SEQ_PREPARE;
252         break; // exit switch-case block
253     }
254
255     TACCTL0 &= ~(CCIFG|COV); // reset timer occurred flag, for up mode
256     /*CCRO += 410; // add value to timer, continous mode */
257 }
258
259 /*-----
260     Timer A0 interrupt service routine
261 -----*/
262 interrupt (TIMERA1_VECTOR) TIMER_A1(void)
263 /*-----*/
264 {
265     switch(TAIV)
266     {
267         /* Capture/compare1 interrupt */
268         case 0x02:
269             TACCTL1 &= ~(CCIFG|COV); // reset timer occurred
270             flag // add value to
271             /*TACCR1 += 410; // add value to
272             timer, continous mode */
273             break;
274
275         /* Capture/compare2 interrupt */
276         case 0x04:
277             TACCTL2 &= ~(CCIFG|COV); // reset timer occurred
278             flag // add value to
279             /*TACCR2 += 410; // add value to
280             timer, continous mode */
281             break;
282
283         /* Timeroverflow interrupt */
284         case 0x0A: TACTL &= ~TAIFG; // reset timer occurred flag
285             //
286             break;
287     }
288 }
289
290 /*-----
291     Timer B0 interrupt service routine
292 -----*/
293 interrupt (TIMERB0_VECTOR) TIMER_B0(void)
294 /*-----*/
295 {
296     static char TBO_ct0, TBO_ct1;
297     char TBO_i;
298
299     TBO_i = BUTTON_state ^ BUTTON_INPUT; // input changed ?
300     TBO_ct0 = ~( TBO_ct0 & TBO_i ); // reset or count
301     ct0
302     TBO_ct1 = (TBO_ct0 ^ (TBO_ct1 & TBO_i)); // reset or count ct1
303     TBO_i &= (TBO_ct0 & TBO_ct1); // count until
304     roll over
305     BUTTON_state ^= TBO_i; // toggle
306     debounced state
307     BATMON_control_reg |= BUTTON_state & TBO_i; // only 0->1:key pressing
308     detect
309
310     TBCCTL0 &= ~CCIFG; // reset timer occurred flag, for up mode
311     //TBCCRO += 410; // add value to timer, continous mode
312 }
313
314
315

```

```

306 /*-----
307         Timer A0 interrupt service routine
308 -----*/
309 interrupt (TIMERB1_VECTOR) TIMER_B1(void)
310 /*-----
311 {
312     switch(TBIV)
313     {
314         /* Capture/compare1 interrupt */
315         case 0x02:
316
317             TBCCTL1 &= ~(CCIFG|COV);           /* reset timer occurred
318                 flag */
319             //TBCCR1 += 2;                       /* add value to timer,
320                 continuous mode */
321             break;
322
323         /* Capture/compare2 interrupt */
324         case 0x04:
325             TBCCTL2 &= ~(CCIFG|COV);           /* reset timer occurred
326                 flag */
327             /*TBCCR2 += 410;                       /* add value to
328                 timer, continuous mode */
329             break;
330
331         /* Timeroverflow interrupt */
332         case 0x0E:
333             TBCTL &= ~TAIFG;                   /* reset timer occurred
334                 flag */
335             break;
336     }
337 }
338
339 /*-----
340         UART0 RX interrupt service routine
341 -----*/
342 interrupt (USARTORX_VECTOR) USART0_RX(void)
343 /*-----
344 {
345     static unsigned char rx_string[MAX_STRING_LENGTH];
346     static unsigned char i;
347
348     switch (RXBUF0)
349     {
350     case (RETURN):
351         // if carriage return jump to
352         next line first position and store string global
353         UART0_send(NEWLINE);
354         UART0_send(RETURN);
355
356         rx_string[i] = NULLTERMINATOR;         // terminate string
357         i++;
358
359         for (; i>0; i--)                       // copy string
360         {
361             global_string[i-1] = rx_string[i-1];
362         };
363         BATMON_control_reg |= GLOBAL_STRING_RECEIVED; // set control register
364         to global string received
365         break;
366
367     case ('%'):
368         // if '%' jump to next
369         line first position and store string global
370         UART0_send(NEWLINE);
371         UART0_send(RETURN);
372
373         rx_string[i] = NULLTERMINATOR;         // terminate string

```

```

365         i++;
366
367         for (; i>0; i--)                                // copy string
368         {
369             global_string[i-1] = rx_string[i-1];
370         };
371         BATMON_control_reg |= GLOBAL_STRING_RECEIVED; // set control register
372             to global string received
373         break;
374
375     case (BACKSPACE):                                // backspace, delete last char
376         UART0_send(BACKSPACE);
377         UART0_send(SPACE);
378         UART0_send(BACKSPACE);
379         i--;
380         break;
381
382     default:                                          // echo
383         if(i<(MAX_STRING_LENGTH-1))                // string length reached?
384         {
385             UART0_send(RXBUF0);                    // string length not reached store
386             received char
387             rx_string[i] = RXBUF0;
388             i++;
389         }
390         else                                        // string
391             length reached, save string in global variable
392         {
393             rx_string[i] = NULLTERMINATOR; // terminate string
394             for (; i>0; i--)                    // copy string
395             {
396                 global_string[i-1] = rx_string[i-1];
397             };
398             BATMON_control_reg |= GLOBAL_STRING_RECEIVED; // set control
399             register to global string received
400         }
401         break;
402     }
403 }
404
405 /*-----
406          UART0 TX interrupt service routine
407 -----*/
408 interrupt (USART0TX_VECTOR) USART0_TX(void)
409 /*-----*/
410 {
411 }
412
413 /*-----
414          PORT1 interrupt service routine
415 -----*/
416 interrupt (PORT1_VECTOR) PORT_1(void)
417 /*-----*/
418 {
419 }
420
421 /*-----
422          PORT2 interrupt service routine
423 -----*/
424 interrupt (PORT2_VECTOR) PORT_2(void)
425 /*-----*/
426 {
427 }

```

```

428 /*-----
429         DAC12 interrupt service routine
430 -----*/
431 interrupt (DACDMA_VECTOR) DAC12(void)
432 /*-----*/
433 {
434
435 }
436
437 /*-----
438         ADC12 interrupt service routine
439 -----*/
440 interrupt (ADC12_VECTOR) ADC12(void)
441 /*-----*/
442 {
443
444 }
445
446 /*-----*/
447 /*         DAC12 interrupt service routine
448 -----*/
449 interrupt (COMPARATORA_VECTOR) COMPERATOR(void)
450 /*-----*/
451 {
452
453 }

```

Listing B.5: Header der Interrupthandler (ISR.h)

```

1  /*-----
2      Project:                MSP430 ISR header
3      Used components:       MSP430-169STK
4      Date:                  10/28/2007
5      Last update:          04/04/2008
6      Author:                Stephan Plaschke
7  -----*/
8
9  #ifndef ISR_H_
10 #define ISR_H_
11
12 /*-----
13         Structures
14 -----*/
15 typedef struct {unsigned char frame_bit_counter;
16                unsigned char frame_byte_counter;
17                unsigned char frame_last_bit;
18                unsigned char frame_byte[11];
19 } RADIO_FRAME_STRUCT;
20
21 /*-----
22         Defines
23 -----*/
24 /* defines for the capture interrupt */
25
26 /*         Receive sequences in interrupt */
27 enum SE_SEQ_POS{
28     SE_SEQ_PREPARE,          /* 0 -> nothing to do, first interrupt */
29     SE_SEQ_START,           /* 1 -> first measurement completed, start sequence
30                             detected? */
31     SE_SEQ_PRE_WAIT,        /* 2 -> complete start sequence detected
32                             */
33     SE_SEQ_DATA_START,      /* 3 -> check for first 1
34                             */
35     SE_SEQ_RXDATA           /* 4 -> first zero detected, receive data */
36 };

```

```

35 /* min length for the start sequence */
36 #define START_SEQ_LENGTH_MIN 700
37 /* max length for the start sequence */
38 #define START_SEQ_LENGTH_MAX 1200
39
40 /* define length for a 1 bit in manchester code */
41 #define HIGH_BIT_LENGTH 140
42 /* define length for a 0 bit in manchester code */
43 #define LOW_BIT_LENGTH 60
44
45 /* min length for two bits manchester code or 1 bit real code */
46 // #define ONE_BIT_LENGTH 130
47 /* max length for two bits manchester code or 1 bit real code */
48 // #define TWO_BIT_LENGTH 230
49 /* length for three bits manchester code or 1.5 bit real code */
50 // #define THREE_BIT_LENGTH 350
51 /* length for four bits manchester code or 2 bit real code */
52 // #define FOUR_BIT_LENGTH 450
53
54
55 #endif /*ISR_H*/

```

Listing B.6: Quellcode der LCD Ansteuerung (LCD16x2.c)

```

1  /*-----
2      Project:                LCD16x2 functions
3      Used components:       MSP430-169STK
4      Date:                  10/28/2007
5      Last update:          04/04/2008
6      Author:                Stephan Plaschke
7  -----*/
8
9  /*-----
10     Headerfiles
11  -----*/
12 #include <main.h>
13 #include <lcd16x2.h>
14 #include <msp430x16x.h>
15 // #include <MSP_functions.h>
16
17 /*-----
18     Static
19  -----*/
20 static unsigned char *RTC_days[7]={
21     "MON ",
22     "TUE ",
23     "WED ",
24     "THU ",
25     "FRY ",
26     "SAT ",
27     "SUN "
28 };
29
30 static unsigned char *RTC_months[12]={
31     "Jan",
32     "Feb",
33     "Mar",
34     "Apr",
35     "May",
36     "Jun",
37     "Jul",
38     "Aug",
39     "Sep",
40     "Oct",
41     "Nov",
42     "Dec"

```

```

43 };
44
45 /*-----
46     x ms delay loop
47 -----*/
48 void LCD_delay_ms(unsigned int LCD_delay_ms)
49 {
50     unsigned int LCD_delay_loop;
51
52     switch (uC_FREQUENCY)
53     {
54         case MHZ_1: LCD_delay_loop = 73;    //(88*b) cycles (for 1MHz)
55                 break;
56         case MHZ_2: LCD_delay_loop = 150;   //(175*b) cycles (for 2MHz)
57                 break;
58         case MHZ_4: LCD_delay_loop = 304;   //(350*b) cycles (for 4MHz)
59                 break;
60         case MHZ_8: LCD_delay_loop = 610;   //(610*b) cycles (for 8MHz)
61                 break;
62         default: break;
63     }
64
65     for (; LCD_delay_ms>0; LCD_delay_ms--)
66     {
67         LCD_delay(LCD_delay_loop);
68     }
69 }
70
71
72 /*-----
73     delay loop
74     counts x times
75 -----*/
76 void LCD_delay(unsigned int LCD_delay_loop)
77 {
78     for(; LCD_delay_loop>0; LCD_delay_loop--) _NOP();
79 }
80
81
82 /*-----
83     Init 16x2LCD
84 -----*/
85 void LCD_init(void)
86 {
87     LCD_DATA_PORT &= ~LCD_RS_PIN;          // sets LCD in COMMAND MODE
88     LCD_delay_ms(15);                      // Delay ca.15ms
89
90     LCD_DATA_PORT |= BIT4 | BIT5;          // D7-D4 = 0011
91     LCD_DATA_PORT &= ~BIT6 & ~BIT7;
92     LCD_enable();
93     LCD_delay_ms(5);
94     LCD_enable();
95     LCD_delay_ms(1);
96     LCD_enable();
97     LCD_delay_ms(1);
98     LCD_DATA_PORT &= ~BIT4;                // D7-D4 = 0010
99     LCD_enable();
100
101     LCD_send_cmd(LCD_ON);                  // switch LCD on
102     LCD_send_cmd(LCD_CLR);                 // clear LCD
103     LCD_send_cmd(LCD_LINE1);               // set cursor to x=0, y=0
104 }
105
106
107 /*-----
108     Toggle LCD_E pin
109 -----*/

```

```

110 void LCD_enable(void)
111 {
112     LCD_DATA_PORT |= LCD_E_PIN;
113     _NOP();
114     _NOP();
115     LCD_DATA_PORT &= ~LCD_E_PIN;
116 }
117
118
119 /*-----
120     Send command to LCD
121 -----*/
122 void LCD_send_cmd (unsigned char LCD_out_byte)
123 {
124     unsigned char LCD_tmp;
125
126     LCD_delay_ms(1);
127     LCD_tmp = LCD_out_byte & 0xf0;           // get upper nibble
128     LCD_DATA_PORT &= 0x0f;
129     LCD_DATA_PORT |= LCD_tmp;               // send CMD to LCD
130     LCD_DATA_PORT &= ~LCD_RS_PIN;          // sets LCD in COMMAND MODE
131     LCD_enable();
132     LCD_tmp = LCD_out_byte & 0x0f;
133     LCD_tmp = LCD_tmp << 4;                 // get down nibble
134     LCD_DATA_PORT &= 0x0f;
135     LCD_DATA_PORT |= LCD_tmp;
136     LCD_DATA_PORT &= ~LCD_RS_PIN;          // sets LCD in COMMAND MODE
137     LCD_enable();
138 }
139
140
141 /*-----
142     Send DATA to LCD
143 -----*/
144 void LCD_send_data (unsigned char LCD_out_byte)
145 {
146     unsigned char LCD_tmp;
147
148     LCD_delay_ms(1);
149     LCD_tmp = LCD_out_byte & 0xf0;           // get upper nibble
150     LCD_DATA_PORT &= 0x0f;
151     LCD_DATA_PORT |= LCD_tmp;               // send DATA to LCD
152     LCD_DATA_PORT |= LCD_RS_PIN;           // sets LCD in DATA MODE
153     LCD_enable();
154     LCD_tmp = LCD_out_byte & 0x0f;
155     LCD_tmp = LCD_tmp << 4;                 // get lower nibble
156     LCD_DATA_PORT &= 0x0f;
157     LCD_DATA_PORT |= LCD_tmp;
158     LCD_DATA_PORT |= LCD_RS_PIN;           // sets LCD in DATA MODE
159     LCD_enable();
160 }
161
162
163 /*-----
164     Send string to LCD
165 -----*/
166 void LCD_send_text(char *out_string)
167 {
168     while (*out_string)                     // *out_string != '\0'
169     {
170         LCD_send_data(*out_string);         // send byte to LCD
171         out_string++;
172     }
173 }
174
175
176 /*-----

```

```

177         send date
178 -----*/
179 void LCD_send_time(void)
180 /*-----*/
181 {
182     unsigned char time_char;
183
184     LCD_send_cmd(LCD_LINE2);
185     LCD_send_text("           ");
186
187     LCD_send_cmd(LCD_RTC_WDAY);
188     LCD_send_text(RTC_days[RTC_values.wday]);
189
190     time_char = (RTC_values.hr / 10) + 48;
191     LCD_send_data(time_char);
192     time_char = (RTC_values.hr % 10) + 48;
193     LCD_send_data(time_char);
194     LCD_send_data(':');
195
196     time_char = (RTC_values.min / 10) + 48;
197     LCD_send_data(time_char);
198     time_char = (RTC_values.min % 10) + 48;
199     LCD_send_data(time_char);
200     LCD_send_data(':');
201
202     time_char = (RTC_values.sec / 10) + 48;
203     LCD_send_data(time_char);
204     time_char = (RTC_values.sec % 10) + 48;
205     LCD_send_data(time_char);
206 }
207
208
209 /*-----
210         send date
211 -----*/
212 void LCD_send_date(void)
213 /*-----*/
214 {
215     unsigned char time_char;
216
217     LCD_send_cmd(LCD_LINE2);
218     LCD_send_text("           ");
219
220     LCD_send_cmd(LCD_RTC_DAY);
221     time_char = (RTC_values.day / 10) + 48;
222     LCD_send_data(time_char);
223     time_char = (RTC_values.day % 10) + 48;
224     LCD_send_data(time_char);
225
226     LCD_send_data('-');
227     LCD_send_text(RTC_months[RTC_values.month]);
228
229     LCD_send_data('-');
230     time_char = RTC_values.year / 1000;
231     LCD_send_data(time_char+48);
232     time_char = (RTC_values.year / 100) - ((RTC_values.year/1000) * 10);
233     LCD_send_data(time_char+48);
234     time_char = (RTC_values.year / 10) - ((RTC_values.year/100) * 10);
235     LCD_send_data(time_char+48);
236     time_char = RTC_values.year % 10;
237     LCD_send_data(time_char+48);
238 }
239
240
241 /*-----
242         send sensor address
243 -----*/

```

```

244 void LCD_send_sensor(unsigned char address_value)
245 /*-----*/
246 {
247     unsigned char address_hundred, address_tenner, address_ones;
248
249     address_hundred = address_value / 100;
250     address_value %= 100;
251     address_tenner = address_value / 10;
252     address_value %= 10;
253     address_ones = address_value / 1;
254
255     LCD_send_cmd(LCD_LINE1);
256
257     LCD_send_text("Sensor ");
258     LCD_send_data(address_hundred+48);
259     LCD_send_data(address_tenner+48);
260     LCD_send_data(address_ones+48);
261     LCD_send_text(" aktiv");
262
263 }

```

Listing B.7: Header der LCD Ansteuerung (LCD16x2.h)

```

1  /*-----*/
2  Project:                LCD16x2 module header
3  Used components:       MSP430-169STK
4  Date:                  10/28/2007
5  Last update:           10/28/2007
6  Author:                Stephan Plaschke
7  -----*/
8
9  #ifndef LCD16X2_H_
10 #define LCD16X2_H_
11
12 /*-----*/
13 Headerfiles
14 -----*/
15 #include <rtc.h>
16
17 /*-----*/
18 Global variables
19 -----*/
20
21 extern unsigned char BATMON_control_reg;
22
23 extern RTC_MSP430        RTC_values;           // global RTC values
24
25 /*-----*/
26 Defined values, change for each project
27 -----*/
28
29 #define LCD_E_PIN        BIT1
30 #define LCD_RS_PIN       BIT3
31 #define LCD_LIGHT_PIN    BIT0
32 #define LCD_DATA_PORT    P40UT
33
34 /*-----*/
35 Defined values, equal in each project, don't change
36 -----*/
37
38 #define LCD_LIGHT_ON      (LCD_DATA |= LCD_LIGHT_PIN)    // sets pin4.0 HIGH
39 #define LCD_LIGHT_OFF    (LCD_DATA &= ~LCD_LIGHT_PIN)  // clears pin4.0
40
41 #define LCD_ON            0x0c    // LCD control command, ON
42 #define LCD_OFF           0x08    // LCD control command, OFF
43 #define LCD_CLR           0x01    // LCD control command, CLEARSCREEN

```

```

44 #define LCD_LINE1          0x80 // LCD control command, sets cursor
    on y=0,x=0
45 #define LCD_LINE2          0xc0 // LCD control command, sets cursor
    on y=1,x=0
46 #define LCD_ENDLINE1      0x8f // LCD control command, sets cursor on y=0,x
    =15
47 #define LCD_ENDLINE2      0xcf // LCD control command, sets cursor on y=1,x
    =15
48
49 /*-----
50 Prototypes
51 -----*/
52
53 void LCD_delay_ms(unsigned int);
54 void LCD_delay(unsigned int);
55 void LCD_send_cmd (unsigned char);
56 void LCD_send_data (unsigned char);
57 void LCD_send_text(char *);
58 void LCD_enable(void);
59 void LCD_init(void);
60 void LCD_send_time(void);
61 void LCD_send_date(void);
62 void LCD_send_sensor(unsigned char);
63
64
65 #endif /*16X2LCD_H_*/

```

Listing B.8: Quellcode der Hauptschleife (main.c)

```

1  /*-----
2      Project:                MSP430 project source file
3      Used components:        MSP430-169STK
4      Date:                   10/28/2007
5      Last Update:            04/04/2008
6      Author:                  Stephan Plaschke
7
8  -----
9
10 Headerfiles
11 -----*/
12 #include <ISR.h>
13 #include <RTC.h>
14 #include <main.h>
15 #include <flash.h>
16 #include <stdio.h>
17 #include <signal.h>
18 #include <lcd16x2.h>
19 #include <uart_menu.h>
20 #include <msp430x16x.h>
21 #include <MSP_functions.h>
22
23
24 /*-----
25 Global variables
26 -----*/
27 unsigned char BATMON_control_reg; // global controll register
28 unsigned char BUTTON_state; // actual button state
29 unsigned char RADIO_rx_state; // data receive state
30 unsigned char UART_menu_position; // UART_menue position
31
32 unsigned char WDT_function; // WDT function, BLINKY for RTC SETUP or
    RTC for RTC mode
33 unsigned char RTC_menue_position; // menue position in RTC setup
34
35 unsigned char Enable_clear_lcd; // clear first LCD row
36

```

```

37 unsigned char SENSOR_addr_req[5];           // array for intervall mode, shows
      required address
38 unsigned char SENSOR_address[40];          // array with sensor address
39 unsigned char SENSOR_active;               // active sensor count
40 unsigned char SENSOR_last_data[8][40];     // last received data from ecah sensor
41
42 RADIO_FRAME_STRUCT    RADIO_frame;        // received data frame
43 RTC_MSP430            RTC_values;         // global RTC values
44
45 unsigned char global_string[MAX_STRING_LENGTH]; // global command string
46
47 //alles für den Flash
48 unsigned char  WRITE_BUF [BUF_SIZE];
49 unsigned char  READ_BUF [BUF_SIZE];
50 unsigned char  Ring_Full;
51 unsigned short Index_Ring;
52 unsigned short Count_Ring;
53 unsigned short Index_Last;
54
55
56 /*-----
57      MAIN LOOP
58 -----*/
59 int main (void)
60 {
61     unsigned char OSC_error;
62     unsigned char UART_error;
63
64     RTC_MSP430 RTC_tmp={0,0,0,0};
65
66 /*-----
67      Set local/global variables
68 -----*/
69     // init clock
70     RTC_values.day      = 29;
71     RTC_values.month    = 01;
72     RTC_values.year     = 2008;
73     RTC_values.wday     = MON;
74     RTC_values.hr       = 23;
75     RTC_values.min      = 59;
76     RTC_values.sec      = 55;
77
78     Index_Ring = 256;           // default address in flash
79     Index_Last = 256;
80
81     UART_menu_position = UART_MENU_FIRSTCHAR;
82     Enable_clear_lcd = OFF;
83
84 //-----
85
86     //OSC_error = DCO_set(uC_FREQUENCY); // internal oscillator
87     OSC_error = XT2_set(uC_FREQUENCY); // external oscillator
88     // initialise USART, enable RX&TX interrupt and RX&TX modul
89     USART0_init(RX_INT, RX_TX);
90     // initialise PORT direction/function
91     PORTS_init();
92     // initialise 16x2 character LCD
93     LCD_init();
94     // initilise TIMERB, debounce function for button B1-B3
95     TIMERB_init();
96     // initialise RTC
97     RTC_startup();
98     // initialise Flash
99     init_Flash();
100    // initialise radio unit
101    RADIO_init();
102    // global interrupt enable

```

```

103     _EINT();
104     // read controll data from flash?
105     FLASH_read_at_startup();
106     // display time on LCD
107     LCD_send_time();
108     // stop measurement
109     UART_menu_stop();
110     // switch LEDS off
111     LED1_OFF;
112     LED2_OFF;
113
114     while(1)
115     {
116         RTC_compare(&RTC_tmp);
117             // look if real time clock values changed
118
119         if (BATMON_control_reg & GLOBAL_STRING_RECEIVED) // string from
120             UART received
121         {
122             UART_error = UART0_cmp_string();
123             // compare string with valid comands
124
125             if (UART_error)
126                 UART0_send_text("NOK\r\n");
127             else
128                 UART0_send_text("OK\r\n");
129
130             BATMON_control_reg &= !GLOBAL_STRING_RECEIVED; // clear global
131             value
132         }
133
134         if (BATMON_control_reg & VALID_DATA_RECEIVED) // data received
135             from sensor
136         {
137             RADIO_store_frame();
138             // store valid frame in flash
139             LCD_send_sensor(RADIO_frame.frame_byte[3]); // show
140             sensor address on LCD
141             RADIO_enable();
142             // enable radio modul
143             BATMON_control_reg &= !VALID_DATA_RECEIVED; // clear
144             global value
145         }
146
147         if (BATMON_control_reg & CLEAR_FIRST_LCD_ROW) // clear first
148             LCD row
149         {
150             LCD_send_cmd(LCD_LINE1);
151             LCD_send_text(" ");
152             BATMON_control_reg &= !CLEAR_FIRST_LCD_ROW;
153         }
154
155         if((BATMON_control_reg & B1) || (BATMON_control_reg & B2)
156             || (BATMON_control_reg & B3))
157             // Button pressed jump into menu
158         {
159             BATMON_control_reg &= ~(B1|B2|B3);
160             // clear button state
161             BATMON_menu_options();
162         }
163     }
164
165     return (0);
166 }

```

Listing B.9: Header der Hauptschleife (main.h)

```

1  /*-----
2      Project:                MSP430 project header
3      Used components:       MSP430-169STK
4      Date:                  10/28/2007
5      Last update:          04/04/2008
6      Author:                Stephan Plaschke
7  -----*/
8
9  #ifndef MAIN_H_
10 #define MAIN_H_
11
12 /*-----
13      Defined values, equal in each project, don't change
14 -----*/
15
16 /* Defines for selected frequencies, claculation:          */
17 /* low power crystal frequency divided by 8 = 4096Khz      */
18 /* timer uses DCO frequency and counts up in one ACLK wave */
19 /* e.g. 1/(2MHz)*488 = 0,000244s = 4098kHz                */
20 #define MHZ_1                244
21 #define MHZ_2                488
22 #define MHZ_4                976
23 #define MHZ_8                1952
24
25 #define MAX_STRING_LENGTH    15                // max stringlength for UART
26
27 #define GLOBAL_STRING_RECEIVED 0x02           // value in BATMON_control_reg
28 #define VALID_DATA_RECEIVED  0x04           // value in BATMON_control_reg
29 #define CLEAR_FIRST_LCD_ROW  0x08           // value in BATMON_control_reg
30
31 #define PRINTF_LCD            (BATMON_control_reg |= 0x01)
32 #define PRINTF_UART          (BATMON_control_reg &= ~0x01)
33
34 enum boolean {FALSE, TRUE};
35 enum status {OFF, ON};
36
37 enum uart_interrupts {RX_INT, TX_INT, RX_TX_INT};
38 enum uart_modules {RX, TX, RX_TX};
39 enum uart_speed {BAUD_4800, BAUD_9600, BAUD_19k2, BAUD_115k2};
40
41 enum escapes{ SPACE = ' ', BACKSPACE = '\b', HTAB = '\t',
42              RETURN = '\r', NEWLINE = '\n', VTAB = '\v',
43              NULLTERMINATOR = '\0'};
44
45
46 /*-----
47      Defined values
48 -----*/
49
50 #define MSP430x169            1                /* select the used MSP430
51                                     */
52
53 #define uC_FREQUENCY          MHZ_8           /* select the MSP430 frequency (1,2,4,8 MHz)
54                                     */
55
56 #define ADC0_BIT              0x10           /* define ADC0_portpin for PxSEL register
57                                     */
58 #define ADC0_BS               INCH_4         /* define ADC0_portpin for ADC1xMCTL0
59                                     register */
60
61 #define USART_SEL            0x30           /* define USART pins
62                                     */
63 #define USART_DIR            0x10           /* define USART pin direction */
64 #define USART_BAUD           BAUD_115k2     /* define USART BAUDRATE (BAUD_4800,
65                                     BAUD_9600, BAUD_19k2, BAUD_115k2(only@4&8MHz) )
66                                     */

```

```

60 /* PORT definitions, 1->output, 0->input */
61 /* PORTX_IES 0-> rising edge, 1->falling edge */
62 /* PORTX_IE 0-> interrupt disabled, 1->interrupt enabled */
63 #define PORT1_DIR          0x00
64 #define PORT1_SEL          0x02
65 #define PORT1_IES          0xE0
66 #define PORT1_IE          0x00
67
68 #define PORT2_DIR          0x1F
69 #define PORT2_SEL          0x00
70 #define PORT2_IES          0x00
71 #define PORT2_IE          0x00
72
73 #define PORT3_DIR          BIT7 | BIT6 | USART_DIR
74 #define PORT3_SEL          USART_SEL
75
76 #define PORT4_DIR          0xFF
77 #define PORT4_SEL          0x00
78
79 #define PORT5_DIR          0xFF
80 #define PORT5_SEL          0x00
81
82 #define PORT6_DIR          ADC0_BIT
83 #define PORT6_SEL          ~ADC0_BIT
84
85 #define LED1_ON             (P3OUT &= ~BIT6)
86 #define LED1_OFF           (P3OUT |= BIT6)
87 #define LED1_TOGGLE        (P3OUT ^= BIT6)
88
89 #define LED2_ON             (P3OUT &= ~BIT7)
90 #define LED2_OFF           (P3OUT |= BIT7)
91 #define LED2_TOGGLE        (P3OUT ^= BIT7)
92
93 #define B1                  0x20
94 #define B2                  0x40
95 #define B3                  0x80
96 #define BUTTON_INPUT       (~(P1IN | 0x1F))
97
98
99
100 #endif /*MAIN_H_*/

```

Listing B.10: Quellcode der Mikrocontroller spezifischen Funktionen (MSP_functions.c)

```

1  /*-----
2      Project:                Specialfunctions for the MSP430x1232 and
3      MSP430x169
4      Used components:        MSP430-169STK
5      Date:                   10/28/2007
6      Last update:            09/05/2008
7      Author:                 Stephan Plaschke
8
9  -----
10     Headerfiles
11  -----*/
12 #include <ISR.h>
13 #include <RTC.h>
14 #include <main.h>
15 #include <flash.h>
16 #include <stdio.h>
17 #include <flash.h>
18 #include <stdlib.h>
19 #include <string.h>
20 #include <signal.h>
21 #include <lcd16x2.h>

```

```

22 #include <msp430x16x.h>
23 #include <uart_menu.h>
24 #include <MSP_functions.h>
25
26 /*-----
27     Static
28     -----*/
29 static unsigned char *BATMON_menu_msg[8]={
30     " Show sensors  ",
31     " Start recording",
32     " Stop recording ",
33     " Load contr.data",
34     " Save contr.data",
35     " Set date/time  ",
36     "NEXT  OK   EXIT",
37     "YES   NO   "
38 };
39
40
41 /*-----
42     Functions
43     -----*/
44
45 /*-----
46     Set DCO to selected frequency
47     clk_multi is the multiplier of the A_clk (32768KHz)
48     Error_code:
49     0      ->    no error
50     1      ->    oscillator error
51     -----*/
52 unsigned char DCO_set (unsigned int clk_multi)
53 /*-----*/
54 {
55     unsigned int Compare, Oldcapture = 0;
56     unsigned int Max_turns=10000;
57     unsigned char Error_code=0;
58
59     BCSCTL1 |= DIVA_3;                // ACLK= LFX1CLK/8
60     CCTL2 = CM_1 + CCIS_1 + CAP;     // CAP, ACLK
61     TACTL = TASSEL_2 + MC_2 + TACLR; // SMCLK, cont-mode, clear
62
63     while (1)
64     {
65         while (!(CCIFG & CCTL2));    // Wait until capture occurred
66         CCTL2 &= ~CCIFG;            // Clear flag
67         Compare = CCR2;              // Get current captured SMCLK
68         Compare = Compare - Oldcapture; // SMCLK difference
69         Oldcapture = CCR2;          // get current captured SMCLK
70
71         if (clk_multi == Compare)    // clk_multi = compare then exit
72         {
73             Error_code = 0;          // no error occurs
74             break;
75         }
76         else if (clk_multi < Compare) // too fast, slow it down
77         {
78             DCOCTL--;                /* decrease DCOCTL register
79             * if DCOCTL overrun and basic clock register RSELx bits are not
80             * equal 0
81             * decrease RSELx bits
82             */
83             if ((DCOCTL == 0xFF) && (!(BCSCTL1 == (XT2OFF + DIVA_3))))
84                 BCSCTL1--;
85         }
86         else
87             // too slow, fast
88             it up
89     }
90 }

```

```

86         DCOCTL++;          /* increase DCOCTL register
87         * if DCOCTL overrun and basic clock register RSELx bits are equal 1
88         * increase RSELx bits
89
90         if ((DCOCTL == 0x00) && (!(BCSCTL1 == (XT2OFF + 0x07 + DIVA_3))))
91             BCSCTL1++;
92     }
93
94     if (!(--Max_turns))    // if 10k turns reached exit with error
95     {
96         Error_code = 1;
97         break;
98     }
99     CCTL2 = 0;                // Stop CCR2
100    TACTL = 0;                // Stop Timer_A
101    BCSCTL1 &= ~DIVA_3;      // restore BCSCTL1
102    BCSCTL2 &= ~(DIVS_3 | DIVM_3); // restore BCSCTL2
103
104    return (Error_code);
105 }
106
107
108 /*-----
109 Set XT2 to selected frequency
110 clk_multi is the multiplier of the A_clk (32768KHz)
111 Error_code:
112 0    ->    no error
113 1    ->    external oscillator error
114 2    ->    clock wrong, set to 4MHZ
115 -----*/
116 unsigned char XT2_set (unsigned int clk_multi)
117 /*-----
118 {
119     unsigned int Max_turns = 1000;
120     unsigned char i, Error_code = 0;
121
122     _BIC_SR(OSCOFF);                // switch LFXT on
123     BCSCTL1 &= ~XT2OFF;            // XT2on
124
125     do
126     {
127         IFG1 &= ~OFIFG;            // Clear OSCFault flag
128         for (i = 0xFF; i > 0; i--); // Time for flag to set
129
130         if (!(--Max_turns))        // stop after 1k tries, error with ext osc!
131         {
132             Error_code = 1;
133             break;
134         }
135     }
136     while ((IFG1 & OFIFG));        // OSCFault flag still set?
137
138     BCSCTL2 |= SELM_2 | SELS;      // MCLK = SMCLK = XT2 (safe)
139
140     switch (clk_multi)
141     {
142     case MHZ_8:
143         BCSCTL2 &= ~(DIVS_3 | DIVM_3); // SMCLK&MCLK = XT2 / 1
144         break;
145     case MHZ_4:
146         BCSCTL2 |= DIVS_1 | DIVM_1;    // SMCLK&MCLK = XT2 / 2
147         break;
148     case MHZ_2:
149         BCSCTL2 |= DIVS_2 | DIVM_2;    // SMCLK&MCLK = XT2 / 4
150         break;
151     case MHZ_1:

```

```

152         BCSCTL2 |= DIVS_3 | DIVM_3;           // SMCLK&MCLK = XT2 / 8
153         break;
154     default:
155         Error_code = 2;
156         BCSCTL2 |= DIVS_1 | DIVM_1;           // SMCLK&MCLK = XT2 / 2
157         break;
158     }
159
160     return (Error_code);
161 }
162
163
164 /*-----
165     putchar() defined for use with printf
166     PRINTF_LCD :   output on LCD of the MSP430x169STK board
167     PRINTF_UART:   output through RS232
168 -----*/
169 int putchar(int c)
170 //-----
171 {
172     UART0_send((unsigned char)c);
173     return(c);
174 }
175
176 //*****
177 /*-----
178     MSP430x169 specific functions
179 -----*/
180
181 /*-----
182     PORTS init
183 -----*/
184 void PORTS_init(void)
185 /*-----*/
186 {
187
188     P1SEL = PORT1_SEL;           // Port1 I/O Funktion
189     P1DIR = PORT1_DIR;           // Port1 Ausgang
190     P1IES = PORT1_IES;           // Port1 interrupt edge select
191     P1IE  = PORT1_IE;           // Port1 interrupt enable
192
193     P2SEL = PORT2_SEL;           // Port2 I/O Funktion
194     P2DIR = PORT2_DIR;           // Port2 Ausgang
195     P2IES = PORT2_IES;           // Port2 interrupt edge select
196     P2IE  = PORT2_IE;           // Port2 interrupt enable
197
198     P3SEL = PORT3_SEL;           // enable special funktion on PIN3.4, 3.5
199     P3DIR = PORT3_DIR;           // set direction, PIN3.4 OUTPUT
200
201     P4OUT = PORT4_SEL;           // LCD ini, set PORT4 as output
202     P4DIR = PORT4_DIR;
203
204     P5SEL = PORT5_SEL;           // Port5 I/O Funktion
205     P5DIR = PORT5_DIR;           // Port5 Ausgang
206
207     P6SEL = PORT6_SEL;           // P6.x ADC option select
208     P6DIR = PORT6_DIR;
209 }
210
211
212 /*-----
213     ADC0 init
214 -----*/
215 void ADC0_init(void)
216 /*-----*/
217 {
218     ADC12CTL0 = ADC12ON+SHT0_0+REFON+REF2_5V; // ADC12ON / reference on 2.5V

```

```

219     ADC12CTL1 = SHP;                                     // SHP benutzen
220     ADC12MCTL0 = SREF_1+ADCO_BS;                       // Vr+=Vref+, ADC0
        bitselect
221 }
222
223
224 /*-----
225     get ADC0 result
226 -----*/
227 int ADC0_sampling(void)
228 /*-----*/
229 {
230     ADC12CTL0 |= ADC12SC + ENC;                         // Sampling open
231     ADC12CTL0 &= ~ADC12SC;                             // Sampling closed, start
        conversion
232     while ((ADC12CTL1 & ADC12BUSY) == 1);             // ADC12 busy?
233     return(*ADC12MEM);                                 // return the
        value read from ADC
234 }
235
236
237 /*-----
238     Init USART0, automatic baud rate generation for selected uC frequency
239 -----*/
240 void USART0_init(unsigned char USART0_IRQ, unsigned char USART0_MODE)
241 /*-----*/
242 {
243     UCTL0 = SWRST + CHAR;                               // set 8bit, none parity and 1 stoppbit
244     UTCTL0 |= SSEL_2;                                  // set SMCLK as USART0_CLK
245
246     switch (uC_FREQUENCY)                              // set UART to selected mode with selected uC
        frequency
247     {
248     case MHZ_1:
249         switch (USART_BAUD)
250         {
251         case BAUD_19k2: UBR00 = 0x34;                  // see manual
252                         UBR10 = 0x00;
253                         UMCTL0 = 0x20;
254                         break;
255         case BAUD_9600: UBR00 = 0x68;                  // see manual
256                         UBR10 = 0x00;
257                         UMCTL0 = 0x04;
258                         break;
259         case BAUD_4800: UBR00 = 0xd0;                  // see manual
260                         UBR10 = 0x00;
261                         UMCTL0 = 0x92;
262                         break;
263         default: UBR00 = 0x68;                          // see manual
264                  UBR10 = 0x00;
265                  UMCTL0 = 0x04;
266         break;
267         };
268         break;
269     case MHZ_2:
270         switch (USART_BAUD)
271         {
272         case BAUD_115k2: UBR00 = 0x11;                 // see manual
273                         UBR10 = 0x00;
274                         UMCTL0 = 0x52;
275                         break;
276         case BAUD_19k2: UBR00 = 0x68;                  // see manual
277                         UBR10 = 0x00;
278                         UMCTL0 = 0x04;
279                         break;
280         case BAUD_9600: UBR00 = 0xD0;                  // see manual
281                         UBR10 = 0x00;

```

```

282         UMCTL0 = 0x92;
283         break;
284     case BAUD_4800: UBR00 = 0xA0;           // see manual
285         UBR10 = 0x01;
286         UMCTL0 = 0x6D;
287         break;
288     default: UBR00 = 0x68;                 // see manual
289         UBR10 = 0x00;
290         UMCTL0 = 0x04;
291     break;
292 };
293 break;
294 case MHZ_4:
295     switch (USART_BAUD)
296     {
297     case BAUD_115k2: UBR00 = 0x22;       // see manual
298         UBR10 = 0x00;
299         UMCTL0 = 0xDD;
300         break;
301     case BAUD_19k2: UBR00 = 0xD0;       // see manual
302         UBR10 = 0x00;
303         UMCTL0 = 0x92;
304         break;
305     case BAUD_9600: UBR00 = 0xA0;       // see manual
306         UBR10 = 0x01;
307         UMCTL0 = 0x6D;
308         break;
309     case BAUD_4800: UBR00 = 0x41;       // see manual
310         UBR10 = 0x03;
311         UMCTL0 = 0x92;
312         break;
313     default: UBR00 = 0x68;             // see manual
314         UBR10 = 0x00;
315         UMCTL0 = 0x04;
316     break;
317 };
318 break;
319 case MHZ_8:
320     switch (USART_BAUD)
321     {
322     case BAUD_115k2: UBR00 = 0x45;       // see manual
323         UBR10 = 0x00;
324         UMCTL0 = 0xAA;
325         break;
326     case BAUD_19k2: UBR00 = 0xA0;       // see manual
327         UBR10 = 0x01;
328         UMCTL0 = 0x6D;
329         break;
330     case BAUD_9600: UBR00 = 0x41;       // see manual
331         UBR10 = 0x03;
332         UMCTL0 = 0x92;
333         break;
334     case BAUD_4800: UBR00 = 0x82;       // see manual
335         UBR10 = 0x6;
336         UMCTL0 = 0x6D;
337         break;
338     default: UBR00 = 0x68;             // see manual
339         UBR10 = 0x00;
340         UMCTL0 = 0x04;
341     break;
342 };
343 break;
344 }
345
346 switch (USART0_MODE)
347 {
348     case RX: ME1 |= URXE0;           // enable UART0 RX

```

```

349         break;
350     case TX: ME1 |= UTXE0;           // enable UART0 TX
351         break;
352     case RX_TX: ME1 |= (URXE0 | UTXE0); // enable UART0 TX&RX
353         break;
354     default: ME1 &= ~(UTXE0 | URXE0); // disable UART0 TX&RX
355         break;
356     }
357
358     UCTL0 &= ~SWRST;           // clear SWRST
359
360
361     switch (USART0_IRQ)
362     {
363     case RX_INT: IE1 |= URXIE0;           // enable UART0 RX ISR
364         break;
365     case TX_INT: IE1 |= UTXIE0;           // enable UART0 TX ISR
366         break;
367     case RX_TX_INT: IE1 |= UTXIE0+URXIE0; // enable UART0 TX&RX ISR
368         break;
369     default: IE1 &= ~UTXIE0+URXIE0; // disable UART0 TX&RX
370         ISR break;
371     }
372 }
373
374 /*-----
375     send character
376 -----*/
377 void UART0_send(unsigned char out_char)
378 /*-----*/
379 {
380     while(!(UTCTL0&TXEPT)); // look if USART0 still busy
381     TXBUF0 = out_char;     // write char in transmit buffer
382 }
383
384
385 /*-----
386     Send string to USART
387 -----*/
388 void UART0_send_text(char *out_string)
389 /*-----*/
390 {
391     while (*out_string) // *out_string != '\0'
392     {
393         UART0_send(*out_string); // send byte to LCD
394         out_string++;
395     }
396 }
397
398
399 /*-----
400     TIMERB init
401 -----*/
402 void TIMERB_init(void)
403 /*-----*/
404 {
405     // initialise TIMERB0, ACLK/1, up mode, capture/compare0 int
406     TBCTL &= ~MC_3; // disable
407     Timer_B
408     TBCTL = TBSSSEL_1 | TBCLR; // set timer register,
409     clear TAR
410     TBCCTL0 = CCIE; // set control
411     register
412     TBCCRO = 500;
413     TBCTL |= MC_1; // start Timer_B

```

```
412     _EINT();                // enable interrupts
413 }
414
415
416 /*-----
417     store receive frame
418 -----*/
419 void RADIO_store_frame(void)
420 /*-----*/
421 {
422     static DATA_STRUCT Data;
423     DATA_STRUCT *pData = &Data;
424
425     pData->C0 = RTC_values.day;
426     pData->C1 = RTC_values.month;
427     pData->C2 = (unsigned char)(RTC_values.year >> 8);
428     pData->C3 = (unsigned char)RTC_values.year;
429     pData->C4 = RTC_values.wday;
430     pData->C5 = RTC_values.hr;
431     pData->C6 = RTC_values.min;
432     pData->C7 = RTC_values.sec;
433     pData->C8 = RADIO_frame.frame_byte[3];
434     pData->C9 = RADIO_frame.frame_byte[4];
435     pData->C10 = RADIO_frame.frame_byte[5];
436     pData->C11 = RADIO_frame.frame_byte[6];
437     pData->C12 = RADIO_frame.frame_byte[7];
438     pData->C13 = RADIO_frame.frame_byte[8];
439     pData->C14 = RADIO_frame.frame_byte[9];
440     pData->C15 = RADIO_frame.frame_byte[10];
441
442     Write_Ring_Flash(pData);
443 }
444
445
446 /*-----
447     init receive frame
448 -----*/
449 void RADIO_init_frame(void)
450 /*-----*/
451 {
452     static DATA_STRUCT Data;
453     DATA_STRUCT *pData;
454
455     pData = &Data;
456
457     // store time and data
458     pData->C0 = RTC_values.day;
459     pData->C1 = RTC_values.month;
460     pData->C2 = (unsigned char)(RTC_values.year >> 8);
461     pData->C3 = (unsigned char)RTC_values.year;
462     pData->C4 = RTC_values.wday;
463     pData->C5 = RTC_values.hr;
464     pData->C6 = RTC_values.min;
465     pData->C7 = RTC_values.sec;
466     pData->C8 = 0x00;
467     pData->C9 = 0x00;
468     pData->C10 = 0x00;
469     pData->C11 = 0x00;
470     pData->C12 = 0x00;
471     pData->C13 = 0x00;
472     pData->C14 = 0x00;
473     pData->C15 = 0x00;
474
475     // write data to flash
476     Write_Ring_Flash(pData);
477 }
478
```

```

479
480 /*-----
481         init radio unit
482 -----*/
483 void RADIO_init(void)
484 /*-----*/
485 {
486     // initialise TIMERA0, SMCLK/8, continuous mode, capture on both edges, capture/
487     // compare0 int
488     TACTL = TASSEL_2 | ID_3 | TACLK; // set timer register, clear TAR
489     TACCTL0 = CM_1 | CAP | SCS | CCIE; // set control register
490     TACTL |= MC_2; // start Timer_A
491 }
492
493 /*-----
494         enable radio unit
495 -----*/
496 void RADIO_enable(void)
497 /*-----*/
498 {
499     // begin with new frame
500     global_string[0] = NULLTERMINATOR;
501     BATMON_control_reg &= ~VALID_DATA_RECEIVED; // clear global value
502     RADIO_rx_state = SE_SEQ_PREPARE;
503
504     TACCTL0 |= CCIE | CAP; // enable capture interrupt
505     TACTL |= MC_2; // stop Timer_A
506 }
507
508
509 /*-----
510         disable radio unit
511 -----*/
512 void RADIO_disable(void)
513 /*-----*/
514 {
515     TACTL &= ~MC_2; // stop Timer_A
516     TACCTL0 &= ~CAP;
517     TACCTL0 &= ~CCIE; // disable interrupt
518 }
519
520
521 /*-----
522         batmon main menu
523 -----*/
524 void BATMON_menu_options(void)
525 /*-----*/
526 {
527     unsigned char BATMON_menu_position;
528     unsigned char BATMON_menu_counter;
529     unsigned char time_tmp, i;
530
531     BATMON_menu_position = BATMON_MENU_MAIN;
532     BATMON_menu_counter = 0;
533
534     while(BATMON_menu_position != BATMON_MENU_EXIT)
535     {
536         switch(BATMON_menu_position)
537         {
538             case BATMON_MENU_START:
539                 LCD_send_cmd(LCD_LINE1);
540                 LCD_send_text(BATMON_menu_msg[1]);
541                 LCD_send_cmd(LCD_LINE2);
542                 LCD_send_text(BATMON_menu_msg[7]);
543
544                 while(1)

```

```
545     {
546         if(BATMON_control_reg & B1)    // Button 1 = YES,
547         {
548             UART_menu_start();
549             BATMON_control_reg &= ~(B1|B2|B3);
550             // clear button state
551             break;                               // exit
552             while loop
553         }
554         if(BATMON_control_reg & B2)    // Button 2 = NO,
555         {
556             BATMON_control_reg &= ~(B1|B2|B3);
557             // clear button state
558             break;                               // exit
559             while loop
560         }
561     }
562     BATMON_menu_position = BATMON_MENU_EXIT;
563     break;    // exit switch case
564
565 case BATMON_MENU_STOP:
566     LCD_send_cmd(LCD_LINE1);
567     LCD_send_text(BATMON_menu_msg[2]);
568     LCD_send_cmd(LCD_LINE2);
569     LCD_send_text(BATMON_menu_msg[7]);
570
571     while(1)
572     {
573         if(BATMON_control_reg & B1)    // Button 1 = YES,
574         {
575             UART_menu_stop();
576             BATMON_control_reg &= ~(B1|B2|B3);
577             // clear button state
578             break;                               // exit
579             while loop
580         }
581         if(BATMON_control_reg & B2)    // Button 2 = NO,
582         {
583             BATMON_control_reg &= ~(B1|B2|B3);
584             // clear button state
585             break;                               // exit
586             while loop
587         }
588     }
589     BATMON_menu_position = BATMON_MENU_EXIT;
590     break;    // exit switch case
591
592 case BATMON_MENU_SAVE:
593     LCD_send_cmd(LCD_LINE1);
594     LCD_send_text(BATMON_menu_msg[4]);
595     LCD_send_cmd(LCD_LINE2);
596     LCD_send_text(BATMON_menu_msg[7]);
597
598     while(1)
599     {
600         if(BATMON_control_reg & B1)    // Button 1 = YES,
601         {
602             UART_menu_write_controll();
603             BATMON_control_reg &= ~(B1|B2|B3);
604             // clear button state
605             break;                               // exit
606             while loop
607         }
608         if(BATMON_control_reg & B2)    // Button 2 = NO,
```

```

602         BATMON_control_reg &= ~(B1|B2|B3);
603             // clear button state
604         break; // exit
605     while loop
606 }
607
608     BATMON_menu_position = BATMON_MENU_EXIT;
609     break; // exit switch case
610
611 case BATMON_MENU_LOAD:
612     LCD_send_cmd(LCD_LINE1);
613     LCD_send_text(BATMON_menu_msg[3]);
614     LCD_send_cmd(LCD_LINE2);
615     LCD_send_text(BATMON_menu_msg[7]);
616
617     while(1)
618     {
619         if(BATMON_control_reg & B1) // Button 1 = YES,
620         {
621             UART_menu_read_controll();
622             BATMON_control_reg &= ~(B1|B2|B3);
623             // clear button state
624             break; // exit
625             while loop
626         }
627         if(BATMON_control_reg & B2) // Button 2 = NO,
628         {
629             BATMON_control_reg &= ~(B1|B2|B3);
630             // clear button state
631             break; // exit
632             while loop
633         }
634     }
635
636     BATMON_menu_position = BATMON_MENU_EXIT;
637     break; // exit switch case
638
639 case BATMON_MENU_RTC:
640     LCD_send_cmd(LCD_LINE1); // clear first LCD row
641     LCD_send_text(" ");
642     RTC_init(); // enter
643     RTC init mode
644
645     BATMON_menu_position = BATMON_MENU_EXIT;
646     break; // exit switch case
647
648 case BATMON_MENU_SHOW:
649     time_tmp = RTC_values.sec + 5;
650
651     if (time_tmp > 59)
652         time_tmp -= 60;
653
654     LCD_send_cmd(LCD_LINE1);
655     LCD_send_text(" ");
656     LCD_send_cmd(LCD_LINE2);
657     LCD_send_text(" ");
658     LCD_send_cmd(LCD_LINE1);
659
660     while(time_tmp != RTC_values.sec)
661     {
662         for(i=0; i<SENSOR_active; i++)
663         {
664             // jump to second line if maximum of line one
665             reached
666             if(((i%16) == 0) && (i!=0)) LCD_send_cmd(
667                 LCD_LINE2);

```

```

660
661 // i/8 = byte-, i%8 = bit position in array
662 if((SENSOR_addr_req[(i/8)] >> (i%8)) & 0x01)
663     LCD_send_data('.')');
664 else
665     LCD_send_data('*');
666 }
667
668 LCD_send_cmd(LCD_LINE1);
669 }
670
671 LCD_send_cmd(LCD_LINE1);
672 LCD_send_text(" ");
673
674 BATMON_menu_position = BATMON_MENU_EXIT;
675 break; // exit switch case
676
677 case BATMON_MENU_MAIN:
678     LCD_send_cmd(LCD_LINE1);
679     LCD_send_text(BATMON_menu_msg[0]);
680     LCD_send_cmd(LCD_LINE2);
681     LCD_send_text(BATMON_menu_msg[6]);
682
683 while(1)
684 {
685     // Button B1 pressed, scroll through menu
686     if(BATMON_control_reg & B1)
687     {
688         if (++BATMON_menu_counter > 5)
689         {
690             BATMON_menu_counter = 0;
691         }
692
693         LCD_send_cmd(LCD_LINE1);
694         LCD_send_text(BATMON_menu_msg[BATMON_menu_counter
695             ]);
696         BATMON_control_reg &= ~(B1|B2|B3);
697         // clear button state
698     }
699
700     // Button B2 pressed, accept menu item
701     else if(BATMON_control_reg & B2)
702     {
703         switch (BATMON_menu_counter)
704         {
705             case 0:
706                 BATMON_menu_position = BATMON_MENU_SHOW;
707                 break; // exit switch case
708             case 1:
709                 BATMON_menu_position = BATMON_MENU_START;
710                 break; // exit switch case
711             case 2:
712                 BATMON_menu_position = BATMON_MENU_STOP;
713                 break; // exit switch case
714             case 3:
715                 BATMON_menu_position = BATMON_MENU_LOAD;
716                 break; // exit switch case
717             case 4:
718                 BATMON_menu_position = BATMON_MENU_SAVE;
719                 break; // exit switch case
720             case 5:
721                 BATMON_menu_position = BATMON_MENU_RTC;
722                 break; // exit switch case
723         }
724
725         BATMON_control_reg &= ~(B1|B2|B3);
726         // clear button state

```

```

724         break;           // exit while loop
725     }
726     // Button B3 pressed, exit menu
727     else if(BATMON_control_reg & B3)
728     {
729         if (Enable_clear_lcd == ON)
730         {
731             LCD_send_cmd(LCD_LINE1);
732             LCD_send_text("           ");
733         }
734         else
735         {
736             LCD_send_cmd(LCD_LINE1);
737             LCD_send_text(" Radio disabled ");
738         }
739         LCD_send_time();
740         BATMON_menu_position = BATMON_MENU_EXIT;
741         BATMON_control_reg &= ~(B1|B2|B3);
742         // clear button state
743         break;           // exit while loop
744     }
745     break;           // exit switch case
746 }
747 }
748 // set text in first LCD line
749 if (Enable_clear_lcd == OFF)
750 {
751     LCD_send_cmd(LCD_LINE1);
752     LCD_send_text(" Radio disabled ");
753 }
754
755 // set time on second LCD line
756 LCD_send_time();
757 }

```

Listing B.11: Header der Mikrocontroller spezifischen Funktionen (MSP_functions.h)

```

1  /*-----
2      Project:           MSP430 MSP_functions header
3      Used components:  MSP430-169STK
4      Date:             02/14/2008
5      Last update:     09/05/2008
6      Author:          Stephan Plaschke
7  -----*/
8
9  #ifndef MSP_FUNCIONS_H_
10 #define MSP_FUNCIONS_H_
11
12 /*-----
13     Includes
14 -----*/
15 #include <RTC.h>
16 #include <ISR.h>
17 #include <flash.h>
18
19 /*-----
20     Defined values
21 -----*/
22 enum bmon_menu{ BATMON_MENU_START, BATMON_MENU_STOP, BATMON_MENU_LOAD,
23                BATMON_MENU_SAVE, BATMON_MENU_RTC, BATMON_MENU_EXIT,
24                BATMON_MENU_SHOW, BATMON_MENU_MAIN};
25
26
27 /*-----
28     Global variables

```

```

29 -----*/
30 extern unsigned char BATMON_control_reg;
31
32 extern unsigned char global_string[MAX_STRING_LENGTH];
33 extern unsigned char RADIO_rx_state; // data receive
34     state
35
36 extern RTC_MSP430           RTC_values;
37     // global RTC values
38 extern RADIO_FRAME_STRUCT  RADIO_frame; // received data
39     frame
40
41 extern unsigned char SENSOR_addr_req[5]; // array for intervall mode, shows
42     required address
43 extern unsigned char SENSOR_active; // active sensor count
44
45 /*-----
46     Prototypes
47 -----*/
48
49 unsigned char DCO_set(unsigned int);
50 unsigned char XT2_set(unsigned int);
51
52 void PORTS_init(void);
53 void ADC0_init(void);
54 void USART0_init (unsigned char, unsigned char);
55
56 int ADC0_sampling(void);
57 void UART0_send (unsigned char);
58 void UART0_send_text(char *);
59 unsigned char UART0_cmp_string(void);
60
61 void RADIO_init_frame(void);
62 void RADIO_init(void);
63 void RADIO_show_received_data(void);
64 void RADIO_store_frame(void);
65 void RADIO_enable(void);
66 void RADIO_disable(void);
67
68 void BATMON_menu_options(void);
69
70 void TIMERB_init(void);
71
72 unsigned char* DEZ2HEX(unsigned char);
73
74 #endif /*MSP_FUNCIONS_H_*/

```

Listing B.12: Quellcode der Real Time Clock (RTC.c)

```

1  /*-----
2     Project:           MSP430 RTC source file
3     Used components:  MSP430-169STK
4     Date:             02/08/2008
5     Last update:     09/05/2008
6     Author:          Stephan Plaschke
7  -----
8
9  -----
10     Headerfiles
11 -----*/
12 #include <RTC.h>
13 #include <main.h>
14 #include <stdio.h>
15 #include <signal.h> // needed for interrupt
16 #include <lcd16x2.h>

```

```

17 #include <msp430x16x.h>
18 #include <MSP_functions.h>
19
20
21 /*-----
22         Static
23 -----*/
24 static unsigned char *RTC_days [7]={
25     "MON ",
26     "TUE ",
27     "WED ",
28     "THU ",
29     "FRY ",
30     "SAT ",
31     "SUN "
32 };
33
34 static unsigned char *RTC_months [12]={
35     "Jan",
36     "Feb",
37     "Mar",
38     "Apr",
39     "May",
40     "Jun",
41     "Jul",
42     "Aug",
43     "Sep",
44     "Oct",
45     "Nov",
46     "Dec"
47 };
48 /*-----
49         RTC init
50 -----*/
51 void RTC_init(void)
52 /*-----*/
53 {
54     unsigned char time_char;
55
56     RTC_menue_position = RTC_MENUE_DAY;
57     BATMON_control_reg &= ~(B1 | B2 | B3);
58
59     /* initialise watchdog timer used for BLINKY, intervall mode, 1/4sec */
60     WDTCTL = WDTPW | WDTTMSSEL | WDTCNTCL | WDTSSSEL | WDTIS_1; /* 1/4sec
        intervall mode */
61     WDT_function = BLINKY;
62     IE1 |= WDTIE; /* enable Watchdog interrupt */
63
64     /* initialise TIMERB0, ACLK/1, up mode, capture/compare0 int*/
65     /*TBCTL      &= ~MC_3; //
        disable Timer_B
66     TBCTL = TBSSEL_1 | TBCLR; // set timer register,
        clear TAR
67     TBCCTL0 = CCIE; // set control
        register
68     TBCCRO = 500;
69     TBCTL |= MC_1; // start Timer_B
70     */
71     /* global interrupt enable */
72     _EINT();
73
74     /* display real time and weekday */
75     LCD_send_date();
76 /*-----
77     Edit the date
78 -----*/
79     do

```

```

80     {
81     /* if B1 and B2 are pressed exit the RTC_EDIT_MODE */
82         if ((BATMON_control_reg & B1) && (BATMON_control_reg & B2))
83         {
84             BATMON_control_reg &= ~(B1 | B2);
85             RTC_menue_position = RTC_MENUUE_EXIT;
86         }
87     /* only B1 is pressed decrement the editable value(day,sec,min,hr) */
88         else if(BATMON_control_reg & B1)
89         {
90             BATMON_control_reg &= ~B1;                // clear button
91             state variable
92             LED2_TOGGLE;
93             switch(RTC_menue_position)
94             {
95             case RTC_MENUUE_DAY: if(RTC_values.day == 1) RTC_values.
96                 day = 31;
97                 else RTC_values.day--;
98                 break;
99             case RTC_MENUUE_MONTH: if(RTC_values.month == 0)
100                 RTC_values.month = 11;
101                 else RTC_values.month--;
102                 break;
103             case RTC_MENUUE_YEAR: if(RTC_values.year == 0) RTC_values.
104                 year = 4000;
105                 else RTC_values.year--;
106                 break;
107             default: break;
108             }
109         }
110     /* only B2 is pressed increment the editable value(day,sec,min,hr) */
111         else if(BATMON_control_reg & B2)
112         {
113             BATMON_control_reg &= ~B2;                // clear button
114             state variable
115             LED2_TOGGLE;
116             switch(RTC_menue_position)
117             {
118             case RTC_MENUUE_DAY: if(RTC_values.day == 31) RTC_values.
119                 day = 1;
120                 else RTC_values.day++;
121                 break;
122             case RTC_MENUUE_MONTH: if(RTC_values.month == 11)
123                 RTC_values.month = 0;
124                 else RTC_values.month++;
125                 break;
126             case RTC_MENUUE_YEAR: if(RTC_values.year == 4000)
127                 RTC_values.year = 0;
128                 else RTC_values.year++;
129                 break;
130             default: break;
131             }
132         }
133     /* only B3 is pressed change the editable value */
134         else if(BATMON_control_reg & B3)
135         {
136             BATMON_control_reg &= ~B3;                // clear button state variable
137             LED2_TOGGLE;
138             /* display previews editable value */
139             switch(RTC_menue_position)
140             {
141             case RTC_MENUUE_DAY: LCD_send_cmd(LCD_RTC_DAY);
142                 time_char = (RTC_values.day / 10) + 48;
143                 LCD_send_data(time_char);
144                 time_char = (RTC_values.day % 10) + 48;
145                 LCD_send_data(time_char);
146                 break;

```

```

139         case RTC_MENUUE_MONTH: LCD_send_cmd(LCD_RTC_MONTH);
140             LCD_send_text(RTC_months[RTC_values.month]);
141             break;
142         case RTC_MENUUE_YEAR: LCD_send_cmd(LCD_RTC_YEAR);
143             time_char = RTC_values.year / 1000;
144             LCD_send_data(time_char+48);
145             time_char = (RTC_values.year / 100) - ((
146                 RTC_values.year/1000) * 10);
147             LCD_send_data(time_char+48);
148             time_char = (RTC_values.year / 10) - ((RTC_values
149                 .year/100) * 10);
150             LCD_send_data(time_char+48);
151             break;
152         default: break;
153     }
154     /* change editable value */
155     if(RTC_menuue_position == RTC_MENUUE_YEAR)
156         RTC_menuue_position = RTC_MENUUE_DAY;
157     else
158         RTC_menuue_position++;
159 }
160 while(RTC_menuue_position != RTC_MENUUE_EXIT);
161
162
163 /*-----
164 Edit the weekday and time
165 -----*/
166 /* display real time and weekday */
167 IE1 &= ~WDTIE; // disable
168     Watchdog interrupt
169     RTC_menuue_position = RTC_MENUUE_WDAY;
170     LCD_send_time();
171     IE1 |= WDTIE; // enable Watchdog interrupt
172
173 do
174 {
175 /* if B1 and B2 are pressed exit the RTC_EDIT_MODE */
176     if ((BATMON_control_reg & B1) && (BATMON_control_reg & B2))
177     {
178         BATMON_control_reg &= ~(B1 | B2);
179         RTC_menuue_position = RTC_MENUUE_EXIT;
180     }
181 /* only B1 is pressed decrement the editable value(day,sec,min,hr) */
182     else if(BATMON_control_reg & B1)
183     {
184         BATMON_control_reg &= ~B1; // clear button
185         state variable
186         LED2_TOGGLE;
187         switch(RTC_menuue_position)
188         {
189             case RTC_MENUUE_WDAY: if(RTC_values.wday == MON)
190                 RTC_values.wday = SUN;
191                 else RTC_values.wday--;
192                 break;
193             case RTC_MENUUE_HR: if(RTC_values.hr == 0) RTC_values.hr =
194                 23;
195                 else RTC_values.hr--;
196                 break;
197             case RTC_MENUUE_MIN: if(RTC_values.min == 0) RTC_values.
198                 min = 59;
199                 else RTC_values.min--;
200                 break;
201             case RTC_MENUUE_SEC: if(RTC_values.sec == 0) RTC_values.
202                 sec = 59;
203                 else RTC_values.sec--;

```

```

198             break;
199             default: break;
200         }
201     }
202     /* only B2 is pressed increment the editable value(day,sec,min,hr) */
203     else if(BATMON_control_reg & B2)
204     {
205         BATMON_control_reg &= ~B2;           // clear button
206         state variable
207         LED2_TOGGLE;
208         switch(RTC_menue_position)
209         {
210             case RTC_MENUE_WDAY: if(RTC_values.wday == SUN)
211                 RTC_values.wday = MON;
212                 else RTC_values.wday++;
213                 break;
214             case RTC_MENUE_HR: if(RTC_values.hr == 23) RTC_values.hr
215                 = 0;
216                 else RTC_values.hr++;
217                 break;
218             case RTC_MENUE_MIN: if(RTC_values.min == 59) RTC_values.
219                 min = 0;
220                 else RTC_values.min++;
221                 break;
222             case RTC_MENUE_SEC: if(RTC_values.sec == 59) RTC_values.
223                 sec = 0;
224                 else RTC_values.sec++;
225                 break;
226             default: break;
227         }
228     }
229     /* only B3 is pressed change the editable value */
230     else if(BATMON_control_reg & B3)
231     {
232         BATMON_control_reg &= ~B3;           // clear button state variable
233         LED2_TOGGLE;
234         /* display previews editable value */
235         switch(RTC_menue_position)
236         {
237             case RTC_MENUE_WDAY: LCD_send_cmd(LCD_RTC_WDAY);
238                 LCD_send_text(RTC_days[RTC_values.wday]);
239                 break;
240             case RTC_MENUE_HR: LCD_send_cmd(LCD_RTC_HR);
241                 time_char = (RTC_values.hr / 10) + 48;
242                 LCD_send_data(time_char);
243                 time_char = (RTC_values.hr % 10) + 48;
244                 LCD_send_data(time_char);
245                 break;
246             case RTC_MENUE_MIN: LCD_send_cmd(LCD_RTC_MIN);
247                 time_char = (RTC_values.min / 10) + 48;
248                 LCD_send_data(time_char);
249                 time_char = (RTC_values.min % 10) + 48;
250                 LCD_send_data(time_char);
251                 break;
252             case RTC_MENUE_SEC: LCD_send_cmd(LCD_RTC_SEC);
253                 time_char = (RTC_values.sec / 10) + 48;
254                 LCD_send_data(time_char);
255                 time_char = (RTC_values.sec % 10) + 48;
256                 LCD_send_data(time_char);
257                 break;
258             default: break;
259         }
260     }
261     /* change editable value */
262     if(RTC_menue_position == RTC_MENUE_SEC)
263         RTC_menue_position = RTC_MENUE_WDAY;
264     else
265         RTC_menue_position++;

```

```

260     }
261 }
262 while(RTC_menue_position != RTC_MENUE_EXIT);
263
264 /* initialise watchdog timer used for RTC, intervall mode, 1sec */
265 WDTCTL = WDTPW | WDTMSEL | WDTCNTCL | WDTSSSEL; /* 1sec intervall mode
        */
266 WDT_function = RTC;
267 IE1 |= WDTIE;
        /* enable Watchdog interrupt */
268
269 /* global interrupt disable */
270 //_DINT();
271
272 // switch LEDS off
273 LED1_OFF;
274 LED2_OFF;
275
276 /* display real time and day */
277 LCD_send_time();
278
279 if (Enable_clear_lcd == OFF)
280 {
281     LCD_send_cmd(LCD_LINE1);
282     LCD_send_text(" Radio disabled ");
283 }
284 }
285
286 /*-----
287     RTC compare tmp and real time
288 -----*/
289 void RTC_compare(RTC_MSP430 *RTC_tmp)
290 /*-----
291 {
292     unsigned char time_char;
293
294     /* compare old RTC values with real values */
295     if(RTC_values.wday != RTC_tmp->wday)
296     {
297         RTC_tmp->wday = RTC_values.wday;
298         LCD_send_cmd(LCD_RTC_WDAY);
299         LCD_send_text(RTC_days[RTC_values.wday]);
300     }
301     if(RTC_values.hr != RTC_tmp->hr)
302     {
303         RTC_tmp->hr = RTC_values.hr;
304         LCD_send_cmd(LCD_RTC_HR);
305         time_char = (RTC_values.hr / 10) + 48;
306         LCD_send_data(time_char);
307         time_char = (RTC_values.hr % 10) + 48;
308         LCD_send_data(time_char);
309     }
310     if(RTC_values.min != RTC_tmp->min)
311     {
312         RTC_tmp->min = RTC_values.min;
313         LCD_send_cmd(LCD_RTC_MIN);
314         time_char = (RTC_values.min / 10) + 48;
315         LCD_send_data(time_char);
316         time_char = (RTC_values.min % 10) + 48;
317         LCD_send_data(time_char);
318     }
319     if(RTC_values.sec != RTC_tmp->sec)
320     {
321         RTC_tmp->sec = RTC_values.sec;
322         LCD_send_cmd(LCD_RTC_SEC);
323         time_char = (RTC_values.sec / 10) + 48;
324         LCD_send_data(time_char);

```

```

325         time_char = (RTC_values.sec % 10) + 48;
326         LCD_send_data(time_char);
327     }
328 }
329 }
330
331
332 /*-----
333     RTC startup, set time/date or init timer only
334 -----*/
335 void RTC_startup(void)
336 //-----
337 {
338     LCD_send_cmd(LCD_LINE1);
339     LCD_send_text(" Set date/time ");
340     LCD_send_cmd(LCD_LINE2);
341     LCD_send_text("YES    NO    ");
342
343     while(1)
344     {
345         if(BATMON_control_reg & B1)    // Button 1 = YES,
346         {
347             RTC_init();
348             BATMON_control_reg &= ~(B1|B2|B3);    // clear
349                 button state
350             break;    // exit while loop
351         }
352         if(BATMON_control_reg & B2)    // Button 2 = NO,
353         {
354             /* initialise watchdog timer used for RTC, intervall mode, 1sec
355             */
356             WDTCTL = WDTPW | WDTTMSSEL | WDTCNTCL | WDTSSSEL;    // 1sec
357                 intervall mode */
358             WDT_function = RTC;
359             IE1 |= WDTIE;
360
361             /* enable Watchdog interrupt */
362
363             /* display real time and day */
364             LCD_send_time();
365             BATMON_control_reg &= ~(B1|B2|B3);    // clear
366                 button state
367             break;    // exit while loop
368         }
369     }
370 }
371
372 /*-----
373     Watchdog interrupt service routine
374 -----*/
375 interrupt (WDT_VECTOR) WATCH_DOG(void)
376 //-----
377 {
378     static uint8_t WDT_tmp;
379     static uint8_t BLINKY_state;
380
381     unsigned char time_char, j, address_byte, address_bit, i;
382
383     switch(WDT_function)
384     {
385     /* 1 sec timer for the real time clock */
386     case RTC:
387         if(++RTC_values.sec == 60)    // 60 seconds
388             reached?
389         {
390             RTC_values.sec = 0;
391
392             for (i=0; i<SENSOR_active; i++)

```

```

386     {
387         address_byte = i / 8;
388         address_bit = i % 8 ;
389
390         if (SENSOR_addr_req[address_byte] & (0x01 << address_bit)
391             )
392         {
393             for (j=0; j<8; j++)
394             {
395                 RADIO_frame.frame_byte[j+3] =
396                     SENSOR_last_data[j][i];
397             }
398             RADIO_store_frame();
399         }
400 // set sensors active every 60 seconds
401 switch(SENSOR_active)
402 {
403     case 12: // 12
404         sensors are configured
405         SENSOR_addr_req[0] = 0xFF; // set required sensors
406         values
407         SENSOR_addr_req[1] = 0x0F;
408         break;
409     case 24: // 24
410         sensors are configured
411         SENSOR_addr_req[0] = 0xFF; // set required sensors
412         SENSOR_addr_req[1] = 0xFF;
413         SENSOR_addr_req[2] = 0xFF;
414         break;
415     case 40: // 24
416         sensors are configured
417         SENSOR_addr_req[0] = 0xFF; // set required sensors
418         SENSOR_addr_req[1] = 0xFF;
419         SENSOR_addr_req[2] = 0xFF;
420         SENSOR_addr_req[3] = 0xFF;
421         SENSOR_addr_req[4] = 0xFF;
422         break;
423     default: // 6
424         sensors are configured
425         SENSOR_addr_req[0] = 0x3F; // set required sensors
426         break;
427 }
428
429 if(++RTC_values.min == 60)
430 // 60 minutes reached?
431 {
432     RTC_values.min = 0;
433     if(++RTC_values.hr == 24)
434 // 0 o'clock reached?
435     {
436         RTC_values.hr = 0;
437         if ((RTC_values.year % 4) == 0)
438 // leap year
439         {
440             RTC_values.day++;
441             if((RTC_values.month == 1)&&(RTC_values.
442                 day==30)) // february
443             {
444                 RTC_values.month++;
445                 RTC_values.day = 1;
446             }
447         }
448     }
449     else
450 // normal
451         year

```

```

440         {
441             RTC_values.day++;
442             if((RTC_values.month == 1)&&(RTC_values.
443                 day==29))
444                 {
445                     RTC_values.month++;
446                     RTC_values.day = 1;
447                 }
448         }
449         // 30 day update (April, June, August, October,
450             December)
451         if (((RTC_values.month == 3) || (RTC_values.month
452             == 5) || (RTC_values.month == 7) ||
453             (RTC_values.month == 9) || (
454                 RTC_values.month == 11)) &&
455             RTC_values.day == 31)
456         {
457             RTC_values.day = 1;
458             RTC_values.month++;
459         }
460         // 31 day update (january, March, Mai, July,
461             September, November)
462         if (RTC_values.day == 32)
463         {
464             RTC_values.day = 1;
465             RTC_values.month++;
466         }
467         // year update
468         if(RTC_values.month == 12)
469         {
470             RTC_values.month = 0;
471             RTC_values.year++;
472         }
473         // weekday update
474         if(++RTC_values.wday == (SUN+1))
475             RTC_values.wday = MON;
476     }
477 }
478 if (Enable_clear_lcd & ON)           // if radio enabled clear LCD/
479     reset rx process
480 {
481     // Clear LCD active message every 4 seconds
482     if( (!(RTC_values.sec+1) % 4))
483         BATMON_control_reg |= CLEAR_FIRST_LCD_ROW;
484     // reset rx process every 30 seconds
485     if(!(RTC_values.sec+1) % 30))
486         RADIO_enable();
487 }
488 break;
489 /* switch every 0,5 sec the editable value on or off, only in RTC_EDIT_MODE */
490 case BLINKY:
491     if(++WDT_tmp == 2)
492     {
493         WDT_tmp = 0;
494         LED1_TOGGLE;
495         if(BLINKY_state ^= 0x01)
496         {
497             switch (RTC_menue_position)
498             {
499                 case RTC_MENUE_WDAY: LCD_send_cmd(LCD_RTC_WDAY);

```

```

500         LCD_send_text(RTC_days[RTC_values.wday]);
501         break;
502     case RTC_MENUUE_HR: LCD_send_cmd(LCD_RTC_HR);
503         time_char = (RTC_values.hr / 10) + 48;
504         LCD_send_data(time_char);
505         time_char = (RTC_values.hr % 10) + 48;
506         LCD_send_data(time_char);
507         break;
508     case RTC_MENUUE_MIN: LCD_send_cmd(LCD_RTC_MIN);
509         time_char = (RTC_values.min / 10) + 48;
510         LCD_send_data(time_char);
511         time_char = (RTC_values.min % 10) + 48;
512         LCD_send_data(time_char);
513         break;
514     case RTC_MENUUE_SEC: LCD_send_cmd(LCD_RTC_SEC);
515         time_char = (RTC_values.sec / 10) + 48;
516         LCD_send_data(time_char);
517         time_char = (RTC_values.sec % 10) + 48;
518         LCD_send_data(time_char);
519         break;
520     case RTC_MENUUE_DAY: LCD_send_cmd(LCD_RTC_DAY);
521         time_char = (RTC_values.day / 10) + 48;
522         LCD_send_data(time_char);
523         time_char = (RTC_values.day % 10) + 48;
524         LCD_send_data(time_char);
525         break;
526     case RTC_MENUUE_MONTH: LCD_send_cmd(LCD_RTC_MONTH);
527         LCD_send_text(RTC_months[RTC_values.month]);
528         break;
529     case RTC_MENUUE_YEAR: LCD_send_cmd(LCD_RTC_YEAR);
530         time_char = RTC_values.year / 1000;
531         LCD_send_data(time_char+48);
532         time_char = (RTC_values.year / 100) - ((
533             RTC_values.year/1000) * 10);
534         LCD_send_data(time_char+48);
535         time_char = (RTC_values.year / 10) - ((RTC_values
536             .year/100) * 10);
537         LCD_send_data(time_char+48);
538         LCD_send_data(time_char+48);
539         break;
540     }
541     else
542     {
543         switch (RTC_menuue_position)
544         {
545         case RTC_MENUUE_WDAY: LCD_send_cmd(LCD_RTC_WDAY);
546             LCD_send_text(" ");
547             break;
548         case RTC_MENUUE_HR: LCD_send_cmd(LCD_RTC_HR);
549             LCD_send_text(" ");
550             break;
551         case RTC_MENUUE_MIN: LCD_send_cmd(LCD_RTC_MIN);
552             LCD_send_text(" ");
553             break;
554         case RTC_MENUUE_SEC: LCD_send_cmd(LCD_RTC_SEC);
555             LCD_send_text(" ");
556             break;
557         case RTC_MENUUE_DAY: LCD_send_cmd(LCD_RTC_DAY);
558             LCD_send_text(" ");
559             break;
560         case RTC_MENUUE_MONTH: LCD_send_cmd(LCD_RTC_MONTH);
561             LCD_send_text(" ");
562             break;
563         case RTC_MENUUE_YEAR: LCD_send_cmd(LCD_RTC_YEAR);
564             LCD_send_text(" ");

```

```

565         break;
566     }
567 }
568     }
569     break;
570     default: break;
571 }
572     IFG1 &= ~WDTIIFG;      /* clear watchdog interrupt flag */
573 }
574 }

```

Listing B.13: Header der Real Time Clock (RTC.h)

```

1  /*-----
2      Project:                MSP430 RTC header
3      Used components:       MSP430-169STK
4      Date:                  02/08/2008
5      Last update:          04/04/2008
6      Author:                Stephan Plaschke
7  -----*/
8
9  #ifndef RTC_H_
10 #define RTC_H_
11
12 /*-----
13     Structures
14 -----*/
15 typedef struct{
16     unsigned char hr;
17     unsigned char min;
18     unsigned char sec;
19     unsigned char wday;
20     unsigned char day;
21     unsigned char month;
22     unsigned int year;
23 } RTC_MSP430;
24
25 /*-----
26     Global variables
27 -----*/
28
29 extern RTC_MSP430 RTC_values;           // global RTC values
30
31 extern unsigned char WDT_function;      // WDT function, BLINKY for RTC
32     SETUP or RTC for RTC mode
33 extern unsigned char RTC_menue_position; // menue position in RTC setup
34 extern unsigned char RADIO_rx_state;    // data receive state
35
36 extern unsigned char Enable_clear_lcd;
37 extern unsigned char SENSOR_active;
38
39 extern unsigned char SENSOR_addr_req[5];
40 extern unsigned char SENSOR_addr_get[5];
41 extern unsigned char SENSOR_address[40];
42 extern unsigned char SENSOR_last_data[8][40];
43
44 extern unsigned char BATMON_control_reg; // global control register
45
46 /*-----
47     Defines
48 -----*/
49 enum week {MON, TUE, WED, THU, FRY, SAT, SUN};
50 enum wdt_state {RTC, BLINKY};
51 enum rtc_edit_menue {RTC_MENUE_WDAY, RTC_MENUE_HR, RTC_MENUE_MIN, RTC_MENUE_SEC,
                    RTC_MENUE_DAY, RTC_MENUE_MONTH, RTC_MENUE_YEAR,
                    RTC_MENUE_EXIT};

```

```

52
53
54 /*      clock position on LCD      */
55 #define LCD_RTC_SEC                (LCD_LINE2+10)
56 #define LCD_RTC_MIN                (LCD_LINE2+7)
57 #define LCD_RTC_HR                 (LCD_LINE2+4)
58 #define LCD_RTC_WDAY              LCD_LINE2
59 #define LCD_RTC_YEAR              (LCD_LINE2+7)
60 #define LCD_RTC_MONTH             (LCD_LINE2+3)
61 #define LCD_RTC_DAY               LCD_LINE2
62
63 /*-----
64      Prototypes
65 -----*/
66 void RTC_init(void);
67 void RTC_compare(RTC_MSP430 *);
68 void RTC_startup(void);
69
70
71
72 #endif /*RTC_H*/

```

Listing B.14: Quellcode der Menüfunktionen (UART_menu.c)

```

1  /*-----
2      Project:                UART menu
3      Used components:       MSP430-169STK
4      Date:                  04/04/2008
5      Last update:          04/04/2008
6      Author:                Stephan Plaschke
7  -----
8
9  -----
10     Headerfiles
11 -----*/
12 #include <ISR.h>
13 #include <main.h>
14 #include <stdio.h>
15 #include <flash.h>
16 #include <stdlib.h>
17 #include <string.h>
18 #include <lcd16x2.h>
19 #include <uart_menu.h>
20 #include <msp430x16x.h>
21 #include <MSP_functions.h>
22
23
24 /*-----
25     Static
26 -----*/
27 //      helpscreen and UART menu information
28 static unsigned char *UART_menu_cmd[9]={
29     "\r\n\tBattery monitor help screen\r\n"
30     "\tEnter commands via the Hyperterminal\r\n"
31     "\tShortcuts are displayed in brackets\r\n"
32     "\tCapital and small letters are allowed\r\n"
33     "\tJump back from each submenu via EXIT (ex)\n\n\r"
34     "Help\t (he) :\tDisplay this screen\r\n"
35     "Realtime (rtc):\tClock time adjustment via UART\r\n"
36     "Sensors\t (se) :\tSet the address of each used sensor\r\n"
37     "Memory\t (mem):\tRead the complete flash-memory of the receiver\r\n"
38     "Clear\t (clr):\tClear the flash-memory \n\r"
39     "Start\t (st) :\tStart measurement\r\n"
40     "Stop\t (stp):\tStop measurement\r\n"
41     "Read\t (rd) :\tRead controll data from flash\r\n"
42     "Write\t (wr) :\tWrite controll data to flash\r\n",

```

```

43
44     "Enter time in following format:\r\n"
45     "WDAY,HR,MIN,SEC (d, hh, mm, ss: 0->Monday, 6->Sunday)\r\n"
46     "Jump back via >EXIT< or jump further with >DATE<\r\n",
47
48     "Enter date in following format:\r\n"
49     "DAY,MONTH,YEAR (dd,mm,yyyy: 01->January, 12->December)\r\n",
50
51     "Enter number of Sensors (6,12,24,40) and confirm with >ENTER<\r\n",
52
53     "Enter address of one sensor and confirm with >ENTER<\r\n",
54
55     "Read memory\r\n",
56
57     "Clear memory\r\n",
58
59     "Illegal command, type >help< for more information\r\n",
60
61     "Jump back to main menu\r\n"
62
63 };
64
65 //     first char in an UART command
66 static unsigned char *UART_menu_cmp_1st_char = "chrsmw" ;
67
68 //     shortcut for weekdays
69 static unsigned char *RTC_days[7]={
70     "MON ",
71     "TUE ",
72     "WED ",
73     "THU ",
74     "FRY ",
75     "SAT ",
76     "SUN "
77 };
78
79 // shortcuts for months
80 static unsigned char *RTC_months[12]={
81     "Jan",
82     "Feb",
83     "Mar",
84     "Apr",
85     "May",
86     "Jun",
87     "Jul",
88     "Aug",
89     "Sep",
90     "Oct",
91     "Nov",
92     "Dec"
93 };
94
95 //     structure arrays for each first char, 1st element compare string, 2nd element
96 //     pointer to function
97 //     if 1st char found compare string with received string, if this matches execute
98 //     function where pointer points at
99 //     each string can contain capital and small letters
100 static UART_MEN UART_menu_C[]={
101     {"lr", UART_menu_flash_clr}, // flash clear command
102     {"lear", UART_menu_flash_clr}, // flash clear command
103     {"\0", 0} // dummy to see
104     the end of array of structs
105 };
106
107 static UART_MEN UART_menu_H[]={
108     {"e", UART_menu_show_help}, // show help screen
109     {"elp", UART_menu_show_help}, // show help screen

```

```

107         {"\0", 0} // dummy to see
           the end of array of structs
108 };
109
110 static UART_MEN UART_menu_R[]={
111     {"tc", UART_menu_setrtc}, // set rtc, jump in submenu
112     {"ealtime", UART_menu_setrtc}, // set rtc, jump in submenu
113     {"d", UART_menu_read_controll}, // read controll data
           from flash
114     {"ead", UART_menu_read_controll}, // read controll data
           from flash
115     {"\0", 0} // dummy to see
           the end of array of structs
116 };
117
118 static UART_MEN UART_menu_S[]={
119     {"e", UART_menu_setsensor}, // set sensor address, jump in
           submenu
120     {"ensor", UART_menu_setsensor}, // set sensor address, jump in submenu
121     {"t", UART_menu_start}, // start measurement
122     {"tart", UART_menu_start}, // start measurement
123     {"tp", UART_menu_stop}, // stop measurement
124     {"top", UART_menu_stop}, // stop measurement
125     {"\0", 0} // dummy to see
           the end of array of structs
126 };
127
128 static UART_MEN UART_menu_M[]={
129     {"em", UART_menu_read_data}, // set sensor address, jump in submenu
130     {"emory", UART_menu_read_data}, // set sensor address, jump in submenu
131     {"\0", 0} // dummy to see
           the end of array of structs
132 };
133
134 static UART_MEN UART_menu_W[]={
135     {"r", UART_menu_write_controll}, // set sensor address, jump in
           submenu
136     {"rite", UART_menu_write_controll}, // set sensor address, jump in submenu
137     {"\0", 0} // dummy to see
           the end of array of structs
138 };
139
140 static UART_MEN UART_menu_err[]={
141     {"\0", UART_menu_error}, // display error message, wrong
           command...
142     {"\0", 0} // dummy to see
           the end of array of structs
143 };
144
145 // array of pointer on array of structs
146 // used to find a valid command, compare each command in array of structs untill
           dummy element is found
147 static UART_MEN *pUART_menu[]={
148     UART_menu_C,
149     UART_menu_H,
150     UART_menu_R,
151     UART_menu_S,
152     UART_menu_M,
153     UART_menu_W,
154     UART_menu_err
155 };
156
157 /*-----
158     compare received string from UART
159 -----*/
160 unsigned char UART0_cmp_string(void)
161 /*-----*/

```

```

162 {
163     static unsigned char sensor_address_index;
164
165     UART_MEN *pUART_menu_sub;
166
167     unsigned char *pglobal_string = global_string;
168     unsigned char *pUART_menu_cmp_1st_char = UART_menu_cmp_1st_char;
169     unsigned char UART_cmd_counter=0;
170     unsigned char convert_string[4];
171     unsigned int UART0_tmp;
172     unsigned char i;
173
174     switch (UART_menu_position)
175     {
176     //-----
177     //-----
178     case UART_MENU_FIRSTCHAR:
179         // compare first char
180         sensor_address_index=0;
181         if ((*pglobal_string > 48) & (*pglobal_string < 122))
182         {
183             // look for first command character in small or capital
184             // letters
185             // used is the chararray with 6 letters, if all 6 letters
186             // aren't
187             // found exit with error
188             do
189             {
190                 if ((*pglobal_string == *pUART_menu_cmp_1st_char)
191                     |
192                     (*pglobal_string == *
193                     pUART_menu_cmp_1st_char-32))
194                     break;
195                 // exit do while()
196                 loop
197                 pUART_menu_cmp_1st_char++;
198                 // counts
199                 compare char one up
200                 UART_cmd_counter++;
201             }
202             while(UART_cmd_counter < 7);
203
204             pUART_menu_sub = pUART_menu[UART_cmd_counter];
205             // set pointer on control strukture
206
207             // if no valid character detected return with error
208             if (pUART_menu_sub[0].cmd == '\0')
209             {
210                 pUART_menu_sub[0].fct();
211                 break;
212                 // exit switch case
213             }
214
215             pglobal_string++;
216             // set
217             global pointer on second char
218
219             // compare global string with command string
220             // strcmp() compares all characters in command string
221             // with all characters in control structure(control
222             // structure is the
223             // structure with the valid first char), exit with valid
224             // command or
225             // when dummy in strucutre found (error)
226             do
227             {
228                 if( strcmp( pUART_menu_sub[0].cmd,
229                 pglobal_string ) == 0 )
230                 {

```

```

215         if( pUART_menu_sub[0].fct != NULL )
216         {
217             (*(pUART_menu_sub[0].fct))();
218             // execute function
219             return (0);
220             // return with no
221             error
222         }
223         pUART_menu_sub++;
224     }while(*pUART_menu_sub[0].cmd != '\0');
225     UART_menu_error(); // display error
226 }
227 else
228     UART_menu_error(); // display error
229
230     break; // exit switch case
231
232 //-----
233 //-----
234     case UART_MENU_CLOCK: // set rtc via UART
235         UART_cmd_counter = strlen(pglobal_string);
236
237         // check string for "EXIT"
238         // if exit jump back to main menu
239         if (strcasecmp(pglobal_string, "EXIT")==0)
240         {
241             UART0_send_text(UART_menu_cmd[8]);
242             UART_menu_position = UART_MENU_FIRSTCHAR;
243             return(0);
244         }
245         // check string for "DATE"
246         // if exit jump back to main menu
247         else if (strcasecmp(pglobal_string, "DATE")==0)
248         {
249             UART0_send_text(UART_menu_cmd[2]);
250             UART_menu_position = UART_MENU_DATE;
251             return(0);
252         }
253         // string to short, error
254         else if (UART_cmd_counter<10)
255         {
256             UART_menu_setrtc(); // display error
257             break;
258         }
259         // check each char
260         while((*pglobal_string > 43) && (*pglobal_string < 58))
261         {
262             UART_cmd_counter--;
263             pglobal_string++; // set global pointer on next
264             char
265         }
266         // if only one char isn't ok, error
267         if(UART_cmd_counter != 0)
268         {
269             UART_menu_setrtc(); // display error
270             break;
271         }
272         // convert weekday string to int, if value valid store else exit with
273         error
274         convert_string[0] = '0';
275         convert_string[1] = global_string[0];
276         UART0_tmp = atoi(convert_string);
277         if ((UART0_tmp >= 0)&&(UART0_tmp < 7))

```

```

277             RTC_values.wday = (unsigned char)UART0_tmp;
278     else
279     {
280         UART_menu_setrtc();           // display error
281         break;
282     }
283
284     // convert hour string to int, if value valid store else exit with error
285     convert_string[0] = global_string[2];
286     convert_string[1] = global_string[3];
287     UART0_tmp = atoi(convert_string);
288     if ((UART0_tmp >= 0)&&(UART0_tmp < 24))
289         RTC_values.hr = (unsigned char)UART0_tmp;
290     else
291     {
292         UART_menu_setrtc();           // display error
293         break;
294     }
295
296     // convert minute string to int, if value valid store else exit with
297     // error
298     convert_string[0] = global_string[5];
299     convert_string[1] = global_string[6];
300     UART0_tmp = atoi(convert_string);
301     if ((UART0_tmp >= 0)&&(UART0_tmp < 60))
302         RTC_values.min = (unsigned char)UART0_tmp;
303     else
304     {
305         UART_menu_setrtc();           // display error
306         break;
307     }
308
309     // convert seconds string to int, if value valid store else exit with
310     // error
311     convert_string[0] = global_string[8];
312     convert_string[1] = global_string[9];
313     UART0_tmp = atoi(convert_string);
314     if ((UART0_tmp >= 0)&&(UART0_tmp < 60))
315         RTC_values.sec = (unsigned char)UART0_tmp;
316     else
317     {
318         UART_menu_setrtc();           // display error
319         break;
320     }
321
322     UART0_send_text(UART_menu_cmd[2]);           // print next
323     // command, enter date
324     UART_menu_position = UART_MENU_DATE;
325     return(0);
326     // return with no error
327
328     break;
329
330     //-----
331     //-----
332     case UART_MENU_DATE:           // set rtc via UART
333         UART_cmd_counter = strlen(pglobal_string);
334
335         // compare string if "EXIT" send and if the length and information iss OK
336         // if exit jump back to main menu
337         if (strcasecmp(pglobal_string, "EXIT")==0)
338         {
339             UART0_send_text(UART_menu_cmd[8]);
340             UART_menu_position = UART_MENU_FIRSTCHAR;
341             return(0);
342         }
343     // string to short, error

```

```

340     else if (UART_cmd_counter < 10)
341     {
342         UART0_send_text(UART_menu_cmd[2]);           // display error
343         break;
344     }
345     // check each char
346     while ((*pglobal_string > 43) && (*pglobal_string < 58))
347     {
348         UART_cmd_counter--;
349         pglobal_string++;           // set global pointer on next
350         char
351     }
352     // if only one char isn't ok, error
353     if (UART_cmd_counter != 0)
354     {
355         UART0_send_text(UART_menu_cmd[2]);           // display error
356         break;
357     }
358     // convert day string to int, if value valid store else exit with error
359     convert_string[0] = global_string[0];
360     convert_string[1] = global_string[1];
361     UART0_tmp = atoi(convert_string);
362     if ((UART0_tmp >= 0) && (UART0_tmp < 32))
363         RTC_values.day = (unsigned char)UART0_tmp;
364     else
365     {
366         UART0_send_text(UART_menu_cmd[2]);           // display error
367         break;
368     }
369
370     // convert month string to int, if value valid store else exit with error
371     convert_string[0] = global_string[3];
372     convert_string[1] = global_string[4];
373     UART0_tmp = atoi(convert_string);
374     if ((UART0_tmp >= 1) && (UART0_tmp < 13))
375         RTC_values.month = (unsigned char)(UART0_tmp - 1);
376     else
377     {
378         UART0_send_text(UART_menu_cmd[2]);           // display error
379         break;
380     }
381
382     // convert year string to int, if value valid store else exit with error
383     convert_string[0] = global_string[6];
384     convert_string[1] = global_string[7];
385     convert_string[2] = global_string[8];
386     convert_string[3] = global_string[9];
387     UART0_tmp = atoi(convert_string);
388     if ((UART0_tmp >= 0) && (UART0_tmp < 4000))
389         RTC_values.year = UART0_tmp;
390     else
391     {
392         UART0_send_text(UART_menu_cmd[2]);           // display error
393         break;
394     }
395
396     UART0_send_text(UART_menu_cmd[8]);           // print next
397     command, enter date
398     UART_menu_position = UART_MENU_FIRSTCHAR;
399     return(0);
400     // return with no error
401
402     break;
403
404 //-----
405 //-----

```



```

466     UART0_tmp = atoi(global_string);
467     SENSOR_address[(sensor_address_index-1)] = (unsigned char)
        UART0_tmp;    // store sensor address
468     sensor_address_index++;
469
470     // all sensors configured
471     if (sensor_address_index > SENSOR_active)
472     {
473         UART0_send_text(UART_menu_cmd[8]);
474         UART_menu_position = UART_MENU_FIRSTCHAR;
475         sensor_address_index = 0;
476         FLASH_Write_Controller_Data();
477         for (i=0; i<SENSOR_active; i++)
478         {
479             SENSOR_last_data[0][i] = SENSOR_address[i];
480         }
481
482         // set sensors active
483         switch(SENSOR_active)
484         {
485             case 12:
486                 SENSOR_addr_req[0] = 0xFF;           // 12
487                 sensors are configured
488                 SENSOR_addr_req[1] = 0x0F;
489                 break;
490             case 24:
491                 SENSOR_addr_req[0] = 0xFF;           // 24
492                 sensors are configured
493                 SENSOR_addr_req[1] = 0xFF;
494                 SENSOR_addr_req[2] = 0xFF;
495                 break;
496             case 40:
497                 SENSOR_addr_req[0] = 0xFF;           // 24
498                 sensors are configured
499                 SENSOR_addr_req[1] = 0xFF;
500                 SENSOR_addr_req[2] = 0xFF;
501                 SENSOR_addr_req[3] = 0xFF;
502                 SENSOR_addr_req[4] = 0xFF;
503                 break;
504             default:
505                 SENSOR_addr_req[0] = 0x3F;           // 6
506                 sensors are configured
507                 break;
508         }
509     }
510     return(0);
511 }
512     }
513     break;
514 };
515
516     return(1);           // return with error
517 }
518
519 /*-----
520     UART menu function to clear the flash
521 -----*/
522 void UART_menu_flash_clr(void)
523 /*-----*/
524 {
525     UART0_send_text(UART_menu_cmd[6]);
526     Erase_Flash_All();
527 }
528
529 /*-----
530     UART menu function to send error
531 -----*/
532 void UART_menu_error(void)

```

```
528 /*-----*/
529 {
530     UART0_send_text(UART_menu_cmd[7]);
531 }
532
533 /*-----*/
534     UART menu function to show help screen
535 -----*/
536 void UART_menu_show_help(void)
537 /*-----*/
538 {
539     UART0_send_text(UART_menu_cmd[0]);
540 }
541
542 /*-----*/
543     UART menu function to show help screen
544 -----*/
545 void UART_menu_setrtc(void)
546 /*-----*/
547 {
548     UART0_send_text(UART_menu_cmd[1]);
549     UART_menu_position = UART_MENU_CLOCK;
550 }
551
552 /*-----*/
553     UART menu function to show help screen
554 -----*/
555 void UART_menu_setsensor(void)
556 /*-----*/
557 {
558     UART0_send_text(UART_menu_cmd[3]);
559     UART_menu_position = UART_MENU_SENSORADDR;
560 }
561
562 /*-----*/
563     UART menu function to read the whole measurement from flash
564 -----*/
565 void UART_menu_read_data(void)
566 /*-----*/
567 {
568     DATA_STRUCT *pData;
569     unsigned int year_temp;
570     unsigned char temp;
571     unsigned char control;
572     // flash temp variables
573     unsigned char tmp_Ring_Full;
574     unsigned short tmp_Index_Ring;
575     unsigned short tmp_Count_Ring;
576     unsigned short tmp_Index_Last;
577
578     RADIO_disable(); // disable radio modul
579     control = 1;
580
581     tmp_Ring_Full = Ring_Full;
582     tmp_Index_Ring = Index_Ring;
583     tmp_Count_Ring = Count_Ring;
584     tmp_Index_Last = Index_Last;
585
586
587     PRINTF_UART; // set printf to UART
588
589     while(control)
590     {
591
592         pData = Read_Ring_Flash();
593         while(pData != NULL)
594         {
```

```

595 // send weekday
596 UART0_send_text(RTC_days[pData->C4]);
597
598 // send date
599 UART0_send(pData->C0/10+48);
600 UART0_send(pData->C0%10+48);
601 UART0_send('-');
602 UART0_send_text(RTC_months[pData->C1]);
603 UART0_send('-');
604 // get year integer value
605 year_temp = (pData->C2 << 8) | pData->C3;
606 temp = year_temp / 1000;
607 UART0_send(temp+48);
608 temp = (year_temp / 100) - ((year_temp/1000) * 10);
609 UART0_send(temp+48);
610 temp = (year_temp / 10) - ((year_temp/100) * 10);
611 UART0_send(temp+48);
612 temp = year_temp % 10;
613 UART0_send(temp+48);
614 UART0_send(' ');
615
616 // send time
617 UART0_send(pData->C5/10+48);
618 UART0_send(pData->C5%10+48);
619 UART0_send(':');
620 UART0_send(pData->C6/10+48);
621 UART0_send(pData->C6%10+48);
622 UART0_send_text(":00");
623 //UART0_send(pData->C7/10+48);
624 //UART0_send(pData->C7%10+48);
625
626 // send temperature, cell-voltage and supply-voltage values in
627 // hex
628 printf(" %2x %2x %2x %2x %2x %2x %2x %2x\r\n", pData->C8, pData->
        C9,
629         pData->C10, pData->C11, pData->C12, pData->C13,
630         pData->C14,
631         pData->C15);
632
633     pData = Read_Ring_Flash();
634 };
635
636 UART0_send_text("OK\r\n");
637
638 LCD_send_cmd(LCD_LINE1);
639 LCD_send_text(" Data received? ");
640 LCD_send_cmd(LCD_LINE2);
641 LCD_send_text("YES NO ");
642
643 while(1)
644 {
645     if(BATMON_control_reg & B1) // Button 1 = YES,
646     {
647         control = 0;
648         BATMON_control_reg &= ~(B1|B2|B3);
649         // clear button state
650
651         LCD_send_cmd(LCD_LINE1);
652         if (Enable_clear_lcd == ON)
653             LCD_send_text(" ");
654         else
655             LCD_send_text(" Radio disabled ");
656
657         // set time on second LCD line
658         LCD_send_time();
659
660         RADIO_init_frame(); // write first frame with actual

```

```

658             time and 0 as data
659             FLASH_Write_Controller_Data();
660
661             break; // exit while
662             loop
663         }
664         if(BATMON_control_reg & B2) // Button 2 = NO,
665         {
666             Ring_Full = tmp_Ring_Full;
667             Index_Ring = tmp_Index_Ring;
668             Count_Ring = tmp_Count_Ring;
669             Index_Last = tmp_Index_Last;
670
671             BATMON_control_reg &= ~(B1|B2|B3);
672             // clear button state
673             break; // exit while
674             loop
675         }
676     }
677 }
678 /* begin with new frame */
679 //RADIO_enable(); // enable radio modul
680 }
681
682 /*-----
683 UART menu function to start the measurement
684 -----*/
685 void UART_menu_start(void)
686 /*-----
687 {
688     LCD_send_cmd(LCD_LINE1);
689     LCD_send_text(" Radio enabled ");
690     UART0_send_text("Radio enabled \r\n");
691     Enable_clear_lcd = ON;
692     RADIO_enable();
693 }
694
695 /*-----
696 UART menu function to stop the measurement
697 -----*/
698 void UART_menu_stop(void)
699 /*-----
700 {
701     LCD_send_cmd(LCD_LINE1);
702     LCD_send_text(" Radio disabled ");
703     UART0_send_text("Radio disabled\r\n");
704     Enable_clear_lcd = OFF;
705     RADIO_disable();
706 }
707
708 /*-----
709 UART menu function to read controll data from flash
710 -----*/
711 void UART_menu_read_controll(void)
712 /*-----
713 {
714     UART0_send_text("Read data\r\n");
715     FLASH_Read_Controller_Data();
716 }
717
718 /*-----
719 UART menu function to write controll data to flash
720 -----*/
721 void UART_menu_write_controll(void)
722 /*-----
723 {
724     UART0_send_text("Write data\r\n");

```

```

721     FLASH_Write_Controller_Data();
722 }

```

Listing B.15: Header der Menüfunktionen (UART_menu.h)

```

1  /*-----
2      Project:                MSP430 MSP_functions header
3      Used components:       MSP430-169STK
4      Date:                  02/14/2008
5      Last update:          04/04/2008
6      Author:                Stephan Plaschke
7  -----*/
8
9  #ifndef UART_MENU_H_
10 #define UART_MENU_H_
11
12
13 /*-----
14      Structures
15 -----*/
16 typedef struct{              // structure for UART menu
17     unsigned char *cmd;
18     void (*fct)(void);      // pointer on function with no return- and no
19     parameter value
20 } UART_MEN;
21
22 /*-----
23      Global variables
24 -----*/
25 extern unsigned char BATMON_control_reg;
26 extern unsigned char Enable_clear_lcd;
27
28 extern unsigned char SENSOR_active;
29 extern unsigned char SENSOR_address[40];    // array with sensor address
30 extern unsigned char SENSOR_last_data[8][40];
31
32 extern unsigned char global_string[MAX_STRING_LENGTH];
33 extern unsigned char RADIO_rx_state;        // data receive
34     state
35 extern unsigned char UART_menu_position;
36
37 extern RTC_MSP430            RTC_values;
38     // global RTC values
39 extern RADIO_FRAME_STRUCT   RADIO_frame;    // received data
40     frame
41 extern DATA_STRUCT *test[128];
42
43 /*-----
44      Defines
45 -----*/
46 enum uart_menu_positions {    UART_MENU_FIRSTCHAR, UART_MENU_CLOCK, UART_MENU_DATE,
47     UART_MENU_SENSORADDR};
48
49 /*-----
50      Prototypes
51 -----*/
52
53 void UART_menu_flash_clr(void);
54 void UART_menu_error(void);
55 void UART_menu_show_help(void);
56 void UART_menu_read_data(void);
57 void UART_menu_setrtc(void);
58 void UART_menu_setsensor(void);
59 void UART_menu_start(void);
60 void UART_menu_stop(void);

```

```

58 void UART_menu_read_controll(void);
59 void UART_menu_write_controll(void);
60
61
62
63 #endif /*UART_MENU_H_*/

```

B.2. *MATLAB* Quellcode

B.2.1. Temperaturkalibrierung

Listing B.16: Berechnung der Differenzfunktion und Speichern der errechneten Werte

```

1  %-----
2  % Project:      Diploma
3  % Date:        02/06/2008
4  % Last Update: 12/06/2008
5  % Author:      Stephan Plaschke
6  % Discreption: Read and plot cell-sensor data, calculate difference
7  %              function for temperature and save polynome values
8  %              in "sensorsystem.txt"
9  %-----
10
11 function show_cell_status(figure1)
12
13 % clear all variables and close all windows
14 clear all;
15 close all;
16
17 % arangement of the sensors on the battery, write down address in specific
18 % order
19 valid_sensor_address = [2,3,4,5,6,7,8,9,10,11,12,14];
20 max_sensor = 12;
21 function_order = 2;      % quadratic function
22 % real temperature from test
23 real_temp = [10 15 20 25 30 35 40 45 50 55 60];
24
25 disp('-----')
26 disp('Read cell-sensor-data and plot data from each sensor on a own figure')
27 disp('Use only *.txt files as input')
28 disp('As input use only filename with no extension')
29 disp('Author:   Stephan Plaschke')
30 disp('Date:     13.05.2008')
31 disp('-----')
32 disp(' ');
33
34 [filename, pathname, filterindex] = uigetfile( ...
35 {'*.txt','test files (*.txt)'; ...
36 '*.dat','data files (*.dat)'; ...
37 '**','All Files (**)'}, ...
38 'Pick a test file or data file from a battery experiment');
39 if isequal(filename,0) | isequal(pathname,0)
40     disp('User pressed cancel in File selection dialog')
41     return
42 else
43     disp(['User has selected the file:']);
44     disp(fullfile(pathname, filename));
45     filename_compl = fullfile(pathname, filename);
46 end
47
48 % read data from file
49 data=textread(filename_compl,'%s');

```

```

50
51 % create sensor address array, later you will find here each used sensor
52 % address
53 sensor_addr = zeros(1,40);
54 index_data = ones(1,40);           % create index array
55 sensor_index = 1;                 % number of sensors
56
57 % calculate array size, divided by eleven because of length of information
58 data_length = (length(data)/11);
59 % reshape array from [x][1] to [11][x]
60 data = reshape(data, length(data)/data_length, data_length);
61
62 % convert char to dec
63 for i=1:8
64     temp(i,:) = hex2dec(data((i+3),:));
65 end
66
67 B(1,:) = temp(1,:);                % sensor address
68 % calculate battery-, supply voltage and temperature values
69 for i=2:4
70     B(i,:)= 256 * temp(i+((i-2)*1),:) + temp(i+((i-1)*1),:);
71 end
72
73 % sort data
74 %-----
75 for i=1:data_length
76     j = 1;                          % counter
77     % sort sensor data from valid addresses
78     while B(1,i) ~= valid_sensor_address(j)
79         j = j + 1;
80         % address not found: exit with error
81         if j == max_sensor+1
82             error('Invalid sensor address!');
83         end
84     end
85
86     % if new valid sensor address found increment index and store address
87     if sensor_addr(j) == 0
88         sensor_addr(j) = B(1,i);
89         %sensor_index = sensor_index + 1;
90     end
91
92     % write timestamp into cellarray, for cell use {}!!
93     date_sensor(j, index_data(j)) = {sprintf('%s %s',char(data(2,i)),....
94         char(data(3,i)))};
95
96     % write temperaturevalue into array
97     data_sorted((j*3-2), index_data(j))= B(2,i);
98     % write batteryvoltage value into array
99     data_sorted((j*3-1), index_data(j))= B(3,i);
100    % write supplyvoltage value into array
101    data_sorted((j*3), index_data(j))= B(4,i);
102    % increment index value
103    index_data(j) = index_data(j) + 1;
104
105 end
106 %-----
107 % create ymin and ymax values
108 ymin_temp = 100;
109 ymax_temp = 0;
110 ymin_supply = 5;
111 ymax_supply = 0;
112 ymin_cell = 5;
113 ymax_cell = 0;
114
115 % open file to store polynome values
116 fid = fopen('sensorsystem.txt', 'a+');
```

```

117 fprintf(fid, '%i\r', max_sensor);
118 for i=1:max_sensor
119     fprintf(fid, '%i\r', valid_sensor_address(i));
120 end
121 fprintf(fid, '%i\r', function_order+1);
122
123 %-----
124 % display result for each sensor
125 for i = 1:max_sensor
126
127     %create new figure window for each sensor
128     figurename = sprintf('Sensor: %d, Sensoradresse: %d', i, char(sensor_addr(1,i)));
129     screensize = get(0,'ScreenSize');
130     figure('Name',figurename, 'NumberTitle','off', 'Position',....
131           [screensize]);
132
133     % calculate X-axis length
134     x_data = find(data_sorted((i*3),:));
135     x_data = length(x_data);
136
137     % error if not enough data
138     if (x_data == 1)
139         close all;
140         clear all;
141         error('Only one value received, at least two values are needed');
142     end
143
144     % get X-Axis values, datenum() is needed for timestamp
145     x(1,1:x_data) = datenum(date_sensor(i,1:x_data),....
146         'dd-mmm-yyyy HH:MM:SS');
147
148     % scale temperature graph
149     XTick = linspace(x(1), x(end), 5);
150     XTickLabel = datestr(XTick, 'dd-mmm-yyyy HH:MM:SS');
151
152     % get Y-axis values, divide by 8 for temperature
153     y(1,1:x_data) = data_sorted(i*3-2,1:x_data)/8;
154
155     % get max and min y-achse value
156     if (min(y) < ymin_temp)
157         ymin_temp = min(y);
158     end
159     if (max(y) > ymax_temp)
160         ymax_temp = max(y);
161     end
162
163     % calculate difference function
164     x_trendline(1,:) = y(1,:);
165     y_trendline(1,:) = real_temp(1,:) - y(1,:);
166
167     % calculate polynomes
168     p = polyfit(x_trendline, y_trendline, function_order);
169
170     % store polynome values in polynome.txt
171     for j=1:(function_order+1)
172         fprintf(fid, '%i\r', p(j));
173     end
174
175     y_trendline = polyval(p,x_trendline);
176     y_trendline(1,:) = y_trendline(1,:) + y(1,:);
177
178     % plot temperature
179     % create 3 plotwindows, select first one
180     subplot(3,1,1);
181     % plot temperature graph
182     plot(x,real_temp,'green', x,y,'red', x,y_trendline,'blue');
183     set(gca,'XTick',XTick, 'XTickLabel',char(XTickLabel));

```

```
184     grid on;
185
186     % create title
187     figure_title = sprintf(...
188         'FILE: "%s", Start: %s, End: %s, Sensoraddress:%d',filename,....
189         char(date_sensor(i,1)), char(date_sensor(i,x_data)),....
190         char(sensor_addr(1,i)));
191     % set title
192     title(figure_title);
193     % set Y-label
194     ylabel('Temperature/°C');
195
196
197     %-----
198     % get cel voltage y-achse values
199     y(1,1:x_data) = data_sorted(i*3-1,1:x_data)/4096;
200
201     % get max and min y-achse value
202     if (min(y) < ymin_cell)
203         ymin_cell = min(y);
204     end
205     if (max(y) > ymax_cell)
206         ymax_cell = max(y);
207     end
208
209     % plot cell voltage
210     subplot(3,1,2);
211     plot(x,y);
212     grid on;
213     set(gca,'XTick',XTick, 'XTickLabel',char(XTickLabel));
214     ylabel('Cell voltage/V');
215
216     %-----
217     % get supply voltage y-achse values
218     y(1,1:x_data) = data_sorted(i*3,1:x_data)/4096;
219
220     % get max and min y-achse value
221     if (min(y) < ymin_supply)
222         ymin_supply = min(y);
223     end
224     if (max(y) > ymax_supply)
225         ymax_supply = max(y);
226     end
227
228     % plot supply voltag
229     subplot(3,1,3);
230     plot(x,y);
231     grid on;
232     set(gca,'XTick',XTick, 'XTickLabel',char(XTickLabel));
233     ylabel('Supply voltage/V');
234
235     % clear x and y each cycle
236     clear x;
237     clear y;
238 end
239
240 fclose(fid);    % close file
241
242 %-----
243 % if temperature ymin can't devided by 5 subtract rest
244 if mod(ymin_temp,5)
245     ymin_temp = ymin_temp - mod(ymin_temp,5);
246 end;
247 % if temperature ymax can't devided by 5 add rest
248 if mod(ymax_temp,5)
249     ymax_temp = ymax_temp + (5-mod(ymax_temp,5));
250 end;
```

```

251 %-----
252 % if cell voltage ymin can't divided by 0.2 subtract rest
253 if mod(ymin_cell,0.2)
254     ymin_cell = ymin_cell - mod(ymin_cell,0.2);
255 end;
256 % if cell voltage ymax can't divided by 0.2 add rest
257 if mod(ymax_cell,0.2)
258     ymax_cell = ymax_cell + (0.2-mod(ymax_cell,0.2));
259 end;
260 %-----
261 % if supply voltage ymin can't divided by 0.2 subtract rest
262 if mod(ymin_supply,0.2)
263     ymin_supply = ymin_supply - mod(ymin_supply,0.2);
264 end;
265 % if supply voltage ymax can't divided by 0.2 add rest
266 if mod(ymax_supply,0.2)
267     ymax_supply = ymax_supply + (0.2-mod(ymax_supply,0.2));
268 end;
269 %-----
270 % configure y-achse of each sensor graph with the ymax and ymin values of
271 % each sensor data
272 for i = 1:max_sensor
273     % set figure(i) temperature y-achse
274     figure(i);
275     subplot(3,1,1);
276     % get 5 values between ymax and ymin
277     YTick = linspace(ymin_temp, ymax_temp, 5);
278     clear YTickLabel;
279     for J = 1:5,
280         YTickLabel(J,:) = {YTick(J)}; % set Label
281     end
282     % set y max and min values
283     YLim = [ymin_temp ymax_temp];
284     set(gca,'YLim',YLim,'YTick',YTick, 'YTickLabel',YTickLabel);
285     legend('real','measured','calibrated','Location','NorthEast');
286
287 %-----
288 % set figure(i) cell voltage y-achse
289 subplot(3,1,2);
290 % get 5 values between ymax and ymin
291 YTick = linspace(ymin_cell, ymax_cell, 5);
292 clear YTickLabel;
293 for J = 1:5,
294     YTickLabel(J,:) = {YTick(J)}; % set Label
295 end
296 % set y max and min values
297 YLim = [ymin_cell ymax_cell];
298 set(gca,'YLim',YLim,'YTick',YTick, 'YTickLabel',YTickLabel);
299
300 %-----
301 % set figure(i) supply voltage y-achse
302 subplot(3,1,3);
303 % get 5 values between ymax and ymin
304 YTick = linspace(ymin_supply, ymax_supply, 5);
305 clear YTickLabel;
306 for J = 1:5,
307     YTickLabel(J,:) = {YTick(J)}; % set Label
308 end
309 % set y max and min values
310 YLim = [ymin_supply ymax_supply];
311 set(gca,'YLim',YLim,'YTick',YTick, 'YTickLabel',YTickLabel);
312 end

```

B.2.2. Auswertung der Messergebnisse

Listing B.17: Auswahlbildschirm

```

1  %-----
2  % Project:      Diploma - display sensor data
3  % Date:        14/06/2008
4  % Last Update: 14/06/2008
5  % Author:      Stephan Plaschke
6  % Discreption: Splash screen - chose your information source
7  %-----
8
9  close all;
10 clear figure_title;
11 clear global date_sensor;
12 clear global sensor_addr;           % array with valid sensor addresses
13 clear global sensor_count;         % number of sensors
14 clear global data_sorted;          % temp, battery- and supply voltage values
15 clear global polynom;              % offset function polynomes
16 clear global poly_order;           % offset function order
17 clear global radio_buttons_onoff;  % status variable for radiobuttons
18
19 % normal fonts
20 set(0,'defaultaxesfontsize',12);
21 set(0,'defaulttextfontsize',12);
22
23 screensize = get(0,'ScreenSize');
24 figure(4);
25 set(gcf,'Name','Wireless Battery Management Analysis Software', 'MenuBar','none');
26 set(gca,'Visible','off');
27 text(0.02,0.95, '=====');
28 text(0.08,0.9, 'Wireless Battery Management Analysis Software');
29 text(0.02,0.85, '=====');
30
31 % small fonts
32 set(0,'defaultaxesfontsize',10);
33 set(0,'defaulttextfontsize',10);
34 text(0, 0.7, 'Two data sources are needed. The configuration file includes the information
35 ');
36 text(0, 0.65, 'about the sensor system. The name must be "sensorsystem.txt". The data file
37 ');
38 text(0, 0.6, 'includes the meassured data from each sensor in the system. Instead of an');
39 text(0, 0.55, 'data file it is possible to transmitt the data directly from the
40 ');
41 text(0, 0.5, 'controlling unit via');
42 text(0, 0.45, 'RS232. If you are using the serial port be carefull. It is tested but did
43 ');
44 text(0, 0.4, 'not work');
45 text(0, 0.35, 'hundred percently. ');
46 text(0, 0.3, 'Written and developed from Stephan Plaschke in May/June 2008. ');
47
48 % normal fonts
49 set(0,'defaultaxesfontsize',12);
50 set(0,'defaulttextfontsize',12);
51 text(0.35,0.12, 'Read data from:');
52
53 uicontrol(4,'style','pushbutton','Value',1,'string','Comport',...
54           'units','normalized','position',[0.55 0.1 0.15 0.075],'callback','read_com()');
55
56 uicontrol(4,'style','pushbutton','Value',1,'string','File',...
57           'units','normalized','position',[0.30 0.1 0.15 0.075],'callback','read_file()');

```

Listing B.18: Daten über serielle Schnittstelle einlesen

```
1 %-----
2 % Project:      Diploma - display sensor data
3 % Date:        14/06/2008
4 % Last Update: 14/06/2008
5 % Author:      Stephan Plaschke
6 % Discreption: Read data from comport
7 %-----
8
9 function read_com
10 %-----
11 % read data from control unit
12 close all;
13
14 com_port = sprintf('COM%s', input('Enter COM-PORT:', 's'));
15 % open COM-PORT with 115200 baud and return as terminator
16 serial_port = serial(com_port, 'BaudRate', 115200, 'Terminator', 'CR');
17 fopen(serial_port);
18
19 % send data request
20 fprintf(serial_port, 'mem');
21
22 % get data from serial port, if error close serial port and exit
23 % start error handler
24 try
25     i = 1;
26 % get data from serial port
27 temp = {fscanf(serial_port)};
28 temp_char = char(temp);
29 while (1)
30     if (length(temp_char) < 3)
31         error('Invalid row-data');
32     end
33
34     for j=1:length(temp_char)-1
35         if (temp_char(1,j:j+1)=='OK' )
36             ok_detected = 1;
37             break;
38         else
39             ok_detected = 0;
40         end
41     end
42 % when OK occurs exit while loop
43 if (ok_detected)
44     break;
45 end
46
47     data(i,:) = temp(1,:);
48     i = i + 1;
49 % get data from serial port
50     temp = {fscanf(serial_port)};
51     temp_char = char(temp);
52 end
53 % if error occured while receiving data, close port and exit
54 catch me
55 % close serial port
56 fclose(serial_port);
57 delete(serial_port);
58 clear serial_port;
59 rethrow(me);
60 end
61
62 % close serial port
63 fclose(serial_port);
64 delete(serial_port);
65 clear serial_port;
```

```

66
67 % convert cell to char-array
68 data_char = char(data);
69
70 % calculate array size
71 data_x = length(data_char);
72 data_y = numel(data_char)/data_x;
73
74 % error if not enough data
75 if (data_y < 3)
76 close all;
77 clear all;
78 error('Not enough valid row-data received');
79 end
80
81 % open or create file and write data in it
82 filename = sprintf('%s.txt',date);
83 fid = fopen(filename, 'a+');
84 fprintf(fid, '\r%s\r',datestr(now));
85
86 clear data;
87 clear temp;
88
89 % copy data from horizontal to vertical array
90 for i = 1:data_y-2
91 data((i)+((i-1)*10),:) = {data_char(i+2,1:4)};
92 data((i+1)+((i-1)*10),:) = {data_char(i+2,6:16)};
93 data((i+2)+((i-1)*10),:) = {data_char(i+2,18:25)};
94 data((i+3)+((i-1)*10),:) = {data_char(i+2,27:28)};
95 data((i+4)+((i-1)*10),:) = {data_char(i+2,30:31)};
96 data((i+5)+((i-1)*10),:) = {data_char(i+2,33:34)};
97 data((i+6)+((i-1)*10),:) = {data_char(i+2,36:37)};
98 data((i+7)+((i-1)*10),:) = {data_char(i+2,39:40)};
99 data((i+8)+((i-1)*10),:) = {data_char(i+2,42:43)};
100 data((i+9)+((i-1)*10),:) = {data_char(i+2,45:46)};
101 data((i+10)+((i-1)*10),:) = {data_char(i+2,48:49)};
102
103 % write data to file
104 fprintf(fid, '%s',data_char(i,:));
105 end
106
107 fclose(fid); % close file
108
109 main(data, filename);

```

Listing B.19: Daten aus einem File einlesen

```

1 %-----
2 % Project:      Diploma - display sensor data
3 % Date:        14/06/2008
4 % Last Update: 14/06/2008
5 % Author:      Stephan Plaschke
6 % Discretion:  Read data from file
7 %-----
8
9 function read_file
10 %-----
11 % read data from *.txt file
12
13 [filename, pathname, filterindex] = uigetfile( ...
14 {'*.txt','test files (*.txt)'; ...
15 '*.dat','data files (*.dat)'; ...
16 '**.*', 'All Files (*.*)'}, ...
17 'Pick a datafile from a battery meassurement');
18 if isequal(filename,0) | isequal(pathname,0)
19     disp('Canceled by user in fileselect box');

```

```

20     return
21 else
22     filename_compl = fullfile(pathname, filename);
23     disp(' ');
24     disp(['User has selected the file:']);
25     disp(filename_compl);
26     disp(' ');
27 end
28
29 % read data from file
30 data=textread(filename_compl,'%s');
31
32 main(data, filename);

```

Listing B.20: Hauptprogramm der Analysesoftware

```

1  %-----
2  % Project:      Diploma - display sensor data
3  % Date:        11/12/2007
4  % Last Update: 14/06/2008
5  % Author:      Stephan Plaschke
6  % Discreption: Read cell-sensor data
7  %-----
8
9  function main(data, filename)
10
11 % clear all variables and close all windows
12 close all;
13
14 clear global figure_title;
15
16 % switch all warnings off
17 warning('off');
18
19 % small fonts
20 set(0,'defaultaxesfontsize',8);
21 set(0,'defaulttextfontsize',8);
22
23 % PDF print size, print without radiobutton in cm
24 myfigureprintsiz = [-1,0,24,14];
25 mypapersize=[20.984 15];
26 % 15 is 14-0 in config above myfigureprintsiz change both parameters together
27
28 global ssw;                % Array for switching sensor graphs on/off
29 ssw=ones(3,40);
30
31 %global figure_title;      % by cell variables use global after use
32 global sensor_addr;        % array with valid sensor addresses
33 global sensor_count;       % number of sensors
34 global data_sorted;        % temp, battery- and supply voltage values
35 global polynom;            % offset function polynomes
36 global poly_order;         % offset function order
37 global radio_buttons_onoff; % status variable for radiobuttons
38 radio_buttons_onoff(1,1:3) = ones;
39
40 screensize = get(0,'ScreenSize'); % get screensize
41
42 % create sensor address array, later you will find here each used sensor
43 % address
44 sensor_addr = zeros(1,40);
45 index_data = ones(1,40);          % create index array
46
47 % calculate array size, divided by eleven because of length of information
48 data_length = (length(data)/11);
49 % reshape array from [x][1] to [11][x]
50 data = reshape(data, length(data)/data_length, data_length);

```

```

51
52 % convert char to dec
53 for i = 1:8
54     temp(i,:) = hex2dec(data((i+3),:));
55 end
56
57 % calculate 16bit values from two 8bit values
58 B(1,:) = temp(1,:);
59 for i = 2:4
60     B(i,:)= 256 * temp((i+(i-2)*1),:) + temp((i+(i-1)*1),:);
61 end
62
63 % read polynomevalues for offset function
64 fid = fopen('sensorsystem.txt','r');
65 sensor_system = fscanf(fid, '%g',[1 inf]);
66 fclose(fid);
67
68 sensor_count = sensor_system(1);           % number of sensors
69 for i=1:sensor_count
70     valid_sensor_address(i) = sensor_system(i+1); % address of each sensor
71 end
72
73 poly_order = sensor_system(2+sensor_count); % offset function order
74 for i=1:(sensor_count*poly_order)
75     polynom(i) = sensor_system(i+2+sensor_count); % offset function polynomes
76 end
77
78 % sort data
79 %-----
80 for i=1:data_length
81     j = 1; % counter
82     while B(1,i) ~= valid_sensor_address(j)
83         j = j + 1;
84         if j == sensor_count+1
85             error('Invalid sensor address!');
86         end
87     end
88
89     if sensor_addr(j) == 0
90         sensor_addr(j) = B(1,i);
91     end
92
93     % write timestamp into cell array, for cell use {}!!
94     date_sensor(j, index_data(j)) = {sprintf('%s %s',char(data(2,i)),....
95         char(data(3,i)))};
96
97     % write temperaturevalue into array
98     data_sorted((j*3-2), index_data(j))= B(2,i);
99
100    if sensor_addr(j) == 11
101        % write batteryvoltage value into array
102        data_sorted((j*3-1), index_data(j))= B(3,i) - 410;
103        % write supplyvoltage value into array
104        data_sorted((j*3), index_data(j))= B(4,i) - 410;
105    else
106        % write batteryvoltage value into array
107        data_sorted((j*3-1), index_data(j))= B(3,i);
108        % write supplyvoltage value into array
109        data_sorted((j*3), index_data(j))= B(4,i);
110    end
111
112    % increment index value
113    index_data(j) = index_data(j) + 1;
114
115 end
116
117 global date_sensor; % by cell use global after first use

```

```

118 %-----
119
120 % find the first maximum on x-achse, just in case
121 [countmax_x,countmax_y] = max(index_data);
122
123 % figures to display summarized temperatures, cell voltages and supply voltages
124 figuresize1=[screensize(3)*0.05+0, screensize(4)*0.05+20,screensize(3)*0.8+0,...
125     screensize(4)*0.8+20];
126 figuresize2=[screensize(3)*0.05+25, screensize(4)*0.05+10,screensize(3)*0.8+25,...
127     screensize(4)*0.8+10];
128 figuresize3=[screensize(3)*0.05+50, screensize(4)*0.05+0,screensize(3)*0.8+50,...
129     screensize(4)*0.8+0];
130
131 figure_caption = ' from File: "%s", Start: %s, End: %s, \n Sensoraddresses: %s';
132
133 figure(1);
134 %set(gcf,'Name','Temperatures', 'Position',[screensize]);
135 set(gcf,'Name','Temperatures', 'Position',[figuresize1]);
136 set(gcf,'MenuBar','figure','units','normalized','Toolbar','figure');
137 set(gcf, 'PaperPosition', myfigureprintsize,'PaperSize',mypapersize);
138 figure_title(1) = {sprintf(strcat('Temperatures', figure_caption),filename,....
139     char(date_sensor(countmax_y,1)), char(date_sensor(countmax_y,end)), ...
140     strcat(num2str(sensor_addr(1,1:sensor_count))))
141 }; % callback as string defined
142
143 figure(2);
144 %set(gcf,'Name','Cell Voltages', 'Position',[screensize]);
145 set(gcf,'Name','Cell Voltages', 'Position',[figuresize2]);
146 set(gcf,'MenuBar','figure','units','normalized','Toolbar','figure');
147 set(gcf, 'PaperPosition', myfigureprintsize,'PaperSize',mypapersize);
148 figure_title(2) = {sprintf(strcat('Cell Voltages', figure_caption),filename,....
149     char(date_sensor(countmax_y,1)), char(date_sensor(countmax_y,end)),...
150     strcat(num2str(sensor_addr(1,1:sensor_count)))));
151 }; % callback as string defined
152
153 figure(3);
154 %set(gcf,'Name','Supply Voltages', 'Position',[screensize]);
155 set(gcf,'Name','Supply Voltages', 'Position',[figuresize3]);
156 set(gcf,'MenuBar','figure','units','normalized','Toolbar','figure');
157 set(gcf, 'PaperPosition', myfigureprintsize,'PaperSize',mypapersize);
158 figure_title(3) = {sprintf(strcat('Supply Voltages', figure_caption),filename,....
159     char(date_sensor(countmax_y,1)), char(date_sensor(countmax_y,end)), ...
160     strcat(num2str(sensor_addr(1,1:sensor_count)))));
161 }; % callback as string defined
162
163 global figure_title;
164
165 % ---- the matlab user interface functions with radiobutton (windows style)
166 for i=1:sensor_count
167     % radionbuttons on temperature window 1
168     %set(gca,'position',[.05 .1 .8 .8])
169     uicontrol(1,'style','radiobutton','Value',1,'string',strcat('Sensor ',...
170         ': ',num2str(sensor_addr(1,i))),...
171         'units','normalized','position',[.92 .9-i*.05 .07 .03],...
172         'callback',strcat('global ssw; ssw(1,','num2str(i),')=not(ssw(1,','...
173         num2str(i),')'); plot_graph(1)'));
174     % radionbuttons on cell_voltage window 2
175     %set(gca,'position',[.05 .1 .8 .8])
176     uicontrol(2,'style','radiobutton','Value',1,'string',strcat('Sensor ',...
177         ': ',num2str(sensor_addr(1,i))),...
178         'units','normalized','position',[.92 .9-i*.05 .07 .03],...
179         'callback',strcat('global ssw; ssw(2,','num2str(i),')=not(ssw(2,','...
180         num2str(i),')'); plot_graph(2)'));
181     % radionbuttons on supply_voltage window 3
182     %set(gca,'position',[.05 .1 .8 .8])
183     uicontrol(3,'style','radiobutton','Value',1,'string',strcat('Sensor ',...
184         ': ',num2str(sensor_addr(1,i))),...

```

```

185         'units','normalized','position',[.92 .9-i*.05 .07 .03],...
186         'callback',strcat('global ssw; ssw(3,','num2str(i),')=not(ssw(3,','...
187         num2str(i),'))); plot_graph(3)');
188     end
189
190 % radio buttons to switch all graphs on/off
191 uicontrol(1,'style','radiobutton','Value',1,'string','All on/off',...
192         'units','normalized','position',[.92 .2 .07 .03],...
193         'callback','allgraph_onoff(1)');
194 uicontrol(2,'style','radiobutton','Value',1,'string','All on/off',...
195         'units','normalized','position',[.92 .2 .07 .03],...
196         'callback','allgraph_onoff(2)');
197 uicontrol(3,'style','radiobutton','Value',1,'string','All on/off',...
198         'units','normalized','position',[.92 .2 .07 .03],...
199         'callback','allgraph_onoff(3)');
200
201 % plot graphs
202 plot_graph(1); % temperature;
203 plot_graph(2); % cell_voltage;
204 plot_graph(3); % supply_voltage;
205
206 % switch all warnings on
207 warning('on');

```

Listing B.21: Graphen darstellen

```

1  %-----
2  % Project:      Diploma - display sensor data
3  % Date:        13/06/2008
4  % Last Update: 13/06/2008
5  % Author:      Stephan Plaschke
6  % Discretion:  Plot sensor graphs
7  %-----
8
9  function plot_graph(selector)
10
11  global figure_title; % different figure title inside the window
12  global date_sensor; % array with date values
13  global sensor_addr; % array with valid sensor addresses
14  global sensor_count; % number of sensors
15  global data_sorted; % temp, battery- and supply voltage values
16  global ssw; % Array for switching sensor graphs on/off
17  global polynom; % offset function polynomes
18  global poly_order; % offset function order
19
20  yaxislabel(1)={'Temperature / °C'};
21  yaxislabel(2)={'Cell Voltage / V'};
22  yaxislabel(3)={'Supply Voltage / V'};
23  y_min = 100;
24  y_max = 0;
25  offloadvoltage_start = 0;
26  offloadvoltage_end = 0;
27
28  % colormap for 40 different colours
29  cmap = [
30      1.0000    1.0000    1.0000; % white not visible
31      1.0000         0         0;
32      0         1.0000         0;
33      0         0         1.0000;
34      0         0         1.0000;
35      1.0000         0         1.0000;
36      0.7500         0         0;
37      0         0.7500         0;
38      0         0         0.7500;
39      0.7500         0.7500         0;
40      0         0.7500         0.7500;

```

```

41     0.7500         0     0.7500;
42     0.5000         0         0;
43     0             0.5000         0;
44     0             0     0.5000;
45     0.5000     0.5000         0;
46     0             0.5000     0.5000;
47     0.5000         0     0.5000;
48     1.0000     0.7500         0;
49     0             1.0000     0.7500;
50     0.7500         0     1.0000;
51     1.0000     1.0000     0.7500;
52     0.7500     1.0000     1.0000;
53     1.0000     0.7500     1.0000;
54     0.7500     1.0000         0;
55     0             0.7500     1.0000;
56     1.0000         0     0.7500;
57     0.7500     0.7500     1.0000;
58     1.0000     0.7500     0.7500;
59     0.7500     1.0000     0.7500;
60     0.5000     0.7500         0;
61     0             0.5000     0.7500;
62     0.7500         0     0.5000;
63     0.5000     0.5000     0.7500;
64     0.7500     0.5000     0.5000;
65     0.5000     0.7500     0.5000;
66     1.0000     0.5000         0;
67     0             1.0000     0.5000;
68     0.5000         0     1.0000;
69     1.0000     1.0000     0.5000;
70     0.5000     1.0000     1.0000;
71     ];
72
73 % Symbols at plot lines
74 MATLAB_markers= ['<' 'o' 'v' '+' '*' 's' 'd' 'x' '^' '.' '>' 'p' 'h'] ;
75
76 % set markers for plot, MATLAB only has 13 different markers
77 for i=1:sensor_count
78     j = mod(i,13);
79     markers(i) = MATLAB_markers(j);
80 end
81
82 figure(selector);
83 hold off;
84
85 for i = 1:sensor_count
86     clear x;
87     clear y;
88     x_data = find(data_sorted((i*3-3+selector),:));
89     x_len = length(x_data);
90     % get X-Axis values, datenum() is needed for timestamp
91     x(1:x_len) = datenum(date_sensor(i,1:x_len),'dd-mmm-yyyy HH:MM:SS');
92     % get Y-axis values, divide by 8 for temperature else by 4096 for voltages
93     if (selector==1)
94         % get temperature values
95         y(1:x_len) = data_sorted(i*3-3+selector,1:x_len)/8;
96         % copy polynome values
97         for j=1:poly_order
98             p(j) = polynom(i+j-1+(i-1)*2);
99         end
100        % calculate difference between real and measured value
101        y_trendline = polyval(p,y);
102        % calculate real graph
103        y(1,:) = y_trendline(1,:) + y(1,:);
104    else
105        % get cellvoltage and supplyvoltage values
106        y(1:x_len) = data_sorted(i*3-3+selector,1:x_len)/4096;
107    end

```

```

108
109     %calculate off-load-voltage
110     if (selector == 2)
111         offloadvoltage_start = offloadvoltage_start + y(1,1);
112         offloadvoltage_end = offloadvoltage_end + y(1,end);
113     end
114
115     % get max and min y-axis value
116     if (min(y) < y_min)
117         y_min = min(y);
118     end
119     if (max(y) > y_max)
120         y_max = max(y);
121     end
122
123     % show graph if radiobutton switched on, delete if switched off
124     if (ssw(selector,i)==0)
125         % invisible plot, only to have an handle for the legend function
126         h=plot(0,0); hold on;
127         set(h, 'Color', cmap(1,:), 'Marker',markers(i));
128     else
129         h=plot(x,y); hold on ; zoom on;
130         set(h, 'Color', cmap(i+1,:), 'Marker',markers(i));
131     end
132 end % for
133
134 % show off-load-voltage
135 if (selector == 2)
136     offloadvoltage_start
137     offloadvoltage_end
138 end
139
140 % organize x-axis (date)
141 XTick = linspace(min(x), max(x), 5);
142 XTickLabel = datestr(XTick, 'dd-mmm-yyyy HH:MM:SS');
143 set(gca,'XTick',XTick, 'XTickLabel',XTickLabel);
144
145 % organize y-axis
146 % round grid it to appropriate value
147 if (selector==1)
148     round_value=2;    % Temperature to steps of 2
149 else
150     round_value=0.1; % Voltages steps of 0.1 V = 100 m V
151 end
152
153 % round max and min values for y-axis
154 if mod(y_min,round_value)
155     y_min = y_min - mod(y_min,round_value);
156 end;
157 if mod(y_max,round_value)
158     y_max = y_max + (round_value-mod(y_max,round_value));
159 end;
160
161 % get 9 values between ymax and ymin
162 YTick = linspace(y_min,y_max, 9);
163 clear YTickLabel;
164 for J = 1:9,
165     YTickLabel(J,:) = {YTick(J)};    % set Label
166 end
167
168 YLim = [y_min, y_max];
169 set(gca,'YLim',YLim,'YTick',YTick, 'YTickLabel',YTickLabel);
170
171 % labels, title and legend
172 ylabel(yaxislabel(selector));
173 title(figure_title(selector));
174 legend(num2str(sensor_addr(1,1:sensor_count)'));

```

```

175
176 zoom on;
177 grid on;

```

Listing B.22: Alle Graphen ein oder aus schalten

```

1 %-----
2 % Project:      Diploma - display sensor data
3 % Date:        13/06/2008
4 % Last Update: 13/06/2008
5 % Author:      Stephan Plaschke
6 % Discreption: Switch all graphs on/off
7 %-----
8
9 function allgraph_onoff(figure_select)
10
11 global ssw;                % Array for switching sensor graphs on/off
12 global sensor_addr;       % array with valid sensor addresses
13 global sensor_count;     % number of sensors
14 global radio_buttons_onoff; % status variable for radiobuttons
15
16
17
18 if radio_buttons_onoff(figure_select) == 1
19     for i=1:sensor_count
20         uicontrol(figure_select,'style','radiobutton','Value',0,'string',...
21             strcat('Sensor ',': ',num2str(sensor_addr(1,i))),...
22             'units','normalized','position',[.92 .9-i*.05 .07 .03],...
23             'callback',strcat('global ssw; ssw(',num2str(figure_select),...
24             ', ',num2str(i),')=not(ssw(',num2str(figure_select),', ',...
25             num2str(i),')));plot_graph(', num2str(figure_select),',)');
26     end
27
28     uicontrol(figure_select,'style','radiobutton','Value',0,'string',...
29         'All on/off','units','normalized','position',[.92 .2 .07 .03],...
30         'callback',strcat('allgraph_onoff(',num2str(figure_select),',)'));
31     ssw(figure_select,:) = zeros;
32     radio_buttons_onoff(figure_select) = 0;
33 else
34     for i=1:sensor_count
35         uicontrol(figure_select,'style','radiobutton','Value',1,'string',...
36             strcat('Sensor ',': ',num2str(sensor_addr(1,i))),...
37             'units','normalized','position',[.92 .9-i*.05 .07 .03],...
38             'callback',strcat('global ssw; ssw(',num2str(figure_select),...
39             ', ',num2str(i),')=not(ssw(',num2str(figure_select),', ',...
40             num2str(i),'))); plot_graph(', num2str(figure_select),',)');
41     end
42     uicontrol(figure_select,'style','radiobutton','Value',1,'string','All on/off',...
43         'units','normalized','position',[.92 .2 .07 .03],...
44         'callback',strcat('allgraph_onoff(',num2str(figure_select),',)'));
45     ssw(figure_select,:) = ones;
46     radio_buttons_onoff(figure_select) = 1;
47 end
48
49 plot_graph(figure_select);

```

Listing B.23: Konfigurationsfile

```

1 % This file is created by the MATLAB programm temp_kalibrierung.m
2 % written by Stephan Plaschke
3
4 12          % Total amount of active sensors
5 2           % Address of sensor 1
6 3           % Address of sensor 2
7 4           % Address of sensor 3

```

```

8      5          % Address of sensor 4
9      6          % Address of sensor 5
10     7          % Address of sensor 6
11     8          % Address of sensor 7
12     9          % Address of sensor 8
13    10          % Address of sensor 9
14    11          % Address of sensor 10
15    12          % Address of sensor 11
16    14          % Address of sensor 12
17     3          % Difference function order+1, only for temperature graph
18    -3.144925e-003 % 3 polynomes for one sensorgraph, sensor 1
19     2.286090e-001
20     1.539427e+000
21    -7.833739e-005 % sensor 2
22     1.750993e-002
23     4.223026e-001
24    -3.073221e-003 % sensor 3
25     1.928886e-001
26     8.206266e-001
27    -2.662026e-003 % sensor 4
28     1.762518e-001
29     1.771485e+000
30    -5.299826e-003 % sensor 5
31     4.369695e-001
32    -7.451265e+000
33    -2.663839e-003 % sensor 6
34     1.681840e-001
35    -2.276351e-001
36    -2.597427e-003 % sensor 7
37     1.663005e-001
38     8.324122e-001
39    -2.857149e-003 % sensor 8
40     1.666055e-001
41    -1.865120e+000
42    -1.747754e-003 % sensor 9
43     1.309077e-001
44    -4.117300e+000
45    -3.338203e-003 % sensor 10
46     1.504583e-001
47     1.070548e+001
48    -5.880626e-004 % sensor 11
49     5.140346e-002
50     4.949305e+000
51    -1.487335e-003 % sensor 12
52     9.924465e-002
53    -2.255723e+000

```

B.2.3. Darstellen eines Oszilloskop Ausdrucks

Listing B.24: M-File für die Darstellung eines Oszilloskop Ausdrucks

```

1  %-----
2  % Project:      Diploma
3  % Date:        05/11/2007
4  % Last Update: 27/05/2008
5  % Author:      Stephan Plaschke
6  % Discretion:  Read oscilloscop data from ascii-file
7  %-----
8
9  function show_osc_data(figure1)
10
11 % clear all variables and close all windows
12 clear all;
13 close all;

```

```
14
15 disp('-----')
16 disp('Read and plot oscilloskop-data')
17 disp('Use only *.asc files as input')
18 disp('As input use only filename with no extension')
19 disp('Author:   Stephan Plaschke')
20 disp('Date:    17.05.2008')
21 disp('-----')
22
23 % enter name of file
24 filename = input('Please enter the filename:', 's');
25 filename = sprintf('%s.asc', filename);
26
27 % read data from file
28 data = load(filename, 'ascii');
29 data_length = length(data);           % get length of data
30 data_maxquarter = max(data) / 4;     % calculate
31 data_endval = (data_length-1) * 0.04; % calculate endval in ms
32
33 % look for runin-code
34 for i=1:data_length
35     if ((data(i) >= data_maxquarter))
36         % if logical one occurs 60 times minimum, runin-code detected
37         for j=i:(i+60)
38             if (data(j) < data_maxquarter)
39                 break;
40             end
41         end
42         if (j == (i+60))
43             data_start = i;
44             break;
45         end
46     end
47 end
48
49 % look for end of CRC-byte
50 for i=data_start:data_length
51     if ((data(i) <= data_maxquarter))
52         % if logical zero occurs 60 times minimum, end of CRC-byte detected
53         for j=i:(i+60)
54             if (data(j) > data_maxquarter)
55                 break;
56             end
57         end
58         if (j == (i+60))
59             data_end = i;
60             break;
61         end
62     end
63     % if logical zero isn't occurred 60 times until end of data, set
64     % data_end to last element
65     if (i == (data_length-60))
66         data_end = data_length;
67         break;
68     end
69 end
70
71 % clear data array where no data detected
72 data(1:data_start) = 0;
73 data(data_end:data_length) = 0;
74
75 % calculate real x-values
76 x_max = (data_end + 100) * 0.04;
77 x_min = (data_start - 100) * 0.04;
78
79 x=(0:0.04:data_endval);
80
```

```

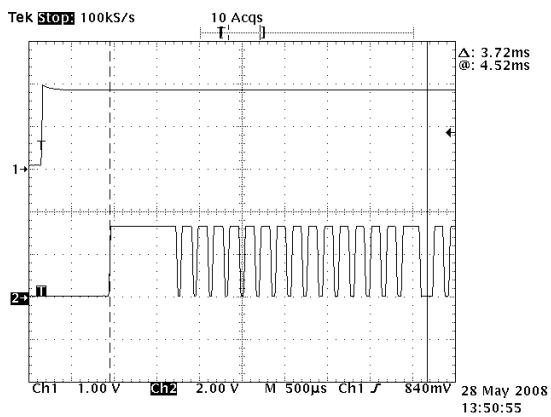
81 % change data values to logical values
82 for i=1:data_length
83     if (data(i) > data_maxquarter)
84         data(i) = 1;
85     else
86         data(i) = 0;
87     end
88 end
89
90 % create figure
91 figurename = sprintf('Osziloskopausdruck, Dateiname: %s', filename);
92 screensize = get(0, 'ScreenSize');
93 figure('Name',figurename, 'NumberTitle','off', 'Position',[screensize]);
94
95 % plot data
96 plot(x,data)
97
98 % configure axes
99 ylabel('Logik-Pegel');
100 xlabel('Time/ms');
101 axis([x_min, x_max, 0,1.5])
102
103 % set Y-axis
104 YTick = [0,1,1.5];
105 YTickLabel = ['0';'1';' '];
106 set(gca,'YTick',YTick, 'YTickLabel',YTickLabel);
107
108
109 % vertical lines
110 annotation('line',[0.143 0.143],[0.654 0.72]); %1er vertical line
111 annotation('line',[0.282 0.282],[0.654 0.72]); %2er vertical line
112 annotation('line',[0.338 0.338],[0.654 0.72]); %3er vertical line
113 annotation('line',[0.393 0.393],[0.654 0.72]); %4er vertical line
114 annotation('line',[0.448 0.448],[0.654 0.72]); %5er vertical line
115 annotation('line',[0.504 0.504],[0.654 0.72]); %6er vertical line
116 annotation('line',[0.560 0.560],[0.654 0.72]); %7er vertical line
117 annotation('line',[0.614 0.614],[0.654 0.72]); %8er vertical line
118 annotation('line',[0.670 0.670],[0.654 0.72]); %9er vertical line
119 annotation('line',[0.725 0.725],[0.654 0.72]); %10er vertical line
120 annotation('line',[0.780 0.780],[0.654 0.72]); %11er vertical line
121 annotation('line',[0.8355 0.8355],[0.654 0.72]); %12er vertical line
122 annotation('line',[0.891 0.891],[0.654 0.72]); %13er vertical line
123
124 % horizontal arrows
125 annotation('doublearrow',[0.143 0.282],[0.7 0.7]); % runin
126 annotation('doublearrow',[0.282 0.338],[0.7 0.7]); % adresse1
127 annotation('doublearrow',[0.338 0.393],[0.7 0.7]); % adresse2
128 annotation('doublearrow',[0.393 0.448],[0.7 0.7]); % adresse3
129 annotation('doublearrow',[0.448 0.504],[0.7 0.7]); % adresse4
130 annotation('doublearrow',[0.504 0.560],[0.7 0.7]); % data1
131 annotation('doublearrow',[0.560 0.614],[0.7 0.7]); % data2
132 annotation('doublearrow',[0.614 0.670],[0.7 0.7]); % data3
133 annotation('doublearrow',[0.670 0.725],[0.7 0.7]); % data4
134 annotation('doublearrow',[0.725 0.780],[0.7 0.7]); % data5
135 annotation('doublearrow',[0.780 0.8355],[0.7 0.7]); % data6
136 annotation('doublearrow',[0.8355 0.891],[0.7 0.7]); % CRC
137
138 % print text boxes
139 annotation('textbox',[0.1776 0.7232 0.07478 0.03256], 'Interpreter','none',...
140     'String',{'Runin code'}, 'FitBoxToText','on', 'LineStyle','none');
141 annotation('textbox',[0.3487 0.7232 0.08884 0.03256], 'Interpreter','none',...
142     'String',{'4 Address bytes'}, 'FitBoxToText','off', 'LineStyle','none');
143 annotation('textbox',[0.50 0.7232 0.06697 0.03256], 'Interpreter','none',...
144     'String',{'Databyte 1'}, 'FitBoxToText','off', 'LineStyle','none');
145 annotation('textbox',[0.555 0.7232 0.06697 0.03256], 'Interpreter','none',...
146     'String',{'Databyte 2'}, 'FitBoxToText','off', 'LineStyle','none');
147 annotation('textbox',[0.61 0.7232 0.06697 0.03256], 'Interpreter','none',...

```

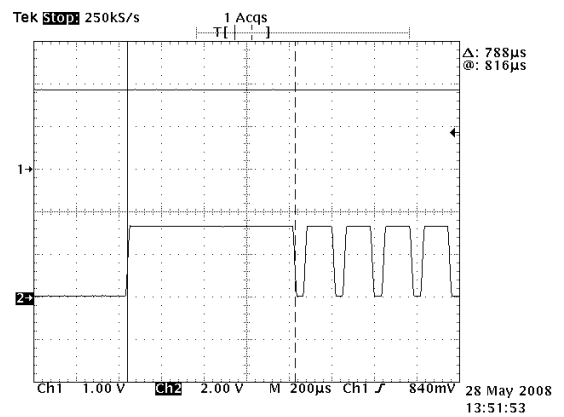
```
148     'String',{'Databyte 3'},'FitBoxToText','off','LineStyle','none');
149 annotation('textbox',[0.665 0.7232 0.06697 0.03256],'Interpreter','none',...
150     'String',{'Databyte 4'},'FitBoxToText','off','LineStyle','none');
151 annotation('textbox',[0.72 0.7232 0.06697 0.03256],'Interpreter','none',...
152     'String',{'Databyte 5'},'FitBoxToText','off','LineStyle','none');
153 annotation('textbox',[0.775 0.7232 0.06697 0.03256],'Interpreter','none',...
154     'String',{'Databyte 6'},'FitBoxToText','off','LineStyle','none');
155 annotation('textbox',[0.835 0.7232 0.06697 0.03256],'Interpreter','none',...
156     'String',{'CRC Byte'},'FitBoxToText','off','LineStyle','none');
```

C. Zeichnungen

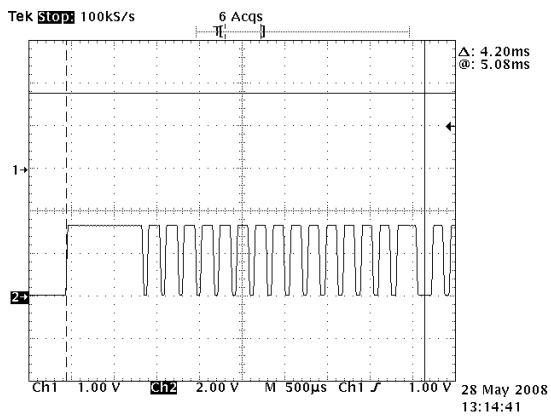
C.1. Zeitmessung der Run-In Sequenz



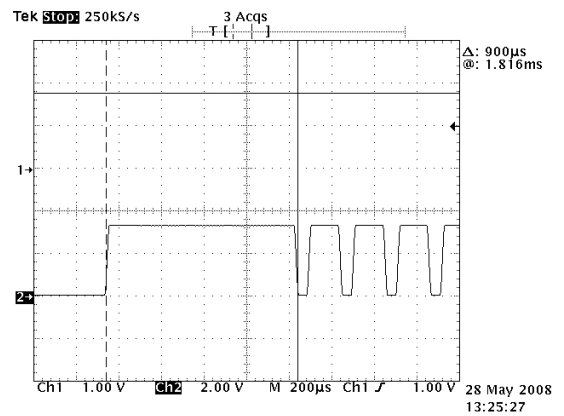
(a) Run-In-Sequenz bei -15°C



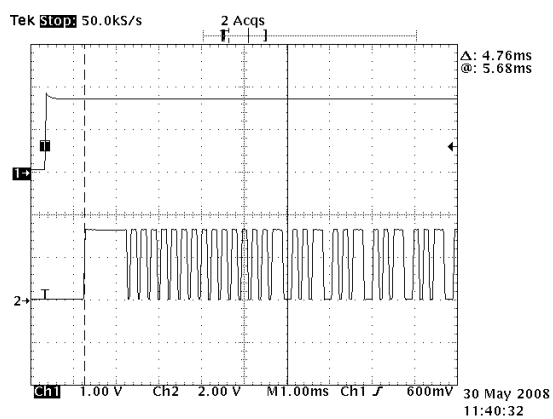
(b) Run-In-Block bei -15°C



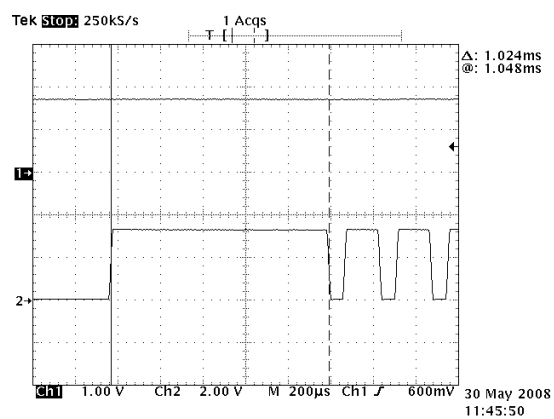
(c) Run-In-Sequenz bei 23°C



(d) Run-In-Block bei 23°C



(e) Run-In-Sequenz bei 60°C



(f) Run-In-Block bei 60°C

Bild C.1.: Zeitmessung der Run-In Sequenz bei verschiedenen Temperaturen, Auswertung in Kapitel 2.2.4

C.2. Darstellung des Übertragungsprotokolls

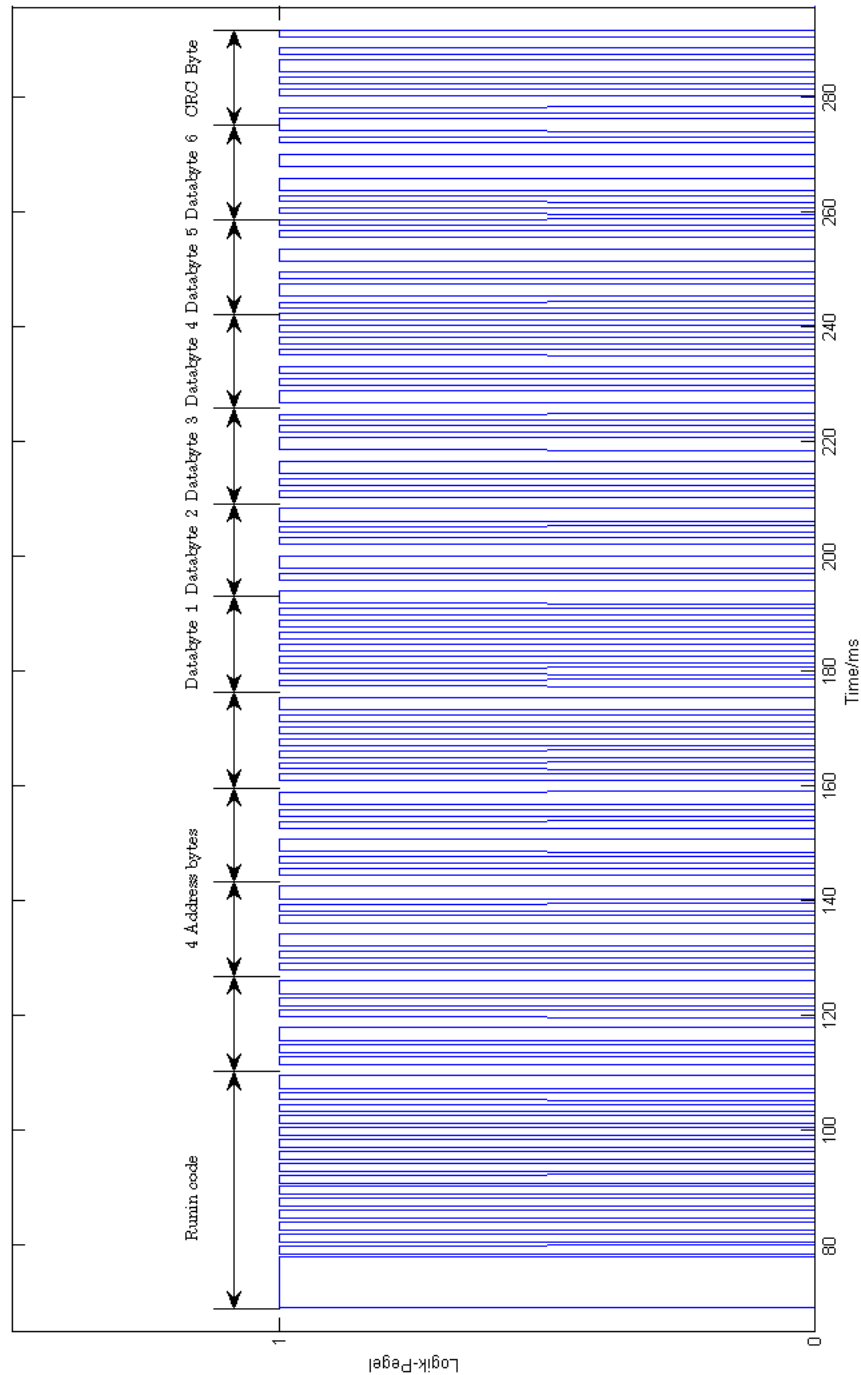


Bild C.2.: Darstellung des Übertragungsprotokolls (MATLAB Ausdruck)

D. Hardwaredesign

D.1. Schaltpläne

D.1.1. Schaltplan: Receiver

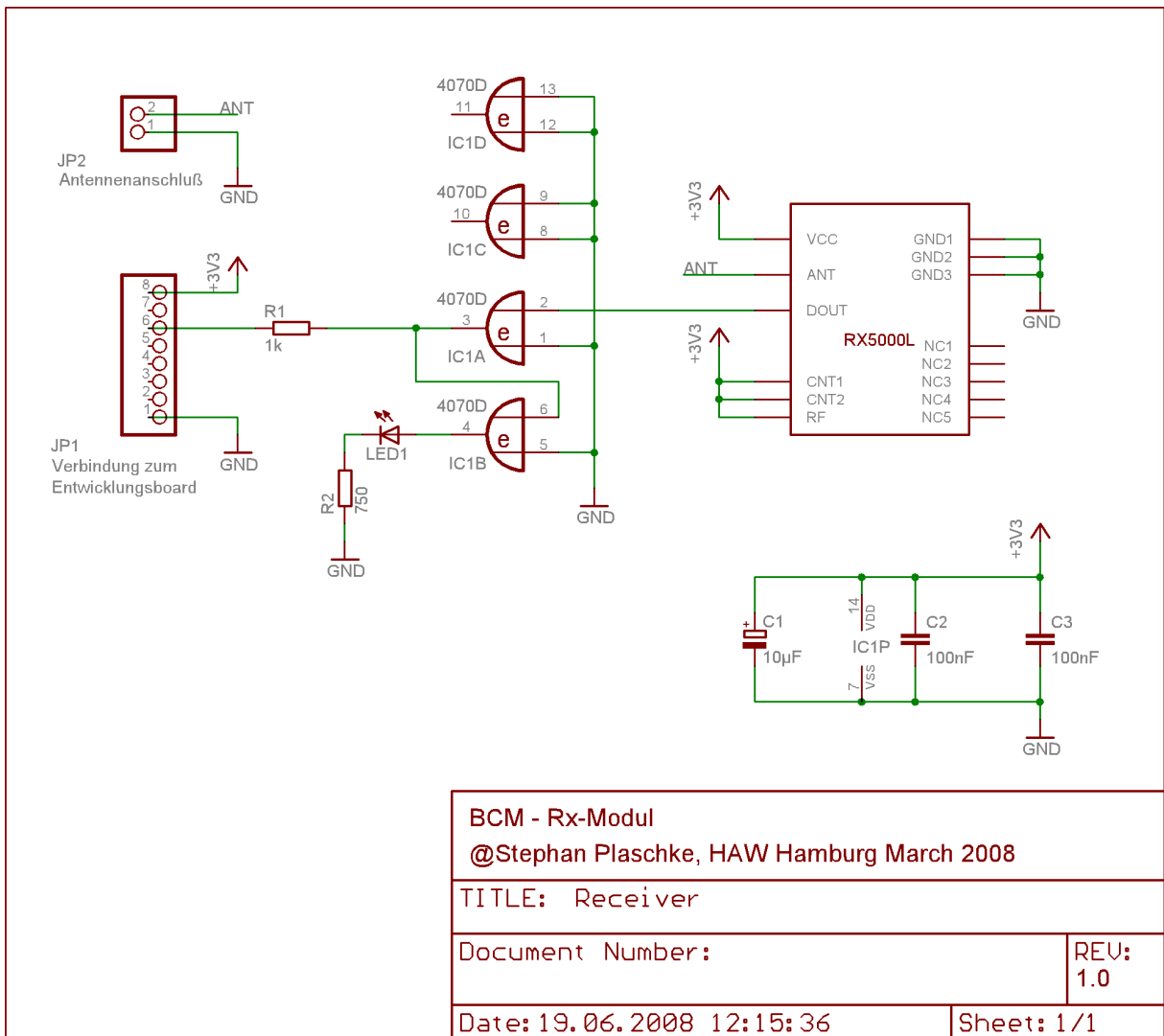


Bild D.1.: Schaltplan des Receiverboards

D.1.2. Schaltplan: Entwicklungsboard

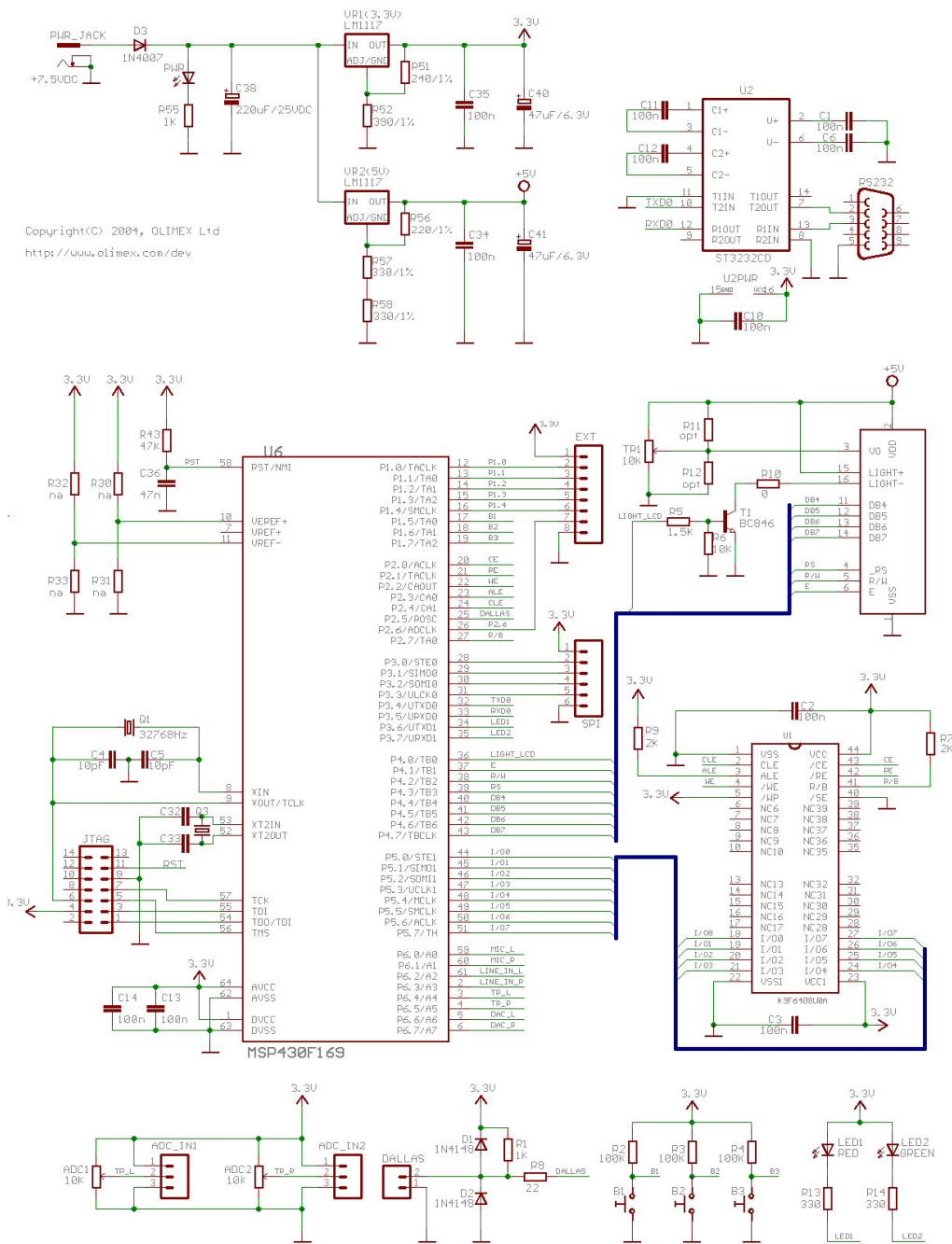


Bild D.2.: Erster Schaltplanteil des Olimex Entwicklungsboards [18]

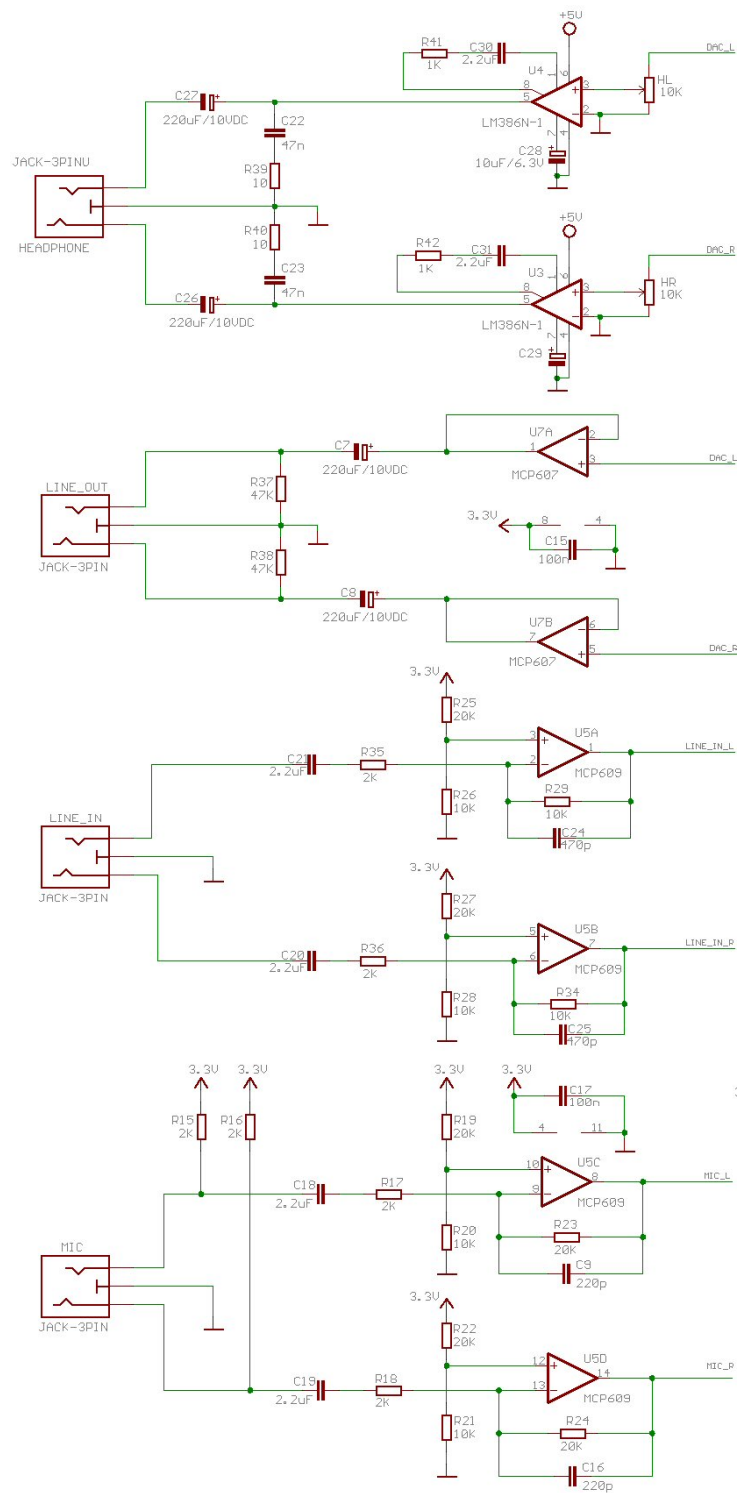


Bild D.3.: Zweiter Schaltplanteil des Olimex Entwicklungsboards [18]

D.2. Platinenlayout

D.2.1. Platinenlayout: Receiver

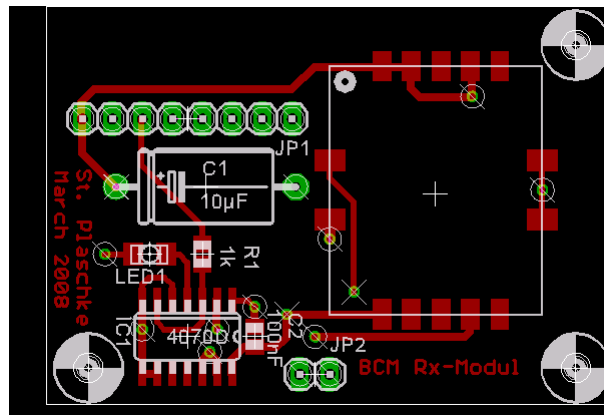


Bild D.5.: Platinenlayout der Empfängerplatine (top layer)

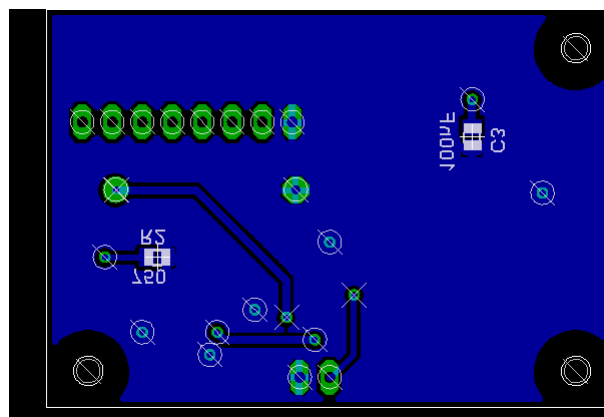


Bild D.6.: Platinenlayout der Empfängerplatine (bottom layer)

E. Messwerte

E.1. Kalibrierungsmessung

Listing E.1: Aufgenommene Messwerte zur Temperaturkalibrierung

```
1 WED 04-Jun-2008 12:30:00 6 0 73 2d a5 34 76 ae
2 WED 04-Jun-2008 12:30:00 a 0 69 2d 78 33 eb ff
3 WED 04-Jun-2008 12:30:00 b 0 0 2f d 36 1c 3
4 WED 04-Jun-2008 12:30:00 9 0 55 2d e1 34 62 d7
5 WED 04-Jun-2008 12:30:00 8 0 42 2d ff 34 8b 36
6 WED 04-Jun-2008 12:30:00 4 0 3e 2e 3b 35 16 1d
7 WED 04-Jun-2008 12:30:00 c 0 27 2d d2 34 14 f4
8 WED 04-Jun-2008 12:30:00 5 0 3b 2e 68 34 b4 e9
9 WED 04-Jun-2008 12:30:00 2 0 3b 2d ff 34 76 b8
10 WED 04-Jun-2008 12:30:00 3 0 48 2d 78 33 eb d7
11 WED 04-Jun-2008 12:30:00 e 0 5f 2e 68 34 76 55
12 WED 04-Jun-2008 12:30:00 7 0 4c 2e e 34 ed a3
13 WED 04-Jun-2008 12:38:00 c 0 52 2d e1 33 d7 76
14 WED 04-Jun-2008 12:38:00 e 0 7d 2e 95 35 2b d6
15 WED 04-Jun-2008 12:38:00 4 0 66 2e 3b 34 8b d9
16 WED 04-Jun-2008 12:38:00 a 0 8a 2d 69 33 74 92
17 WED 04-Jun-2008 12:38:00 9 0 7a 2d f0 33 d7 5b
18 WED 04-Jun-2008 12:38:00 8 0 69 2e e 34 4d 29
19 WED 04-Jun-2008 12:38:00 b 0 1a 2f 1c 36 8 1c
20 WED 04-Jun-2008 12:38:00 2 0 5f 2e e 34 8b d3
21 WED 04-Jun-2008 12:38:00 3 0 76 2d b4 33 60 ae
22 WED 04-Jun-2008 12:38:00 7 0 70 2e 1d 34 9f fe
23 WED 04-Jun-2008 12:38:00 6 0 80 2d b4 34 4d 77
24 WED 04-Jun-2008 12:38:00 5 0 5f 2e 68 35 2 3a
25 WED 04-Jun-2008 12:48:00 2 0 7a 2d ff 34 76 f9
26 WED 04-Jun-2008 12:48:00 7 0 91 2e 2c 34 c8 79
27 WED 04-Jun-2008 12:48:00 5 0 80 2e 68 34 8b 6d
28 WED 04-Jun-2008 12:48:00 3 0 a1 2d c3 33 eb 85
29 WED 04-Jun-2008 12:48:00 a 0 b5 2d 78 33 eb 23
30 WED 04-Jun-2008 12:48:00 e 0 a8 2e 77 34 76 bd
31 WED 04-Jun-2008 12:48:00 4 0 87 2e 3b 34 dd 6e
32 WED 04-Jun-2008 12:48:00 b 0 45 2f 1c 36 41 a
33 WED 04-Jun-2008 12:48:00 8 0 87 2e e 34 39 b3
34 WED 04-Jun-2008 12:48:00 6 0 a1 2d b4 34 0 1b
35 WED 04-Jun-2008 12:48:00 9 0 9e 2d f0 34 0 6f
36 WED 04-Jun-2008 12:48:00 c 0 76 2d f0 34 39 aa
37 WED 04-Jun-2008 12:53:00 2 0 9b 2e e 34 4d d1
38 WED 04-Jun-2008 12:53:00 9 0 bf 2d f0 34 62 2c
39 WED 04-Jun-2008 12:53:00 a 0 d0 2d 78 33 c2 6f
40 WED 04-Jun-2008 12:53:00 7 0 a8 2e 2c 34 ed 65
41 WED 04-Jun-2008 12:53:00 6 0 bf 2d b4 34 62 67
42 WED 04-Jun-2008 12:53:00 b 0 66 2f 1c 36 8 60
43 WED 04-Jun-2008 12:53:00 3 0 bf 2d c3 33 c2 b2
44 WED 04-Jun-2008 12:53:00 8 0 a8 2e e 34 4d e8
45 WED 04-Jun-2008 12:53:00 5 0 a1 2e 77 34 9f 47
46 WED 04-Jun-2008 12:53:00 c 0 91 2d e1 34 4d 28
47 WED 04-Jun-2008 12:53:00 4 0 a8 2e 3b 34 76 ea
48 WED 04-Jun-2008 12:53:00 e 0 c9 2e 77 34 76 dc
49 WED 04-Jun-2008 13:00:00 7 0 da 2e 3b 34 ed 0
50 WED 04-Jun-2008 13:00:00 9 0 ea 2d ff 33 d7 c4
```

51	WED	04-Jun-2008	13:00:00	8	0	d0	2e	1d	34	9f	51
52	WED	04-Jun-2008	13:00:00	b	0	87	2f	3a	35	ca	66
53	WED	04-Jun-2008	13:00:00	4	0	d0	2e	4a	34	8b	1e
54	WED	04-Jun-2008	13:00:00	a	0	fe	2d	87	33	85	f9
55	WED	04-Jun-2008	13:00:00	5	0	c6	2e	59	34	76	e7
56	WED	04-Jun-2008	13:00:00	6	0	ea	2d	c3	34	c8	ef
57	WED	04-Jun-2008	13:00:00	2	0	c2	2e	e	34	62	a7
58	WED	04-Jun-2008	13:00:00	e	0	f4	2e	68	35	53	da
59	WED	04-Jun-2008	13:00:00	3	0	e7	2d	d2	33	74	4d
60	WED	04-Jun-2008	13:00:00	c	0	bc	2d	f0	34	8b	d2
61	WED	04-Jun-2008	13:08:00	7	1	1	2e	4a	34	62	24
62	WED	04-Jun-2008	13:08:00	3	1	b	2d	e1	33	c2	25
63	WED	04-Jun-2008	13:08:00	e	1	1c	2e	86	34	8b	4
64	WED	04-Jun-2008	13:08:00	6	1	5	2d	c3	34	0	c9
65	WED	04-Jun-2008	13:08:00	4	0	f7	2e	59	34	dd	7c
66	WED	04-Jun-2008	13:08:00	9	1	12	2e	e	34	0	1f
67	WED	04-Jun-2008	13:08:00	a	1	1c	2d	96	34	0	89
68	WED	04-Jun-2008	13:08:00	b	0	b2	2f	1c	36	8	b4
69	WED	04-Jun-2008	13:08:00	5	0	f1	2e	77	34	ed	65
70	WED	04-Jun-2008	13:08:00	c	0	e7	2d	f0	34	76	74
71	WED	04-Jun-2008	13:08:00	8	0	f7	2e	2c	34	b4	6c
72	WED	04-Jun-2008	13:08:00	2	0	e7	2e	e	35	2	e3
73	WED	04-Jun-2008	13:19:00	2	1	15	2e	3b	34	62	44
74	WED	04-Jun-2008	13:19:00	3	1	36	2d	e1	34	14	c9
75	WED	04-Jun-2008	13:19:00	9	1	3d	2e	e	34	9f	af
76	WED	04-Jun-2008	13:19:00	a	1	4d	2d	a5	34	39	d2
77	WED	04-Jun-2008	13:19:00	5	1	22	2e	95	35	3f	86
78	WED	04-Jun-2008	13:19:00	4	1	26	2e	77	34	8b	d4
79	WED	04-Jun-2008	13:19:00	b	0	e0	2f	58	35	df	76
80	WED	04-Jun-2008	13:19:00	6	1	39	2d	d2	34	4d	a9
81	WED	04-Jun-2008	13:19:00	e	1	47	2e	86	34	8b	5f
82	WED	04-Jun-2008	13:19:00	7	1	30	2e	59	34	8b	ef
83	WED	04-Jun-2008	13:19:00	c	1	12	2e	e	34	0	b
84	WED	04-Jun-2008	13:19:00	8	1	29	2e	1d	34	39	f
85	WED	04-Jun-2008	13:30:00	4	1	4a	2e	86	34	b4	76
86	WED	04-Jun-2008	13:30:00	c	1	40	2e	e	34	b4	ed
87	WED	04-Jun-2008	13:30:00	e	1	6e	2e	b3	34	9f	57
88	WED	04-Jun-2008	13:30:00	2	1	43	2e	59	34	62	70
89	WED	04-Jun-2008	13:30:00	5	1	43	2e	86	34	ed	27
90	WED	04-Jun-2008	13:30:00	b	1	8	2f	67	36	31	4d
91	WED	04-Jun-2008	13:30:00	a	1	85	2d	f0	34	76	0
92	WED	04-Jun-2008	13:30:00	3	1	64	2e	1d	34	28	58
93	WED	04-Jun-2008	13:30:00	9	1	6b	2e	3b	33	eb	bf
94	WED	04-Jun-2008	13:30:00	7	1	64	2e	68	35	16	16
95	WED	04-Jun-2008	13:30:00	8	1	54	2e	86	34	8b	5b
96	WED	04-Jun-2008	13:30:00	6	1	64	2d	f0	34	28	b3
97	WED	04-Jun-2008	14:03:00	a	1	a3	2d	ff	33	eb	b3
98	WED	04-Jun-2008	14:03:00	2	1	6e	2e	a4	34	76	b4
99	WED	04-Jun-2008	14:03:00	7	1	89	2e	b3	34	c8	ff
100	WED	04-Jun-2008	14:03:00	9	1	a0	2e	77	34	b4	60
101	WED	04-Jun-2008	14:03:00	4	1	78	2e	c2	34	9f	2b
102	WED	04-Jun-2008	14:03:00	5	1	75	2e	ef	35	2b	bf
103	WED	04-Jun-2008	14:03:00	8	1	82	2e	95	34	dd	c8
104	WED	04-Jun-2008	14:03:00	e	1	a0	2e	fe	34	ed	a6
105	WED	04-Jun-2008	14:03:00	3	1	8c	2e	4a	33	85	4d
106	WED	04-Jun-2008	14:03:00	6	1	93	2e	3b	34	39	9d
107	WED	04-Jun-2008	14:03:00	b	1	40	2f	a3	36	7e	8e
108	WED	04-Jun-2008	14:03:00	c	1	61	2e	68	34	dd	c3
109	WED	04-Jun-2008	14:14:00	6	1	b0	2e	59	34	39	dc
110	WED	04-Jun-2008	14:14:00	9	1	c8	2e	95	34	0	5e
111	WED	04-Jun-2008	14:14:00	a	1	cb	2e	68	33	eb	4f
112	WED	04-Jun-2008	14:14:00	c	1	89	2e	68	34	9f	69
113	WED	04-Jun-2008	14:14:00	b	1	61	2f	d0	36	8	aa
114	WED	04-Jun-2008	14:14:00	8	1	a3	2e	a4	35	16	12
115	WED	04-Jun-2008	14:14:00	2	1	8c	2e	a4	34	b4	94
116	WED	04-Jun-2008	14:14:00	e	1	c4	2e	fe	34	b4	9b
117	WED	04-Jun-2008	14:14:00	3	1	ad	2e	68	33	85	4e

118	WED	04-Jun-2008	14:14:00	4	1	b4	2f	d	34	ed	5b
119	WED	04-Jun-2008	14:14:00	5	1	99	2e	fe	35	2b	42
120	WED	04-Jun-2008	14:14:00	7	1	ad	2e	d1	34	ed	9c
121	WED	04-Jun-2008	14:56:00	3	1	d5	2e	a4	34	28	50
122	WED	04-Jun-2008	14:56:00	c	1	aa	2e	b3	34	4d	43
123	WED	04-Jun-2008	14:56:00	a	1	ef	2e	4a	34	4d	e8
124	WED	04-Jun-2008	14:56:00	9	1	ec	2e	b3	34	0	5c
125	WED	04-Jun-2008	14:56:00	2	1	b4	2e	e0	34	dd	81
126	WED	04-Jun-2008	14:56:00	8	1	cb	2e	ef	34	c8	ee
127	WED	04-Jun-2008	14:56:00	7	1	d5	2f	d	34	76	a2
128	WED	04-Jun-2008	14:56:00	4	1	c4	2f	d	35	16	d1
129	WED	04-Jun-2008	14:56:00	6	1	d8	2e	77	34	39	9a
130	WED	04-Jun-2008	14:56:00	b	1	89	30	c	36	1c	95
131	WED	04-Jun-2008	14:56:00	5	1	c1	2f	2b	35	53	b6
132	WED	04-Jun-2008	14:56:00	e	1	e9	2f	49	35	2	b7

Eidesstattliche Erklärung

Hiermit versichere ich, dass ich die vorliegende Arbeit im Sinne der Prüfungsordnung nach §25(4) ohne fremde Hilfe selbstständig verfasst und nur die angegebenen Hilfsmittel benutzt habe. Wörtlich oder dem Sinn nach aus anderen Werken entnommene Stellen habe ich unter Angabe der Quellen kenntlich gemacht.

Die Arbeit wurde bisher in gleicher oder ähnlicher Form keiner anderen Prüfungsbehörde vorgelegt und auch nicht veröffentlicht.

Ort, Datum

Unterschrift